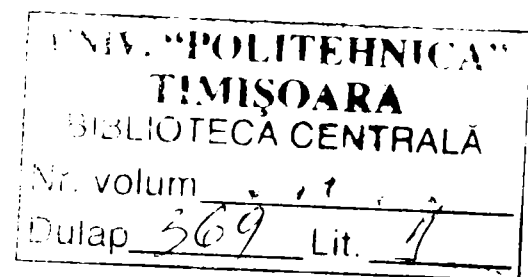


Ing. Petru Lucian SERAFIN

**CONTRIBUȚII LA ANALIZA  
ALARMELOR ÎN REȚELELE DE  
TELECOMUNICAȚII**

*~ Teză de doctorat ~*



Conducător științific  
Prof.Dr.Ing. Alimpie IGNEA

TIMIȘOARA  
2005

<i>i. Abstract</i> .....	5
<i>ii. Motivație</i> .....	7
<i>iii. Mulțumiri</i> .....	9
<b>Capitolul 1.    Introducere</b> .....	10
1.1    Supervizarea unui sistem dinamic .....	11
1.2    Metode de supervizare și diagnosticare .....	14
1.3    Organizarea tezei .....	17
<b>Capitolul 2.    Gestionarea alarmelor</b> .....	18
2.1    Definiția alarmei .....	18
2.2    Metode de analiză a alarmelor .....	20
2.3    Jurnale de alarme .....	21
2.3.1    Momentele de apariție ale alarmelor.....	24
2.3.2    Duratele alarmelor .....	27
2.4    Cronici de alarme.....	29
2.4.1    Modele de cronici .....	30
2.4.2    Instanțe de cronici.....	31
2.4.3    Cronici frecvente.....	32
2.5    Algoritm pentru recunoașterea cronicilor frecvente.....	33
2.5.1    Proceduri pentru generarea cronicilor candidate .....	39
2.6    Constrângerile temporale .....	42
2.6.1    Procedura de determinare a constrângerilor temporale .....	43
2.7    Concluzii .....	44
<b>Capitolul 3.    Algebra temporală</b> .....	45
3.1    Introducere.....	45
3.2    Axiomele temporale bazate pe intervale.....	47
3.3    Axiomele temporale bazate pe intervale și puncte.....	50
3.4    Natura intervalelor .....	52
3.5    Relații temporale derivate .....	57
3.6    Modele temporale .....	59
3.6.1    Teoria temporală Bruce bazată pe puncte .....	61
3.6.2    Logica temporală McDermott.....	61
3.6.3    Teoria intervalelor Allen-Hayes .....	62
3.6.4    Sistemul temporal bazat pe intervale și puncte Vilain.....	62
3.6.5    Modelul temporal Knight-Ma.....	63
3.7    Concluzii .....	63
<b>Capitolul 4.    Formalismul rețelelor Petri</b> .....	64
4.1    Definiții ale rețelelor Petri .....	64
4.2    Validarea și executarea tranzițiilor (dinamica rețelelor Petri) .....	70
4.3    Rețele Petri de capacitate finită și infinită .....	71
4.4    Proprietăți ale rețelelor Petri .....	72
4.4.1    Conflict, decizie sau alegere liberă .....	72
4.4.2    Alegere liberă extinsă .....	72
4.4.3    Alegere asimetrică .....	73

4.4.4	Paralelism sau concurență.....	73
4.4.5	Confuzie.....	74
4.4.6	Sincronizare .....	75
4.4.7	Post-condiție comună.....	75
4.5	Studiu comparativ între automate și rețele Petri.....	75
4.5.1	Automate pentru modelarea sistemelor cu evenimente discrete.....	76
4.5.2	Paralelă între automate și rețele Petri.....	77
<b>Capitolul 5.</b>	<b>Extragerea de reguli de asociere.....</b>	<b>78</b>
5.1	Recunoașterea regulilor de asociere.....	79
5.2	Proprietățile seturilor de elemente .....	81
5.3	Proprietățile regulilor de asociere .....	81
5.4	Analiza formală a conceptelor .....	82
5.5	Exemplu de extragere de reguli de asociere .....	85
5.6	Generarea de reguli.....	88
<b>Capitolul 6.</b>	<b>Proiectul informatic.....</b>	<b>91</b>
6.1	Specificații de proiectare.....	91
6.2	Mediul de programare OMNeT++.....	92
6.3	Arhitectura generală.....	96
6.4	Modulul de colectare a alarmelor .....	97
6.5	Modulele pentru analiza alarmelor .....	102
6.6	Modulul de prelucrare a alarmelor.....	107
6.7	Modulul de asamblare a rețelei Petri .....	110
6.7.1	Propagarea jetoanelor.....	112
6.7.2	Rețele Petri etichetate de cronici.....	115
6.8	Teste unitare.....	119
6.8.1	Aspecte ale unor corecții în urma efectuării testelor unitare .....	120
6.8.2	Scara de reprezentare și selecția automată a detaliilor.....	121
6.9	Rezultate experimentale.....	121
6.10	Comparații și concluzii .....	126
<b>Contribuții și concluzii .....</b>	<b>128</b>	
Contribuții teoretice .....	128	
Contribuții practice .....	129	
Concluzii finale.....	130	
<b>Anexa A : Acronime.....</b>	<b>135</b>	
<b>Anexa B : Topologia rețelei OMNeT++ .....</b>	<b>137</b>	
<b>Anexa C : ACE (Adaptive Communication Environment) .....</b>	<b>138</b>	
<b>Anexa D : Listing-ul proiectului informatic (modulele principale).....</b>	<b>146</b>	
<b>Bibliografie .....</b>	<b>171</b>	

## Lista de figuri

Figura 1.1 Arhitectura unui sistem informatic de supervizare : caz general .....	11
Figura 1.2 Arhitectura de supervizare : detaliere pentru rețele de telecomunicații .....	12
Figura 1.3 (a) Diagnostic centralizat (b) Diagnostic distribuit (c) Diagnostic ierarhic (d) Diagnostic ierarhic distribuit.....	16
Figura 2.1 Exemplu de jurnal de alarme .....	22
Figura 2.2 Reprezentarea matematică a unui jurnal de alarme .....	23
Figura 2.3 Extragerea alarmelor referitoare la un obiect .....	25
Figura 2.4 Reprezentarea grafică a momentelor alarmelor.....	25
Figura 2.5 Reprezentarea alarmelor sub formă de benzi de momente de apariție .....	26
Figura 2.6 Reprezentarea grafică a duratelor alarmelor.....	28
Figura 2.7 Exemplu de cronică de alarme .....	29
Figura 2.8 Cronici de alarme de ordinul 2 .....	30
Figura 2.9 Algoritm pentru recunoașterea cronicilor frecvente.....	34
Figura 2.10 Cronici frecvente prin asamblare paralelă .....	39
Figura 2.11 Cronici frecvente prin asamblare serială .....	41
Figura 3.1 (a) Timp circular (b) Timp paralel (c) Timp ramificat. ....	48
Figura 3.2 Interval $t$ închis-stânga .....	53
Figura 3.3 Ramificare temporală .....	55
Figura 3.4 Liniaritate completă în timp paralel .....	55
Figura 4.1 Exemple de preset și postset ale unei tranziții.....	66
Figura 4.2 Conflict, decizie sau alegere liberă.....	72
Figura 4.3 Alegere liberă extinsă.....	73
Figura 4.4 Alegere asimetrică .....	73
Figura 4.5 Paralelism sau concurență .....	74
Figura 4.6 Confuzie simetrică.....	74
Figura 4.7 Confuzie asimetrică .....	74
Figura 4.8 Sincronizare .....	75
Figura 4.9 Post-condiție comună .....	75
Figura 5.1 Diagrama Hasse a unei latici .....	87
Figura 5.2 Diagrama Hasse redusă la dimensiunea cronicilor frecvente.....	87
Figura 5.3 Diagrama Hasse în plan.....	89
Figura 6.1 Structura modulară OMNeT++ .....	95
Figura 6.2 Schema de implementare a modulelor pentru recunoașterea cronicilor.....	97
Figura 6.3 Schema de principiu a modului de colectare a alarmelor.....	98
Figura 6.4 Schema de principiu a modulului dispecer de flux de alarme.....	99
Figura 6.5 Stiva pentru colectarea alarmelor .....	99
Figura 6.6 Modul de transfer <i>permanent</i> .....	100
Figura 6.7 Modul de transfer <i>push</i> .....	101
Figura 6.8 Modul de transfer <i>pull</i> .....	101
Figura 6.9 Schema de implementare a modulelor informatice .....	102
Figura 6.10 Structura mesajelor de transport de alarme .....	103
Figura 6.11 Clasele C++ pentru analiza alarmelor .....	103
Figura 6.12 Diagrama mesajelor de inițializare .....	105
Figura 6.13 Diagrama mesajelor pentru colectarea alarmelor .....	106

Figura 6.14	Diagrama mesajelor de transmitere a blocurilor de alarme.....	106
Figura 6.15	Exemplu pentru aplicarea primitivei <i>contor()</i> .....	107
Figura 6.16	Cronică de alarme pentru reinițializarea unui echipament .....	109
Figura 6.17	Exemplul unui marcaj inițial .....	111
Figura 6.18	Exemplul unui marcaj final .....	112
Figura 6.19	Dinamica marcajului rețelei Petri.....	112
Figura 6.20	Propagarea jetoanelor .....	113
Figura 6.21	Exemplu de graf de cauzalitate.....	113
Figura 6.22	Exemplu de asamblare serială .....	113
Figura 6.23	Exemplu de rețea Petri etichetată de cronici .....	117
Figura 6.24	Tranziții concurente.....	117
Figura 6.25	Graficul cronicilor frecvente pentru scenariile prezentate .....	124
Figura 6.26	Timpul de execuție al algoritmului de recunoaștere.....	124
Figura 6.27	Timpul de execuție mediu pentru scenariile prezentate .....	125
Figura 6.28	Comparația facilităților OMNeT++ în raport cu FACE .....	127
Figura Anexa B.1	Topologia rețelei OMNeT++ .....	137
Figura Anexa C.1	Diagrama componentelor elementare ACE.....	138

### *Lista de tabele*

Tabelul 5.1	Baza de tranziții $T$ .....	85
Tabelul 5.2	Seturi frecvente.....	86
Tabelul 6.1	Rezultatele algoritmului pentru scenariul 1 .....	122
Tabelul 6.2	Rezultatele algoritmului pentru scenariul 2.....	122
Tabelul 6.3	Rezultatele algoritmului pentru scenariul 3.....	123
Tabelul 6.4	Comparație între OMNeT++ și FACE .....	126

## *i. Abstract*

In this Doctoral Thesis I propose some contributions for alarm analysis in telecommunication networks, in order to improve the chronicle recognition algorithm to help in the process of network supervision. I introduce an evolution of the chronicle recognition algorithm by using Petri Net assembly to analyze dependencies between frequent chronicles. First, chronicle recognition algorithm is used to determine relevant frequent chronicles, which appear in the alarm log. Then a Petri Net whose transitions are labelled with the solutions of the algorithm is assembled and further analyzed in order to describe the behaviour of the telecommunication network. By mixing the advantages of Petri Net and chronicle recognition algorithm the main outcome is obtaining a chronicle-labelled Petri Net that is useful in determining the minimal set of solutions, without losing information.

The actual phase of telecommunication services development implies that networks are increasing both in size and in complexity. Therefore, the telecommunication network monitoring system needs to handle an increasing volume of information about network events. Most of the information consists of alarms that are produced by network elements in spontaneous mode. For example, some alarms may concern functional problems of a physical element, some other alarms may indicate a software problem of the communication call control. These alarms produce an alarm flow that is gathered in alarm logs in order to be processed on-line or off-line by the network monitoring system. We need to be able to effectively manage the telecommunication network, and therefore the monitoring system must analyze the alarm logs in the search for major events in the system and eventual time correlations between alarms.

Because of the propagation delays that generally appear in telecommunication networks, the monitoring process is often misled and therefore a complete modelling must consider time constraints. The domain of research having as purpose the analysis of telecommunication networks continues to be studied by different authors with different methods that propose more or less complex modelling. For example, some methods propose an efficient rule-based language that was especially developed to allow a complete description of network events. Some other methods introduce object-oriented programming and data mining. I propose the use of a Petri Net assembly module with the purpose of analyzing dependencies between frequent chronicles.

Starting from the algorithm of chronicle recognition, the main objective of my research was to develop the algorithm make a software project to support it with experimental results. As defined in previous papers, alarm chronicles are successions of alarms that are correlated by order of appearance and time constraint. By choosing a minimal frequency of apparition, the chronicle recognition algorithm identifies patterns

that are frequent and may be relevant to the network monitoring. The chronicle recognition algorithm does not consider isolated alarms, which should be treated separately as non-frequent events. It is important to notice that the recognized chronicles are not classified into relevant or irrelevant ones, only the network monitoring experts may further analyze those patterns using expert-system reasoning. Therefore the algorithm does not substitute itself to expert systems, it only offers a support for network supervision. Expert reasoning can be obtained by human operator over a period of time and experience with the supervised telecommunication network, or by expert-system applications following logical correlation rules.

The mixed method presented here helps telecommunication networks supervisor systems to recognize frequent successions of alarms, which are called frequent chronicles. Then, by using Petri Net assembly, the method takes advantage of the powerful modelling facilities of Petri Nets. The main idea of this mixed method is that the algorithm and the Petri Net assembly should complete each other's potential to determine solutions. Hypotheses in Petri Net that meet a consecutive or concurrent situation are used to eliminate determined solutions and therefore eliminate whole branches of candidate chronicles. Consecutive situations mean that chronicles are causally related and mutually ordered and concurrent interaction means that chronicles may result in an interleaving firing. The result is a reduction of complexity of the algorithm itself, and because the Petri Net module is launched in parallel with the main module, it will not affect the execution time for determining the complete solution. In fact, execution time proved to be better when Petri Net module is introduced, because of the reduction in complexity.

Future work may consist in further developing of the algorithm to introduce predictive procedures that will allow experts to identify frequent chronicles even before all the sequences of alarms are identified in the system. Using predictive procedures the network monitoring system may ask the alarm collector to ignore the already recognized chronicles, thus gaining some immunity on alarm loss.

Telecommunication network experts that helped analyse the experimental results that I obtained during the development of a software project to support theoretical improvements of the algorithm, agreed that the proposed software project could be used successfully in network supervision and may constitute the basis of future development of expert-reasoning supervision systems for telecommunication networks and other similar network supervision processes based on alarm analysis.

## ii. Motivație

Domeniul în care îmi desfășor activitatea de o lungă perioadă de timp, în cadrul departamentului de dezvoltare de proiecte informatice pentru centralele telefonice *Alcatel 1000 E10* [1], m-a adus în contact direct cu tehnicile pentru prelucrarea alarmelor și prezentarea acestora către sistemele informatice de supervizare *NMC (Network Management Center)* [2].

Problema prelucrării alarmelor pentru a realiza supervizarea rețelelor de telecomunicații a făcut obiectul mai multor studii de specialitate, printre care menționez tezele de doctorat ale lui Armen Aghasaryan [3], Renée Boubour [25], Christophe Dousson [46] și Thang Vu Dong [131]. Teza de doctorat [3] a fost elaborată de un coleg, inginer de cercetare de la *Alcatel R&I (Research & Innovation)* la centrul din Marcoussis, Franța. Teza de doctorat [46] a fost dezvoltată de un inginer de sistem de la *CNET Francetelecom (Centre National d'Etudes des Télécommunications)* din Lannion, Franța, centru care are o strânsă colaborare cu departamentele *Alcatel E10 R&D (Research & Development)* din Lannion și Timișoara.

Aceste lucrări de referință au constituit o bază de pornire pentru studiul în domeniul analizei alarmelor în scopul recunoașterii cronicilor frecvente, care se finalizează, acum, prin prezentarea unei teze de doctorat conținând o soluție originală de abordare a problemei. Soluția este de a analiza cronicile frecvente recunoscute în jurnalele de alarme de telecomunicații folosind formalismul rețelelor Petri. Soluția a fost inițial sugerată în mai multe articole recente [6], [58] și [61], care prezintă o introducere în cadrul teoretic al problemei. Contribuția mea este dezvoltarea cadrului teoretic al analizei alarmelor și realizarea unui proiect informatic, într-un mediu de programare integrat, pentru susținerea soluției prin rezultate experimentale asupra unor simulări de laborator ale unor rețele de telecomunicații. Pe parcursul elaborării tezei, am publicat mai multe articole referitoare la acest subiect. Astfel, în articolul [113] am prezentat cadrul teoretic pentru aplicarea rețelelor Petri etichetate de cronicile frecvente recunoscute în jurnalele de alarme, în articolul [114] am prezentat o dezvoltare a algoritmului de recunoaștere a cronicilor frecvente, iar în articolul [115] o scurtă prezentare a mediului de programare *OMNeT++ (Objective Modular Network Testbed in C++)* [126], folosit pentru dezvoltarea proiectului informatic. Proiectul informatic este în regim de sursă liberă și l-am publicat pe site-ul web al comunității de programare *OMNeT++* [137]. Pentru analiza rezultatelor obținute în raport cu rezultatele publice ale altor cercetări similare, am ales compararea funcționalității proiectului informatic față de rezultatele prezentate la terminarea proiectului de cercetare *MAGDA (Modelisation et Apprentissage pour une Gestion Distribuée des Alarmes)* [134], [136], proiect comun *Alcatel*,



*Francetelecom și INRIA (Institut National de Recherche en Informatique et en Automatique).*

Aplicarea rețelelor Petri în domeniul rețelelor de telecomunicații nu este o abordare nouă și nici singulară. Deja de la începutul dezvoltării tehnicilor de comutație digitală pentru centralele telefonice, între anii 1980-1990, în centrele satelit numerice pentru racordarea posturilor telefonice s-au implementat module informatice, având la bază modelări cu rețele Petri. Rețelele Petri sunt utilizate, în principal, datorită capacităților lor de a exprima în mod simplu cauzalitatea unor evenimente într-un sistem considerat. În acest sens, proprietățile rețelelor Petri permit o foarte bună reprezentare a relațiilor dintre alarme în rețelele de telecomunicații.

Pentru realizarea practică a unui proiect informatic pentru modelarea cu rețele Petri în domeniul alarmelor de telecomunicații, am ales mediul integrat de dezvoltare *OMNeT++*, mediu de programare *public-source* care permite integrarea de module independente, fiind disponibil în regim de licență publică în mediul academic. Menționez că în mediul profesional sunt folosite medii de dezvoltare integrate mai puternice, cum ar fi *HyPerformix™ Workbench* sau *Mesquite® CSIM*, care necesită licențe comerciale. Consider că *OMNeT++* reprezintă un suport suficient și eficient pentru analiza în timp real a unor jurnalele de alarme simulate în condiții de laborator, de dimensiuni acceptabile. Dacă se dorește însă analiza în timp real a unor jurnale de alarme de dimensiuni mari atunci mediul de dezvoltare ajunge să fie limitat în reactivitate și nu mai este eficient pentru prelucrarea alarmelor. Rezultatele experimentale prezentate în teză sunt obținute prin analiza în timp real a unor jurnale de alarme recuperate de la anumite rețele de telecomunicații având un număr redus de echipamente, pentru a nu se ajunge la problemele de limitare datorate puterii de calcul a mediului de dezvoltare.

### *iii. Mulțumiri*

Această teză de doctorat prezintă studiul pe care l-am efectuat în ultimii ani în cadrul departamentului *CTR (Centre Technique Roumanie)* al *Alcatel România*. Prin urmare, mulțumesc domnului Gérard Guillemot, directorul departamentului *CTR* și domnului Gilbert Jaouen, directorul anterior al departamentului, pentru susținerea profesională și facilitarea obținerii de contacte și documentație tehnică necesară bunei desfășurări a activității mele de cercetare.

Doresc să-mi exprim întreaga gratitudine domnului Prof.Dr.Ing. Alimpie I gnea, conducătorul științific al tezei de doctorat, pentru încadrarea sa academică și aportul didactic deosebit și pentru că a reușit să îmi mențină deschis interesul către cercetarea științifică, în toți acești ani de pregătire a tezei de doctorat.

Pentru realizarea proiectului informatic, mulțumesc comunității de programatori *OMNeT++* pentru ajutorul oferit în problemele software specifice, atât pe forumul de dezvoltare cât și prin publicarea continuă de noi module mai performante și cu mai multe facilități de programare.

Mulțumesc, de asemenea, tuturor colegilor mei de la *Alcatel* din Timișoara, Lannion și Orvault, care m-au ajutat cu sfaturi sau recomandări ce mi-au fost de folos pentru redactarea tezei de doctorat.

Și, nu în ultimul rând, mulțumesc părinților și soției mele Daniela, pentru susținerea morală și, mai ales, înțelegerea și afecțiunea lor, pe parcursul anilor de pregătire a doctoratului.

## Capitolul 1. INTRODUCERE

În contextul actual al dezvoltării telecomunicațiilor [35], [36], [42], [43], [88], [94], [102], [103], [118], volumul de informații vehiculate în rețelele de telecomunicații este în continuă creștere, iar constrângerile pentru prelucrarea acestor informații în timp real constituie o problemă importantă pentru sistemele informatice de supervizare.

Din acest motiv, se impune procesarea prealabilă în timp real a fluxului de informații de notificare despre starea de funcționare a echipamentelor din rețea, în sensul filtrării acestor informații pentru a fi prezentat sistemelor informatice de supervizare. Problema este de un interes major pentru asigurarea funcționării în condiții optime a rețelelor de telecomunicații.

Informațiile de notificare referitoare la apariția unor defecțiuni sau evenimente în starea de funcționare, la un moment dat, a echipamentelor din rețea, sunt denumite, în mod generic, *alarme*. Mulțimea de alarme care este transportată într-o rețea de comunicații, într-un anumit interval de timp, se constituie într-un *flux de alarme*. Fluxul de alarme este analizat de către sistemele informatice de supervizare și se înregistrează în *jurnale de alarme*. Scopul principal al analizei jurnalelor de alarme este de a diagnostica starea de funcționare globală a rețelei de telecomunicații supervizată, pentru a putea lua decizii de intervenție sau de optimizare asupra elementelor de rețea, în caz de probleme de funcționare.

Un flux mare de alarme neprelucrate sau brute, ar duce la supra-încărcarea sistemului informatic de supervizare. De aceea, fluxul de alarme ar trebui filtrat pentru a reține doar acele informații care sunt pertinente sau relevante pentru evenimentele din rețeaua de telecomunicații și, eventual, de a le grupa în diferite categorii de alarme. De asemenea, se pune problema eliminării alarmelor parazite sau superflue, pentru a nu încărca procesul de supervizare. Declararea alarmelor ca fiind fie pertinente fie parazite impune intervenția unui expert sau a unui sistem expert în procesul de supervizare.

Un prim nivel de filtrare a alarmelor se realizează deja la nivelul echipamentelor din rețea, prin definirea anumitor priorități pentru alarme și folosirea unui mecanism de regularizare bazat pe priorități, dar o abordare sistematică a problemei filtrării alarmelor poate fi făcută doar prin aplicarea unor metode matematice.

Analiza fluxului de alarme de telecomunicații constituie o problemă care poate fi studiată cu ajutorul mai multor tehnici de modelare. Una dintre aceste tehnici de modelare, studiată mai recent în raport cu analiza fluxului de alarme de telecomunicații, este teoria rețelelor Petri. Comparativ cu alte metode de modelare, rețele Petri prezintă

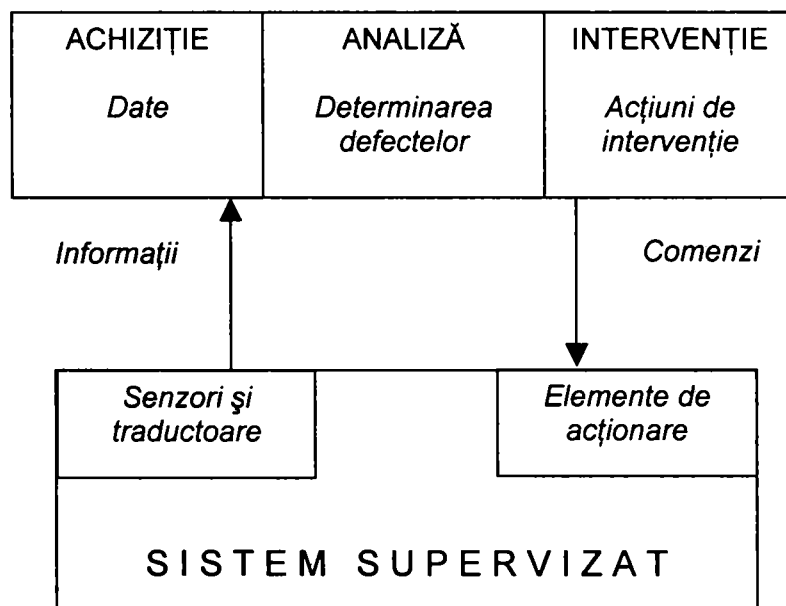
avantajul major de a avea capacitatea nativă de a reprezenta foarte bine evoluția în timp a sistemelor distribuite [99].

## 1.1 Supervizarea unui sistem dinamic

Supervizarea unui sistem dinamic [96] constă în urmărirea evoluției sale în timp, în scopul determinării eventualelor defecte de funcționare, pornind de la informațiile oferite de interfața sistemului.

Un sistem informatic de supervizare trebuie să conțină o componentă de colectare a informațiilor de notificare, o componentă de analiză a informațiilor și o componentă de intervenție asupra sistemului dinamic supervizat.

Arhitectura generală a unui sistem informatic de supervizare a unui sistem dinamic este prezentată în *Figura 1.1*:



**Figura 1.1** Arhitectura unui sistem informatic de supervizare : caz general

În cazul rețelelor de telecomunicații [42], [57], [90], [94], [118], așa cum am mai arătat, informațiile de notificare privind starea de funcționare a elementelor de rețea sunt denumite, în mod generic, *alarme* (cf. definiția alarmei din paragraful §2.1) Alarmerile sunt produse în mod automat și spontan de către elementele de rețea (comutatoare, unități de racordare de echipamente telefonice, mașini logice de control al comunicațiilor telefonice, etc.) și sunt transmise sistemului de supervizare. În prealabil, fluxul de alarme obținut este supus unui proces de filtrare [105], [107], [108], pentru a reține doar alarmele relevante din punct de vedere al funcționării elementelor de rețea care le-au emis.

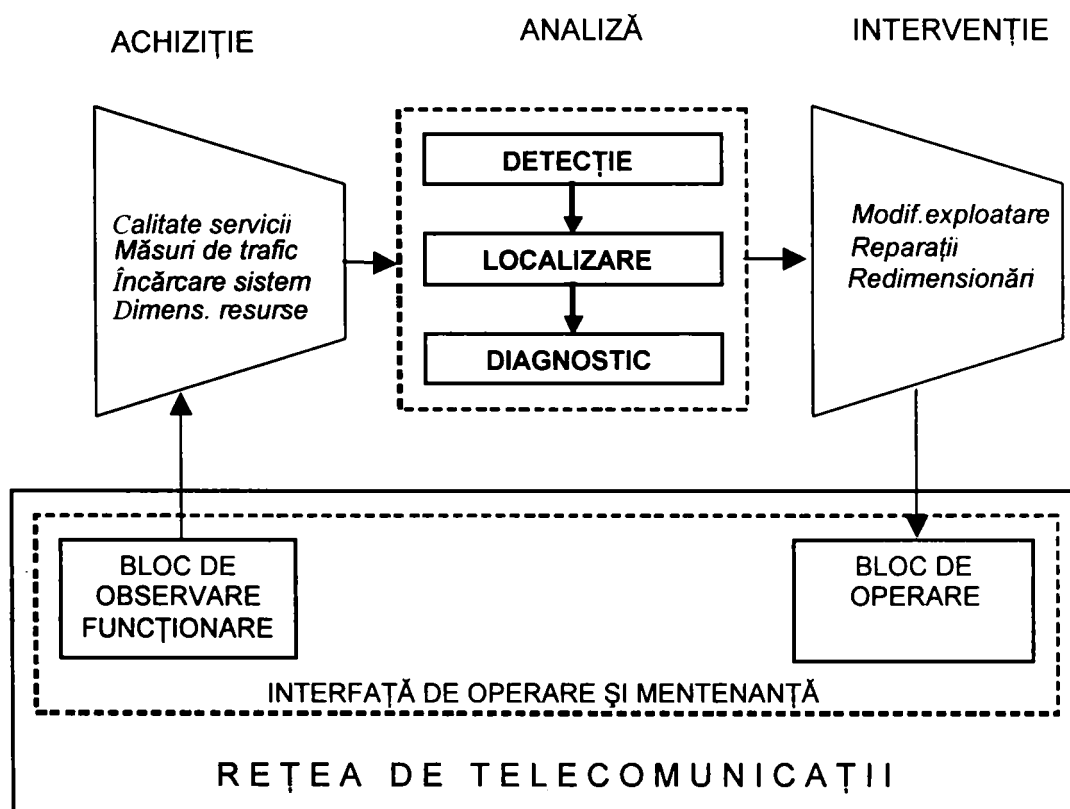
Obiectivele majore al unui sistem de supervizare a unei rețele de telecomunicații sunt următoarele:

- menținerea funcționării în condiții normale a rețelei,
- garantarea calității serviciilor de telecomunicații,
- urmărirea siguranței în funcționare.

Urmărirea siguranței în funcționare constituie un obiectiv aparte de diagnosticare a rețelei [50], [97], [101]. Diagnosticarea trebuie să permită detectarea, cât mai devreme posibil, a eventualelor probleme de funcționare pentru a evita degradarea calității serviciilor oferite de rețea. În acest sens, trebuie detectate eventualele disfuncțiuni și cauzele primare ale acestora și trebuie localizate componentele implicate.

Majoritatea arhitecturilor sistemelor informatice de supervizare a rețelelor de telecomunicații sunt arhitecturi structurale, având o organizare modulară. Aplicația informatică centrală în această organizare modulară trebuie să realizeze funcțiile principale de *analizare* a fluxului de alarme din rețea. Funcțiile principale necesare pentru o analiză completă sunt : *deteția alarmelor, localizarea erorilor și diagnosticarea alarmelor* [27]. Scopul final urmărit de aplicația informatică de supervizare a rețelelor de telecomunicații este de a menține calitatea serviciilor telefonice urmărind anumiți indicatori de calitate, definiți de standardele internaționale [30].

Arhitectura unui sistem de supervizare pentru o rețea de telecomunicații este prezentată în *Figura 1.2*:



**Figura 1.2** Arhitectura de supervizare : detaliere pentru rețele de telecomunicații

După cum se observă în figura de mai sus, procesul de achiziție de date are următoarele obiective [42], [57], [68], [91]:

- Urmărirea calității serviciilor telefonice prin gestionarea alarmelor,
- Urmărirea calității traficului de telecomunicații prin măsurări de trafic,
- Supervizarea încărcării rețelei în regim de funcționare de supra-sarcină,
- Dimensionarea resurselor pentru asigurarea serviciilor telefonice.

Nivelul calității serviciilor telefonice în rețea poate fi definit de un ansamblu de parametri care sunt măsurati, înregistrați și analizați de sistemul informatic de supervizare. Recomandarea *ITU E.420* [30] definește următorii 5 parametri fundamentali ai calității serviciilor telefonice:

- Garantarea posibilității clientului de a utiliza serviciile telefonice dorite,
- Oferirea unui nivel de servicii pentru inițializarea apelului telefonic,
- Oferirea unui nivel de servicii pe durata convorbirii telefonice,
- Garantarea calității tehnice a convorbirii telefonice,
- Exactitatea pentru taxare și factură telefonică.

Comportamentul acestor parametri poate fi controlat folosind anumiți indicatori ai calității serviciilor [57], cum sunt, de exemplu, rata de eficacitate a apelurilor, rata de întreruperi de comunicație, regulile de schimbare a tarifelor, etc.

Atunci când se constată o degradare a indicatorilor de supervizare a calității serviciilor telefonice, trebuie colectate măsuri detaliate pentru a analiza degradarea în vederea localizării cauzei care este la originea problemelor întâlnite. Acesta este procesul principal al sistemelor informatice de supervizare, numit proces de analiză.

Procesul de intervenție implementează deciziile luate în urma procesului de analiză și poate include măsuri de redimensionare a resurselor rețelei, modificări de exploatare și chiar reparații din punct de vedere software sau hardware asupra elementelor de rețea.

Interfața care permite atât achiziția de date cât și intervențiile în rețea este numită Interfață de Operare și Mentenanță și funcționează, în general, prin comenzi de operare om-mașină. În cazul centralei telefonice *Alcatel 1000 E10* [95] aceste comenzi sunt denumite *RHM (Relations Homme-Machine)*, iar rezultatele acestor comenzi precum și rezultatele furnizate de centrala telefonică sunt prezentate operatorului pe diferite console de vizualizare, numite *LFN (Logical File Name)*. Pentru vizualizarea alarmelor în cazul centralei *E10* sunt definite 3 console de vizualizare *LFN* corespunzătoare celor 3 categorii de alarme pe care le voi detalia în paragraful §2.1. Această soluție de vizualizare a alarmelor pe *LFN* a fost necesară pentru a permite operatorului din centrul local de supervizare a funcționării centralei telefonice *E10* să poată urmări anumite categoriile de alarme și pentru a separa astfel vizualizările acestor categorii de alarme față de alte

vizualizări ale altor procese de observație sau de operare care se realizează asupra centralei.

Vizualizarea alarmelor pe *LFN* este o soluție de prezentare adecvată atunci când numărul de alarme prezentat operatorului este relativ redus pentru a-i permite acestuia să intervină în scopul reparării problemei care a generat alarmele. *LFN*-urile de alarme reprezintă deci un prim nivel de filtrare a alarmelor, pe baza categoriilor lor de prelucrare (intervenție imediată, intervenție decalată sau fără imperativ de intervenție). Dar această filtrare pe criterii predefinite nu oferă întotdeauna posibilitatea de a determina în ansamblu toate alarmele relative la un anumit proces sau echipament.

Alarmele sunt exprimate sub diferite forme, cel mai des se regăsesc sub forma unei succesiuni de caractere alfanumerice, având o anumită semnificație. De exemplu, alarmele se pot regăsi sub forma unui text explicit sau o serie de caractere alfanumerice care codifică anumite cauze de eroare relative la un anumit proces sau echipament. În general, alarmele se regăsesc sub forma unor codificări care respectă anumite reguli de denumire. Respectarea acestor reguli de denumire ale alarmelor permite regruparea semnificațiilor alarmelor într-un document centralizator sub forma unui dicționar de alarme [2], [95].

În plus de vizualizarea locală a alarmelor, centrala telefonică permite transmiterea fluxului de alarme pentru vizualizarea distantă de la un punct central de supervizare a rețelei. Fluxul de alarme care este transmis către sistemul de supervizare este înregistrat în log-uri sau jurnale de alarme, pentru a fi analizate.

Anumite alarme pot fi consecințe ale altor alarme, intervenite anterior, datorită înlănțuirii de evenimente într-o rețea de telecomunicații. Problema care se studiază, în continuare, este de a defini o metodă de diagnosticare a evenimentelor din rețelele de telecomunicații pornind de la recunoașterea unor secvențe de alarme.

## 1.2 Metode de supervizare și diagnosticare

Pentru a soluționa problema de diagnosticare [20], [24], în cazul sistemelor cu evenimente discrete cum sunt rețelele de telecomunicații, în practică, se folosesc în mod frecvent două metode majore:

- Prima metodă este modelarea pe baza experienței și a raționamentului unui expert în supervizarea rețelelor. Avantajul acestei metode constă în faptul că este extrem de eficientă în localizarea rapidă a cauzelor primare, dar prezintă dezavantajele unei achiziții lente în timp a expertizei și probleme de continuitate a expertizei, atunci când rețeaua evoluează prin integrarea de noi echipamente. De asemenea, un alt dezavantaj ar fi fenomenul de erodare a expertizei în timp, fie datorită

schimbărilor care apar în structura rețelei de telecomunicații, fie datorită creșterii fluxului de informații, după cum este prezentat în lucrarea [105].

- A doua metodă este bazată pe modelarea explicită a stărilor de funcționare și de disfuncționare. Avantajul ar fi că se separă cunoștințele despre funcționarea rețelei față de raționamentul propriu-zis de diagnosticare, obținându-se astfel modele generice și adaptabile [47]. Dezavantajul major este că această metodă necesită o modelare complexă, necesitând medii evolute de modelare. Menționăm că în cazul rețelelor de telecomunicații anumite disfuncționări pot reprezenta un mod acceptabil de lucru, cum ar fi de exemplu funcționarea în regim de suprasarcină.

Mai multe lucrări din literatura de specialitate prezintă diferite abordări posibile ale problemelor de analiză și modelare [44], [70], [89], [92], [105].

În lucrarea [105] se definesc reguli eficiente de filtrare, descrise pe cele trei nivele de operare ale rețelelor de telecomunicații:

- reguli de topologie, la nivelul rețelei,
- reguli de interdependență, la nivelul alarmelor,
- reguli expert, la nivelul sistemului de supervizare.

O dezvoltare a problemei de filtrare este descrisă în lucrarea [92], unde se prezintă un sistem de corelare a evenimentelor folosind tehnici de programare bazate pe obiecte prin construirea unor arbori de corelare a alarmelor.

Anumite tehnici specifice au fost dezvoltate pentru a lua în considerare constrângerile temporale dintre alarme, conform lucrărilor [44] și [70]. În aceste lucrări, se folosește preponderent metoda de expertiză pentru a crea algoritmi de filtrare, pornind de la anumite reguli de asociere sau de grupare a alarmelor. Lucrările [119], [120], [121], [122], [123] și [124] folosesc noțiuni de modelare calitativă.

Alte tehnici utilizează modele de comportament sub forma unor automate definite în prealabil de un sistem expert. Lucrările [4] și [44] prezintă definirea automatelor expert pentru a construi un simulator care să genereze succesiuni de alarme etichetate prin defectele de funcționare care le provoacă. În ipoteza unor astfel de colecții de fenomene bine identificate și etichetate, în lucrările [21], [22] și [23] se propune generalizarea acestor succesiuni de alarme, determinând ansamblul lexical de atribute care sunt comune tuturor exemplilor unei defecțiuni și care nu sunt recunoscute prin nici un contra-exemplu. Pentru această etapă de filtrare (discriminare și generalizare), în lucrările [60] și [63] se propune utilizarea unor tehnici de programare cu logică inductivă.

Problema exploatarei informațiilor de supervizare din rețelele de telecomunicații pentru determinarea frecvenței de apariție a unor succesiuni de alarme este studiată în lucrările [47] și [51].

Un aspect important, care trebuie luat în considerare în domeniul rețelelor de telecomunicații, îl constituie absența alarmelor, de exemplu, atunci când un echipament



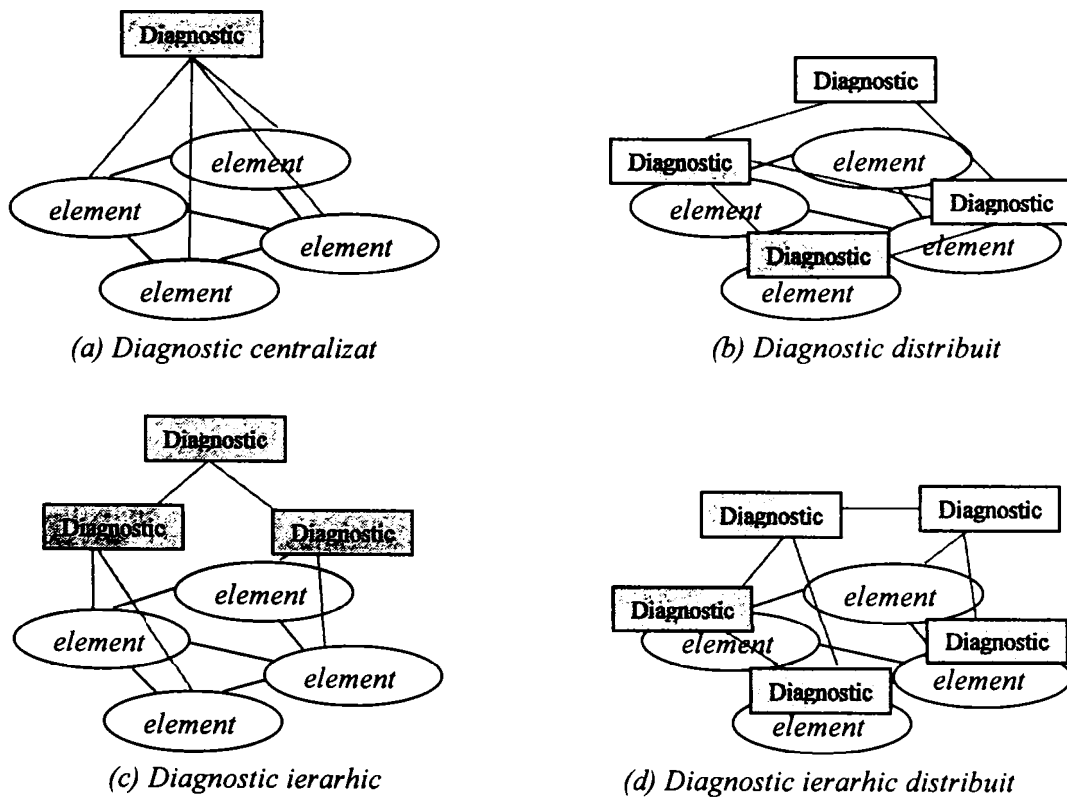
din rețea nu mai transmite informații asupra stării sale de funcționare. Acest aspect poate fi tratat sub forma reprezentării evoluției alarmelor în timp. Lucrarea [44] propune o astfel de reprezentare a evoluției alarmelor în timp, introducând noțiunea de cronică de alarmă, ca fiind o succesiune de alarme ordonate temporal.

Modelul matematic necesar pentru descrierea acestor metode nu este întotdeauna accesibil și aplicabil rețelelor de telecomunicații, deoarece operatorii rețelelor trebuie să supravezeze, în general, echipamente de la mai mulți producători și prin urmare, nu cu același nivel de cunoștințe despre aceste echipamente, așa cum le cunosc producătorii acestora. Constructorii de echipamente dețin cunoașterea precisă a comportamentului echipamentelor pe care le produc.

Menționăm aici un aspect general referitor la comunicațiile de date [88]: sistemele de supravezare pentru comunicațiile de date prezintă mai multe arhitecturi posibile pentru procesul de diagnosticare. Arhitecturile de diagnosticare [37] pot fi clasificate în următoarele categorii:

- diagnostic centralizat,
- diagnostic distribuit,
- diagnostic ierarhic,
- diagnostic ierarhic distribuit.

Aceste arhitecturi de diagnostic pot fi reprezentate ca în *Figura 1.3*:



**Figura 1.3 (a) Diagnostic centralizat (b) Diagnostic distribuit (c) Diagnostic ierarhic (d) Diagnostic ierarhic distribuit**

Alegerea arhitecturii de diagnostic este importantă pentru a decide asupra localizării modulelor informatice de analiză a alarmelor. În cazul diagnosticului centralizat, analiza alarmelor se va face la nivelul central al sistemului de supervizare a rețelei, iar în cazul diagnosticului distribuit alarmele se vor analiza la nivelul elementelor de rețea [96], [97], [98].

### 1.3 Organizarea tezei

Teza este organizată în șase capitole, dintre care primele 5 capitole prezintă cadrul teoretic al problemei studiate, în toate aspectele care intervin, iar *Capitolul 6* conține prezentarea proiectului informatic și analiza rezultatelor experimentale.

După partea introductivă din *Capitolul 1*, în *Capitolul 2* se prezintă noțiunile teoretice referitoare la gestionarea alarmelor, prezentarea algoritmului generic de recunoaștere a cronicilor frecvente și exemplificarea acestuia asupra unui caz concret. De asemenea, se prezintă o nouă metodă pentru extensia algoritmului prin introducerea unei proceduri pentru calculul constrângerilor temporale. Pentru dezvoltarea algoritmului prezentat în *Capitolul 2* s-a folosit teoria temporală bazată pe momente. De aceea, în *Capitolul 3* se prezintă teoriile temporale generale și se detaliază algebra momentelor.

În *Capitolul 4* se introduc bazele teoretice pentru descrierea rețelelor Petri iar în *Capitolul 5*, noțiunile teoretice despre regulile de asociere și câteva exemple originale de asociere a unor alarme.

*Capitolul 6* începe prin descrierea mediului de programare utilizat, OMNeT++ și prezentarea în detaliu a modulelor proiectului informatic realizat. La finalul *Capitolului 6* se prezintă rezultatele experimentale obținute. În încheiere se prezintă concluziile și contribuțiile originale referitoare la problema studiată.

### 2.1 Definiția alarmei

În *Dicționarul explicativ al limbii române – DEX* [133], se prezintă următoarea definiție pentru noțiunea de *alarmă*:

#### **Definiția 2.1**

**Alarm**//ă ~e *s.f.* 1) Semnal prin care se anunță apropierea unui pericol iminent; alertă; **a da** (*sau a suna*) ~a. 2) Sentiment de neliniște, de îngrijorare la apropierea unei primejdii. - din Fr. *alarme*.

În rețelele de telecomunicații, toate perturbările care au consecință asupra calității serviciilor telefonice trebuie semnalate operatorului și sistemului informatic de supervizare prin mijloace vizuale și sonore corespunzătoare, denumite, în mod generic, alarme. O exprimare echivalentă a definiției alarmei, în cazul rețelelor de telecomunicații, este că aceasta reprezintă un semnal de avertizare care apare în urma detecției unei degradări a serviciilor telefonice.

Din punct de vedere *semantic*, alarmele prezintă patru caracteristici principale (indexul, momentul de apariție, tipul și categoria) și mai multe caracteristici complementare (gradul de prioritate, obiectul la care se referă, textul explicativ pentru descrierea alarmei)

Indexul de definiție al unei alarme este o referință, în general în format alfanumeric, care respectă o anumită regulă de denumire. Aceste referințe alfanumerice sunt regrupate în dicționare de alarme, indexate alfabetic, unde sunt descrise alarmele și acțiunile care trebuie efectuate de operator pentru a repara elementul fizic sau logic care a produs respectiva alarmă.

Momentul de apariție al alarmei în rețea este exprimat, în general, în formatul clasic (data și ora), dar se poate găsi, în anumite rețele telefonice, sub forme mai speciale (de exemplu numărul zilei din anul curent în loc de exprimarea clasică a datei).

Tipul de alarmă descrie originea tehnică a alarmei. Se disting două mari familii de tipuri de alarme:

- alarmele interne, generate de elementele componente ale rețelei,
- alarmele externe, generate în afara rețelei, dar care sunt transportate în rețea în regim de tranzit.

Alarmele de tip intern se clasifică în următoarele 4 sub-tipuri:

- Alarmer interne de comunicație, sunt alarme generate în urma unei erori de funcționare a elementelor de rețea, erori care pot provoca chiar o degradare generală a funcționării rețelei de telecomunicații.
- Alarmer interne de taxare, sunt alarme generate în raport cu sistemul de taxare al comunicațiilor, fie la depășirea unor nivele de taxare (cum sunt, de exemplu, schimbările de tarif noapte-zi), fie la o eroare în sistemul de colectare a taxelor sau a facturilor detaliate.
- Alarmer interne de transmisie, sunt alarme generate de erori în sistemul de transmitere de mesaje numerice.
- Alarmer interne de supraveghere rețea, sunt alarme generate în cazul detectării unor anomalii de funcționare a rețelei, în general fiind sub forma unor depășiri ale unor niveluri limită.

Alarmerle de tip extern se clasifică în mai multe sub-tipuri, dintre care se pot enumera alarmerle de întrerupere a alimentării cu energie electrică, alarmerle de climatizare sau de încălzire, alarmerle de efracție etc.

Categoriile alarmerelor se definesc având la bază obiective de disponibilitate a sistemului de supervizare pentru garantarea calității serviciilor telefonice [30]. Categoriile permit definirea timpului de intervenție logistică și de reparație, asociat unei alarme.

În mediul profesional, se definesc 3 categorii de alarme:

- Alarmer cu intervenție imediată, pentru alarmerle care necesită o intervenție de logistică și reparație urgentă, cu un timp de intervenție de maxim 4 ore,
- Alarmer cu intervenție decalată, pentru alarmerle cu un grad de gravitate mai mic, dar care necesită un timp de intervenție stabilit la 12½ ore,
- Alarmerle fără imperativ de intervenție, pentru alarmerle care pot fi rezolvate într-un timp de intervenție de 72 de ore.

După cum am mai spus, caracteristicile complementare ale alarmerelor sunt gradul de prioritate, obiectul la care se referă și textul explicativ.

Gradul de prioritate al alarmerelor permite operatorului rețelei de telecomunicații să garanteze semnalizarea alarmerelor esențiale pentru buna funcționare a rețelei. Alarmerle mai puțin prioritare pot fi ignorate, eventual, în cazul depășirii unui anumit nivel de umplere a zonei de memorare a alarmerelor, în cazul intervenției unui mecanism de regularizare a alarmerelor. Prioritatea poate varia pe o scară de la 0 (prioritare maximă) la  $n$  (prioritare minimă). Menționăm că, în mediul profesional, gradul de prioritate nu este prezentată sistemului de supervizare pentru a nu destabiliza funcționarea aplicațiilor informatice distante. Gradul de prioritate este deci valabil doar pentru modul local de gestionare a alarmerelor și nu este retransmis către sistemul de supervizare distant.

O alarmă se referă întotdeauna la un obiect. În acest sens, noțiunea de obiect al alarmei este o extensie a noțiunii de element de rețea și se poate referi la:

- Un element de rețea sau *stație materială* care a produs alarma,
- Un modul informatic sau *stație logică* de unde s-a produs alarma.

În general, textul explicativ pentru descrierea alarmei este un text cu informații complementare despre respectiva alarmă. Textul explicativ poate fi astfel parametrizat încât să indice și alte informații complementare, de exemplu localizarea fizică a echipamentului de rețea care a produs alarma.

## 2.2 Metode de analiză a alarmelor

În continuare voi prezenta o metodă de abordare a filtrării jurnalelor de alarme în rețelele de telecomunicații utilizând metoda recunoașterii fenomenelor recurente prin modelare cu rețele Petri [113], [114]. Principiul de bază al metodei este de a analiza jurnalele de alarme pentru a determina succesiunile de alarme care se repetă cu o anumită frecvență. Alarmerle respective pot fi grupate în categorii de alarme, pentru a reduce numărul de notificări prezentate sistemului de supervizare.

Rolul modulului de analiză a alarmelor este de a traduce informațiile transmise de diferitele module de detecție și de a le grupa pentru a face un diagnostic sau pentru simpla editare a informațiilor sub o anumită formă, de a edita alarmele în timp real pe fișiere logice sau console de vizualizare, de a retransmite alarmele active către centrul de supervizare, de a dispacheriza alarmele în funcție de priorități.

Metoda de analiză a jurnalelor de alarme se bazează pe trei procese elementare care sunt descrise în continuare :

- Prima componentă a analizei alarmelor este descoperirea alarmelor recurente [53], [54], [58], [114]. Această primă componentă se constituie în etapa de *detecție* a algoritmului. În etapa de detecție nu putem concluziona dacă alarma este pertinentă sau nu pentru constituirea unei cronici de alarme.
- A doua componentă a analizei este determinarea pertinentei sau a relevanței alarmelor construind grafurile de dependență. Această componentă constituie etapa de *localizare* a alarmelor în sistem.
- A treia componentă este etapa de *diagnosticare*. Problemele care apar în această etapă se datorează dimensiunilor și complexității rețelelor, mascarea și chiar pierderea unor alarme din cauza saturării tamponelor de memorare, întârzierile de propagare a alarmelor în rețea și uneori dinamica resurselor din rețea prin anumite schimbări de configurare.

Metoda de gestionare a alarmelor studiată, în continuare, se bazează pe analiza frecvenței de apariție a alarmelor în jurnalele de alarme. Se caută evidențierea unor secvențe tipar sau a unor succesiuni de alarme care se repetă mai des, numite *cronici* [6], [46], [48].

În aplicarea metodei nu va conta dacă o secvență tipar ce apare frecvent va permite reducerea fluxului de informații prezentate operatorului sau sistemului de supervizare, ci doar dacă acea cronică va corespunde unui defect de funcționare. Această clasificare în *cronici parazite* și *cronici relevante* trebuie însă făcută de un expert în analiza rețelei de telecomunicații.

În anumite cazuri, se poate ajunge la situații extreme când o succesiune de alarme se produce foarte rar și poate fi pierdută în mulțimea alarmelor parazite. Aceste cazuri sunt numite *iregularități* ale jurnalului de alarme și trebuie să fie luate în considerare cu aceeași pondere ca și cronicile relevante.

Pentru studierea cronicilor relevante trebuie să definim termenii care intervin. Astfel, ordinea alarmelor în cadrul unei cronici este specificată de o constrângere temporală. Un exemplu de constrângere temporală, exprimată textual, este următorul: „o alarmă se poate produce la maxim 10 secunde după o altă alarmă”.

O abordare asemănătoare se găsește în lucrarea [80], dar aici nu sunt tratate decât două tipuri de cronici (numite *episoade*). Episoadele pot fi *paralele* (alarme neordonate) sau *seriale* (alarme total ordonate). Singura constrângere temporală autorizată este aceea de limită maximă de timp (dimensiunea domeniului definit ca fereastră de observație) care trebuie definită de către utilizator. Lucrarea, având caracter teoretic, propune de asemenea, câteva extensii ale tratamentului episoadelor paralele și seriale, dar fără a prezenta o implementare practică.

Cronicile de alarme, definite în prezenta lucrare, sunt mai complete decât cele din lucrarea [80], deoarece includ noțiuni de ordonare parțială temporală a alarmelor prin introducerea unor calcule privind constrângerile temporale dintre alarme.

### 2.3 **Jurnale de alarme**

Definiția unui *jurnal de alarme* se poate enunța astfel:

#### **Definiția 2.2**

*Un jurnal de alarme este o listă de alarme ordonate cronologic după momentele lor de apariție în rețea.*

Astfel, într-un jurnal de alarme ajung să se înregistreze informații transmise de diferitele elemente de rețea, referitoare la starea lor de funcționare. Astfel, într-un jurnal de alarme se pot înregistra informații pentru o anumită perioadă de timp. Prin noțiunea de jurnal se înțelege implicit înregistrarea pentru o perioadă de o zi (fr. *jour*). În general, în rețelele de telecomunicații, înregistrarea alarmelor se face zilnic, iar operația se numește *jurnalizarea* alarmelor. Jurnalele pot fi regrupate, prin adăugare, pentru a obține

înregistrări *hebdomadare* sau *lunare*. În sens invers, perioada de timp a jurnalelor poate fi descompusă în mai multe *ferestre de observație*.

Momentele de apariție ale alarmelor sunt considerate în raport cu sistemul de supervizare și nu în raport cu elementele de rețea care produc alarmele, deoarece în rețea pot să apară întârzieri în propagarea alarmelor.

Pentru a exemplifica un jurnal de alarme, în *Figura 2.1* se prezintă un extras pentru un caz real de înregistrare a funcționării a două elemente de rețea, denumite UNIT1 și UNIT2. Din motive de mărime a jurnalului de alarme prezentăm o înregistrare pe o fereastră de observație de 15 minute, suficientă pentru analiza care va fi efectuată în continuare:

Index / Data / Ora / Tip / Categorie / Obiect / Text explicativ
*A001/05-05-25/12H01/TYP=COM/CAT=WI/UNIT1 IN SERVICE
*A009/05-05-25/12H04/TYP=COM/CAT=IM/UNIT1 OUT OF SERVICE
*A001/05-05-25/12H05/TYP=COM/CAT=WI/UNIT1 IN SERVICE
*A007/05-05-25/12H05/TYP=COM/CAT=ID/UNIT2 OVERLOAD
*A007/05-05-25/12H07/TYP=COM/CAT=ID/UNIT1 OVERLOAD
*A009/05-05-25/12H07/TYP=COM/CAT=IM/UNIT1 OUT OF SERVICE
*A001/05-05-25/12H10/TYP=COM/CAT=WI/UNIT1 IN SERVICE
*A009/05-05-25/12H11/TYP=COM/CAT=IM/UNIT2 OUT OF SERVICE
*A007/05-05-25/12H13/TYP=COM/CAT=ID/UNIT1 OVERLOAD
*A009/05-05-25/12H14/TYP=COM/CAT=IM/UNIT1 OUT OF SERVICE
*A001/05-05-25/12H15/TYP=COM/CAT=WI/UNIT2 IN SERVICE
*A009/05-05-25/12H15/TYP=COM/CAT=IM/UNIT1 OUT OF SERVICE

**Figura 2.1 Exemplu de jurnal de alarme**

În raport cu definirea caracteristicilor alarmelor din paragraful §2.1, alarmele din acest exemplu conțin caracteristicile principale (tip și categorie) și alte caracteristici complementare (index de definiție, data și ora apariției în rețea, textul de descriere a alarmei). Indexul, notat *\*Annn* permite referirea la un dicționar de alarme, indexat după această caracteristică. Toate alarmele din acest exemplu sunt de tip comunicație *TYP=COM*. Categoriile din acest exemplu respectă cele 3 categorii standardizate (*WI* – fără intervenție, *ID* – intervenție decalată, *IM* – intervenție imediată). Obiectele la care se referă alarmele sunt două unități din rețea, iar textul explicativ este de 3 feluri.

Divizarea jurnalelor de alarme în ferestre de observație este necesară atunci când numărul de alarme înregistrate este foarte mare în raport cu puterea de calcul a sistemului

de supervizare. Rezultatele obținute pe timpul ferestrelor de observație pot fi regrupate în final pentru a obține rezultatele referitoare la perioada totală a jurnalului de alarme respectiv.

Fereastra de observație pentru jurnalul de alarme prezentat în *Figura 2.1* poate fi exprimată ca un ansamblu temporal *complet ordonat* de momente de apariție, notat  $t=[1:15]$ , având  $t \in T(J)$ , unde  $T(J)$  este perioada globală de înregistrare a alarmelor în jurnal.

Exprimarea matematică a unei alarme este un cuplu de elemente  $(x^i, t_0)$ , unde  $x^i$  este tipul alarmei, referitor la elementul de rețea  $i$ , iar  $t_0$  este momentul de apariție al alarmei. Folosind aceste notații, din jurnalul de alarme din *Figura 2.1*, referitor la elementul de rețea UNIT1, se pot evidenția tipurile de alarme  $a^1$  pentru IN SERVICE,  $b^1$  pentru OVERLOAD și  $c^1$  pentru OUT OF SERVICE. În mod similar, referitor la elementul de rețea UNIT2 se pot exprima tipurile de alarme  $a^2, b^2$  și  $c^2$ .

Cu aceste notații matematice ale alarmelor în jurnalul din *Figura 2.1*, se obține exprimarea din *Figura 2.2*:

Index / Data / Ora / Tip / Categorie / Obiect / Text explicativ	
*A001/05-05-25/12H01/TYP=COM/CAT=WI/UNIT1 IN SERVICE	$(a^1,1)$
*A009/05-05-25/12H04/TYP=COM/CAT=IM/UNIT1 OUT OF SERVICE	$(c^1,4)$
*A001/05-05-25/12H05/TYP=COM/CAT=WI/UNIT1 IN SERVICE	$(a^1,5)$
*A007/05-05-25/12H05/TYP=COM/CAT=ID/UNIT2 OVERLOAD	$(b^2,5)$
*A007/05-05-25/12H07/TYP=COM/CAT=ID/UNIT1 OVERLOAD	$(a^1,7)$
*A009/05-05-25/12H07/TYP=COM/CAT=IM/UNIT1 OUT OF SERVICE	$(c^1,7)$
*A001/05-05-25/12H10/TYP=COM/CAT=WI/UNIT1 IN SERVICE	$(a^1,10)$
*A009/05-05-25/12H11/TYP=COM/CAT=IM/UNIT2 OUT OF SERVICE	$(c^2,11)$
*A007/05-05-25/12H13/TYP=COM/CAT=ID/UNIT1 OVERLOAD	$(b^1,13)$
*A009/05-05-25/12H14/TYP=COM/CAT=IM/UNIT1 OUT OF SERVICE	$(c^1,14)$
*A001/05-05-25/12H15/TYP=COM/CAT=WI/UNIT2 IN SERVICE	$(a^2,15)$
*A009/05-05-25/12H15/TYP=COM/CAT=IM/UNIT1 OUT OF SERVICE	$(c^1,15)$

**Figura 2.2** Reprezentarea matematică a unui jurnal de alarme

Am ales această determinare a tipurilor de alarme ținând cont de succesiunea logică a stărilor unui element de rețea. Astfel, presupunem că starea inițială de funcționare a elementelor de rețea studiate este operațională (IN SERVICE), apoi considerăm cazul unei stări de funcționare în suprasarcină (OVERLOAD) și cazul unei stări



de nefuncționare (OUT OF SERVICE). Alegerea în ordine alfabetică a tipurilor de alarme va fi folosită ulterior pentru a facilita ordonarea alarmelor.

Facem o observație suplimentară referitor la ipotezele de lucru: presupunem că alarmele sunt în mod corect datate în jurnalul de alarme, eliminând astfel eventualele iregularități datorate întârzierilor cu care sunt notificate anumite alarme, dar vom lua în considerare eventualele întârzieri datorate propagării mesajelor în rețea atunci când vom defini algoritmul pentru sistemul de recunoaștere a cronicilor din jurnalul de alarme.

Cu notațiile introduse anterior, pentru tipurile de alarme și momentele de apariție, jurnalul de alarme din poate fi exprimat matematic astfel:

$$J = \{(a^1,1)(c^1,4)(a^1,5)(b^2,5)(b^1,7)(c^1,7)(a^1,10)(c^2,11)(b^1,13)(c^1,14)(a^2,15)(c^1,15)\} \quad (2.1)$$

Se observă că alarmele care intervin în relația (2.1) sunt distincte, adică identificabile, în mod unic, prin tip de alarmă și momentul ei de apariție. De asemenea, se observă că alarmele referitoare la primul element de rețea sunt *repetitive*, adică se regăsesc de mai multe ori în jurnal.

### 2.3.1 Momentele de apariție ale alarmelor

Din jurnalul exprimat prin relația (2.1) se pot extrage două jurnale, câte unul pentru fiecare din cele două elemente de rețea care au emis alarmele. Această extragere relativă la un anumit obiect este folosită pentru a distinge elementele de rețea supervizate.

Pentru elementul de rețea UNIT1, expresia matematică a jurnalului de alarme este următoarea:

$$J_{t=[1..15]}^1 = \{(a^1,1)(c^1,4)(a^1,5)(b^1,7)(c^1,7)(a^1,10)(b^1,13)(c^1,14)(c^1,15)\} \quad (2.2)$$

Pentru elementul de rețea UNIT2, jurnalul de alarme corespunzător este:

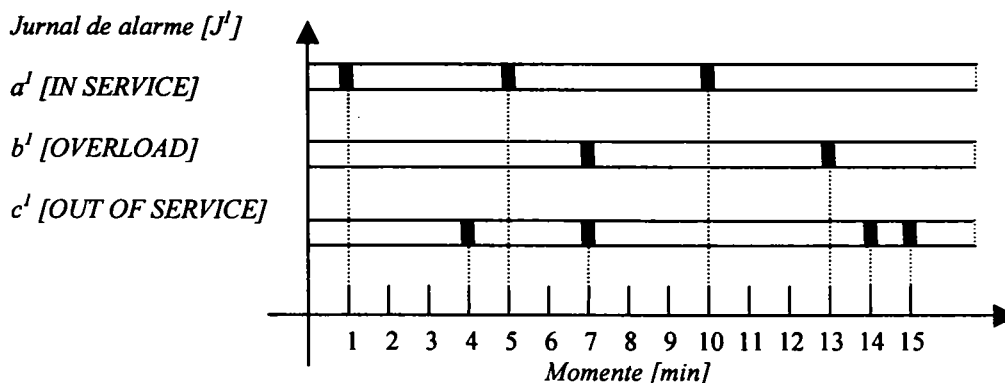
$$J_{t=[1..15]}^2 = \{(b^2,5)(c^2,11)(a^2,15)\} \quad (2.3)$$

Pentru exemplificarea grafică a extragerii alarmelor referitoare numai la elementul de rețea UNIT1, se pot scoate în evidență alarmele luate în considerare, așa cum este prezentat în *Figura 2.3*:

Index	Data	Ora	Tip	Categorie	Obiect	Text explicativ
*A001/05-05-25/12H01/TYP=COM/CAT=WI/UNIT1						IN SERVICE
*A009/05-05-25/12H04/TYP=COM/CAT=IM/UNIT1						OUT OF SERVICE
*A001/05-05-25/12H05/TYP=COM/CAT=WI/UNIT1						IN SERVICE
*A007/05-05-25/12H05/TYP=COM/CAT=ID/UNIT2						OVERLOAD
*A007/05-05-25/12H07/TYP=COM/CAT=ID/UNIT1						OVERLOAD
*A009, 05-05-25, 12H07, TYP=COM, CAT=IM/UNIT1						OUT OF SERVICE
*A001/05-05-25/12H10/TYP=COM/CAT=WI/UNIT1						IN SERVICE
*A009/05-05-25/12H11/TYP=COM/CAT=IM/UNIT2						OUT OF SERVICE
*A007/05-05-25/12H13/TYP=COM/CAT=ID/UNIT1						OVERLOAD
*A009/05-05-25/12H14/TYP=COM/CAT=IM/UNIT1						OUT OF SERVICE
*A001/05-05-25/12H15/TYP=COM/CAT=WI/UNIT2						IN SERVICE
*A009/05-05-25/12H15/TYP=COM/CAT=IM/UNIT1						OUT OF SERVICE

**Figura 2.3 Extragerea alarmelor referitoare la un obiect**

Reprezentarea grafică a jurnalului de alarme din relația (2.2) pentru elementul de rețea UNIT1 este următoarea:



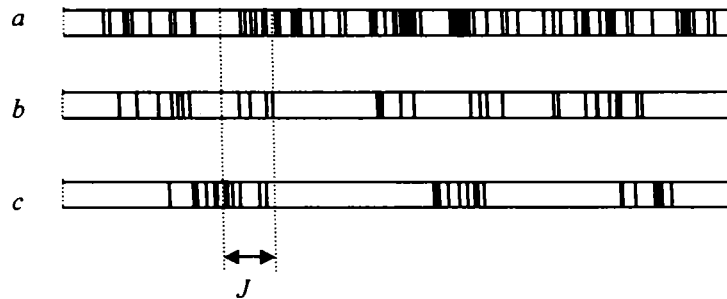
**Figura 2.4 Reprezentarea grafică a momentelor alarmelor**

O remarcă importantă referitoare la relațiile (2.1) și (2.2) este că acestea exprimă alarme care apar simultan, cum este cazul alarmelor  $(a^1,5) \leftrightarrow (b^2,5)$ ,  $(b^1,7) \leftrightarrow (c^1,7)$  și  $(a^2,15) \leftrightarrow (c^1,15)$ . Dacă folosim exprimarea matematică fără precizarea momentelor de apariție a alarmelor, indicând numai ordinea de apariție, se va pierde caracteristica de simultaneitate a acestor alarme și, în acest caz, reprezentarea matematică ar fi incompletă. Pentru a evidenția faptul că anumite alarme au apărut simultan în jurnalul de alarme din expresia (2.1), vom folosi notația echivalentă:

$$J = \left\{ \begin{matrix} a^1 c^1 & a^1 b^1 & a^1 c^2 b^1 & c^1 & c^1 \\ & b^2 c^1 & & a^2 & c^1 \end{matrix} \right\} \quad (2.4)$$

Expresia (2.4) constituie reprezentarea jurnalului de alarme (2.1) fără *constrângeri temporale* [70], deci fără precizarea momentelor de apariție a alarmelor, dar cu respectarea ordinei de apariție a alarmelor.

Prin extinderea ferestrei de observație asupra elementului de rețea UNIT1 momentele de apariție ale alarmelor referitoare la acesta se reprezintă, în mod uzual, printr-un ansamblu de “benzi” de momente de apariție. De exemplu în *Figura 2.5* se reprezintă 3 benzi de momente de apariție a unor alarme:



**Figura 2.5** Reprezentarea alarmelor sub formă de benzi de momente de apariție

Momentele de apariție a alarmelor sunt definite ca primitive temporale din algebra momentelor [83]. Timpul este considerat un ansamblu discret total ordonat de momente. Astfel, pentru două momente  $t_1$  și  $t_2$ , constrângerea temporală, definită ca fiind de la  $t_1$  la  $t_2$ , este reprezentată de un interval de timp  $[I^-, I^+]$  care verifică relația:

$$t_1 + I^- \leq t_2 \leq t_1 + I^+ \quad (2.5)$$

$I^-$  și  $I^+$  definesc *minorantul* și respectiv *majorantul* distanței temporale orientate de la  $t_1$  la  $t_2$ . Un graf  $T$  de constrângeri temporale între instanțe este un graf orientat ale cărui vârfuri sunt instanțele de timp, iar arcul de la  $t_1$  la  $t_2$  se numește *constrângerea temporală* de la  $t_1$  la  $t_2$  și se notează  $K_T(t_1 \rightarrow t_2)$ . Absența constrângerilor temporale între două instanțe se reprezintă  $(-\infty, +\infty)$ .

Între grafurile constrângerilor temporale [78] vom defini relația de incluziune ca fiind o relație de ordine parțială, prin următoarea expresie matematică:

$$T_1 \subseteq T_2 \equiv_{def} \forall (t_1, t_2) \in T_1 \Rightarrow K_{T_1}(t_1 \rightarrow t_2) \subseteq K_{T_2}(t_1 \rightarrow t_2) \quad (2.6)$$

Un graf de constrângeri temporale poate avea mai multe reprezentări echivalente, dar există o singură reprezentare minimală a cărei calculare și verificare a consistenței globale se pot determina folosind algoritmul Floyd-Warshall [78], având o anumită complexitate. Implementarea algoritmului Floyd-Warshall în pseudo-limbaj de programare este următoarea :

```

function floyd-warshall (int[0..n,0..n] graph)
{
    // Initializarea grafului
    var int[0..n,0..n] dist := graph
    var int[0..n,0..n] pred
    for i = 0 to n
        for j = 0 to n
            if dist[i,j] > 0
                pred[i,j] := i
    // Bucla principală a algoritmului
    for k = 0 to n
        for i = 0 to n
            for j = 0 to n
                if dist[i,j] > dist[i,k] + dist[k,j]
                    dist[i,j] = dist[i,k] + dist[k,j]
                    pred[i,j] = pred[k,j]

    return dist
}

```

În continuare, vom considera sistematic reprezentarea minimală a grafului de constrângeri temporale.

### 2.3.2 Duratele alarmelor

Deoarece vom utiliza algebra momentelor, introdusă în lucrarea lui McDermott [83], pentru a introduce noțiunea de durată a alarmelor trebuie să facem un artificiu de reprezentare. Astfel, se poate introduce noțiunea de durată asociată alarmelor utilizând două momente pentru a defini alarma :

- Momentul de inițiere sau *începutul* alarmei, notat  $t_0$ ,
- Momentul de terminare sau *sfârșitul* alarmei, notat  $t_f$ .

Alaramele se exprimă, în acest caz, ca fiind triplete de elemente  $(x^i, t_0, t_f)$ , unde  $x^i$  este tipul alarmei, referitor la elementul de rețea  $i$ , iar  $t_0$  și  $t_f$  sunt momentele de

început și respectiv de sfârșit al alarmei. Astfel, se poate determina durata alarmei, folosind relația:

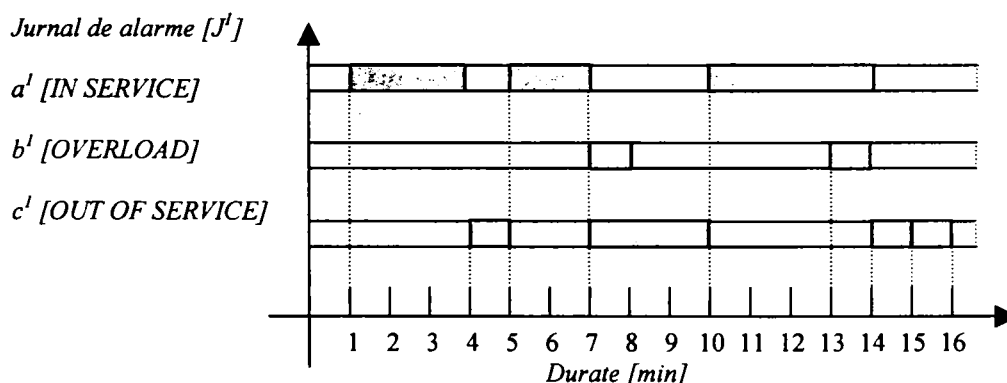
$$\delta(x') = t_f - t_0 \quad (2.7)$$

Introducem ipoteza că alarmele de tipul  $a^1$  (IN SERVICE) sunt *disjuncte* cu alarmele de tipul  $c^1$  (OUT OF SERVICE). Explicația logică a acestei ipoteze este evidentă, starea de funcționare fiind exclusivă cu starea de nefuncționare. De asemenea, presupunem că un echipament în regim de funcționare în suprasarcină este încă în stare de funcționare, deci alarmele de tipul  $b^1$  (OVERLOAD) se suprapun alarmelor de tipul  $a^1$  (IN SERVICE).

Folosind notațiile de triplete pentru a exprima alarmele, jurnalul de alarme din relația (2.2), referitor la elementul de rețea UNIT1, se poate exprima astfel:

$$\hat{J}^1 = \{(a^1,1,4)(c^1,4,5)(a^1,5,7)(b^1,7,7)(c^1,7,10)(a^1,10,14) \\ (b^1,13,14)(c^1,14,15)(c^1,15,16)\} \quad (2.8)$$

Reprezentarea grafică a duratelor alarmelor pentru jurnalului de alarme din relația (2.6), conform ipotezelor de lucru prezentate mai sus, referitor la elementul de rețea UNIT1 este cea din *Figura 2.6*:



**Figura 2.6** Reprezentarea grafică a duratelor alarmelor

Analizând reprezentarea de mai sus, obținem un prim set de caracteristici ale alarmelor pentru fereastra de observație considerată:

- Calculând, cu relația (2.7), duratele alarmelor din relația (2.8), observăm că alarma  $a^1$  durează minim 2 momente ( $a^1,5,7$ ) și maxim 4 momente ( $a^1,10,14$ ). O primă concluzie este că echipamentul observat este într-un regim

de funcționare instabil, deoarece nu rămâne în serviciu mai mult de 4 minute, cel puțin pe durata perioadei de observație considerată.

- Duratele alarmelor  $b^1$  se determină, în mod similar, ca fiind minim 0 minute și maxim 1 minut, conform expresiilor  $(b^1, 7, 7)$  și  $(b^1, 13, 14)$ .
- Duratele alarmelor  $c^1$  sunt minim 1 minut și maxim 3 minute, conform expresiilor  $(c^1, 4, 5)$  respectiv  $(c^1, 7, 10)$ .

## 2.4 Cronici de alarme

Prin definiție, o *cronică de alarme* este o succesiune cronologică de alarme care poate fi evidențiată într-un jurnal de alarme. Într-o fereastră de observație a unui jurnal de alarme, cronicile pot să apară o singură dată sau de mai multe ori.

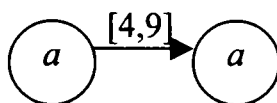
Cronicile de alarme alcătuite din două alarme se numesc cronicile de ordinul 2. În mod similar, cronicile alcătuite din  $n$  alarme se numesc cronicile de ordinul  $n$ . Evident, ordinul maxim posibil al unei cronici dintr-un jurnal de alarme este dat de lungimea jurnalului respectiv. De exemplu, pentru jurnalul de alarme din relația (2.2), ordinul maxim posibil al unei cronici este 9, deoarece acest jurnal este descris de o succesiune de 9 alarme :  $acabcabcc$ .

Pentru a determina, de exemplu, cronicile de ordinul 2 ale jurnalului de alarme din relația (2.2), vom rescrie jurnalul astfel:

$$J = \{(a,1)(c,4)(a,5)(b,7)(c,7)(a,10)(b,13)(c,14)(c,15)\} \quad (2.9)$$

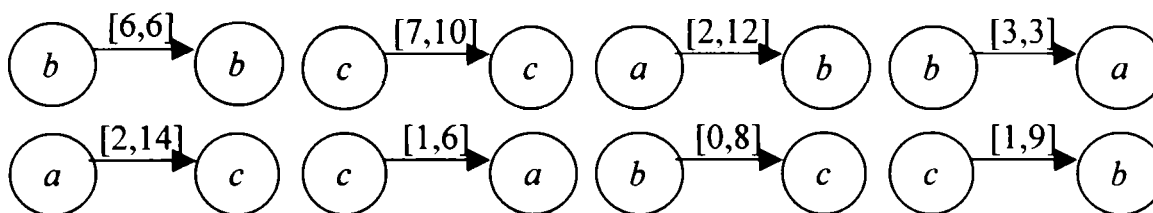
Combinățiile posibile de cronicile de ordinul 2 sunt următoarele:  $[aa], [bb], [cc], [ab], [ba], [ac], [ca], [bc]$  și  $[cb]$ .

Să analizăm succesiunea de alarme  $[aa]$ : pot fi evidențiate următoarele 3 apariții ale acestei cronici în jurnalul  $J$ :  $(a,1)(a,5)$ ,  $(a,1)(a,10)$  și  $(a,5)(a,10)$ . Intervalul minim de timp pentru cronica  $[aa]$  este de 4 momente și corespunde succesiunii  $(a,1)(a,5)$ . Intervalul maxim de timp pentru cronica  $[aa]$  este de 9 momente și corespunde succesiunii  $(a,1)(a,10)$ . Aceste observații se pot reprezenta grafic ca în *Figura 2.7*:



**Figura 2.7** Exemplu de cronică de alarme

Folosind aceeași metodă, putem reprezenta grafic cronicile de alarme  $[bb], [cc], [ab], [ba], [ac], [ca], [bc]$  și  $[cb]$  ca în *Figura 2.8*:



**Figura 2.8** Cronicile de alarme de ordinul 2

În acest exemplu, am reprezentat toate cronicile posibile de ordinul 2 pentru jurnal de alarme considerat, timp de 15 momente (minute). În situația în care jurnalul de alarme ar avea o fereastră de observație mai mare de 15 momente, dar cu același număr de alarme, cronicile de alarme de ordinul 2 ar putea rămâne neschimbate. Bazat pe o analiză a frecvenței de apariție a acestor cronicile de ordinul 2 sau de ordine superioare, vom putea prezenta sistemului de supervizare doar acele cronicile care se repetă mai des.

Vom demonstra în paragraful §2.5 că soluția determinată pentru exemplul considerat este o cronică de alarme frecventă care exprimă clar instabilitatea în funcționare a elementului de rețea UNIT1 și trebuie luată o decizie de intervenție asupra acestui element.

#### 2.4.1 Modele de cronicile

În acest paragraf, introducem definițiile și notațiile matematice pentru descrierea cronicilor de alarme. Noțiunile și notațiile folosite se regăsesc în lucrările [5], [6], [44], [45], [58] și [131].

##### **Definiția 2.3**

*Un model de cronicile, notat  $K$ , este definit ca fiind un cuplu  $(j, T)$  unde  $j$  este un ansamblu de alarme dintr-un jurnal de alarme  $J$ , iar  $T$  este un graf de constrângeri temporale între aceste alarme.*

De exemplu, pentru jurnalul prezentat în *Figura 2.1*, dacă alegem ansamblul de alarme referitoare la elementul de rețea UNIT1 ca fiind  $[a, b, c]$ , atunci vom putea determina un model de cronicile corespunzător acestor alarme, în raport cu graficul de constrângeri temporale  $T = \{1, 4, 5, 7, 10, 13, 14\}$ .

Definim un model de cronicile fără constrângeri dacă alarmele sale nu au nici o ordine de apariție. Notarea acestor modele de cronicile se poate face fără a mai preciza

momentele de apariție a alarmelor. Astfel în loc de  $\{(a, t_1)(b, t_2)(b, t_3)\}$  dacă nu avem nici o constrângere temporală între instanțele de timp  $t_1, t_2, t_3 \in T$  atunci vom nota fie  $\{abb\}$ , fie  $\{bab\}$ , fie  $\{bba\}$ .

## 2.4.2 Instanțe de cronici

Pentru a introduce noțiunea de instanță de cronici facem următoarea definiție:

### **Definiția 2.4**

*Instanța  $k$  a unui model de cronici  $K$  este definită ca fiind un ansamblu de alarme care au specificate momentele lor de apariție.*

Specificarea momentelor de apariție ale alarmelor se numește *instanțiere*. De exemplu  $(a^1, 5)(c^1, 7)(b^1, 7)$  este o instanță a modelului de cronici din *Figura 2.1*.

În scopul modelării matematice, instanțele de cronici pot fi extinse cu definițiile 2.5 și 2.6 care introduc noțiunile de sub-istanțe și, respectiv, de supra-istanțe de cronici:

### **Definiția 2.5**

*O instanță  $k$  se numește sub-istanță a unei instanțe  $k^i$  dacă și numai dacă ea este o submulțime a lui  $k^i$ . Relația între sub-istanță și instanță se notează  $k \subseteq k^i$ .*

### **Definiția 2.6**

*O instanță  $k$  se numește supra-istanță a unei instanțe  $k^i$  dacă și numai dacă  $k^i$  este o submulțime a lui  $k$ . Relația între supra-istanță și instanță se notează  $k \supseteq k^i$ .*

De exemplu,  $(a^1, 5)(b^1, 7)$  este o sub-istanță a lui  $(a^1, 5)(c^1, 7)(b^1, 7)$  dar nu este o sub-istanță pentru  $(a^1, 10)(c^1, 13)(b^1, 14)$ .

Dezvoltarea definițiilor modelelor de cronici de alarme poate fi făcută prin introducerea noțiunilor de sub-model și de supra-model de cronici, folosind definițiile 2.7 și, respectiv, 2.8:

### **Definiția 2.7**

*Un model de cronici  $K$  este sub-model al unei cronici  $K^i$  dacă și numai dacă pornind de la orice instanță a lui  $K^i$  putem extrage o instanță a lui  $K$ . Relația între sub-model și model se notează  $K \subseteq K^i$ .*



### **Definiția 2.8**

*Un supra-model, se definește în mod similar cu definiția 2.7, dacă și numai dacă se respectă relația inversă, folosind notația  $K \supseteq K^i$ .*

Definițiile sub-modelelor și supra-modelelor de cronici introduc astfel noțiuni de ordine parțială între modelele de cronici.

### **2.4.3 Cronici frecvente**

Pornind de definițiile cronicilor de alarme și ale sub-modelelor și supra-modelelor de cronici, prezentate în paragraful anterior, se poate enunța următoarea teoremă:

#### **Teorema 2.1**

*Un model de cronici  $K(S,T)$  este un sub-model al unei cronici  $K^i(S^i,T^i)$  dacă și numai dacă  $S \subseteq S^i$  și  $T \supseteq T^i$ .*

Demonstrația acestei teoreme este prezentată în lucrarea [131].

Ideea principală pentru determinarea cronicilor care se repetă frecvent, într-un jurnal de alarme, este de a genera toate cronicile posibile, numite *cronici candidate*, calculând apoi frecvența lor de apariție și reținând doar cronicile candidate care se repetă cu o frecvență mai mare decât o frecvență minimă de apariție considerată. Aceste cronici rezultate sunt numite *cronici frecvente*.

Se poate enunța următoarea teoremă, demonstrată de asemenea în lucrarea [131]:

#### **Teorema 2.2**

*Dacă o cronică de alarme dintr-un jurnal  $J$  este frecventă, atunci toate sub-instanțele ei sunt, de asemenea, frecvente în acel jurnal  $J$ .*

Condiția necesară și suficientă pentru ca o cronică  $C$  să nu fie frecventă este dacă cel puțin una dintre sub-instanțele ei nu este frecventă. Menționăm faptul că atunci când toate sub-instanțele unei cronici sunt frecvente cronică nu este neapărat frecventă. Mai exact, chiar dacă toate sub-instanțele unei cronici sunt frecvente nu vom putea exprima sigur faptul că respectiva cronică este frecventă.

De exemplu, considerând cronică  $[abc]$  și sub-instanțele ei  $[a]$ ,  $[b]$ ,  $[c]$ ,  $[ab]$ ,  $[bc]$  și  $[ac]$ , putem enunța că dacă una din sub-instanțe nu este frecventă atunci sigur cronică  $[abc]$  nu este frecventă. Pe de altă parte, dacă toate sub-instanțele lui  $[abc]$  sunt frecvente, nu putem concluziona despre  $[abc]$  decât că ar putea fi frecventă.

Într-o altă ordine de idei, considerând cronică  $[ab]$  frecventă, deducem că  $[a]$  și  $[b]$  sunt frecvente. În raport cu cronică  $[abc]$  mai rămâne de verificat frecvența lui  $[bc]$  și  $[ac]$ , care sunt sub-instanțe de ordinul  $i-1$ , pentru a putea determina dacă  $[abc]$  nu este frecventă.

## 2.5 Algoritm pentru recunoașterea cronicilor frecvente

În continuare se prezintă algoritmul simplu de recunoaștere a cronicilor frecvente, introdus în lucrările [46], [48], [58] și [131].

Pentru a construi un algoritm în scopul recunoașterii cronicilor frecvente într-un jurnal de alarme trebuie să pornim de la un nivel inițial al alarmelor unitare și distincte care intervin în acel jurnal și să stabilim pentru început o frecvență minimă de apariție a acestor alarme în jurnalul considerat.

La prima iterație a algoritmului vom considera cronicile de ordinul 1, care sunt deci chiar alarmele componente ale jurnalului. Vom reține dintre alarmele componente doar acele alarme care au o frecvență de apariție mai mare decât o valoare de limită minimă considerată, notată  $f_{\min}$ .

La iterația următoare vom construi cronicile de ordinul 2 pornind de la alarmele frecvente reținute la iterația anterioară. Cronicile de ordinul 2 vor fi denumite cronici candidate și asupra lor trebuie aplicată o formulă de calcul pentru a determina frecvența lor de apariție în jurnalul considerat. Vom reține pentru iterația următoare doar acele cronici candidate care depășesc limita considerată  $f_{\min}$ .

La fiecare nouă iterație  $i$  a algoritmului, se generează cronici candidate de ordinul  $i$  pornind de la cronicile frecvente de ordinul  $i-1$ , care au fost în prealabil determinate la iterația anterioară. Apoi se calculează frecvențele de apariție ale cronicilor candidate și se elimină acele cronici candidate care au o frecvență de apariție mai mică decât  $f_{\min}$ .

Generarea cronicilor candidate de ordinul  $i$ , pornind de la cronicile frecvente determinate la iterația anterioară a algoritmului, poate fi realizată în mai multe moduri. În paragraful următor voi prezenta modurile de generare de cronici candidate prin asamblare paralelă și prin asamblare serială.

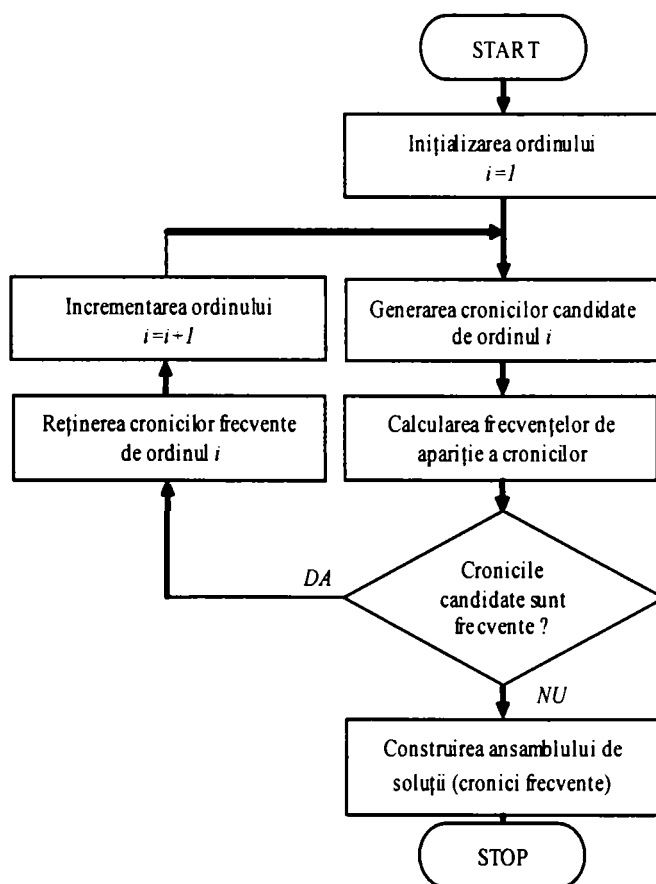
În principiu, asamblarea paralelă presupune respectarea unei anumite ordini între alarme, adăugând câte o alarmă într-o poziție corespunzătoare ordinii prestabilite în cadrul cronicii de la care se pornește generarea. Ordinea prestabilită este definită de către expert pe baza unui raționament specific. De exemplu, se poate lua în considerare, în cazul supervizării locale a alarmelor, gradul de prioritate. Dacă se cunoaște că o alarmă  $a$  este mai prioritară decât o alarmă  $b$ , atunci se poate considera ordinea  $a < b$  pentru analiza alarmelor  $a$  și  $b$ .

Asamblarea serială nu ține cont de ordinea alarmelor, adăugând câte o alarmă în poziția finală a cronicii de la care se pornește generarea.

Algoritmul se va opri la iterația  $i+j$  pentru care nu mai există nici o cronică frecventă de ordinul  $i+j$ . Menționez că ordinul maxim al cronicilor frecvente este în mod evident egal cu dimensiunea totală a jurnalului  $J$ , deoarece se poate ajunge, în cazul cel mai favorabil, să se construiască o cronică alcătuită din totalitatea alarmelor care intervin. Ordinul  $n$  al unei cronici de alarme dintr-un jurnal  $J$  este deci  $n \leq \dim|J|$ ,  $\dim|J|$  fiind dimensiunea totală a jurnalului  $J$ .

Fiind dat un jurnal de alarme  $J$  și un proces de recunoaștere de cronicile de alarme, vom nota  $A(J)$  ansamblul de cronicile candidate și  $\bar{A}(J)$  ansamblul de cronicile frecvente recunoscute în jurnalul  $J$ . Este evident că rezultatul determinării cronicilor frecvente depinde de strategia de generare a cronicilor candidate care este folosită (asamblare paralelă sau serială de alarme).

Algoritmul pentru recunoașterea cronicilor frecvente într-un jurnal de alarme se poate reprezenta folosind schema logică din *Figura 2.9*:



**Figura 2.9** Algoritm pentru recunoașterea cronicilor frecvente

Algoritmul prezentat în *Figura 2.9* se poate exprima în pseudo-limbaj de programare, astfel:

```

Algoritm   Recunoaștere_cronici_frecvente(J,  $f_{\min}$ )
Intrări   J=jurnalul de alarme,  $f_{\min}$ =frecvența minimă de apariție
Ieșire     $\bar{A}(J)$  = mulțimea cronicilor frecvente din jurnalul J
/* Inițializarea ordinului i la 1 */
    i ← 1;
/* Buclă secvențială do until mulțimea cronicilor frecvente */
/* de ordinul i este vidă */
    Do
/* Generarea cronicilor candidate de ordinul i */
     $A_i(J) \leftarrow \left\{ \bigcup_i^{\dim|a_i|=i} a_i \mid a_i \in \text{Candidate}_{[p|s]}(\bar{A}_i(J)) \right\};$ 
/* Calcularea frecvențelor minime de apariție și reținerea */
/* doar a cronicilor frecvente de ordinul i */
     $\bar{A}_i(J) \leftarrow \left\{ \bigcup_i^{\dim|a_i|=i} a_i \mid a_i \in A_i(J), f(a_i) \geq f_{\min} \right\};$ 
/* Incrementarea ordinului i */
    i ← i + 1;
/* Sfârșit buclă secvențială */
    Until  $\bar{A}_i(J) = \text{NULL};$ 
/* Construire rezultat : mulțimea tuturor cronicilor frecvente */
/* de la ordinul 1 la i-1 din jurnalul de alarme J */
    Return  $\bar{A}(J) \leftarrow \bigcup_{n=1}^{i-1} \bar{A}_n(J);$ 

```

Pentru exemplificarea procedurii descrise mai sus, să determinăm cronicile frecvente din jurnalul de alarme exprimat prin relația (2.2). Pentru început, scriem relația (2.2) într-o formă echivalentă:

$$J = \{(a,1)(c,4)(a,5)(b,7)(c,7)(a,10)(b,13)(c,14)(c,15)\} \quad (2.10)$$

Deoarece jurnalele de alarme pot fi exprimate fără a indica momentele de apariție a alarmelor, însă păstrând caracteristica de simultaneitate a anumitor alarme, jurnalul de alarme de mai sus se poate exprima astfel:

$$J = \left\{ \begin{matrix} aca & b & abcc \\ & c & \end{matrix} \right\} \quad (2.11)$$

Frecvența minimă a cronicilor fără constrângeri temporale se calculează folosind următoarea relație:

$$f_{\min}(k) = \left[ \min_{k \in J} \left( \frac{|x^i \in J|}{|x^i \in k|} \right) \right] \quad (2.12)$$

În relația de mai sus,  $|x^i \in J|$  reprezintă numărul de alarme de tipul  $x^i$  din jurnalul  $J$ , iar  $|x^i \in k|$  reprezintă numărul de alarme de tipul  $x^i$  din cronica respectivă  $k$ .

Considerăm frecvența minimă de apariție  $f_{\min} = 2$ , pentru cronicile care vor fi determinate în acest jurnal  $J$  din relația (2.11).

De exemplu, calculul frecvenței minime a cronicii  $abc$  din jurnalul exprimat prin relația (2.11) este:

$$f_{\min}(abc) = \left[ \min \left( \frac{|a \in J|}{|a \in [abc]|} = \frac{3}{1}, \frac{|b \in J|}{|b \in [abc]|} = \frac{2}{1}, \frac{|c \in J|}{|c \in [abc]|} = \frac{4}{1} \right) \right] = 2 \quad (2.13)$$

La prima iterație a algoritmului se obține mulțimea totală a alarmelor (cronici de ordinul 1) care apar în jurnalul  $J$ . Generarea cronicilor de ordinul 1 este de fapt echivalentă cu generarea tuturor alarmelor care apar în jurnal. Se vor reține doar acele alarme care sunt frecvente. Deoarece  $a$  se produce de 3 ori,  $b$  de 2 ori și  $c$  de 4 ori, toate aceste cronici de ordinul 1 sunt frecvente față de limita considerată, deci:

$$\bar{A}_1(J) = \{a \ b \ c\} \quad (2.14)$$

Condiția de intrare în bucla secvențială a procedurii este îndeplinită, mulțimea rezultată nefiind vidă. Menționez că dacă s-ar alege o frecvență minimă prea mare, de exemplu  $f_{\min}=5$ , atunci nici una dintre alarmele prezentate nu ar fi frecvente și algoritmul s-ar opri la această primă iterație.

Mulțimea de cronici candidate se obține prin combinarea alarmelor care intervin, pentru a obține cronici candidate de ordinul 2. Prin asamblarea paralelă, respectând ordinea prestabilită a  $b$   $c$ , se generează în iterația a 2-a următoarele 6 cronici candidate:

$$A_2(J) = \{aa \quad ab \quad ac \quad bb \quad bc \quad cc\} \quad (2.15)$$

Calculul frecvențelor minime ale cronicilor candidate, pornind de la relația (1.12), determină următorul rezultat:

$$f_{\min}[A_2(J)] = \left\{ \frac{3}{2} \quad 2 \quad 3 \quad 1 \quad 2 \quad 2 \right\} \quad (2.16)$$

Păstrăm numai cronicile candidate frecvente, având frecvența minimă de apariție 2, obținem mulțimea de cronicile frecvente de ordinul 2:

$$\bar{A}_2(J) = \{ab \quad ac \quad bc \quad cc\} \quad (2.17)$$

La următoarea trecere prin bucla secvențială, se determină cronicile candidate de ordinul 3 care se construiesc prin asamblare paralelă astfel:

$$ab \begin{array}{|c} a \\ b \\ c \end{array} \Rightarrow \begin{array}{|c} aab \\ abb \\ abc \end{array}, ac \begin{array}{|c} a \\ b \\ c \end{array} \Rightarrow \begin{array}{|c} aac \\ abc \\ acc \end{array}, bc \begin{array}{|c} a \\ b \\ c \end{array} \Rightarrow \begin{array}{|c} abc \\ bbc \\ bcc \end{array}, cc \begin{array}{|c} a \\ b \\ c \end{array} \Rightarrow \begin{array}{|c} acc \\ bcc \\ ccc \end{array} \quad (2.18)$$

Mulțimea cronicilor candidate de ordinul 3 este alcătuită din următorul ansamblu de cronicile:

$$A_3(J) = \{aab \quad abb \quad abc \quad aac \quad acc \quad bbc \quad bcc \quad ccc\} \quad (2.19)$$

Calculând frecvențele minime de apariție asociate acestor cronicile candidate, obținem următoarea mulțime de valori:

$$f_{\min}[A_3(J)] = \left\{ \frac{3}{2} \quad 1 \quad 2 \quad \frac{3}{2} \quad 2 \quad 1 \quad 2 \quad \frac{4}{3} \right\} \quad (2.20)$$

Păstrăm doar cronicile candidate frecvente de ordinul 3:

$$\bar{A}_3(J) = \{abc \quad acc \quad bcc\} \quad (2.21)$$

Cronicile candidate de ordinul 4 se determină, în mod similar:

$$abc \begin{array}{l} |a \\ |b \\ |c \end{array} \Rightarrow \begin{array}{l} |aabc \\ |abbc, acc \\ |abcc \end{array} \begin{array}{l} |a \\ |b \\ |c \end{array} \Rightarrow \begin{array}{l} |aacc \\ |abcc, bcc \\ |accc \end{array} \begin{array}{l} |a \\ |b \\ |c \end{array} \Rightarrow \begin{array}{l} |abcc \\ |bbcc \\ |bccc \end{array} \quad (2.22)$$

Ansamblul de cronici candidate de ordinul 4 este următorul:

$$A_4(J) = \{aabc \ abbc \ abcc \ aacc \ accc \ bbcc \ bccc\} \quad (2.23)$$

Frecvențele minime, calculate pentru aceste cronici candidate de ordinul 4, sunt următoarele:

$$f_{\min}[A_4(J)] = \left\{ \frac{3}{2} \ 1 \ 2 \ \frac{3}{2} \ \frac{4}{3} \ 1 \ \frac{4}{3} \right\} \quad (2.24)$$

Reținem numai cronicile frecvente cu frecvența minimă 2, în acest caz, rezultând o singură cronică frecventă:

$$\bar{A}_4(J) = \{abcc\} \quad (2.25)$$

La următoarea trecere prin bucla secvențială a procedurii, vom observa că nu mai există cronici frecvente de ordinul 5. Mulțimea cronicilor candidate de ordinul 5 este:

$$A_5(J) = \{aabcc \ abbcc \ abccc\} \quad (2.26)$$

Frecvențele minime calculate, pentru aceste cronici candidate de ordinul 5, sunt toate sub frecvența minimă considerată:

$$f_{\min}[A_5(J)] = \left\{ \frac{3}{2} \ 1 \ \frac{4}{3} \right\} \quad (2.27)$$

Procedura de căutare a cronicilor frecvente se va opri aici, deoarece rezultatul cronicilor de ordinul 5 este mulțimea vidă.

În acest caz, deoarece nu mai există nici o cronică frecventă de ordinul 5, pentru frecvența minimă  $f_{\min} = 2$ , în jurnalul  $J = \left\{ \begin{array}{l} aca \\ b \\ c \end{array} abcc \right\}$ , rezultatul algoritmului se

construiește ca fiind mulțimea tuturor cronicilor frecvente, de la ordinul 1 până la ordinul 4, astfel:

$$\bar{A}(J) = \{a \ b \ c \ ab \ ac \ bc \ cc \ abc \ acc \ bcc \ abcc\} \quad (2.28)$$

Rezultatul procedurii de mai sus, referitoare la jurnalul de alarme din expresia (2.11), poate fi reprezentat grafic ca în Figura 2.10:

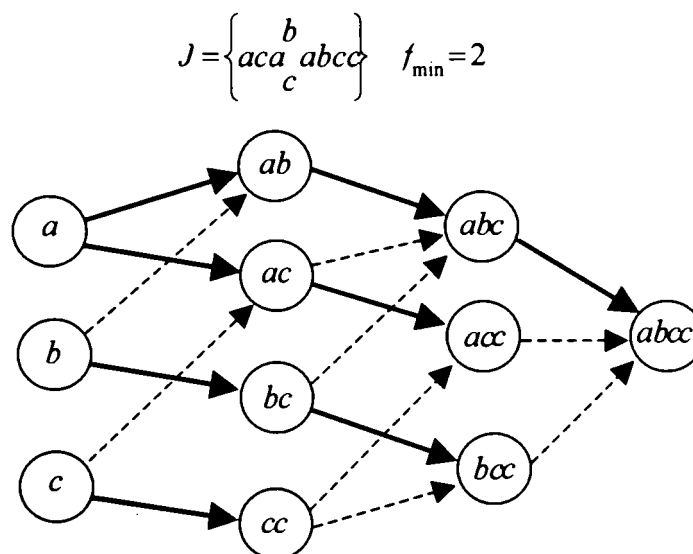


Figura 2.10 Cronici frecvente prin asamblare paralelă

În reprezentarea grafică din Figura 2.10 am indicat construirea directă a cronicilor candidate prin linii pline și construirea indirectă a cronicilor prin linii punctate. Această reprezentare grafică intuitivă va fi dezvoltată în paragraful §6.7.2.

### 2.5.1 Proceduri pentru generarea cronicilor candidate

După cum se poate observa din modul de asamblare a cronicilor candidate din paragraful anterior, am folosit tehnicile de construire a candidatelor în spațiul cronicilor paralele.

Spațiul cronicilor paralele se utilizează pentru a evita problema de multiplicare a cronicilor. În acest caz, se adaugă alarme respectând o ordine predefinită între tipurile de alarme. Cronicile candidate se obțin adăugând alarme de tip superior sau egal celui mai mare tip de alarme din ansamblul de cronici. De exemplu, *ab* generează *abb* și *abc* și nu mai trebuie generat *aab* deoarece această cronică s-ar obține din cronică *aa* care nu este frecventă.



O caracteristică principală a spațiului cronicilor paralele este că, de exemplu, cronicile  $ab$  și  $ba$  sunt, de fapt, reduse la aceeași cronică paralelă, respectând ordinea predefinită între tipurile de alarme  $a$  și  $b$ .

Ipoteza de lucru din spațiul cronicilor paralele, pentru a simplifica gradul de complexitate a problemei de generare a cronicilor candidate, este că toate instanțele lui  $\bar{A}_i(J)$  trebuie să fie disjuncte două câte două.

Procedura de determinare a cronicilor frecvente prin asamblare paralelă se scrie astfel, în pseudo-limbaj de programare:

```

Procedură   Candidate_p( $\bar{A}_n(J)$ )
/* Generare cronici candidate prin asamblare paralelă */
Intrare     $\bar{A}_n(J)$  mulțimea cronicilor frecvente de ordinul  $n$ 
Ieșire     $A_{n+1}(J)$  mulțimea cronicilor candidate de ordinul  $n+1$ 
/* Inițializarea mulțimii de cronici candidate de ordinul  $n+1$  */
    $A_{n+1}(J) = NULL;$ 
   For  $\forall a_1 a_2 \dots a_i \in \bar{A}_n(J)$ 
       For  $\forall a_j \in J$  AND  $a_j \geq a_k, \forall k \in [1..n]$ 
/* Adăugare alarme de tip superior sau egal */
           Cronica_paralelă_candidată =  $a_1 a_2 \dots a_i a_j$ ;
/* Verificarea sub-cronicilor pentru cronică paralelă candidată */
           If toate sub-instanțele lui  $a_1 a_2 \dots a_i a_j \in \bar{A}_n(J)$ 
                $A_{n+1}(J) = A_{n+1}(J) \cup a_1 a_2 \dots a_i a_j$ ;
           End If;
       End For;
   End For;
/* Rezultatul este mulțimea cronicilor candidate de ordinul  $n+1$  */
   Return  $A_{n+1}(J)$ ;

```

Pentru determinarea cronicilor candidate se poate considera, de asemenea, spațiul cronicilor seriale. În acest caz nu se respectă o anumită ordine între tipurile de alarme, doar se adaugă la sfârșitul candidatei câte una dintre alarmele din jurnal.

Procedura în pseudo-limbaj de programare, corespunzătoare determinării cronicilor candidate prin asamblare serială, se scrie astfel:

```

Procedură   Candidate_s( $\bar{A}_n(J)$ )
/* Generare cronici candidate prin asamblare serială */

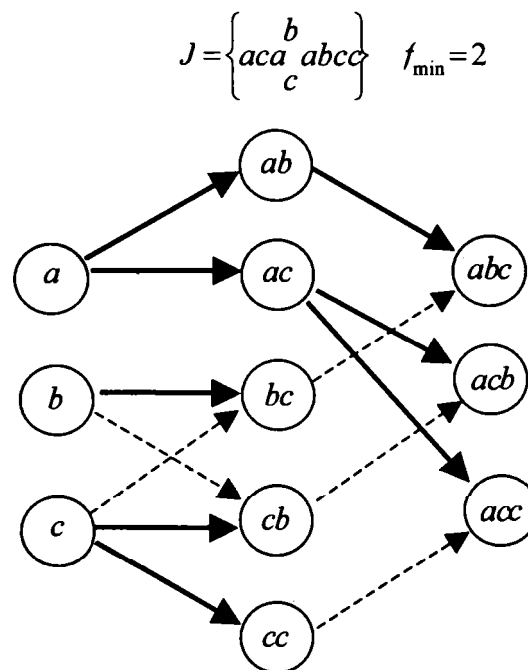
```

```

Intrare       $\bar{A}_n(J)$  mulțimea cronicilor frecvente de ordinul  $n$ 
Ieșire       $A_{n+1}(J)$  mulțimea cronicilor candidate de ordinul  $n+1$ 
/* Inițializarea mulțimii de cronici candidate de ordinul  $n+1$  */
    $A_{n+1}(J) = NULL;$ 
For  $\forall a_1 a_2 \dots a_i \in \bar{A}_n(J)$ 
     For  $\forall a_j \in J$ 
/* Adăugare alarme la sfârșitul cronicii candidate */
       Cronica_serială_candidată =  $a_1 a_2 \dots a_i a_j$ ;
/* Verificarea sub-cronicilor pentru cronica serială candidată */
       If toate sub-instanțele lui  $a_1 a_2 \dots a_i a_j \in \bar{A}_n(J)$ 
          $A_{n+1}(J) = A_{n+1}(J) \cup a_1 a_2 \dots a_i a_j$ ;
       End If;
     End For;
  End For;
/* Rezultatul este mulțimea cronicilor candidate de ordinul  $n+1$  */
Return  $A_{n+1}(J)$ ;

```

Rezultatul procedurilor de mai sus, conținând determinarea cronicilor frecvente în spațiul cronicilor seriale, referitor la jurnalul de alarme din expresia (2.11), poate fi reprezentat grafic ca în *Figura 2.11*:



**Figura 2.11** Cronici frecvente prin asamblare serială

Fiind date două alarme  $a$  și  $b$ , constrângerile temporale se determină din analiza momentelor de apariție a acestor alarme în jurnalul de alarme  $J = \{(a,1)(c,4)(a,5)(b,7)(c,7)(a,10)(b,13)(c,14)(c,15)\}$ .

În primul rând, se determină mulțimea aparițiilor celor două alarme, notată  $A(a,b)$ , ca fiind un ansamblu al tuturor aparițiilor de alarme  $a$  și  $b$  în jurnalul  $J$ :

$$A(a,b) = \{(a,1)(b,7)\}, \{(a,1)(b,13)\}, \{(a,5)(b,7)\}, \{(a,5)(b,13)\}, \{(b,7)(a,10)\}, \{(a,10)(b,13)\} \quad (2.29)$$

Pornind de la mulțimea aparițiilor celor două alarme  $A(a,b)$ , se pot calcula constrângerile temporale între  $a$  și  $b$  ca fiind limitele superioare ale distanței temporale de la  $a$  la  $b$ . Astfel, apariția  $[(a,t_a)(b,t_b)]$  permite calcularea constrângerii temporale  $I = t_b - t_a$ .

Definim pentru fiecare constrângere temporală  $I$  o variabilă  $c(I)$  care este raportul dintre numărul de apariții ale lui  $a$  și  $b$ , care verifică expresia  $I$ , față de numărul total de apariții din  $A(a,b)$ .

$$c(I) = \frac{|\{(a,t_a)(b,t_b)\} \in A(a,b), t_b - t_a = I\}}{|A(a,b)|} \quad (2.30)$$

De exemplu, există 3 apariții ale lui  $a$  și  $b$  care verifică  $I = [0,6]$ , acestea fiind  $[(a,1)(b,7)]$ ,  $[(a,5)(b,7)]$  și  $[(a,10)(b,13)]$ , astfel se determină  $c([0,6]) = \frac{3}{6} = 0,5$ .

Există 5 apariții ale lui  $a$  și  $b$  care verifică  $I = [-3,3] \cup [6,8]$ , acestea fiind  $[(a,1)(b,7)]$ ,  $[(a,5)(b,7)]$ ,  $[(a,5)(b,13)]$ ,  $[(b,7)(a,10)]$  și  $[(a,10)(b,13)]$ , astfel  $c([-3,3] \cup [6,8]) = \frac{5}{6} = 0,83$ .

Pentru  $I = [-3,12]$  toate cele 6 apariții verifică  $I$  și deci  $c([-3,12]) = \frac{6}{6} = 1$ .

O constrângere temporală  $I$  se numește *constrângere globală* dacă  $c(I) = 1$ . Dacă nu se verifică  $c(I) = 1$ , atunci constrângerea temporală  $I$  se numește *constrângere locală*.

Pentru  $c(I)$  se pot determina următoarele proprietăți, demonstrate în lucrarea[10]:

$$\forall I, 0 \leq c(I) \leq 1 \quad (2.31)$$

$$\forall I, \forall I', I \subseteq I' \Rightarrow c(I) \leq c(I') \quad (2.32)$$

$$\forall I, \forall I', I \cap I' = \emptyset \Rightarrow c(I) + c(I') = c(I \cup I') \quad (2.33)$$

Pentru a explica procedura de determinare a constrângerilor între două alarme, prezentăm căutarea constrângerii minime  $c(I) = 0,6$  pentru aparițiile lui  $a$  și  $b$  din relația (2.33). Pentru început, determinăm  $n = 6$  ca fiind numărul de apariții din  $A(a, b)$ .

Spațiul constrângerilor temporale dintre  $a$  și  $b$  este:

$$S = \{-3, 2, 3, 6, 8, 12\} \quad (2.34)$$

Mulțimea constrângerilor temporale dintre  $a$  și  $b$  este:

$$C(I) = \{-3, 6\}, \{-3, 8\}, \{-3, 12\}, \{2, 8\}, \{2, 12\}, \{3, 12\} \quad (2.35)$$

## 2.6.1 Procedura de determinare a constrângerilor temporale

În continuare se prezintă o procedură de calcul pentru analiza constrângerilor temporale dintre alarme care poate fi introdusă în cadrul algoritmului în scopul analizei relațiilor dintre alarmele care constituie cronicile candidate.

Procedura de determinare a constrângerilor temporale minime între două alarme se exprimă în pseudo-limbaj de programare astfel:

```

Procedură   Constraint( $a, b, c_{\min}(I)$ )
/* determinare constrângeri temporale */
Intrare     $A(a, b) = \{(a, t_a^i), (b, t_b^i) \mid i = 1..n\}$  mulțimea aparițiilor alarmelor
 $a$  și  $b$ ,  $c_{\min}(I)$  constrângerea minimă.
Ieșire      $C(I)$  mulțimea constrângerilor care respectă  $c_{\min}(I)$ 
/* Inițializarea mulțimii constrângerilor temporale */
     $C(I) = NULL;$ 
/* Inițializarea spațiului constrângerilor temporale */
     $S \leftarrow \{t_b^i - t_a^i \mid i = 1..n\};$ 
/* Constanta temporală  $k$  */
     $k \leftarrow \lfloor c_{\min}(I) * n \rfloor$ 
/* Sortarea spațiului constrângerilor temporale */
    Sorting  $S = \{x_1 \leq \dots \leq x_n\};$ 

```

```

For  $i = 1 \leq n - k + 1$ 
    For  $j = i + k - 1 \leq n$ 
/* Determinarea constrângerilor temporale care respectă  $c_{\min}(I)$  */
         $C(I) = C(I) \cup \{x_i, x_j\}$ ;
    End For;
End For;
/* Rezultatul este mulțimea constrângerilor temporale  $C(I)$  */
Return  $C(I)$ ;

```

Această procedură de determinare a constrângerilor temporale poate fi folosită pentru a exprima condiții suplimentare de lucru pentru procedurile de generare de cronică candidate în scopul determinării cronicilor frecvente.

## 2.7 Concluzii

În acest capitol am prezentat procedurile pentru determinarea cronicilor frecvente din jurnale de alarme, folosind un principiu de calcul în două etape : generarea unor cronici candidate și apoi reținerea acelor cronici candidate care sunt frecvente. Metoda prezentată poate fi aplicată în spațiul cronicilor seriale sau paralele, cu sau fără constrângeri temporale.

Observație asupra complexității procedurii de construire a cronicilor candidate: în experimentele efectuate, ordinul  $n$  al cronicilor frecvente descoperite în jurnalele de alarme studiate nu depășește ordinul unităților, fiind  $n < 10$  în majoritatea cazurilor. Problema complexității exponențiale a procedurilor prezentate apare atunci când crește frecvența minimă a cronicilor candidate.

În raport cu metoda prezentată în lucrarea [80], am obținut ordine de complexitate comparabile pentru procedurile prezentate. În plus, metoda prezentată permite introducerea noțiunilor de constrângeri temporale pentru a reduce complexitatea procedurilor.

Pentru a dezvolta procedurile studiate, vom introduce reprezentări bazate pe formalismul rețelelor Petri. Rețelele Petri vor permite descrierea detaliată a evoluției cronicilor prin modelarea procesului de generare a alarmelor componente.

În capitolul următor voi introduce câteva noțiuni despre teoriile temporale bazate pe intervale și teoriile temporale bazate pe momente, pentru a explica de ce am ales algebra momentelor descrisă de McDermott [83] în cadrul modelării matematice pentru analiza alarmelor.

### 3.1 Introducere

Timpul reprezintă un factor esențial în modelarea proceselor naturale, iar în literatura de specialitate s-a ajuns la cercetarea și dezvoltarea mai multor teorii temporale. Principalele teorii temporale sunt prezentate în lucrările de referință [12], [13], [28], [40], [71], [74], [75] și [129]. Obiectivul major al cercetărilor teoretice în domeniul timpului este de a determina elementele primare ale timpului în raport cu aplicația de modelare. Majoritatea teoriilor temporale dezvoltate sunt bazate pe axiome definite în logica predicatelor.

Sistemele temporale, introduse de teoriile temporale, definesc structuri asemănătoare dar sunt diferite din punct de vedere al formalismului utilizat. Cea mai importantă diferență între diversele teorii temporale este interpretarea intervalelor de timp. Astfel, teoriile temporale pot fi clasificate în algebra intervalelor, algebra momentelor și algebra punctelor.

Mai multe teorii temporale, cum sunt cele propuse de Ladkin [74] și [75], Dechter [40], Maiocchi [79] și Bruce [28], au la bază puncte sau momente ca elemente primare. În aceste teorii, intervalele de timp sunt definite pornind de la puncte, în general prin declararea punctelor de început și de sfârșit ale intervalelor. În acest caz, se pune problema dacă punctele astfel definite, numite și puncte de frontieră ale intervalului, sunt incluse în interval sau trebuie adresate în alt mod.

Allen, în lucrările de referință [12] și [13], propune definirea intervalelor închise și deschise. Intervalele închise au proprietatea că două intervalele închise adiacente au un punct comun, iar intervalele deschise au proprietatea că două intervale deschise adiacente nu au nici un punct comun. Teoria temporală propusă de Allen tratează intervalele sub formă de primitive, iar punctele sub formă de locuri de întâlnire ale intervalelor.

În anumite teorii temporale, de exemplu în teoria propusă de Maiocchi [79], toate intervalele sunt declarate semi-deschise. Proprietatea principală a intervalelor semi-deschise este că acestea pot forma în mod convenabil alăturări de intervale adiacente.

Teoriile temporale propuse de Vilain [129] și Knight-Ma [71] consideră atât punctele cât și intervalele sub formă de primitive.

În lucrările de referință ale lui Beek [17] și [18], se regăsesc definițiile pentru algebra intervalelor și algebra punctelor, fiind prezentate, de asemenea, relațiile între intervale și relațiile între puncte. O observație importantă relativă la definițiile din lucrările lui Beek este că aceste definiții nu conțin relațiile dintre intervale și puncte.

Relațiile dintre intervale și puncte sunt abordate în lucrarea lui Vilain [129], unde intervalele sunt definite în raport cu punctele și cu ordinea corespondentă dintre puncte.

Teoriile temporale diferă și în raport cu definirea linearității și a densității elementelor de timp. Majoritatea sistemelor temporale presupun că timpul este liniar, astfel toate elementele de timp sunt ordonate pe parcursul unei linii temporale. În anumite sisteme temporale se propun variante neliniare.

De exemplu, în lucrarea lui McDermott [83] se propune o variantă neliniară a timpului care introduce algebra momentelor. În principiu, în logica temporală a algebrei momentelor, timpul se poate ramifica în viitor. Ramificarea timpului în viitor este descrisă de un set de axiome, care vor fi prezentate mai jos. Menționăm aici că ramificarea timpului în viitor este importantă pentru modelarea unor sisteme de analiză referitoare la mai multe posibilități de evoluție a unor evenimente.

Densitatea elementelor de timp depinde de tipul primitivelor propuse pentru definirea sistemului temporal. Astfel, pentru un sistem temporal care este bazat pe intervale, densitatea este definită în raport cu descompunerea intervalului, finită sau infinită. În sistemele temporale bazate pe puncte, densitatea este definită în raport cu proprietatea că, între oricare două puncte pe aceeași linie temporală, se poate găsi un al treilea punct intermediar.

Algebra momentelor presupune un sistem dens de puncte, pe când algebra punctelor definită de Knight-Ma [71] nu este densă, reprezentând un sistem discret unde fiecare element de timp are un unic predecesor și un unic succesor. Algebra intervalelor propune, în general, o abordare mixtă de elemente de timp dense și discrete.

O altă diferență majoră între teoriile temporale o constituie abilitatea acestora de a modela natura deschisă sau închisă a intervalelor. Sistemul temporal propus de Allen [12] și [13] permite numai existența unor intervale de tip nedeterminat, deoarece nu sunt definite intervalele deschise sau închise, nefiind definit elementul de bază, punctul. Sistemul temporal propus de Vilain [129] descrie atât intervalele cât și punctele ca fiind primitive, dar nu permite definirea intervalelor deschise sau închise.

Sistemul temporal propus de Knight-Ma [71] permite caracterizarea conceptelor convenționale de intervale deschise, închise și chiar a intervalelor semi-deschise și semi-inchise care sunt construite pe baza punctelor.

Importanța definirii punctelor și a intervalelor ca primitive este determinată de necesitățile de modelare unde trebuie aplicate teoriile temporale. Algebra intervalelor și algebra momentelor oferă exemple de proprietăți definite în timp și majoritatea modelărilor matematice folosesc aceste sisteme temporale. În lucrarea lui Galton [55] se propune o extensie a algebrei intervalelor pentru a lua în considerare reprezentările de puncte pentru a descrie complet proprietățile intervalelor de timp.

Vom prezenta definițiile și axiomele corespunzătoare diferitelor sisteme temporale, pentru a alege sistemul temporal cel mai adaptat modelării problemei de analiză a unor evenimente discrete ale unui sistem supervizat, cum sunt alarmele în cazul unui sistem de telecomunicații.

Distincția între puncte și momente este dată tocmai de primitivele folosite pentru definirea acestora. Momentele sunt necesare pentru a modela complet un spațiu temporal dens sau discret. Axiomele prezentate pot fi descrise ca fiind extensii ale algebrei momentelor, pentru a include definiția punctelor prin primitive.

Una din principalele axiome ale algebrei momentelor, *Axioma 3.6*, care declară că momentele nu întâlnesc niciodată alte momente, conduce la concluzia că în algebra momentelor nu se ține cont de densitate. Această axiomă determină folosirea algebrei momentelor pentru modelarea momentelor de apariția a unor informații într-un sistem.

Axiomele generale pentru definirea timpului sunt independente de densitate sau de liniaritate. Acestor axiome li se alătură un set de axiome specifice pentru definirea densității și a liniarității timpului.

Relațiile posibile, definite pornind de la intervale și puncte, permit, de asemenea, introducerea noțiunii de instanțiere sau moment de apariție, care este folosită pentru managementul bazelor de date temporale [38], cum sunt jurnalele de alarme de telecomunicații.

### 3.2 Axiomele temporale bazate pe intervale

Teoria timpului bazată pe intervale este descrisă în lucrarea lui Allen [12] și se bazează pe definirea unei clase  $I$  de intervale, care este axiomatizată pornind de la o unică relație temporală între intervale. Această unică relație temporală exprimă interdependența între intervale, mai exact dacă un interval *se întâlnește* sau *nu se întâlnește* cu un alt interval. Relația de întâlnire este definită prin primitiva *punct()*.

Operațiile matematice posibile definite în raport cu această primitivă sunt adiacența, notată ( $\wedge$ ), și disjuncția exclusivă, notată ( $\neg$ ).

Setul de axiome pentru definirea algebrei intervalelor a fost prezentat pentru prima dată în lucrarea [14] și a fost redefinit în lucrarea [15]. Acest set de 5 axiome este prezentat mai jos.

*Axioma 3.1* declară că punctul temporal unde se întâlnesc două intervale este unic determinat și este asociat acestor două intervale:

#### Axioma 3.1

$$\forall i, j, k, l \in I : \text{punct}(i, j) \wedge \text{punct}(i, k) \wedge \text{punct}(l, j) \Rightarrow \text{punct}(l, k) \quad (3.1)$$

*Axioma 3.2* are scopul de a asigura o ordine totală a punctelor de întâlnire ale intervalelor.

#### Axioma 3.2



$$\begin{aligned}
&\forall i,j,k,l \in I : punct(i,j) \wedge punct(k,l) \Rightarrow punct(i,l) \\
&\quad \neg \exists m \in I : punct(i,m) \wedge punct(m,l) \\
&\quad \neg \exists n \in I : punct(k,n) \wedge punct(n,j)
\end{aligned} \tag{3.2}$$

*Axioma 3.3* definește cel puțin un interval precedent și un interval succesiv:

**Axioma 3.3**  
 $\forall i \in I, \exists j,k \in I : punct(j,i) \wedge punct(i,k)$  (3.3)

*Axioma 3.4* declară că între două puncte de întâlnire poate exista un singur interval.

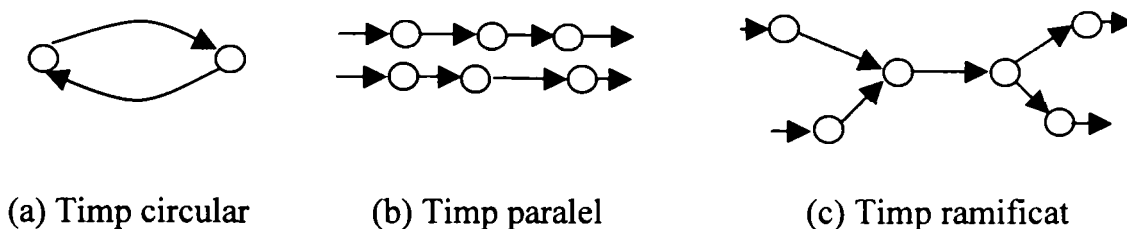
**Axioma 3.4**  
 $\forall j,k \in I : \exists i,l \in I \text{ a.î. } punct(i,j) \wedge punct(j,l) \wedge punct(i,k) \wedge punct(k,l) \Rightarrow j = k$  (3.4)

Prin definiție, *Axioma 3.5* specifică faptul că dacă două puncte de întâlnire sunt separate de o succesiune de intervale atunci există un interval care să conecteze aceste două puncte de întâlnire. Ordonarea a două puncte de întâlnire  $i$  și  $j$  se notează  $i + j$ .

**Axioma 3.5**  
 $\forall i,j \in I : punct(i,j) \Rightarrow \exists k \in I, \forall m,n \in I : punct(m,i) \wedge punct(j,n) \Rightarrow punct(m,k) \wedge punct(k,n)$  (3.5)

Axiomele prezentate mai sus nu sunt suficiente pentru a permite extensia sistemului temporal astfel încât să se includă noțiuni de timp paralel și de ramificare a timpului. Pentru a extinde axiomele prezentate în relațiile de mai sus se poate consulta lucrarea de referință a lui Tsang [125]. De asemenea, nu este clar care dintre cele 5 axiome de mai sus definește ipoteza de *liniaritate* a timpului. Deși autorii indică liniaritatea ca fiind exprimată de *Axioma 3.4*, se poate demonstra că dacă nu ar fi enunțată *Axioma 3.2* atunci timpul în loc să fie *liniar* ar putea fi *circular, paralel* sau *ramificat*.

Reprezentarea grafică a timpului în ipotezele circular, paralel sau ramificat se poate exprima ca în *Figura 3.1*:



**Figura 3.1 (a) Timp circular (b) Timp paralel (c) Timp ramificat**

În reprezentările din *Figura 3.1*, arcele graficelor corespund intervalelor de timp iar relațiile *punct()* sunt reprezentate ca noduri.

Considerând doar definiția intervalelor ca primitive temporale, deși punctele sunt introduse în relații sub forma punctelor de întâlnire ale intervalelor, algebra intervalelor nu poate defini relații la nivelul punctelor. După interpretarea lui Galton asupra algebrei intervalelor [56], teoria intervalelor nu este bine adaptată pentru o modelare corectă a evoluției în timp a unui fenomen.

De exemplu, pentru descrierea mișcării unui obiect fizic, folosind algebra temporală, pentru mișcarea unui pendul se obțin două intervale: un interval pentru mișcarea într-o direcție și un al doilea interval pentru mișcarea în direcția opusă. Legile fizicii evidențiază existența unui punct între aceste două intervale, punct în care obiectul este staționar. Pentru a exprima acest punct staționar în algebra intervalelor avem două posibilități: fie presupunem că există un al treilea interval în care obiectul este staționar, fie presupunem că primul interval se întâlnește prin primitiva *punct()* cu al doilea interval. Prima ipoteză nu este în concordanță cu legile fizicii, obiectul nu poate fi staționar un interval de timp, ci doar la un moment dat. A doua ipoteză pune problema păstrării unei proprietăți în timpul intervalului. Astfel, algebra intervalelor oferă posibilitatea de a defini o primitivă *menține(proprietate,I)* care înseamnă că o anumită proprietate a obiectului este menținută în timpul intervalului *I*. Pentru cazul prezentat, proprietatea *obiect\_în\_mișcare* se păstrează în timpul ambelor intervale, într-o direcție sau în cealaltă direcție. Acest fapt se exprimă sub forma următoare:

$$\text{menține}(\text{obiect\_în\_mișcare}, \text{interval\_1}) \quad (3.6)$$

$$\text{menține}(\text{obiect\_în\_mișcare}, \text{interval\_2}) \quad (3.7)$$

Pe durata celor două intervale ar trebui, conform definițiilor algebrei intervalelor, să menținem această proprietate în timpul intervalelor reunite:

$$\text{menține}(\text{obiect\_în\_mișcare}, \text{interval\_1} + \text{interval\_2}) \quad (3.8)$$

Relația de mai sus nu poate fi susținută fizic, deoarece la un moment dat în timpul celor două intervale obiectul devine *staționar*, deci proprietatea *obiect\_în\_mișcare* se pierde în acel punct.

Pentru a putea caracteriza aceste puncte în care anumite evenimente pot interveni, se introduce noțiunea de intervale foarte scurte, numite *momente*. Noțiunea de moment a fost introdusă de către McDermott [83]. Un moment este definit în mod simplu ca fiind un interval de timp care nu mai poate fi descompus în sub-intervale.

Diferența esențială între momente și puncte este că punctele sunt definite fără nici o limitare între ele iar momentele au un punct de început și un punct de sfârșit, la fel ca orice

alt interval. Astfel definite, momentele pot întâlni alte intervale, prin intermediul primitivei  $punct()$ , dar punctele nu pot întâlni nici intervale și nici alte puncte.

Momentele sunt definite prin următoarea relație:

$$\forall m \in I : \text{moment}(m) \Leftrightarrow \neg \exists i, j \in I : m = i + j \quad (3.9)$$

Teoria intervalelor definește simultaneitatea a două intervale dacă momentele lor de început și de sfârșit sunt identice. Pentru a putea asigura această relație de simultaneitate, în teoria intervalelor se introduce o nouă axiomă, al cărei scop este de a defini faptul că momentele nu se întâlnesc niciodată:

### **Axioma 3.6**

$$\forall m, n \in I : \text{moment}(m) \wedge \text{moment}(n) \Rightarrow \neg \text{punct}(m, n) \quad (3.10)$$

Această formulare permite modelări discrete sau continue în timp și poate permite modelări mai complexe unde există o anumită alternanță între perioade de timp discrete sau continue. Totuși, *Axioma 3.6* conduce la o limitare a primitivelor elementelor de timp; un interval este fie imposibil de descompus în sub-intervale, în acest caz constituind un moment, fie este în mod infinit posibil de descompus în sub-intervale. Această limitare se datorează faptului că, dacă un interval ar fi în mod finit posibil de descompus în sub-intervale atunci ar trebui să fie suma unui număr finit de momente, iar în acest caz momentele ar trebui să se întâlnească, ceea ce este contrar în raport cu *Axioma 3.6*. Din acest motiv, algebra intervalelor nu este totuși indicată pentru modelarea sistemelor discrete.

În cazul în care se dorește modelarea unor sisteme temporale cu densitate mare, se poate presupune că toate intervalele ar fi în mod infinit posibil de descompus, dar în acest caz nu ar mai exista noțiunile de momente.

*Axioma 3.6* introduce noțiunea de momente în algebra intervalelor. În sistemele temporale bazate pe puncte se introduce complet noțiunea de moment.

### **3.3 Axiomele temporale bazate pe intervale și puncte**

Deoarece algebra intervalelor nu este destul de adaptată pentru a accepta extensii, în modelarea sistemelor discrete [19], [39], se folosește sistemul temporal bazat pe intervale și puncte. Acest sistem temporal este o extensie a algebrei intervalelor prin adăugarea unor axiome pentru definirea punctelor cu ajutorul primitivelor. De asemenea, algebra temporală bazată pe intervale și puncte permite depășirea caracteristicii liniare a timpului și se permite astfel definirea timpului paralel sau ramificat.

Sistemul temporal bazat pe intervale și puncte introduce noțiunea de mulțime de puncte, notată  $T$ , care sunt elemente de timp. Se definește o funcție  $d$  de la  $T$  la mulțimea numerelor reale pozitive :

$$d : T \rightarrow \mathbb{R}^+ \quad (3.11)$$

Un element de timp  $t$  este interval dacă  $d(t) > 0$  și este punct în caz contrar. Funcția  $d$  mai este denumită și durata elementelor de timp din mulțimea  $T$ .

Mulțimea  $T$  poate fi deci exprimată ca fiind o reuniune a mulțimilor de intervale  $I$  și a mulțimilor de puncte  $P$ :

$$T = I \cup P \quad (3.12)$$

Pentru a defini primitivele pentru elementele de timp astfel definite, folosim aceeași relație *punct()* definită în algebra intervalelor, dar trebuie să renunțăm la axioma *Axioma 3.2*, care definește ordinea totală a punctelor de întâlnire a intervalelor, deoarece elementele de timp pot fi atât intervale cât și puncte.

În cadrul teoriei intervalelor și punctelor, setul de axiome care definește elementele de timp pe mulțimea  $T$  este constituit din axiomele din algebra intervalelor (*Axioma 3.1*, *Axioma 3.3*, *Axioma 3.4* și *Axioma 3.5*), la care se adaugă axiomele specifice pentru definirea relațiilor dintre intervale și puncte (de la *Axioma 3.7* până la *Axioma 3.12*).

*Axioma 3.7* este asemănătoare cu *Axioma 3.1* și precizează că locul unde se întâlnesc două intervale este asociat unui punct:

### **Axioma 3.7**

$$\forall t_1, t_2, t_3, t_4 \in T : \text{punct}(t_1, t_2) \wedge \text{punct}(t_1, t_3) \wedge \text{punct}(t_4, t_2) \Rightarrow \text{punct}(t_4, t_3) \quad (3.13)$$

*Axioma 3.8* este asemănătoare cu *Axioma 3.3* și precizează că fiecare punct are cel puțin un punct învecinat care îl precede și un punct învecinat care îl succede:

### **Axioma 3.8**

$$\forall t \in T : \exists t', t'' \in T \text{ a.î. } \text{punct}(t', t) \wedge \text{punct}(t, t'') \quad (3.14)$$

*Axiomele 3.9* și *3.10* exprimă relațiile de ordonare dintre punctele adiacente și faptul că, într-un interval vor exista întotdeauna puncte:

### **Axioma 3.9**

$$\begin{aligned} \forall t_1, t_2 \in T : \exists t', t'' \in T \text{ a.î.} \\ \text{punct}(t', t_1) \wedge \text{punct}(t_1, t'') \wedge \text{punct}(t', t_2) \wedge \text{punct}(t_2, t'') \Rightarrow t_1 = t_2 \end{aligned} \quad (3.15)$$

### **Axioma 3.10**

$$\begin{aligned} \forall t_1, t_2 \in T : \text{punct}(t_1, t_2) \Rightarrow \exists t \in T \text{ a.î. } \forall t', t'' \in T : \\ \text{punct}(t', t_1) \wedge \text{punct}(t_2, t'') \Rightarrow \text{punct}(t', t) \wedge \text{punct}(t, t'') \end{aligned} \quad (3.16)$$

*Axioma 3.11* exprimă faptul că între două puncte există întotdeauna un interval. *Axioma 3.11* este asemănătoare cu *Axioma 3.6* care specifică faptul că momentele nu pot întâlni alte momente, dar aceasta din urmă conține limitarea că intervalele trebuie să fie în mod infinit posibil de descompus, ceea ce nu este posibil pentru puncte.

### **Axioma 3.11**

$$\forall t_1, t_2 \in T : \text{punct}(t_1, t_2) \Rightarrow t_1 \in I \vee t_2 \in I \quad (3.17)$$

*Axioma 3.12* asigură faptul că operația de adăugare a elementelor de timp este consistentă în raport cu funcția  $d$ , numită funcția de determinare a duratei:

### **Axioma 3.12**

$$\forall t_1, t_2 \in T : \text{punct}(t_1, t_2) \Rightarrow d(t_1 + t_2) = d(t_1) + d(t_2) \quad (3.18)$$

Acest set fundamental de axiome definește complet teoria temporală bazată pe intervale și puncte. Teoria poate fi referită ca un cuplu de elemente  $(T, \text{punct})$ , unde  $T$  este mulțimea elementelor de timp iar  $\text{punct}()$  este relația de întâlnire.

## **3.4 Natura intervalelor**

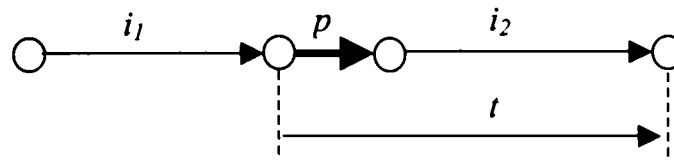
Axiomele descrise în paragraful anterior definesc timpul folosind primitive atât sub formă de intervale cât și sub formă de puncte.

Pentru a obține o definiție completă a sistemului temporal, trebuie detaliate anumite proprietăți complementare ale intervalelor și ale punctelor. Una dintre aceste proprietăți este natura intervalelor, care se clasifică în intervale deschise și intervale închise. Deși nu s-au definit puncte de început sau de sfârșit pentru intervale, o extensie a axiomelor din paragraful precedent poate introduce noțiunile de închis și de deschis pentru intervale.

De exemplu, pentru obiectul în mișcare pe verticală considerat în paragraful anterior, se pot defini proprietățile *obiect\_urcare*, *obiect\_staționar* și *obiect\_coborâre*. Aceste proprietăți sunt asociate intervalului  $i_1$ , punctului  $p$  și respectiv intervalului  $i_2$ . Relațiile între cele două intervale și punctul staționar sunt  $\text{punct}(i_1, p)$  și  $\text{punct}(p, i_2)$ . Pentru a exprima succesiunea *obiect\_staționar* + *obiect\_coborâre*, putem scrie relația  $t = p + i_2$ . Deoarece

intervalul  $t$  și punctul  $p$  au același predecesor, acesta fiind intervalul  $i_1$ , putem spune că intervalul  $t$  este *închis-stânga* în punctul  $p$ .

Reprezentarea grafică a intervalului închis-stânga  $t$  este cea din *Figura 3.2*:



**Figura 3.2** Interval  $t$  închis-stânga

Natura intervalelor deschise și închise poate fi exprimată formal folosind următoarele definiții:

**Definiția 3.1**

Un interval  $i$  este *deschis-stânga* în punctul  $p$  dacă și numai dacă este valabilă expresia:

$$punct(p,i) \tag{3.19}$$

**Definiția 3.2**

Un interval  $i$  este *deschis-dreapta* în punctul  $p$  dacă și numai dacă este valabilă expresia:

$$punct(i,p) \tag{3.20}$$

**Definiția 3.3**

Un interval  $i$  este *închis-stânga* în punctul  $p$  dacă și numai dacă este valabilă expresia:

$$\exists i' \in I \text{ a.î. } punct(i',i) \wedge punct(i',p) \tag{3.21}$$

**Definiția 3.4**

Un interval  $i$  este *închis-dreapta* în punctul  $p$  dacă și numai dacă este valabilă expresia:

$$\exists i' \in I \text{ a.î. } punct(i,i') \wedge punct(p,i') \tag{3.22}$$

Pornind de la definițiile de mai sus se observă că intervalele primitive *deschis-stânga* și *închis-stânga* sunt exclusive între ele. De asemenea, intervalele simetrice *deschis-dreapta* și *închis-dreapta* sunt exclusive în contextual axiomatice descris de definițiile de mai sus. Pentru demonstrație, dacă un interval  $i$  este *deschis-stânga* în punctul  $p_1$  și *închis-stânga* în punctul  $p_2$  atunci, din relațiile de definiție ale intervalelor primitive, putem scrie relația:

$$punct(p_1, i) \wedge punct(i', i) \wedge punct(i', p_2) \quad (3.23)$$

Comparând relația de mai sus cu *Axioma 3.7*, se determină  $punct(p_1, p_2)$ , care este contradictoriu cu *Axioma 3.10*, care preciza că două puncte sunt exclusive între ele.

Interpretarea prezentată aici pentru natura intervalelor primitive de a fi deschise sau închise este conformă cu reprezentările convenționale ale intervalelor bazate pe instanțe temporale. De exemplu, dacă un interval de instanțe  $(p_1, p_2]$  este *deschis-stânga* în punctul  $p_1$ , deoarece în mod intuitiv  $p_1$  este un predecesor imediat al intervalului  $(p_1, p_2]$ . În mod similar,  $(p_1, p_2]$  este *închis-stânga* deoarece atât punctul  $p_2$  cât și intervalul  $(p_1, p_2]$  au același succesori imediat, care este  $p_2$ .

Timpul este considerat în general ca având o structură liniară. Această considerație corespunde modelului fizic clasic al definiției timpului, unde structura folosită este de o linie reală infinită în ambele direcții.

Liniaritatea completă a unui sistem de elemente temporale  $(T, punct)$  poate fi caracterizată adăugând o axiomă de liniaritate :

### **Axioma 3.13**

$$\begin{aligned} \forall t_1, t_2, t_3, t_4 \in T : punct(t_1, t_2) \wedge punct(t_3, t_4) \Rightarrow punct(t_1, t_4) \\ \neg \exists t' \in T : punct(t_1, t') \wedge punct(t', t_4) \\ \neg \exists t'' \in T : punct(t_3, t'') \wedge punct(t'', t_2) \end{aligned} \quad (3.24)$$

Observăm că *Axioma 3.13* este de fapt a doua axiomă a teoriei intervalelor *Axioma 3.2* descrisă de Allen-Hayes [15]. Operatorul SAU EXCLUSIV în această axiomă implică existența unor consecințe puternice. Astfel, în această axiomă, timpul nu poate fi circular, paralel sau ramificat. Consecința axiomei *Axioma 3.13* este următoarea *lemă* (vezi lucrarea [15]), care exprimă imposibilitatea timpului circular :

### **Lema 3.1**

$$\forall t \in T : \neg punct(t, t) \quad (3.25)$$

Totuși, fără *Axioma 3.13*, un element temporal permite ramificarea atât în trecut cât și în viitor. Ramificarea elementelor temporale oferă o posibilitate atractivă de a exprima probabilitățile în trecut și viitor și efectele acțiunilor alternative asupra elementelor temporale.

Un element temporal care permite ramificare în viitor dar nu permite ramificare în trecut este numit *liniar-stânga*. Acest element poate fi reprezentat grafic ca în *Figura 3.3*:

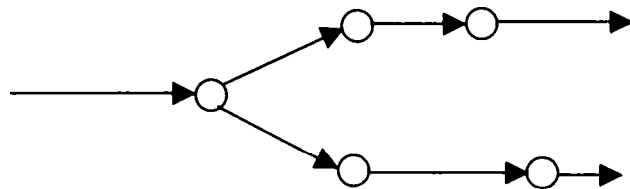


Figura 3.3 Ramificare temporală

Caracterizarea unui element temporal *liniar-stânga* poate fi făcută formal adăugând o axiomă de liniaritate-stânga *Axioma 3.14* în locul axiomei mai puternice *Axioma 3.13*:

**Axioma 3.14**

$$\begin{aligned}
 \forall t_1, t_2, t_3, t_4, t \in T : & \text{punct}(t_1, t_2) \wedge \text{punct}(t_2, t) \wedge \text{punct}(t_3, t_4) \wedge \text{punct}(t_4, t) \Rightarrow \text{punct}(t_1, t_4) \\
 \neg \exists t' \in T : & \text{punct}(t_1, t') \wedge \text{punct}(t', t_4) \\
 \neg \exists t'' \in T : & \text{punct}(t_3, t'') \wedge \text{punct}(t'', t_2)
 \end{aligned}
 \tag{3.26}$$

În mod similar, se definește *Axioma 3.15* pentru a exprima un element temporal *liniar-dreapta*:

**Axioma 3.15**

$$\begin{aligned}
 \forall t, t_1, t_2, t_3, t_4 \in T : & \text{punct}(t, t_1) \wedge \text{punct}(t_1, t_2) \wedge \text{punct}(t, t_3) \wedge \text{punct}(t_3, t_4) \Rightarrow \text{punct}(t_1, t_4) \\
 \neg \exists t' \in T : & \text{punct}(t_1, t') \wedge \text{punct}(t', t_4) \\
 \neg \exists t'' \in T : & \text{punct}(t_3, t'') \wedge \text{punct}(t'', t_2)
 \end{aligned}
 \tag{3.27}$$

După cum este demonstrat în lucrarea lui Galton [56], este interesant să se observe că *liniaritatea-stânga* și *liniaritatea-dreapta* nu respectă împreună liniaritatea completă, cu excepția cazului în care se exprimă timpul paralel, prezentat în *Figura 3.4*:

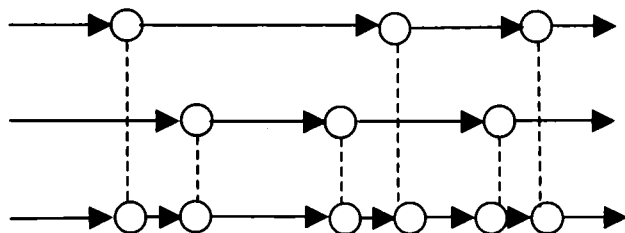


Figura 3.4 Liniaritate completă în timp paralel



Elementele temporale paralele oferă o posibilitate de modelare separată a proceselor asincrone și pot fi folosite în dezvoltarea logicilor de exprimare în calculul paralele și procese concurente.

Conform cu *Axioma 3.8*, pentru fiecare element temporal  $t$  există un predecesor și un succesori. *Axioma 3.10* exprimă faptul că între oricare două puncte temporale aflate pe aceeași linie temporală, există un interval. Se pune problema dacă orice interval poate fi descompus în două intervale distincte succesive. Dacă această ipoteză este adevărată atunci mulțimea elementelor temporale formează un sistem *dens temporal*.

Pentru a caracteriza densitatea unui element temporal se definește următoarea axiomă de densitate, *Axioma 3.16*:

**Axioma 3.16**

$$\forall i \in I : \exists t_1, t_2 \in T \text{ a.î. } i = t_1 + t_2 \quad (3.28)$$

Se poate demonstra că *Axioma 3.16* determină faptul că orice interval poate fi descompus în două intervale adiacente. De exemplu, fiind dat intervalul  $i = t_1 + t_2$ , dacă  $t_1$  este un punct atunci folosind *Axioma 3.10* se determină că  $t_2$  trebuie să fie un interval. Folosind *Axioma 3.16* avem  $t_2 = t' + t''$ , unde  $t'$  și  $t'' \in T$ . Din aplicarea pentru *Axioma 3.10* se obține  $i = t_1 + t' + t''$ , iar deoarece  $t_1$  este un punct,  $t'$  trebuie să fie un interval. Astfel,  $i_1 = t_1 + t'$  este un interval și  $i = i_1 + t_2$ . În mod similar, se demonstrează că dacă  $t_2$  este un punct atunci  $t_1$  trebuie să fie un interval.

Discretizarea unui sistem complet de elemente temporale  $(T, punct)$  poate fi caracterizată prin adăugarea a două axiome *discret-stânga* *Axioma 3.17* și *discret-dreapta* *Axioma 3.18*:

**Axioma 3.17**

$$\forall t \in T \exists t_1 \in T : punct(t_1, t) \wedge \neg \exists t_2, t_3 \in T : t_1 = t_2 + t_3 \quad (3.29)$$

**Axioma 3.18**

$$\forall t \in T \exists t_1 \in T : punct(t, t_1) \wedge \neg \exists t_2, t_3 \in T : t_1 = t_2 + t_3 \quad (3.30)$$

Axiomele prezentate mai sus introduc noțiunile de *discretizare-stânga* și de *discretizare-dreapta* a unui sistem temporal. Considerând  $t$  drept un interval care nu poate fi descompus, echivalent cu a considera  $t$  drept un moment definit în teoria temporală Allen-Hayes, axiomele de discretizare determină faptul că fiecare moment are un moment predecesor și un moment succesori.

Se poate observa că pot exista sisteme temporale care să nu fie nici discrete și nici dense. În astfel de sisteme temporale intervalele sunt constituite dintr-o sumă finită de momente, dar în acest caz fiecare interval care poate fi descompus ar trebui să fie în mod

infinit descompus. Se observă că axioma din teoria intervalelor *Axioma 3.6* nu este compatibilă cu axiomele de discretizare.

### 3.5 Relații temporale derivate

Folosind relația primitivă *punct()* se poate determina un set complet de relații temporale posibile între două elemente temporale, prezentate prin expresiile de mai jos:

- Două elemente temporale pot fi egale:

$$EGAL(t_1, t_2) \Leftrightarrow t_1 = t_2 \quad (3.31)$$

- Un element temporal poate fi înaintea altui element temporal:

$$\hat{I}NAINTE(t_1, t_2) \Leftrightarrow \exists t \in T : punct(t_1, t) \wedge punct(t, t_2) \quad (3.32)$$

- Un element temporal poate fi după alt element temporal:

$$DUP\check{A}(t_1, t_2) \Leftrightarrow \hat{I}NAINTE(t_2, t_1) \quad (3.33)$$

- Un element temporal poate fi sub un alt element temporal:

$$SUB(t_1, t_2) \Leftrightarrow \exists t, t', t'' \in T : t_1 = t' + t \wedge t_2 = t + t'' \quad (3.34)$$

- Un element temporal poate fi deasupra unui alt element temporal:

$$DEASUPRA(t_1, t_2) \Leftrightarrow SUB(t_2, t_1) \quad (3.35)$$

- Un element temporal poate începe un alt element temporal:

$$START(t_1, t_2) \Leftrightarrow \exists t \in T : t_2 = t_1 + t \quad (3.36)$$

- Un element temporal poate fi început de un alt element temporal:

$$STARTAT(t_1, t_2) \Leftrightarrow START(t_2, t_1) \quad (3.37)$$

- Un element temporal poate opri un alt element temporal:

$$STOP(t_1, t_2) \Leftrightarrow \exists t \in T : t_2 = t + t_1 \quad (3.38)$$

- Un element temporal poate fi oprit de un alt element temporal:

$$STOPAT(t_1, t_2) \Leftrightarrow STOP(t_2, t_1) \quad (3.39)$$

- Un element temporal poate fi conținut de un alt element temporal:

$$\hat{I}NTRE(t_1, t_2) \Leftrightarrow \exists t' t'' \in T : t_2 = t' + t_1 + t'' \quad (3.40)$$

- Un element temporal poate conține un alt element temporal:

$$CONȚINE(t_1, t_2) \Leftrightarrow ÎNTRE(t_2, t_1) \quad (3.41)$$

- Un element temporal poate întâlni un alt element temporal:

$$ÎNTĂLNIRE(t_1, t_2) \Leftrightarrow punct(t_1, t_2) \quad (3.42)$$

- Un element temporal poate fi întâlnit de un alt element temporal:

$$ÎNTĂLNIT(t_1, t_2) \Leftrightarrow ÎNTĂLNIRE(t_2, t_1) \quad (3.43)$$

Cele 13 relații prezentate mai sus sunt asemănătoare relațiilor temporale definite între intervale în sistemul temporal propus de Allen [15]. De exemplu, dacă  $i_1$  și  $i_2$  sunt intervale deschise separate de un punct  $p$ , atunci se poate scrie  $ÎNAINTE(i_1, i_2)$ , iar în sistemul temporal al lui Allen se exprimă că  $i_1$  întâlnește pe  $i_2$ . În mod similar, dacă  $i_1$  este închis-dreapta și  $i_2$  este închis-stânga, ambele în punctul  $p$ , conform definițiilor de mai sus putem exprima  $DEASUPRA(i_1, i_2)$  dar în sistemul temporal al lui Allen intervalele se întâlnesc. Se poate exprima și faptul că orice interval deschis este cuprins de un interval închis.

Astfel, considerând atât intervalele cât și punctele ca primitive temporale, trebuie să definim câteva relații suplimentare, deoarece cazul  $ÎNTĂLNIRE(i_1, p) \wedge ÎNTĂLNIRE(p, i_2)$  nu este similar cu cazul a două intervale separate de un an 3-lea interval. Aceste 13 relații definite sunt valabile complet în cazul când se consideră numai intervalele ca fiind primitive. Atunci când se consideră și punctele ca fiind primitive, câteva din aceste relații, valabile pentru intervale, nu vor mai fi satisfăcute.

De exemplu, să considerăm punctul  $p \in P$ .  $ÎNTĂLNIRE(p, t_2)$  este valabil și în acest caz, conform cu axiomele punctelor. Dar, considerând cazul următor (3.44), să analizăm *Axioma 3.11* și *Axioma 3.12* :

$$DEASUPRA(p, t_2) \Leftrightarrow \exists t, t', t'' \in T: p = t' + t \wedge t_2 = t + t'' \quad (3.44)$$

*Axioma 3.12*,  $d(p) = d(t') + d(t)$  și presupunerea că  $p$  este un punct, implică:

$$d(t') + d(t) = d(p) = 0 \quad (3.45)$$

Dar *Axioma 3.11* asigură faptul că cel puțin un interval din  $t'$  și  $t$  este un interval:

$$d(t') + d(t) > 0 \quad (3.46)$$

Relațiile de mai sus (3.45) și (3.46) sunt contradictorii și indică faptul că definiția  $DEASUPRA(p,t_2)$  nu poate fi îndeplinită dacă punctele sunt considerate primitive.

Relațiile posibile între intervale și puncte pot fi grupate în totalitate astfel:

**Relații Punct - Punct:**

$\{EGAL, ÎNAINTE, DUPĂ\}$

**Relații Interval - Interval:**

$\{EGAL, ÎNAINTE, DUPĂ, DEASUPRA, SUB, START, STARTAT, STOP, STOPAT, ÎNTRE, CONȚINE, ÎNTÂLNIRE, ÎNTÂLNIT\}$

**Relații Punct - Interval:**

$\{ÎNAINTE, ÎNTÂLNIRE, START, ÎNTRE, STOP, ÎNTÂLNIT, DUPĂ\}$

**Relații Interval - Punct:**

$\{ÎNAINTE, ÎNTÂLNIRE, STOPAT, CONȚINE, STARTAT, ÎNTÂLNIT, DUPĂ\}$

Conform clasificărilor de mai sus, există în total 30 de relații temporale posibile asupra elementelor temporale, care pot fi intervale sau puncte. În sistemul temporal prezentat de Vilain [129] sunt indicate 26 dintre aceste 30 de relații temporale. Nu sunt indicate relațiile primitive dintre intervale și puncte deoarece s-a considerat că primitiva punct este definită doar asupra intervalelor și nu se aplică interacțiunii dintre intervale și puncte. Datorită absenței relațiilor temporale dintre intervale și puncte, algebra propusă prezintă anumite dificultăți pentru modelarea naturii intervalelor (închise sau deschise).

### 3.6 Modele temporale

Clasificarea modelelor temporale rezultate în urma aplicării teoriilor temporale discutate mai sus poate fi făcută după natura elementelor de timp (*dens* sau *discret*), sau după natura timpului (*liniar*, *paralel* sau *ramificat*).

Pentru a exemplifica un model *dens liniar* vom considera o mulțime de puncte  $P$  definită peste mulțimea numerelor reale și o mulțime de intervale  $I$  construite peste toate perechile de puncte posibile:  $p_1, p_2 \in P$  astfel încât  $p_1 < p_2$ .

Folosind notațiile "<" și "≤" pentru a exprima relațiile de ordine peste mulțimea numerelor reale  $\mathfrak{R}$ , relațiile temporale sunt următoarele:

$$(p_1, p_2, \text{deschis}, \text{deschis}) =_{\text{def}} \{ r \in \mathfrak{R} \mid p_1 < r < p_2 \} \quad (3.47)$$

$$(p_1, p_2, \text{deschis}, \text{închis}) =_{\text{def}} \{ r \in \mathfrak{R} \mid p_1 < r \leq p_2 \} \quad (3.48)$$

$$(p_1, p_2, \text{închis}, \text{deschis}) =_{\text{def}} \{ r \in \mathfrak{R} \mid p_1 \leq r < p_2 \} \quad (3.49)$$

$$(p_1, p_2, \text{închis}, \text{închis}) =_{\text{def}} \{ r \in \mathfrak{R} \mid p_1 \leq r \leq p_2 \} \quad (3.50)$$

Se remarcă faptul că în definițiile de mai sus intervalele sunt reprezentate de primitive de tipul *interval-stânga* și *interval-dreapta* care conțin valori din mulțimea de valori  $Tip =_{\text{def}} \{ \text{deschis}, \text{închis} \}$ . Astfel, se pot defini 4 tipuri de intervale bazate pe puncte.

Se face convenția de a defini *punctul* ca fiind  $(p, p, \text{închis}, \text{închis})$ .

Funcția  $d$  (durata) este definită de relația următoare:

$$d((p_1, p_2, \_, \_)) = p_2 - p_1 \quad (3.51)$$

Se pot defini în continuare relațiile *punct()* peste mulțimile  $T = P \cup I$ :

$$\begin{aligned} \text{punct}((p_{11}, p_{12}, l_1, r_1), (p_{21}, p_{22}, l_2, r_2)) \Leftrightarrow \\ p_{12} = p_{21} \wedge r_1 = \text{deschis} \wedge l_2 = \text{închis} \vee p_{12} = p_{21} \wedge r_1 = \text{închis} \wedge l_2 = \text{deschis} \end{aligned} \quad (3.52)$$

Acest model satisface axiomele definite pentru puncte, axiomele 3.7, 3.8, 3.9, 3.10, 3.11 și 3.12 și, de asemenea, axiomele de liniaritate stânga și dreapta. Cu alte cuvinte, relația de mai sus definește modelul temporar liniar și dens.

Un model discret poate satisface axiomele de puncte *Axioma 3.7* la *Axioma 3.12*, *discret-stânga* *Axioma 3.17* și *discret-dreapta* *Axioma 3.18* și poate fi construit prin considerarea limitării punctelor la mulțimea numerelor întregi. Se poate observa că, în cazul modelelor discrete, deși punctele nu se întâlnesc niciodată între ele, intervalele nu sunt în mod infinit posibil de descompus.

De exemplu, pornind de la definiția de mai sus, intervalul  $(1, 3, \text{deschis}, \text{închis})$  poate fi descompus în maxim 4 elemente de timp care la rândul lor nu mai pot fi descompuse:

$$\begin{aligned} (1, 3, \text{deschis}, \text{închis}) = (1, 2, \text{deschis}, \text{deschis}) + (2, 2, \text{închis}, \text{închis}) + (2, 3, \text{deschis}, \text{deschis}) + \\ (3, 3, \text{închis}, \text{închis}) \end{aligned} \quad (3.53)$$

Acest model nu este valid pentru *Axioma 3.6* a teoriei intervalelor a lui Allen-Hayes, care presupune că dacă un interval este posibil de descompus atunci el trebuie să fie în mod infinit posibil de descompus. Altfel, dacă un interval este finit posibil de descompus atunci el trebuie să fie suma unui număr finit de momente care se întâlnesc.

Pentru a interpreta corect axiomele lui Allen-Hayes, trebuie exclusă axioma *Axioma 3.6* pentru că nu este consistentă cu timpul discret. În schimb *Axioma 3.5* poate fi satisfăcută de aceste modele discrete.

Axiomele prezentate până aici sunt un element de definiție suficient pentru a descrie mai multe sisteme temporale, cum sunt teoriile bazate pe puncte ale lui Bruce [28], McDermott [83] și teoriile bazate pe intervale ale lui Allen, Galton, precum și teoriile mixte cu puncte și intervale ale lui Vilain [129] și Knight-Ma [71].

### 3.6.1 Teoria temporală Bruce bazată pe puncte

Teoria temporală Bruce bazată pe puncte este definită de o mulțime simplă de puncte care au o ordine parțială. În teorie se notează relația de ordin parțial ( $\leq$ ) asupra mulțimii de puncte  $P$ :

$$p_1 \leq p_2 \Leftrightarrow EGAL(p_1, p_2) \vee \hat{I}NAINTE(p_1, p_2), \quad (3.54)$$

unde *EGAL* și *ÎNAINTE* sunt relații introduse în paragraful anterior §3.5. Sistemul temporal al lui Bruce este deci notat astfel:  $(P, \leq)$  definit pe  $(T, punct)$

În mod similar se pot defini cele 7 relații binare asupra managementului timpului [28]. De remarcat că teoriile temporale ale lui Ladkin [74], Dechter [40] și Maiocchi [79] sunt similare cu teoria lui Bruce în sensul că toate intervalele sunt construite din puncte.

### 3.6.2 Logica temporală McDermott

Modelul temporal propus de McDermott în lucrările [83], [84] și [85], dezvoltă o logică bine adaptată modelării evoluției în timp a unor fenomene. Teoria temporală presupune o relație de tipul *cel târziu*, definită peste o colecție de puncte dense și care definesc o linie temporală liniară la stânga și ramificată în viitor. Astfel, în viitor există mai multe ramuri posibile pentru evoluția sistemului. Fiecare ramură temporală din viitor constituie o *cronică* și este compusă dintr-o mulțime densă de puncte [16].

Considerând axiomele de definiție *Axioma 3.7* la *Axioma 3.12* și liniaritate-stânga *Axioma 3.14* și mai trebuie definită o axiomă adițională de punct-dens *Axioma 3.19* pentru a defini că există întotdeauna un punct în timpul unui interval:

#### Axioma 3.19

$$\forall i \in I : \exists p \in P, \exists i_1, i_2 \in I \text{ a.î. } i = i_1 + p + i_2 \quad (3.55)$$

Dacă se consideră *Axioma 3.8* și *Axioma 3.11* se poate determina că *Axioma 3.19* exprimă faptul că între două puncte distincte pe aceeași linie temporală există un al treilea punct. De fapt, *Axioma 3.19* este mai puternică decât axioma de densitate *Axioma 3.16*

La fel ca și în teoria lui Bruce, putem să definim relațiile de tipul *nu mai târziu* de asupra punctelor, respectând condițiile *EGAL* și *ÎNAINTE*. Astfel, se poate considera structura timpului propusă de McDermott [83] ca un model care accesează doar punctele și o relație de tipul *nu mai târziu*.

### 3.6.3 Teoria intervalelor Allen-Hayes

Axiomele intervalelor prezentate aici sunt extensii ale teoriei intervalelor Allen-Hayes [15], care definește intervalele ca primitive și tratează punctele în formă abstractă. Relația importantă definită pentru intervale este *CONȚINUT*, definită astfel:

$$CONȚINUT(p, i) \Leftrightarrow \forall i' \in I : \hat{IN}(i', i) \Rightarrow CONȚINUT(p, i') \quad (3.56)$$

În ecuația (3.56) de mai sus apare relația *ÎN*, care este definită în raport cu relațiile temporale astfel:

$$\hat{IN}(i', i) \Leftrightarrow \hat{INTRE}(i', i) \wedge START(i', i) \vee STOP(i', i) \quad (3.57)$$

Negarea relației *CONȚINUT* se exprimă astfel:

$$CONȚINUT(\neg pct, i) \Leftrightarrow \forall i' \in I : \hat{IN}(i', i) \Rightarrow \neg CONȚINUT(pct, i') \quad (3.58)$$

Problema care poate apărea în teoria intervalelor este distingerea între două tipuri de proprietăți: poziție și mișcare. Poziția izolează puncte, iar mișcarea nu poate izola puncte. Pentru detalii asupra acestei probleme poate fi consultată lucrarea [55].

### 3.6.4 Sistemul temporal bazat pe intervale și puncte Vilain

Deoarece intervalele nu sunt singura reprezentare a timpului, un sistem temporal poate fi descris de puncte, cum este teoria temporală propusă de Vilain [129], [130].

Acest sistem temporal extinde cele 13 relații temporale din teoria intervalelor pentru a obține 26 de relații între puncte și intervale. Menționăm că cele 26 de relații constituie o submulțime a celor 30 de relații care le-am prezentat în paragraful anterior.

Relațiile care nu sunt incluse în sistemul temporal propus de Vilain sunt următoarele: *ÎNTÂLNIRE*, *ÎNTÂLNIT* între puncte și intervale și *ÎNTÂLNIRE*, *ÎNTÂLNIT* între puncte și intervale.

Teoria lui Vilain este mai restrictivă deoarece conține o axiomă care definește că dacă două elemente temporale se întâlnesc atunci amândouă trebuie să fie intervale:

**Axioma 3.20**

$$\forall t_1, t_2 \in T : \text{punct}(t_1, t_2) \Rightarrow t_1 \in I \wedge t_2 \in I \quad (3.59)$$

### 3.6.5 Modelul temporal Knight-Ma

În lucrarea [71], Knight și Ma introduc un model temporal care consideră atât punctele cât și intervalele ca fiind primitive temporale. Acest model temporal este adaptat mulțimilor finite de elemente temporale.

Sistemul temporal Knight-Ma este bazat pe definirea unor elemente temporale fundamentale asemănătoare noțiunii de momente, așa cum a fost definită în sistemul temporal Allen-Hayes.

Menționăm că, pentru modelarea unei baze de date în informatică, se utilizează doar un număr finit de elemente, astfel definind un număr dens și discret de elemente primitive.

### 3.7 Concluzii

Teoriile temporale generale, prezentate în acest capitol, permit definirea problemei de reprezentare temporală în scopul alegerii metodei potrivite de modelare matematică.

Am prezentat diferitele axiome temporale descrise în lucrările referitoare la teoriile temporale. Între aceste axiome putem distinge axiomele de liniaritate și cele de densitate, care sunt cele mai apropiate de modelarea generării unor evenimente discrete, cum sunt alarmele în cadrul rețelelor de telecomunicații.

Pentru descrierea problemei de recunoaștere a cronicilor de alarme am ales modelul temporal propus de McDermott [83], definit peste o colecție de puncte dense cu o linie temporală liniară la stânga și ramificată în viitor. Linia temporală liniară la stânga este potrivită pentru reprezentarea succesiunilor de alarme, iar în viitor există mai multe ramuri posibile pentru evoluția sistemului. Fiecare ramură temporală din viitor constituie o posibilă *cronică* și este compusă dintr-o mulțime densă de puncte, care sunt *alarme* în cazul rețelelor de telecomunicații.



### 4.1 Definiții ale rețelelor Petri

În domeniul modelării matematice, rețelele Petri sunt recunoscute pentru faptul că exprimă foarte bine fenomenele de concurență și de cauzalitate ale unor evenimente. Astfel, rețelele Petri permit o exprimare grafică simplă și intuitivă pentru descrierea acestor fenomene. Concurența unor evenimente se referă la producerea lor într-o anumită succesiune iar cauzalitatea se referă la relațiile dintre aceste evenimente [69], [104].

Rețelele Petri au fost introduse pentru prima dată în anul 1962, în teza de doctorat "*Kommunikation mit Automaten*" a lui Carl Adam Petri [100], susținută la Universitatea Tehnică din Darmstadt, Germania. Pentru o introducere mai aprofundată în formalismul rețelelor Petri pot fi consultate lucrările de referință ale lui Murata [87] și Peterson [99].

Definiția unei rețele Petri, prezentată în forma simplificată, este următoarea:

#### **Definiția 4.1**

*O rețea Petri, notată  $N=(P,T,L)$ , este un graf orientat bipartit, definit pe două mulțimi finite și distincte de elemente: mulțimea pozițiilor  $P$  și mulțimea tranzițiilor  $T$ . Legăturile sau arcele dintre aceste elemente, notate  $L$ , conectează pozițiile la tranziții sau tranzițiile la poziții. Legăturile satisfac condiția:*

$$L \subset (P \times T) \cup (T \times P) \quad (4.1)$$

Condiția exprimată prin relația (4.1) se interpretează intuitiv prin expresia legăturilor ca fiind incluse în spațiul reunit al mulțimilor pozițiilor și al tranzițiilor.

În mod tradițional, simbolizarea grafică a pozițiilor se reprezintă prin cercuri, iar tranzițiile se reprezintă prin bare sau dreptunghiuri. Legăturile pleacă fie de la o poziție la o tranziție, fie de la o tranziție la o poziție. Nu există legături care să conecteze două poziții între ele, după cum nu există legături care să conecteze două tranziții între ele. De asemenea, în forma simplă a rețelelor Petri, presupunem că nu există nici poziții și nici tranziții neconectate de o legătură, deci nu există poziții izolate și nici tranziții izolate.

În general, pozițiile reprezintă resurse sau condiții logice, iar tranzițiile reprezintă acțiuni sau evenimente.

Legăturile sunt etichetate cu ponderile lor, valori întregi și pozitive. O legătură cu ponderea  $k$  poate fi privită ca o mulțime de  $k$  legături paralele cu pondere unitară. În general, în reprezentările grafice uzuale, nu este necesar să fie indicate etichetele pentru ponderea unitară.

Presetul unei tranziții dintr-o rețea Petri se definește astfel:

**Definiția 4.2**

Pentru toate tranzițiile  $t \in T$ , se definește presetul  $\bullet t$ , ca fiind mulțimea tuturor pozițiilor conectate la  $t$  în amonte, adică:

$$\bullet t = \{p \in P : (p, t) \in L\} \tag{4.2}$$

Pozițiile din presetul  $\bullet t$ , numite și locuri de intrare pentru  $t$ , reprezintă precondițiile, resursele necesare sau datele de intrare pentru evenimentul  $t$ .

În mod similar, se definește postsetul unei tranziții dintr-o rețea Petri astfel:

**Definiția 4.3**




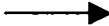
Pentru oricare tranziție  $t \in T$ , se definește postsetul  $t \bullet$ , ca fiind mulțimea tuturor pozițiilor conectate la  $t$  în aval, adică:

$$t \bullet = \{p \in P : (t, p) \in L\} \tag{4.3}$$

Pozițiile din mulțimea  $t \bullet$ , numite și locuri de ieșire pentru  $t$ , exprimă în general postcondițiile, resursele create sau datele de ieșire corespunzătoare evenimentului  $t$ .

Dinamica rețelelor Petri este realizată prin introducerea noțiunii de *jeton* ca fiind un element asociat unei poziții și care poate fi deplasat în rețeaua Petri în urma execuției unei tranziții.

Pentru reprezentarea grafică a rețelelor Petri se folosesc următoarele simboluri grafice :

- Poziție  $p$  : 
- Marcajul unei poziții  $p$  cu un jeton : 
- Tranziție  $t$  : 
- Legătură între poziție și tranziție (sau invers) : 

Definiția unei bucle între o poziție  $p$  și o tranziție  $t$  este următoarea:

**Definiția 4.4**

O poziție  $p$  formează o buclă în raport cu tranziția  $t$  dacă  $p$  se află în același timp în presetul și în postsetul acelei tranziții, ceea ce se exprimă prin relația:

$$p \in \bullet t \cap t \bullet \tag{4.4}$$

Un exemplu de reprezentare grafică a unei bucle exprimate de relația (4.4) este dat în Figura 4.1 :

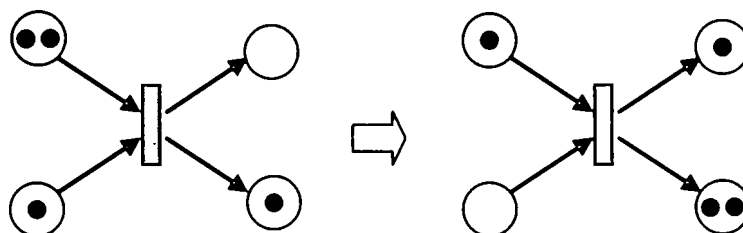


Figura 4.1 Exemple de preset și postset ale unei tranziții

În Figura 4.1 se observă că trecerea este autorizată, deoarece în partea stângă există preseturi care conțin cel puțin un jeton. În partea dreaptă, se prezintă rezultatul tranziției: în preset s-a redus numărul jetoanelor și în postset a crescut numărul jetoanelor. În acest exemplu există o buclă între poziții și tranziția rețelei Petri.

Atunci când o rețea Petri nu conține nici o buclă între poziții și tranziții se definește noțiunea de rețea Petri pură:

**Definiția 4.5**

O rețea Petri pură este o rețea Petri care nu conține nici o buclă între poziții și tranziții.

În mod similar cu preseturile și postseturile tranzițiilor  $t \in T$  se pot defini preseturile și postseturile pozițiilor  $p \in P$ , folosind relațiile următoare :

$$\bullet p = \{t \in T : (t, p) \in L\} \tag{4.5}$$

$$p \bullet = \{t \in T : (p, t) \in L\}. \tag{4.6}$$

Marcajul unei rețele Petri se definește ca fiind o funcție  $M : P \mapsto \mathbb{N}$ , unde  $\mathbb{N}$  este mulțimea numerelor naturale. Reprezentarea grafică a unui marcaj este o distribuție de jetoane în pozițiile rețelelor Petri.

Un marcaj  $M$  este denumit  $k$ -bornat dacă în toate pozițiile  $p \in P$  numărul de jetoane  $M(p)$  este mai mic sau egal decât  $k$ . Un marcaj inițial  $M_0$  poate fi asociat rețelelor Petri  $N = (P, T, L)$ . În acest caz, rețelele Petri care conțin un marcaj inițial se numesc rețele Petri marcate și se notează sub forma  $(N, M_0)$  sau  $(P, T, L, M_0)$ .

Marcajul reprezintă starea globală a sistemului. Dinamica rețelelor Petri este exprimată prin validarea și trecerea unor tranziții, fapt care schimbă marcajul rețelei Petri. Pentru ca o tranziție să fie trecută, ea trebuie să fie autorizată în marcajul curent. Validarea unei tranziții presupune că trebuie îndeplinită condiția ca toate pozițiile de preset să conțină cel puțin un jeton.

#### **Definiția 4.6**

*Considerând o tranziție  $t \in T$  autorizată într-un marcaj inițial  $M_0$ , trecerea către marcajul  $M_1$  se exprimă prin relația:*

$$M_1(p) = M_0(p) + I_{\{p \in t \bullet\}} - I_{\{p \in t \circ\}}, \forall p \in P \quad (4.7)$$

Trecerea din marcajul inițial  $M_0$  către marcajul  $M_1$  se notează astfel :

$$M_0 \xrightarrow{t} M_1 \quad (4.8)$$

Explicația intuitivă pentru *Figura 4.1* este că la trecerea unei tranziții se extrage un jeton de la fiecare poziție din preset și se adaugă acel jeton la pozițiile din postset. Astfel, dacă jetoanele sunt privite ca resurse, se poate spune că tranzițiile consumă resursele pozițiilor de intrare și creează resurse în pozițiile de ieșire.

O remarcă importantă este faptul că o resursă nu poate fi creată sau consumată decât de către o tranziție. În acest mod, trecerile de tranziții conduc la propagarea jetoanelor și definesc dinamica rețelelor Petri. O tranziție poate fi trecută sau efectuată, dar nu poate fi forțată. De asemenea, că regulile de trecere sau de autorizare a tranzițiilor sunt locale și nu depind decât de pozițiile din vecinătatea tranziției. De aceea, două tranziții autorizate, care nu consumă aceleași resurse, ar putea în principiu să fie trecute simultan. Aceste tranziții sunt numite tranziții concurente.

#### **Definiția 4.7**

O secvență executabilă ( $s$ ), numită și execuție a unei rețele Petri, pornind de la marcajul inițial  $M_0$ , este o secvență de treceri de tranziții ( $s = t_1 \dots t_n$ ), astfel încât:

$$M_0 [t_1 \rangle M_1 \dots M_{n-1} [t_n \rangle M_n \quad (4.9)$$

Secvențele de execuție a unei rețele Petri se notează astfel :

$$M_0 [s \rangle M_n \quad (4.10)$$

O secvență este executabilă dacă și numai dacă există un marcaj inițial pornind de la care secvența este executabilă.

Un marcaj  $M_n$  se numește accesibil de la marcajul inițial  $M_0$ , dacă există cel puțin o secvență executabilă de la  $M_0$  la  $M_n$ , conform relației (4.10).

Ansamblul marcajelor accesibile pornind de la  $M_0$  se notează  $\mu(M_0)$ . Regulile de trecere definesc un graf pe ansamblul de marcaje accesibile.

#### **Definiția 4.8**

Graful marcajelor unei rețele Petri  $N = (P, T, L, M_0)$  este un graf orientat  $(R, G)$ , unde mulțimea nodurilor este mulțimea marcajelor accesibile  $R = \mu(M_0)$ , iar mulțimea legăturilor  $G \subset R \times T \times R$  este definită de:

$$(M, t, M') \in G \leftrightarrow M [t \rangle M' \quad (4.11)$$

Graful marcajelor reprezintă spațiul pozițiilor rețelei Petri, unde schimbările de stări corespund trecerilor tranzițiilor și pot fi considerate ca evenimente discrete. Altfel spus, graful marcajelor este un automat asociat rețelelor Petri.

Se observă că în general mulțimea  $\mu(M_0)$ , care definește nodurile graficului de marcaj, poate fi o mulțime infinită. Rețelele Petri care nu o mulțime infinită de noduri se numesc rețele Petri bornate.

#### **Definiția 4.9**

Fie  $k$  un număr întreg. Rețelele Petri  $(N, M_0)$  se numesc  $k$ -bornate dacă toate marcajele accesibile pornind de la  $M_0$  sunt  $k$ -bornate.

Pentru rețelele Petri  $k$ -bornate, mulțimea marcajelor accesibile  $\mu(M_0)$  este finită și conține maxim  $(k+1)^{|P|}$  elemente, unde  $|P|$  este numărul de poziții în  $N$ .

Rețelele  $1$ -bornate sunt denumite rețele Petri reduse. În mod similar, marcajele pot fi  $1$ -bornate. După cum este demonstrat în lucrarea [87], toate rețelele Petri bornate pot fi simplificate și transformate în rețele Petri reduse, care sunt echivalente și generează același comportament ca și rețeaua inițială. Altfel spus, rețelele Petri reduse au aceeași putere de modelare ca și rețelele Petri bornate.

Un marcaj sau o stare atribuie fiecărei poziții un număr întreg pozitiv. Dacă un marcaj atribuie poziției  $p$  un număr întreg  $k > 0$ , se spune că  $p$  este marcat cu  $k$  jetoane. Din punct de vedere grafic, în cercul corespunzător poziției  $p$  se vor plasa  $k$  obiecte care simbolizează jetoanele.

Orice marcaj  $M_i$  este un vector  $m$ -dimensional, unde  $m$  notează numărul total al pozițiilor. Componenta  $p$  a lui  $M_i$ , notată  $M_i(p)$ , reprezintă numărul de jetoane din poziția  $p$ .

În problemele de modelare care utilizează conceptele de condiții și evenimente, pozițiile reprezintă condiții și tranzițiile reprezintă evenimente. O tranziție (eveniment) posedă un număr de poziții de intrare și ieșire, care reprezintă pre-condiții și respectiv post-condiții pentru evenimentul în cauză. Prezența unui jeton într-o poziție trebuie înțeleasă ca valoare logică pentru condiția asociată respectivei poziții (condiție adevărată).

Aspectele de ponderare a arcelor și de marcaj inițial, prezentate anterior, exprimă complet o extindere a noțiunii de rețea Petri prin următoarea definiție:

#### **Definiția 4.10**

*O rețea Petri este un cvintuplu,  $PN = (P, T, F, W, M_0)$  pentru care:*

- $P = \{p_1, p_2, \dots, p_n\}$  este o mulțime finită de poziții,
- $T = \{t_1, t_2, \dots, t_n\}$  este o mulțime finită de tranziții,
- $F \subseteq (P \times T) \cup (T \times P)$  este o mulțime de arce sau legături,
- $W : F \rightarrow \{1, 2, \dots, n\}$  este o funcție de ponderare a arcelor,
- $M_0 : P \rightarrow \{0, 1, 2, \dots, n-1\}$  este o funcție de marcaj inițial.

Pentru a aprofunda formalismul rețelelor Petri este necesară exprimarea unor alte noțiuni referitoare la rețele Petri, prezentate în continuare:

- Mulțimile  $P$  și  $T$  sunt disjuncte:  $P \cap T = \emptyset$ ,

- Pentru a asigura obiectul definiției de mai sus, mulțimile  $P$  și  $T$  satisfac condiția  $P \cup T \neq \emptyset$ ,
- Structura de rețea Petri  $N = (P, T, F, W)$  fără nici o specificație referitoare la marcaj se notează  $N$ , notație care desemnează topologia rețelei,
- Rețeaua Petri cu un marcaj inițial  $M_0$  se notează  $(N, M_0)$ ,
- Rețeaua Petri cu un marcaj oarecare  $M_i$  se notează  $(N, M_i)$ .

## 4.2 Validarea și executarea tranzițiilor (dinamica rețelelor Petri)

Marcajul unei rețele Petri are semnificația de stare a rețelei și se poate modifica în conformitate cu următoarele două definiții, denumite regula tranziției de validare și regula tranziției de executare :

### **Definiția 4.11**

*O tranziție  $t$  se spune că este validată dacă fiecare poziție de intrare  $p$  a lui  $t$  este marcată cu cel puțin  $W(p, t)$  jetoane, unde  $W(p, t)$  notează ponderea arcului de la  $p$  la  $t$ .*

### **Definiția 4.12**

*O tranziție validată poate să fie executată sau să nu fie executată, după cum evenimentul asociat tranziției are loc sau nu are loc.*

Executarea unei tranziții validate  $t$  elimină  $W(p, t)$  jetoane din fiecare poziție de intrare  $p$  a lui  $t$  și adaugă  $W(t, p)$  jetoane la fiecare poziție de ieșire  $p$  a lui  $t$ , unde  $W(t, p)$  este ponderea arcului de la  $t$  la  $p$ . O rețea Petri se numește ordinară dacă toate arcele sale au pondere unitară.

O tranziție fără nici o poziție de intrare se numește tranziție *sursă*. O tranziție fără nici o poziție de ieșire se numește tranziție *receptor*. Modul de operare al acestor tranziții este următorul:

- O tranziție sursă este necondiționat validată (fără a fi obligatoriu să se execute), iar executarea ei produce jetoane.
- O tranziție receptor consumă jetoane atunci când este executată.

Pe întreg parcursul modelării cu rețele Petri vom considera că executarea unei tranziții nu consumă timp și că jetoanele pot rămâne în pozițiile lor respective o durată de timp indefinită. Astfel, deoarece executarea unei tranziții este instantanee, se consideră că tranzițiile se execută numai secvențial și nu pot fi executate simultan.

Folosind ac estor ipoteze de lucru cu rețele Petri vom putea alege rețelele Petri pentru a modela relațiile de concurență și de cauzalitate între anumite succesiuni de evenimente.

### 4.3 Rețele Petri de capacitate finită și infinită

Pentru regula de validare a unei tranziții care a fost prezentată anterior, s-a presupus că fiecare poziție poate conține un număr nelimitat de jetoane. O astfel de rețea se numește rețea Petri de capacitate infinită.

În modelarea sistemelor fizice este firesc să se considere o limită superioară a numărului de jetoane pe care îl poate conține fiecare poziție, considerând doar rețele Petri de capacitate finită.

Într-o rețea Petri de capacitate finită  $(N, M_0)$ , fiecărei poziții  $p$  i se asociază capacitatea poziției, notată  $K(p)$ , definită ca numărul maxim de jetoane ce pot fi conținute în  $p$ . Pentru validarea unei tranziții  $t$  este necesară următoarea condiție suplimentară: numărul de jetoane în fiecare poziție de ieșire  $p$  a lui  $t$  nu poate să depășească capacitatea poziției respective,  $K(p)$ , atunci când  $t$  se execută. Cu această condiție de capacitate a poziției, regula tranziției din Definiția 4.11 se va numi regula *strictă* a tranziției.

Fiind dată o rețea Petri de capacitate finită  $(N, M_0)$  este posibil să se aplice regula strictă a tranziției direct pentru rețeaua  $(N, M_0)$  sau se poate aplica regula simplă a tranziției pentru o rețea transformată în prealabil, notată  $(N', M'_0)$ . Presupunând că rețeaua  $N$  este pură, următorul algoritm permite construcția rețelei  $(N', M'_0)$  pornind de la rețeaua  $(N, M_0)$ , prin metoda pozițiilor complementare :

- *Pasul  $i$ .* Pentru fiecare poziție  $p$ , se adaugă o poziție complementară  $p'$ , al cărei marcaj inițial este dat de  $M'_0(p') = K(p) - M_0(p)$ .
- *Pasul  $i+1$ .* Între fiecare tranziție  $t$  și unele poziții complementare  $p'$  se trasează arce suplimentare,  $(t, p')$  sau  $(p', t)$ , cu ponderile  $W(t, p') = W(p, t)$ , respectiv  $W(p', t) = W(t, p)$ , astfel încât suma jetoanelor în poziția  $p$  și în poziția complementară corespunzătoare  $p'$  să fie egală cu capacitatea  $K(p)$ , atât înainte, cât și după executarea tranziției  $t$ . În acest mod se asigură satisfacerea condiției  $M(p) + M'(p') = K(p)$ .

Se observă faptul că algoritmul prezentat mai sus nu adaugă tranziții suplimentare în rețeaua Petri transformată.

#### **Teorema 4.1**

*Fie  $(N, M_0)$  o rețea pură, cu capacitate finită, căreia i se aplică regula strictă a tranziției. Fie  $(N', M'_0)$  rețeaua obținută prin transformarea lui  $(N, M_0)$ , utilizând metoda pozițiilor complementare. În  $(N', M'_0)$  se aplică regula simplă a tranziției. Rețelele  $(N,$*



$M_0$ ) și  $(N', M'_0)$  sunt echivalente în sensul că ambele posedă aceeași mulțime de secvențe posibile pentru executarea tranzițiilor.

În baza teoremei de mai sus, se constată că regula strictă a tranziției într-o rețea cu capacitate finită poate fi întotdeauna înlocuită de mai multe reguli simple ale tranzițiilor echivalente într-o rețea cu capacitate infinită. Din acest motiv, pentru modelarea cu rețele Petri se preferă utilizarea rețelelor cu capacitate infinită și utilizarea regulii simple a tranziției în aceste rețele. Acest mod de reprezentare este, de fapt, cel mai des întâlnit în lucrările de specialitate.

#### 4.4 Proprietăți ale rețelelor Petri

Facilitățile de modelare oferite de rețelele Petri se datorează proprietăților lor, care sunt prezentate în continuare. Noțiunile prezentate în acest paragraf pot fi regăsite în referințele bibliografice [29] și [31].

##### 4.4.1 Conflict, decizie sau alegere liberă

Două evenimente  $e_1$  și  $e_2$  sunt în conflict dacă pot apărea amândouă separat dar nu simultan. În *Figura 4.2* se prezintă o structură care modelează conflictul dintre evenimentele  $e_1$  și  $e_2$ , materializate prin tranzițiile  $t_1$ , respectiv  $t_2$ . Ambele tranziții sunt validate dar numai una dintre ele se poate executa, execuția ei conducând la invalidarea celeilalte tranziții.

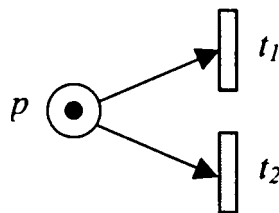


Figura 4.2 Conflict, decizie sau alegere liberă

În funcție de natura aplicației, structura din *Figura 4.2* poate modela procesul de luare a unei decizii sau procesul de alegere liberă. Din acest motiv structura se numește *conflict* sau *decizie* sau *alegere liberă*.

##### 4.4.2 Alegere liberă extinsă

În raport cu alegerea liberă, în *Figura 4.3* ambele tranziții  $t_1$  și  $t_2$  sunt validate, de asemenea, dar numai una dintre ele se va executa, conducând la invalidarea celeilalte.

Executarea uneia și numai a uneia dintre cele două tranziții va consuma ambele jetoanele din  $p_1$  și  $p_2$ .

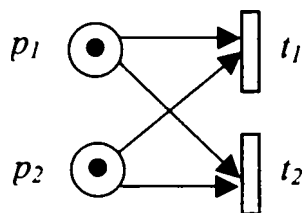


Figura 4.3 Alegere liberă extinsă

Deoarece aici trebuie făcută o alegere privind executarea fie a tranziției  $t_1$ , fie a tranziției  $t_2$ , structura din Figura 4.3 este denumită *alegere liberă extinsă*, în raport cu *alegerea liberă* prezentată anterior în Figura 4.2.

#### 4.4.3 Alegere asimetrică

În Figura 4.4 ambele tranziții  $t_1$  și  $t_2$  sunt validate, de asemenea, dar numai una dintre ele se va executa, conducând la invalidarea celeilalte. Deoarece aici trebuie făcută o alegere asimetrică privind executarea lui  $t_1$  sau  $t_2$ , structura din Figura 4.4 este denumită *alegere asimetrică*, pentru a o deosebi de *alegerea liberă* prezentată în Figura 4.2 și de *alegerea liberă extinsă* prezentată în Figura 4.3:

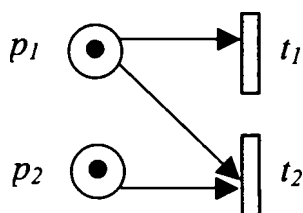


Figura 4.4 Alegere asimetrică

#### 4.4.4 Paralelism sau concurență

În Figura 4.5, ambele poziții  $p_1$  și  $p_2$  primesc câte un jeton în urma executării tranziției  $t$ . Astfel, aceste poziții pot modela două activități care se desfășoară în paralel. Tranzițiile  $t_1$  și  $t_2$  se pot executa independent una față de cealaltă, indiferent de ordine, modelând astfel două evenimente concurente, care apar fără a genera un conflict. Structura din Figura 4.5 se numește *paralelism* sau *concurență*.

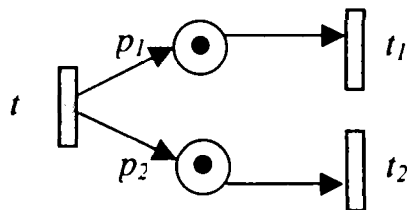


Figura 4.5 Paralelism sau concurență

#### 4.4.5 Confuzie

Situațiile caracterizate atât prin concurență cât și prin conflict sunt denumite *confuzii*. În *Figura 4.6* se prezintă o structură denumită *confuzie simetrică*: evenimentele corespunzătoare lui  $t_1$  și  $t_2$  sunt concurente, în timp ce fiecare din aceste evenimente este în conflict cu evenimentul corespunzător lui  $t_3$ .

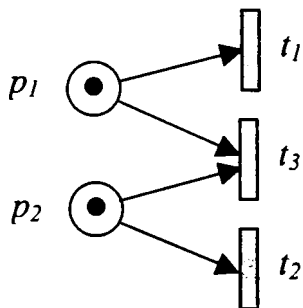


Figura 4.6 Confuzie simetrică

În *Figura 4.7* se prezintă o structură denumită *confuzie asimetrică*:  $t_1$  este concurent cu  $t_2$ , dar  $t_1$  va fi în conflict cu  $t_3$ , dacă  $t_2$  se execută înaintea lui  $t_1$ .

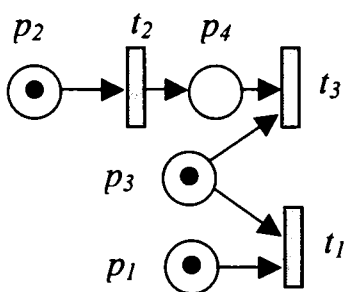


Figura 4.7 Confuzie asimetrică

#### 4.4.6 Sincronizare

În *Figura 4.8* este prezentată structura de *sincronizare*: pozițiile  $p_1$  și  $p_2$  reprezintă două activități care se pot desfășura în paralel și a căror încheiere trebuie corelată sau sincronizată. Prin executarea tranziției  $t$  se extrage câte un jeton atât din  $p_1$  cât și din  $p_2$ .

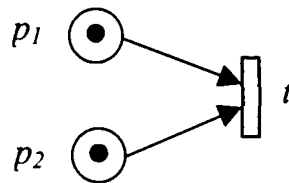


Figura 4.8 Sincronizare

#### 4.4.7 Post-condiție comună

În *Figura 4.9* este prezentată structura de *post-condiție comună*: tranzițiilor  $t_1$  și  $t_2$  le sunt asociate două evenimente care se pot produce independent, apariția oricăruia dintre ele conducând la satisfacerea condiției asociate poziției  $p$ . Prin executarea oricăreia din tranzițiile  $t_1$  sau  $t_2$  se introduce un jeton în  $p$ .

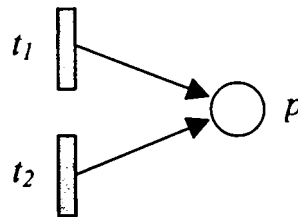


Figura 4.9 Post-condiție comună

### 4.5 Studiu comparativ între automate și rețele Petri

În acest paragraf se prezintă un studiu privind compararea modelelor bazate pe automate față de modelele bazate pe rețele Petri, din punct de vedere al analizei unor procese pilotate de evenimente discrete.

Obiectivul principal al acestui paragraf este de a prezenta motivele pentru care am ales modelarea cu rețele Petri, față de modelarea cu automate, pentru a analiza cronicile de alarme de telecomunicații.

#### 4.5.1 Automate pentru modelarea sistemelor cu evenimente discrete

Automatele, definite mai jos, sunt, de asemenea, mijloacele potrivite pentru modelarea comportamentului unor sisteme dinamice bazate pe evenimente discrete.

##### **Definiția 4.13**

*Un automat este un cvintuplu de elemente  $(E, X, P, f, x_0)$ , pentru care semnificația obiectelor matematice este următoarea:*

- $E$  este mulțimea evenimentelor (fiind o mulțime numărabilă de elemente  $e \in E$ ),
- $X$  este spațiul stărilor (fiind o mulțime numărabilă de elemente  $x \in X$ ),
- $P$  este mulțimea evenimentelor posibile (care se pot produce) în starea  $x \in X$ ,
- $f$  este funcția de tranziție a stărilor:  $f : X \times E \mapsto X, x' = f(x, e)$ ,
- $x_0$  este starea inițială.

Funcția  $f$  este definită numai pentru  $e(P)$ , atunci când starea este  $x$ . Starea  $x'$  notează starea în care tranziționează automatul aflat în starea  $x$ , ca urmare a producerii evenimentului  $e(P)$ . Cu alte cuvinte, problema tranziției dintr-o stare  $x$  în starea  $x'$  se pune numai pentru evenimente posibile în starea  $x$ .

Oricărui automat  $i$  se poate atașa o ieșire, situație când automatul este definit printr-un septuplu  $(E, X, P, f, x_0, Y, g)$ , unde  $E, X, P, f$  și  $x_0$  își păstrează semnificațiile definite anterior, la care se adaugă obiectele definite mai jos:

- $Y$  este mulțimea ieșirilor,
- $g$  este funcția ieșirii:  $g : X \times E \rightarrow Y, y = g(x, e)$ , definită numai pentru  $e(P)$ , atunci când starea este  $x$ ,  $g(x, e)$  nu este definită pentru  $e(P)$ .

Formulărilor matematice prezentate anterior le corespunde o reprezentare grafică de tip graf orientat, denumită diagrama de tranziții, în care nodurile au semnificația stărilor, iar fiecare arc orientat este etichetat cu evenimentul  $e$  care declanșează tranziția dintre cele două stări ( $x$  și  $x'$ ) unite prin arcul respectiv.

În cazul când este definită și ieșirea automatului, arcul orientat ce pornește din nodul  $x$  și corespunde evenimentului  $e(P)$  va primi o a doua etichetă cu valoarea ieșirii  $y=g(x, e)$ , în plus față de eticheta  $e$ . Facem precizarea că în aceste reprezentări grafice, restricția aplicațiilor  $f$  și  $g$  la evenimentele posibile în starea  $x=e(P)$  se traduce prin faptul că din nodul  $x$  al grafului, nu pornesc arce corespunzând tuturor elementelor lui  $E(P)$ , ci numai arce corespunzând elementelor din mulțimea  $E$  dependentă de  $x$ .

#### 4.5.2 Paralelă între automate și rețele Petri

Pentru un studiu mai aprofundat al modelării sistemelor dinamice cu evenimente discrete prin automate și rețele Petri pot fi consultate referințele bibliografice [62], [81], [87], [88] și [106].

Concluzia principală a comparației celor două modele este că, sub aspect teoretic, modelul de tip rețea Petri este echivalent cu modelul de tip automat. Aceasta înseamnă că, pornind de la un sistem dinamic cu evenimente discrete, care are o semnificație fizică, vom putea construi ambele tipuri de modele. Din punct de vedere practic, există însă unele aspecte care pot justifica faptul că unul din aceste două tipuri de modele este mai potrivit și mai profitabil pentru studierea comportării sistemului. Aceste aspecte vor fi prezentate în acest paragraf.

În general, alegerea unui anumit tip de model rămâne la latitudinea expertului care realizează modelarea, depinzând de experiența și de abilitățile acestuia [49]. Există totuși unele criterii generale, orientative, care trebuie înțelese în contextul unor situații reale frecvent întâlnite.

O primă concluzie este că modelele de tip automat sunt recomandate atunci când luăm în considerare evenimente care se petrec în exteriorul sistemului fizic modelat iar dacă ne interesează evidențierea unor evenimente interne sistemului fizic, este preferabil să se facă apel la rețelele Petri. În cazul în care modelul trebuie să permită operarea cu un număr mare de stări distincte, rețelele Petri pot fi mai avantajoase, întrucât diferențierea între stări se realizează prin marcajul rețele și nu prin extinderea topologiei. Extinderea topologiei este o situație inevitabilă în cazul diagramelor de tranziții asociate automatelor cu un număr mare de stări [86]. Altfel spus, efortul de modelare în cazul discutat este mai mic dacă se caută o topologie de rețea Petri relativ simplă cu mecanismul aferent pentru asignarea și modificarea marcajului, decât dacă se generează o diagramă de tranziții cu topologie relativ complexă și complicată.

Un ultim aspect se referă la posibilitatea asamblării unui model din sub-modele. În principiu, utilizarea rețelelor Petri permite această facilitate de asamblare din sub-modele, oferind o mai mare flexibilitate în captarea unor detalii ale modelului. Utilizarea automatelor este mai rigidă, întrucât modelul trebuie privit de la bun început în ansamblul său și se obține mai greu modularizarea în sub-modele.

Pentru modelarea cronicilor de alarme în sensul determinării situațiilor de consecutivitate și concurență am ales rețelele Petri. Pentru scopul propus, de a analiza posibilele relații între cronicile frecvente de alarme, este suficient să folosim rețele Petri reduse, având maxim 1 jeton în pozițiile rețelei. În acest sens, nu vom folosi întreg potențialul de modelare oferit de rețelele Petri, deoarece este suficient să folosim proprietățile rețelelor Petri reduse.

## Capitolul 5. EXTRAGEREA DE REGULI DE ASOCIERE

În ultimii ani, regulile de asociere sunt studiate ca o alternativă la sistemele expert, deoarece extragerea de reguli de asociere permite o achiziție de informații mai ușor de realizat decât în cazul sistemelor expert [11],[52], [64], [80].

Extragerea de reguli de asociere este un domeniu important pentru prelucrarea informațiilor în scopul descoperirii de cunoștințe. În cadrul unui sistem de evenimente discrete, obiectivul principal al extragerii de reguli de asociere este de a descoperi cunoștințe care sunt potențial utilizabile în procesele de supervizare a acestor sisteme. Cunoștințele descoperite pot fi secvențe de evenimente, tipare sau cronici. În literatura de specialitate, în anumit cazuri se folosește termenul de *recunoaștere* sau *descoperire* în loc de termenul *extragere*.

Așa cum este indicat în lucrările [8] și [9] procesul de recunoaștere de reguli de asociere este constituit din următoarele etape:

- Specificarea unei descrieri corecte a domeniului de cunoștințe, prin definirea cunoașterii inițiale de informații relevante și definirea scopurilor utilizatorului,
- Generarea unei mulțimi de informații de tip obiective sau focalizarea atenției asupra unei mulțimi de informații asupra cărora se va efectua recunoașterea,
- Preprocesarea informațiilor pentru a reduce dimensiunea mulțimii de informații analizate și transformarea lor într-o formă mai simplă pentru procesul de analiză a informațiilor,
- Alegerea și aplicarea algoritmului de recunoaștere,
- Evaluarea și consolidarea soluțiilor finale obținute.

Principalele direcții de cercetare sunt organizate funcție de tipul de cunoștințe care sunt analizate în vederea recunoașterii de reguli de asociere.

În funcție de tipul de informații la care se referă, recunoașterea de reguli de asociere poate fi clasificată astfel:

- Recunoașterea de *episoade frecvente* de evenimente, în scopul determinării unor mulțimi parțial ordonate de evenimente de diverse tipuri [80] ,
- Recunoașterea unor *generalizări de date*, în scopul determinării unor colecții de caracteristici esențiale ale informațiilor analizate [11]. Recunoașterea generalizărilor de date folosește mai multe tehnici de procesare: abstractizare, procesare analitică, caracterizare etc.
- Recunoașterea de *reguli de clasificare*, are ca rezultat clasificarea seturilor de date pornind de la valorile anumitor atribute,

- Recunoașterea unor *colecții* are ca rezultat gruparea datelor în colecții cu ajutorul unor măsuri de similitudine, după principiul maximizării și minimizării. De exemplu, am dezvoltat în cadrul unui studiu o metodă de recunoaștere pentru identificarea unor forme geometrice prin analiza imaginilor bi-dimensionale folosind codul Freeman și logica fuzzy [112],
- Recunoașterea unor *cunoștințe de evoluție* constă în definirea datelor cu caracter temporal într-o proporție importantă în cadrul datelor stocate în baza de date. Căutarea de regularități poate facilita predicția apariției de evenimente cu factor de risc ridicat, descoperirea de legături cauzale și tendințe în evoluția unor procese sau activități. Abordarea cea mai frecventă este cea bazată pe cronici [45], [46],
- Recunoașterea unor *tipare de acces*; aceste cunoștințe sunt specifice mediilor distribuite ce furnizează informații în care entitățile sunt legate între ele pentru a facilita accesul interactiv; capturarea unor astfel de tipare de acces ale utilizatorilor poate conduce la concluzii despre optimizarea organizării informației furnizate.

## 5.1 Recunoașterea regulilor de asociere

Considerând  $a_i$  și  $b_j$  perechi de informații de tip atribut și valoare, asociate între ele cu o frecvență mare în mulțimea de informații analizată, definim regulile de asociere ca fiind implicații logice de tipul :

$$a_1 \cap \dots \cap a_i \Rightarrow b_1 \cap \dots \cap b_j \quad (5.1)$$

Aceste implicații logice sunt caracterizate de doi parametri principali: gradul lor de încredere și suportul lor în baza de date a acestor informații atribut-valoare.

Regulile de asociere se definesc pe un număr de elemente  $I = \{i_1, i_2, \dots, i_n\}$ . Fie  $D$  o mulțime de tranziții, unde fiecare tranziție  $T$  se constituie ca o submulțime a lui  $I$ , prin relația  $T \subseteq I$ . O observație importantă este aceea că vom lua în considerare prezența elementelor în tranziție și nu vom considera alte caracteristici cantitative sau calitative ale elementelor. Fiecare tranziție are asociat un identificator.

*Suportul* unei submulțimi  $X$  al elementelor  $I$  din mulțimea de tranziții  $D$ , notat cu  $\Delta(X)$ , se calculează ca fiind procentul de tranziții  $T$  din  $D$  pentru care  $X \subseteq T$  :

$$\Delta(X) = \frac{|\{T \in D | X \subseteq T\}|}{|D|} \cdot 100[\%] \quad (5.2)$$



Submulțimea  $X$  a lui  $I$  este frecventă dacă suportul ei depășește o valoare minimă :

$$\Delta(X) \geq f_{\min} \quad (5.3)$$

O regulă de asociere  $\mathfrak{R} : X \rightarrow Y$  este o implicație pentru care  $X \subseteq I$ ,  $Y \subseteq I$  și  $X \cap Y \neq \emptyset$ .

Suportul unei reguli de asociere  $\mathfrak{R}$ , notat  $\Delta(\mathfrak{R})$  se calculează ca fiind numărul de tranziții  $T$  din  $D$  pentru care  $X \cup Y \subseteq T$ . În raport cu  $X$  și  $Y$ , suportul unei reguli de asociere se notează:

$$\Delta(\mathfrak{R}) = \Delta(X \cup Y) \quad (5.4)$$

*Coeficientul de încredere* al unei reguli de asociere  $\mathfrak{R}$ , notat  $conf(\mathfrak{R})$  se calculează ca procentul de tranziții  $T$  din  $D$  pentru care dacă  $X \subseteq T$  și  $Y \subseteq T$ ,  $X \cup Y \subseteq T$ , probabilitatea condițională ca o tranzacție să îl conțină pe  $Y$  dacă îl conține pe  $X$  :

$$conf(\mathfrak{R}) = \frac{\Delta(X \cup Y)}{\Delta(X)} \cdot 100[\%] \quad (5.5)$$

Noțiunea de suport indică frecvența de apariție (numărul de tranziții) a unui anumit tipar în mulțimea de tranziții  $D$ . Coeficientul de încredere (procent) indică forța relației dintre elementele regulii de asociere [67].

Cel mai adesea sunt căutate regulile cu suport și grad de încredere mari, acestea fiind denumite și *reguli puternice*. Astfel, procesul de descoperire constă din doi pași:

- primul pas îl constituie descoperirea seturilor de elemente frecvente care au un suport suficient de mare,
- al doilea pas îl constituie folosirea lor pentru derivarea de reguli puternice.

Odată parcurs primul pas, care este foarte mare consumator de resurse informatice, cel de-al doilea pas se rezolvă fără o dificultate de calcul deosebită.

Folosirea seturilor frecvente pentru derivarea de reguli puternice se efectuează în baza unei proceduri de calcul care determină parametrii regulii  $\mathfrak{R} : X \rightarrow Y$  pentru fiecare set frecvent  $X$  și pentru fiecare submulțime  $Y \subset T$ .

## 5.2 Proprietățile seturilor de elemente

În acest paragraf sunt introduse teoremele care descriu proprietățile seturilor de elemente, așa cum sunt ele prezentate în lucrările [11], [41] și [82]:

### **Teorema 5.1**

*Suportul submulțimilor depinde de relațiile dintre submulțimi:*

Dacă o submulțime  $Y$  este inclusă într-o submulțime  $X$ , ceea ce se exprimă prin relația  $Y \subseteq X$ , atunci suportul submulțimilor respectă relația  $\Delta(Y) \geq \Delta(X)$ , deoarece toate tranzițiile din  $D$  ce îl conțin pe  $X$  îl conțin în mod necesar și pe  $Y$ .

### **Teorema 5.2**

*Mulțimile de elemente care nu sunt frecvente determină supramulțimi care nu sunt frecvente:*

Dacă un set de elemente  $X$  nu are suportul minim necesar pe  $D$ , adică  $\Delta(X) \leq f_{\min}$ , atunci orice supramulțime  $Y \supseteq X$  nu va avea suportul minim necesar, deoarece  $\Delta(Y) \leq \Delta(X) \leq f_{\min}$ .

### **Teorema 5.3**

*Seturile de elemente frecvente determină submulțimi frecvente:*

Dacă setul de elemente  $Y$  este frecvent pe  $D$ , deci  $\Delta(Y) \geq f_{\min}$ , atunci orice submulțime  $X \subseteq Y$  va fi frecventă deoarece  $\Delta(Y) \geq \Delta(X) \geq f_{\min}$ .

## 5.3 Proprietățile regulilor de asociere

Așa cum este indicat în lucrările [11], [41] și [82], teoremele referitoare la proprietățile regulilor de asociere sunt următoarele:

### **Teorema 5.4**

*Regulile de asociere nu se compun în reguli antecedente:*

Dacă  $X \rightarrow Y$  și  $Y \rightarrow Z$  nu este neapărat adevărat că  $X \cup Y \rightarrow Z$ , deoarece reuniunea la nivelul elementelor înseamnă intersecție la nivelul mulțimilor de tranziții ce asigură suportul pentru  $X$  și  $Y$ , intersecția acestora putând fi mulțimea vidă  $\emptyset$ .

### **Teorema 5.5**

*Regulile de asociere nu se descompun în reguli antecedente:*

Dacă  $X \cup Y \rightarrow Z$  nu este neapărat adevărat că  $X \rightarrow Y$  și  $Y \rightarrow Z$ , deoarece în acest caz restricțiile de suport rămân valabile, dar nu avem controlul restricțiilor de grad

de încredere, dat fiind faptul ca suportul pentru  $X$  sau pentru  $Y$  poate fi considerabil mai mare decât suportul reuniunii lor, ceea ce micșorează gradul de încredere al noilor reguli.

### **Teorema 5.6**

*Regulile de asociere se pot descompune în reguli consecvente:*

Dacă  $X \rightarrow Y \cup Z$  atunci  $X \rightarrow Y$  și  $Y \rightarrow Z$ , deoarece dacă  $X \cup Y \cup Z$  este set frecvent orice submulțime a lui este frecventă, iar la nivelul gradului de încredere raportul crește, deci regulile au parametri mai buni; totuși acest aspect nu este foarte interesant în contextul recunoașterii de reguli pentru că se dorește obținerea de reguli din ce în ce mai puternice din reguli mai slabe și nu invers.

### **Teorema 5.7**

*Regulile de asociere nu sunt tranzitive:*

Dacă  $X \rightarrow Y$  și  $Y \rightarrow Z$  nu se poate spune că  $X \rightarrow Z$ , deoarece, în primul rând mulțimile ce asigură suportul celor două reguli, adică  $X \cup Y$  și  $Y \cup Z$ , nu conduc la nici o concluzie în privința tranzitivității.

### **Teorema 5.8**

*Regulile de asociere sunt inferențe:*

Dacă regula  $(Z \cup X) \rightarrow X$  este valabilă atunci  $\forall Y \subseteq X, Y \neq \emptyset$  obținem inferența  $(Z \cup Y) \rightarrow Y$ . Suportul ambelor reguli este același  $\Delta(Z)$ , gradul de încredere crește deoarece  $(Z \cup Y) \supseteq (Z \cup X)$ , deci suportul aflat la numitor scade. De asemenea dacă regula  $X \rightarrow (Z \cup X)$  nu este valabilă atunci  $\forall Y \subseteq X, Y \neq \emptyset$  nu este valabilă nici regula  $Y \rightarrow (Z \cup Y)$  deoarece suportul ambelor reguli este același  $\Delta(Z)$  și gradul de încredere scade deoarece  $Y \subseteq X$ .

## **5.4 Analiza formală a conceptelor**

În acest paragraf, vom prezenta corelația dintre extragerea de asociații și analiza formală a conceptelor pe baza lucrării [59]. Pentru aceasta vom introduce câteva elemente din teoria laticilor.

### **Definiția 5.1**

*Tripletul  $(L, \wedge, \vee)$ , unde  $L$  este o mulțime nevidă, iar  $\wedge$  și  $\vee$  sunt două operații binare pe  $L$  se numește **lattice**, dacă pentru  $\forall a, b, c \in L$  sunt satisfăcute următoarele axiome:*

$$\text{- comutativitate } a \wedge b = b \wedge a \quad \text{și} \quad a \vee b = b \vee a \quad (5.6)$$

$$- \text{ asociativitate } a \wedge (b \wedge c) = (a \wedge b) \wedge c \quad \text{și} \quad a \vee (b \vee c) = (a \vee b) \vee c \quad (5.7)$$

$$- \text{ absorbție } a \wedge (a \vee b) = a \quad \text{și} \quad a \vee (a \wedge b) = a \quad (5.8)$$

### **Definiția 5.2**

O latice  $(L, \wedge, \vee)$  se numește latice completă dacă  $\forall X, X \subseteq L$  există:

$$\bigcup_{x \in X} x \quad \text{și} \quad \bigcap_{x \in X} x \quad (5.9)$$

### **Definiția 5.3**

Fie  $(L_1, \wedge_1, \vee_1)$  și  $(L_2, \wedge_2, \vee_2)$  două latici. O aplicație  $f: L_1 \rightarrow L_2$  se numește homomorfism de latice dacă păstrează operațiile, adică:

$$f(a \wedge_1 b) = f(a) \wedge_2 f(b), \quad \forall a, b \in L_1; \quad (5.10)$$

$$f(a \vee_1 b) = f(a) \vee_2 f(b), \quad \forall a, b \in L_1. \quad (5.11)$$

### **Definiția 5.4**

Fie  $(L_1, \wedge_1, \vee_1)$  și  $(L_2, \wedge_2, \vee_2)$  două latici. O aplicație  $f: L_1 \rightarrow L_2$  se numește izomorfism dacă există un homomorfism  $g: L_2 \rightarrow L_1$  astfel încât:

$$f \circ g = 1_{L_2} \quad \text{și} \quad g \circ f = 1_{L_1} \quad (5.12)$$

### **Definiția 5.5**

Fie  $I$  o mulțime de informații și  $c: N(S) \rightarrow N(S)$  o aplicație pe mulțimea părților lui  $S$ . Operatorul  $c$  se numește operator de închidere pe  $S$  dacă pentru  $\forall X, Y \subseteq S$  satisface următoarele proprietăți:

$$- \text{ extensie } \quad X \subseteq c(X) \quad (5.13)$$

$$- \text{ monotonie } \quad \text{dacă } X \subseteq Y \text{ atunci } c(X) \subseteq c(Y) \quad (5.14)$$

$$- \text{ idempotență } \quad c(c(X)) = c(X) \quad (5.15)$$

### **Definiția 5.6**

O submulțime  $X$  a lui  $S$  se numește mulțime închisă dacă operatorul său de închidere conține toate elementele submulțimii  $S$ .

$$c(X) = X \quad (5.16)$$

### **Definiția 5.7**

Un context este un triplet  $(G, M, I)$ , unde  $G$  și  $M$  sunt mulțimi și  $I \subseteq G \times M$ . Elementele lui  $G$  sunt numite obiecte iar cele ale lui  $M$  sunt numite atribute. Pentru orice  $g \in G$  și  $m \in M$  se notează  $gIm$  relația dintre  $g$  și  $m$  adică  $(g, m) \in I$ .

Fie  $(G, M, I)$  un context. Atunci mapările  $s$  și  $t$  prezentate mai jos definesc o conexiune Galois între mulțimile părților lui  $G$  respectiv  $M$ :

$$s: \wp(G) \rightarrow \wp(M), s(X) = \{m \in M \mid \forall g \in X, gIm\} \quad (5.17)$$

$$t: \wp(M) \rightarrow \wp(G), t(Y) = \{g \in G \mid \forall m \in Y, gIm\} \quad (5.18)$$

Mulțimea  $s(X)$  reprezintă setul tuturor atributelor comune obiectelor din  $X$  iar mulțimea  $t(Y)$  reprezintă setul tuturor obiectelor comune atributelor din  $Y$ .

### **Definitia 5.8**

Un concept al contextului  $(G, M, I)$  este definit ca perechea  $(X, Y)$  unde  $X \subseteq G$  și  $Y \subseteq M$  pentru care  $s(X) = Y$  și  $t(Y) = X$ .

Altfel spus, un concept este o pereche de mulțimi închise  $(X, Y)$  deoarece  $X = t(Y) = t(s(X))$ .  $X$  se numește *extensiune* a conceptului iar  $Y$  se numește *intensiune* a conceptului.

### **Definitia 5.9**

Un concept generat de un singur atribut  $m \in M$ , care se determină prin relația  $\alpha(m) = (t(\{m\}), c(\{m\}))$  se numește *concept-atribut*.

### **Definitia 5.10**

Un concept generat de un obiect  $g \in G$ , care se determină prin relația  $\beta(g) = (c(\{g\}), s(\{g\}))$ , se numește *concept-obiect*.

Mulțimea tuturor conceptelor unui context se notează cu  $\beta(G, M, I)$ .

### **Teorema 5.9**

Un concept  $(X_1, Y_1)$  este un subconcept al lui  $(X_2, Y_2)$ , notat prin  $(X_1, Y_1) \leq (X_2, Y_2)$  dacă și numai dacă  $X_1 \subseteq X_2$  și  $Y_2 \subseteq Y_1$ .

### **Definiția 5.11**

O submulțime  $P$  al unei mulțimi ordonate  $Q$  se numește *densă față de un operator binar  $\langle \text{op} \rangle$* , dacă  $\forall q \in Q$ , există  $Z \subseteq P$ , astfel încât  $q = \langle \text{op} \rangle Z$ .

Enunțăm teoremele fundamentale ale analizei formale a conceptelor [77] :

### **Teorema 5.10**

Fie  $(G, M, I)$  un context; atunci  $\beta(G, M, I)$  este o latice completă cu operatorii  $\wedge, \vee$  calculați astfel:

$$\bigvee_j (X_j, Y_j) = (c(\bigcup_j X_j), \bigcap_j Y_j), \quad (5.19)$$

respectiv:

$$\Lambda_j(X_j, Y_j) = (\bigcap_j X_j, c(\bigcup_j Y_j)). \quad (5.20)$$

### **Teorema 5.11**

Reciproc, dacă  $L$  este o latice completă,  $L$  este izomorfică față de  $\beta(G, M, I)$  dacă și numai dacă există mapările  $\gamma: G \rightarrow L$  și  $\mu: M \rightarrow L$ , astfel încât  $\gamma(G)$  este  $\vee$ -dens în  $L$ ,  $\mu(M)$  este  $\wedge$ -dens în  $L$ , și  $gIm$  este echivalent cu  $\gamma(g) \leq \mu(m)$  pentru orice  $g \in G$  și  $m \in M$  și  $L$  este izomorfic cu  $\beta(L, L, \leq)$ . Latticea  $\beta(G, M, I)$  este denumită latticea contextului.

### **5.5 Exemplu de extragere de reguli de asociere**

Considerăm o listă de evenimente sau de alarme  $\{a, b, c, d, e\}$  și o bază de tranziții  $T$  care conține toate cronicile frecvente de alarme recunoscute prin aplicarea algoritmului descris în Capitolul 2. Baza de tranziții  $T$  considerată pentru exemplificarea extragerii de reguli de asociere este prezentată în *Tabelul 5.1* :

<i>Tranziții</i>	<i>Cronici frecvente de alarme</i>
1	<i>a b d e</i>
2	<i>b c e</i>
3	<i>a b d e</i>
4	<i>a b c e</i>
5	<i>a b c d e</i>
6	<i>b c d</i>

**Tabelul 5.1** Baza de tranziții  $T$

Din analiza bazei de tranziții prezentate în tabelul de mai sus, putem extrage următoarele reguli de asociere :

- Regulile de asociere având confidența  $conf(\mathcal{R}) = 100\%$ , calculate conform relației (5.5):

$(a \rightarrow b)$	$(a \rightarrow be)$	$(ab \rightarrow e)$	$(ad \rightarrow be)$	$(abd \rightarrow e)$
$(a \rightarrow e)$		$(ad \rightarrow b)$	$(de \rightarrow ab)$	$(ade \rightarrow b)$
$(c \rightarrow b)$		$(ad \rightarrow e)$		$(bde \rightarrow a)$
$(d \rightarrow b)$		$(ae \rightarrow b)$		
$(e \rightarrow b)$		$(ce \rightarrow b)$		
		$(de \rightarrow a)$		

- Regulile de asociere având confidența  $\text{conf}(\mathcal{R}) \geq 80\%$ , calculate conform relației (5.5):

$(e \rightarrow a) \quad (e \rightarrow ab)$

$(b \rightarrow e)$

(5.22)

Interpretarea logică a acestor reguli de asociere poate fi făcută astfel:

$(ab \rightarrow e)$  cu confidența 100% : atunci când apar alarmele  $a$  și  $b$  apare întotdeauna și alarma  $e$  (cu probabilitate 100%).

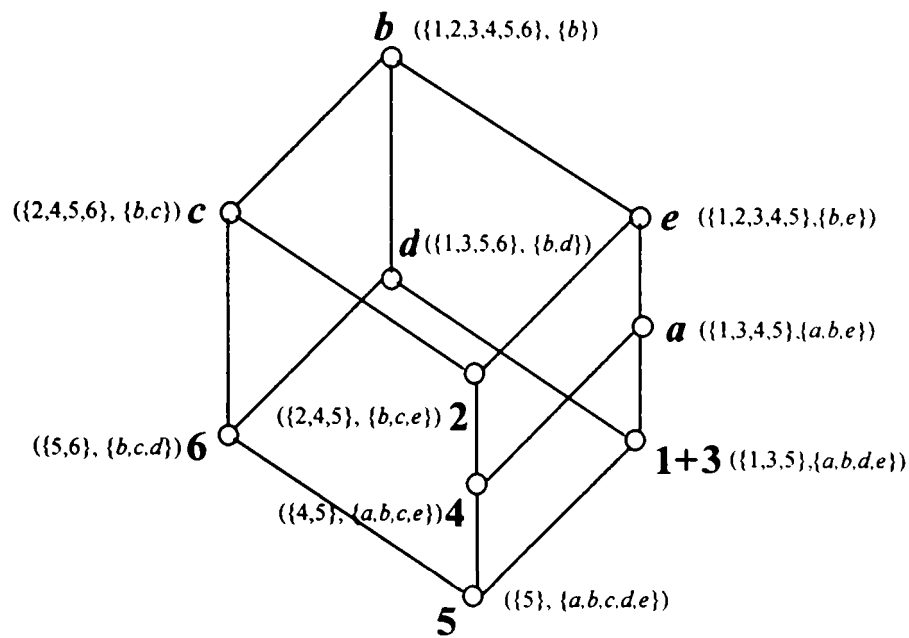
$(e \rightarrow ab)$  cu confidența  $\geq 80\%$  : alarma  $e$  apare cel puțin în proporție de 80% odată cu alarmele  $a$  și  $b$ .

Seturile frecvente  $\Delta(X) \geq f_{\min}$ , cu frecvența minimă  $f_{\min} = 50\%$  sunt descrise în Tabelul 5.2 :

Cronici de alarme	Frecvență
$\{b\}$	100%;
$\{e\}\{b e\}$	84%;
$\{a\}\{c\}\{d\}\{a b\}$ $\{a e\}\{b c\}\{b d\}$ $\{a b e\}$	68%;
$\{a d\}\{c e\}\{d e\}$ $\{a b d\}\{a d e\}$ $\{b c e\}\{b d e\}$ $\{a b d e\}$	50%.

Tabelul 5.2 Seturi frecvente

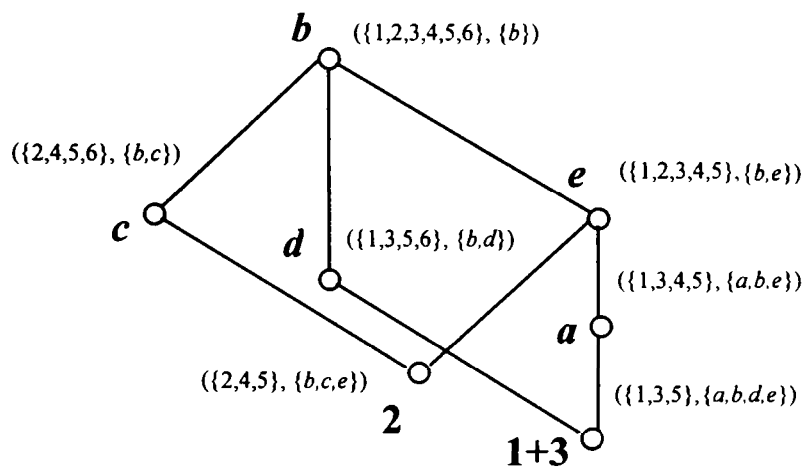
În Figura 5.1 este reprezentată diagrama Hasse [132] a lăței contextului pentru exemplul prezentat. Etichetele asociate conceptelor sunt obiectele, în cazul conceptelor-obiect, atributele, în cazul conceptelor-atribut, în celelalte cazuri reprezentând diferențele specifice dintre concepte.



**Figura 5.1** Diagrama Hasse a unei latici

Conceptele frecvente sunt perechile  $(X, Y)$  unde  $|X| \geq |D| * f_{\min}$ .

Figura 5.2 reprezintă o reducere a diagramei lui Hasse la conceptele frecvente:



**Figura 5.2** Diagrama Hasse redusă la dimensiunea cronicilor frecvente

Din analiza diagramei Hasse a seturilor frecvente se determină că seturile frecvente maxime sunt  $\{b\ c\ e\}$  și  $\{a\ b\ d\ e\}$ .



## 5.6 Generarea de reguli

Regulile de asociere au fost propuse prima dată în [9]. Totuși din cele ce vor urma se poate observa că ele reprezintă acele implicații parțiale, cu constrângerile de suport și grad de încredere, propuse în [59].

Fie  $(G, M, I)$  un context; o regulă de implicație parțială este un triplet  $(X, Y, p)$  unde  $X, Y \subseteq M$  sunt mulțimi de attribute, iar  $p = P(Y|X)$ .

Regulile de asociere sunt deci reguli de implicație parțială cu constrângerile de suport  $S(X \cup Y) \geq \min\_sup$  și  $p \geq \min\_conf$ .

Fie  $I$  o mulțime de implicații parțiale; o regulă  $(K, L, p)$  poate fi derivată din  $I$ , notat  $I: K \xrightarrow{p} L$ , dacă regula poate fi obținută din  $I$  aplicând anumite reguli de inferență; în acest caz regula se numește *redundantă* în raport cu  $I$ .

O mulțime  $G \subseteq I$  se numește *generatoare* pentru  $I$  dacă și numai dacă  $G \cap I$ . O mulțime generatoare minimală  $B$  se numește bază. Cum mulțimea de reguli de asociere poate fi de dimensiuni mari, poate fi interesant să putem găsi o bază pentru ea. Aceasta înseamnă că numai un set de reguli restrâns și mai ușor inteligibil va fi prezentat utilizatorului, ce apoi va putea deriva și alte reguli interesante. Setul de implicații poate fi separat în implicații globale, având  $p=1$  și implicații strict parțiale, având  $p < 1$ .

Mulțimea  $X \subseteq M$  se numește *pseudo-intensiune* dacă  $X \neq c(X)$  și pentru  $\forall Q \subset X$ ,  $Q$  pseudo-intensiune,  $c(Q) \subset X$ . Mulțimea  $\{X \rightarrow c(X) \mid X \text{ pseudo-intensiune}\}$  este o bază pentru toate implicațiile globale.

În exemplul  $\{a, b, c, d, e\}$  este mulțimea de pseudo-intensiuni. O bază pentru implicațiile globale va fi  $b = \{a \rightarrow \{b, e\}, c \rightarrow b, d \rightarrow e, e \rightarrow b, \{b, d, e\} \rightarrow a\}$ . Orice altă implicație globală poate fi derivată din acestea folosind câteva reguli simple de inferență. Pentru găsirea unei baze a implicațiilor strict parțiale, trebuie observat în primul rând că pentru  $\forall Z \subseteq X$ ,  $X \xrightarrow{p} Y$  dacă și numai dacă  $X \xrightarrow{p} Y \cup Z$ . De aceea vom discuta doar regulile pentru care  $X \subseteq Y$ , pentru care de altfel și  $c(X) \xrightarrow{p} c(Y)$ , deci ne vom referi la reguli pentru care atât  $X$  cât și  $Y$  sunt intensiuni ale unui concept.

Fie  $M_1, M_2$  și  $M_3$  intensiuni cu  $M_1 \subseteq M_2 \subseteq M_3$ , atunci dacă  $M_1 \xrightarrow{p} M_2$  și  $M_2 \xrightarrow{q} M_3$  atunci  $M_1 \xrightarrow{pq} M_3$ .

Să considerăm acum diagrama Hasse în care muchiilor le sunt asociate preciziile, ca în *Figura 5.2*. Muchia dintre conceptele etichetate  $b$  și  $e$  corespunde implicației  $b \xrightarrow{5/6} e$ . Implicația inversă are, în mod evident, precizia 1. Din diagramă trebuie considerate doar implicațiile dintre concepte adiacente deoarece celelalte pot fi derivate.

Fie  $I' \subseteq I(N(G, M, I))$  o submulțime a implicațiilor parțiale stricte, putem defini graful orientat  $G(I') = (V, E)$ , unde vârfurile sunt reprezentate de intensiunile din  $M$  ce

participă la formarea implicațiilor din  $I'$ , iar muchiile sunt reprezentate de implicațiile existente în  $I'$  între intensiuni.

Dacă există cicluri în graful  $G(I')$  atunci există cel puțin o implicație parțială redundantă în  $I'$ . Ca o consecință a acestui fapt, câte o regulă din fiecare ciclu al grafului este redundantă și poate fi eliminată. O caracterizare mai precisă a mulțimii generatoare a setului de implicații parțiale este următoarea:

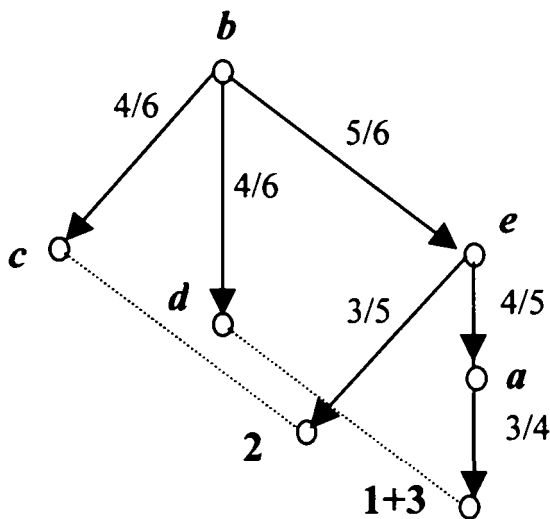


Figura 5.3 Diagrama Hasse în plan

$I'$  este mulțime generatoare pentru  $I(N(G,M,I))$  dacă  $G(I')$  este un arbore de acoperire și mulțimea  $M$  apare în consecventul unei singure implicații strict parțiale.

În Figura 5.3 este prezentată o mulțime generatoare pentru tot setul de implicații strict parțiale al exemplului dat. Precizia unei reguli redundante se obține înmulțind preciziile regulilor implicate în ciclul pe care ea l-ar forma, preciziile trebuind inversate pentru implicațiile de sens contrar (cele între un subconcept și un concept).

De exemplu, precizia implicației dintre  $C$  și  $2$  se obține înmulțind inversul preciziei implicației dintre  $B$  și  $C$  cu precizia implicației dintre  $B$  și  $E$  și cea dintre  $E$  și  $2$ , adică  $6/4 * 5/6 * 3/5 = 3/4$ .

Pentru a obține regulile cu restricționate de  $min\_conf$  se elimină muchiile cu precizie mai mică.

Un element  $x \in L$  din laticea  $L$  se numește  $\vee$ -ireductibil ( $\wedge$ -ireductibil) dacă în diagrama Hasse are exact un vecin căruia i se subsumează.

Fie  $V(E)$  și  $\Lambda(E)$  mulțimile de elemente ireductibile față de cele două operații; orice latică finită este unic determinată (inclusiv la izomorfism) de aceste două mulțimi. În cazul nostru,  $V(E) = \{2; 4; 6; 1,3\}$  și  $\Lambda(E) = \{a, c, d, e\}$ . Totuși nu trebuie ignorat faptul că un concept în contextul de față este o pereche intensiune-extensiune, și deci încercarea de a păstra doar elementele acestor două mulțimi va eșua deoarece conceptele trebuie

memorate în totalitatea lor, altfel conceptele eliminate nu vor mai putea fi recuperate prin operațiile specifice laticii. Următoarea teoremă oferă limite superioară și inferioară pentru o bază a mulțimii implicațiilor strict parțiale :

Dacă submulțimea  $I' \subseteq I(K = \beta(G, M, I))$  este o bază, atunci:

$$\frac{|\vee(K) \cap \wedge(K)|}{2} \leq |I'| \leq |K - 1| \quad (5.23)$$

Limita superioară este foarte strânsă pentru cea mai mare parte a laticilor deci construirea unei baze nu va diminua spațiul de memorare față de cel necesar pentru mulțimea generatoare. Nici limita inferioară nu este utilizată deoarece există latici pentru care aceasta este 0. În concluzie mulțimea generatoare ar trebui să fie suficientă pentru a înlocui o bază.

Combinând baza determinată anterior pentru mulțimea implicațiilor globale și mulțimea generatoare pentru implicațiile parțiale, cu constrângerile respective, se obține următoarea mulțime generatoare pentru regulile de asociere din exemplul de tranziții prezentat în *Tabelul 5.1*:

$c \xrightarrow{1} b$	$a \xrightarrow{1} \{b, e\}$	$\{b, d, e\} \xrightarrow{1} a$
$d \xrightarrow{1} b$		
$e \xrightarrow{1} b$		
$b \xrightarrow{5/6} e$		
$e \xrightarrow{4/5} a$		

(5.24)

### 6.1 Specificații de proiectare

Pornind de la algoritmul de recunoaștere a cronicilor frecvente din jurnalele de alarme de telecomunicații, prezentat anterior în *Capitolul 2*, am dorit să realizez un proiect informatic care să aplice acest algoritm. Astfel, am dezvoltat un proiect informatic într-un mediu de programare deschis care integrează procedurile informatice de generare a cronicilor candidate, calculează frecvențele de apariție ale cronicilor candidate și construiește soluția problemei prin asamblarea cronicilor frecvente.

După cum am arătat în *Capitolul 4*, pornind de la noțiunile teoretice ale rețelelor Petri, am dezvoltat un modul informatic pentru construirea unei rețele Petri la care tranzițiile sunt etichetate de cronicile frecvente descoperite de algoritmul realizat anterior. Aceste rețele Petri pot fi analizate în raport cu proprietățile lor și cu extragerea de reguli de asociere, rezultând astfel o soluție completă pentru analiza alarmelor.

În final, am realizat mai multe module informatice pentru vizualizarea rezultatelor către un sistem de supervizare, prin reprezentarea grafică a rețelei Petri construite în urma analizei cronicilor frecvente recunoscute și prezentarea acestora sub o formă interpretabilă de către un sistem expert de supervizare. Menționez faptul că rolul proiectului informatic care l-am dezvoltat nu a fost de a se substitui unui sistem expert de supervizare a unei rețele de telecomunicații ci de a analiza fluxul de alarme care este prezentat unui astfel de sistem informatic, prin asamblarea secvențelor de alarme care se repetă cu o anumită frecvență.

Pentru realizarea proiectului informatic am folosit regulile generale de management de proiect informatic. Am planificat fazele de analiză, programare și testare pentru fiecare modul informatic dezvoltat. Am avut nevoie de un mediu de programare integrat care să fie flexibil și să permită dezvoltarea ulterioară de module de procesare, pe măsură ce avansam cu analiza teoretică a problemei de procesare a alarmelor. Am ales mediul de dezvoltare *OMNeT++ (Objective Modular Network Testbed in C++)* deoarece acesta prezintă multe facilități de interfațare și permite dezvoltarea de noi aplicații, în limbajul de programare *C++*, care să completeze posibilitățile de analiză și sinteză a rezultatelor.

Aplicația informatică a fost dezvoltată în jurul algoritmului de recunoaștere a cronicilor frecvente din jurnalele de alarme de telecomunicații. În acest sens a trebuit să respect condițiile de colectare a alarmelor în timp real, ajungând uneori la anumite limitări ale mediului de programare utilizat. De asemenea, prin executarea unor teste de

performanță, am eliminat majoritatea erorilor de programare care sunt conținute, în general, în astfel de proiecte informatice atunci când crește complexitatea interfețelor de comunicare între modulele componente.

Pentru acest proiect informatic am programat o serie de noi module le-am integrat într-o bibliotecă de funcții și le-am făcut publice în regim *open-source* [137].

## 6.2 Mediul de programare OMNeT++

Mediul de programare pe care l-am ales pentru dezvoltarea proiectului informatic de analiză a jurnalelor de alarme este *OMNeT++ (Objective Modular Network Testbed in C++)*, conceput și dezvoltat între anii 1996-2005 în colaborare între Departamentele de Telecomunicații de la Universitatea Tehnică din Budapesta, TU Delft și Universitatea din Karlsruhe. OMNeT++ a fost dezvoltat inițial de către András Varga de la Universitatea Tehnică din Budapesta. Pentru prezentarea mediului de programare OMNeT++ se pot consulta articolele lui Varga [127] și [128] și manualul de utilizare [126].

OMNeT++ este un mediu de simulare cu utilizare generală pentru sistemele cu evenimente discrete, fiind dezvoltat pornind de la o tehnologie orientată pe obiecte. OMNeT++ poate fi folosit pentru mai multe tipuri de simulări printre care menționez o serie de proiecte realizate și disponibile pe site-ul web al comunității programatorilor OMNeT++[137]: sisteme cu coadă de așteptare, protocoale de comunicații și alte sisteme dinamice cu evenimente discrete (INET, Mobility Framework, IPv6Suite, MPLS, etc.)

În domeniul simulării de rețele există mai multe alte medii de programare, unele comerciale cum ar fi COMNET, OPNET, SES Workbench, Arena, Simscript, iar altele academice cum ar fi NetSim++ sau Smurph. Am ales OMNeT++ pentru că este cu distribuție liberă și foarte bine documentat pe site-ul comunității web [137]. Trebuie menționat că, începând din Octombrie 2004, OMNeT++ are și o versiune comercială, denumită OMNEST[138], destinată implementărilor comerciale ale unor aplicații informatice.

Avantajele principale oferite de OMNeT++ sunt următoarele :

- Nu este necesar să se studieze un nou limbaj specific de programare, programele pot fi realizate în C++,
- Se oferă o interfață grafică *GUI (Graphical User Interface)* foarte completă pentru urmărirea proceselor și în procesul de verificare a funcționalității programelor dezvoltate,
- Simulările sunt independente de platforma de dezvoltare și sunt portabile pe diferite sisteme de operare (*unix, win32*),
- Structurile pot fi modificate rapid fără a impacta codul sursă, folosind multiple posibilități de parametrare,

- Anumite clase predefinite și multe alte biblioteci de funcții sunt dezvoltate în continuare de către diverse persoane și sunt publicate în regim liber, fapt care contribuie la creșterea continuă a facilităților de programare.

OMNeT++ oferă o arhitectură modulară, componentele acesteia fiind module dezvoltate în limbajul de programare C++ care pot fi asamblate în componente de nivel superior folosind un limbaj de nivel înalt *NED (Network Description Language)*.

Limbajul NED implementat ca parte a mediului de programare OMNeT++ conține mai multe facilități de programare și de editare grafică pentru descrierea topologiei rețelei și pentru parametrarea unor procese.

Componentele principale ale OMNeT++ sunt următoarele :

- Biblioteca centrală de simulare,
- Compilator pentru limbajul NED (*nedc*),
- Interfață utilizator grafică pentru editarea topologiei rețelelor (*GNED*),
- Interfață de simulare (*Tkenv*),
- Interfață de tip linie de comandă pentru executarea simulărilor (*Cmdenv*),
- Aplicație de vizualizare a graficelor rezultate în urma simulărilor (*Plove*),
- Mai multe programe utilitare pentru realizarea de funcții.

Modulele pot fi create dinamic în timpul unei simulări pentru a lua în considerare evoluțiile de topologie. Modulele pot avea un număr arbitrar de conexiuni dezvoltate pe principiul unor porturi de intrare-ieșire. Principiul porturilor permite elaborarea de modele complexe și are avantajul de a defini module care pot fi reutilizate ulterior de alte aplicații informatice.

Principiul de comunicare este de a găsi portul de intrare care are prezent un mesaj și de a trimite acel mesaj către portul de ieșire în urma validării unei condiții de execuție. În cazul nostru mesajele din porturi vor fi de fapt alarme sau cronici de alarme care sunt vehiculate sub forma unor jetoane între modulele de prelucrare a alarmelor.

Pentru verificarea funcționalității programelor dezvoltate, mediul de simulare OMNeT++ prezintă toate facilitățile unui mediu de dezvoltare orientat pe obiecte : watchdog, snapshot, breakpoint, module de verificare a utilizării stivei, clase pentru colectarea rezultatelor, etc.

Limbajul de descriere a topologiei rețelei, numit *NED (Network Description Language)* conține module simple care sunt declarate urmând apoi a fi implementate în clase C++, modulele având parametrii și porturi:

```
#include "omnetpp.h"
class MyModule : public cSimpleModule
{
// macrocomandă pentru apelarea constructorului
// și a relațiilor de moștenire;
Module_Class_Members (MyModule, cSimpleModule, 0)
```

```

    // funcția utilizator poate fi definită în continuare:
    ...
};
    // anunță această clasă ca fiind un modul integrat OMNeT:
Define_Module (MyModule);

```

Modulele definite de utilizator pot fi derivate prin tehnici standard de moștenire din programarea orientată pe obiecte. De exemplu :

```

#include "MyModule.h"
class MyDerivedModule : public MyModule
{
    Module_Class_Members (MyDerivedModule, MyModule, 0);
    // funcția utilizator poate fi definită în continuare:
    ...
};
    // anunță această clasă ca un modul derivat OMNeT:
Define_Module (MyDerivedModule);

```

Modulele de diferite tipuri pot fi asamblate împreună pentru a forma un modul nou, mai complex, numit modul compus, având următoarele proprietăți :

- Din exteriorul unui modul compound modulele componente nu sunt vizibile,
- Modulele compuse se comportă la fel ca și modulele simple,
- Modulele compuse nu implementează nici o funcție suplimentară, ele oferind doar combinații ale facilităților modulelor simple componente,
- Permit structurarea ierarhică a programelor de simulare.

Deoarece OMNeT++ este în esență un mediu de dezvoltare adaptat simulării evenimentelor discrete, funcționalitatea principală este dată de modulul de gestionare a evenimentelor. Modulul de gestionare a evenimentelor include tehnici de gestionare de tipul `nextevent time advance mechanism` și folosește implicit biblioteca de funcții de simulare. Evenimentele sunt generate de anumite module care trimit mesaje către alte module sau către ele însele (în acest fel se pot implementa temporizări de așteptare de evenimente). Evenimentele sunt vehiculate între module sub forma unor mesaje.

Atunci când un mesaj ajunge la un modul se invocă metoda `handleMessage()`, care este o metodă virtuală oferită de `cSimpleModule`; `cSimpleModule` este o clasă care va trebui suprascrisă de către un modul utilizator pentru a implementa funcționalități reale pentru gestionarea mesajelor. Metoda `handleMessage()` procesează mesajul și trimite eventual alte mesaje către celelalte module care intervin în dialog. Pentru a putea accesa structura mesajelor care vor fi procesate, `handleMessage()` primește ca parametru un pointer către structura mesajului, reprezentat în general de un obiect `cMessage`. Prototipul metodei `handleMessage()` poate fi exprimat astfel:

```

void handleMessage (cMessage *)

```

Procesarea mesajelor depinde în general de starea unui anume modul (de exemplu dacă modulul este ocupat sau liber). Stările modulelor de procesare sunt membre ale claselor corespondente metodei `handleMessage()`. În mod uzual, membrele claselor sunt inițializate în constructor. `cSimpleModule` oferă metoda virtuală `initialize()` ca un loc

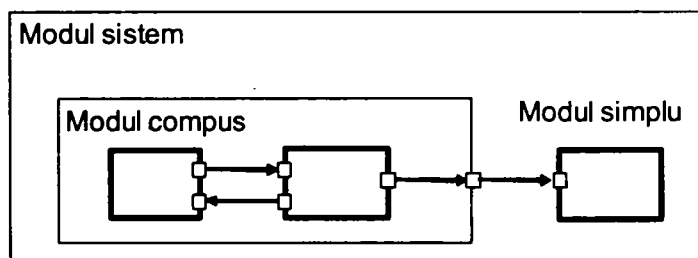
preferențial pentru a parametriza membrele claselor. Metoda `initialize()` este folosită pentru a genera anumite evenimente inițiale. `cSimpleModule` oferă de asemenea metoda `finish()` pentru a permite modulelor care s-au executat să înregistreze statistici despre simulare și eventual să își curețe stivele sau tamponurile de colectare. La sfârșitul unei simulări, kernelul apelează o metodă `finish()` pentru toate modulele.

Prin metoda `handleMessage()`, orice modul dezvoltat în OMNeT++ poate decide să trimită un mesaj prin metode de tipul `send()`, să programeze trimiterea unui mesaj prin metode `scheduleAt()` sau să anuleze o programare prealabilă a unui mesaj prin metoda `cancelEvent()`. În mod uzual, metoda `cancelEvent()` este folosită pentru a anula o anumită temporizare de așteptare care a fost în prealabil armată în așteptarea unui mesaj.

Modulele OMNeT++ dispun de un număr arbitrar de porți pentru comunicare. Porțile pot fi identificate fie printr-un număr sau un index într-o listă de porți. Porțile pot fi numai unidirecționale, deci fie pentru recepția evenimentelor fie pentru transmisia evenimentelor între module.

Adăugarea de porți crește complexitatea programului, dar permite utilizarea tehnicilor de reuzabilitate deoarece o poartă încapsulează cunoștințe de conectare cu alte module. OMNeT++ nu permite trimiterea de mesaje direct către alte module ci doar prin intermediul porților. Dacă s-ar trimite mesaje direct către module atunci în timpul simulării mesajele ar putea fi pierdute datorită dinamicii modulelor. Folosirea de porți de comunicație oferă servicii implicite de comunicații modulelor care le folosesc.

Structura de interconectare a modulelor prin conectori de porți de comunicație este reprezentată în *Figura 6.1*:



**Figura 6.1** Structura modulară OMNeT++

OMNeT++ folosește un limbaj separat pentru specificarea topologiei unei rețele de module. Astfel, pentru fiecare program de simulare este necesară declararea unui fișier de configurare care descrie modulele simple și compuse, conexiunile posibile între aceste module și canalele de comunicație între porțile modulelor.

Canalele de comunicație reprezintă tipuri de conexiuni care pot fi parametrare prin declararea de întârzieri, rate de transmisie și rate de eroare, ca de exemplu:

```
channel DialUpConnection
  delay normal (0.004, 0.0018)
  error 0.00001
```



```
    datarate 14400
endchannel
```

Modulele simple sunt declarate în NED prin parametri și porți de comunicație. Parametrii modulelor simple pot fi ușor accesați prin structuri C++ folosind metoda `par( nume.parametru )`. Porțile pot fi declarate prin specificarea tipului lor, de intrare sau de ieșire:

```
simple DataLinkProtocol
  parameters: ...
  gates:
    in: from_upper_layer, from_physical_layer;
    out: to_upper_layer, to_physical_layer;
endsimple
```

Programarea structurată poate fi obținută prin apelarea unor secvențe de tipul unor condiții `if` sau de tipul unor bucle `for` :

```
module Stochastic:
  connections nocheck:
  for i=0 .. 9 do
    Sender.outgate[i] _ Receiver[i].ingate if
    uniform(0,1) < 0.3;
  endfor
endmodule
```

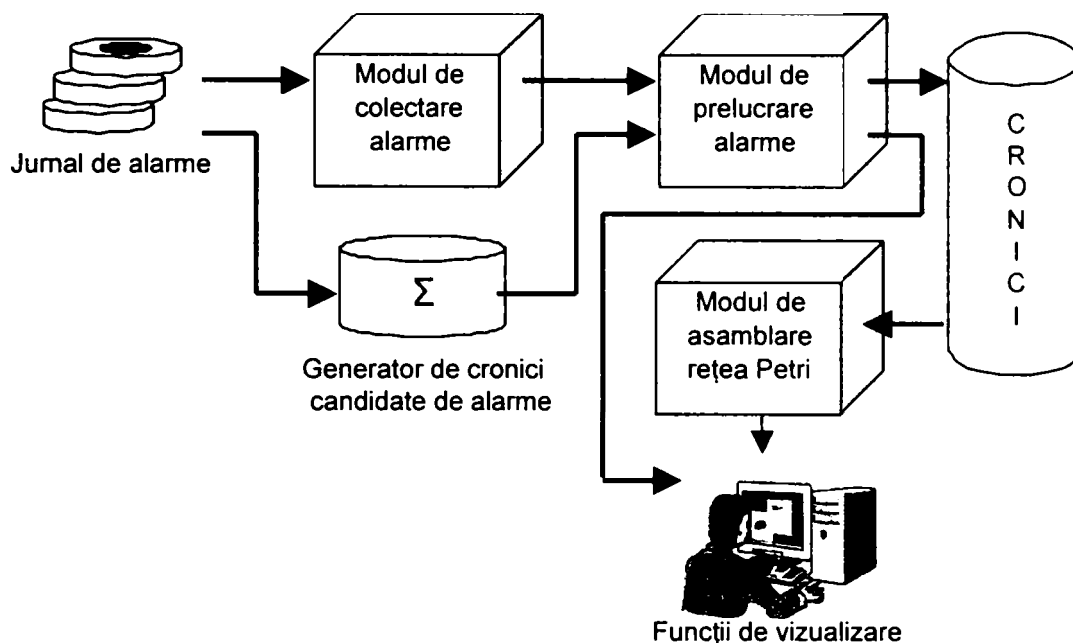
### 6.3 Arhitectura generală

Schema de principiu a aplicației informatice pentru analiza jurnalelor de alarme este compusă din trei module specializate, prezentate în continuare :

- Modul de intrare are rolul de a citi jurnalele de alarme folosind interfața cu sistemul de colectare de alarme.
- Modulul de prelucrare a alarmelor în scopul extragerii de cronicile de alarme frecvente
- Modul de asamblare a unei rețele Petri etichetată de cronicile de alarme determinate de către modulul anterior, având rolul de a finaliza analiza cronicilor frecvente.

Pentru exploatarea rezultatelor aplicației informatice am definit câteva module de reprezentare grafică pentru vizualizarea benzilor de cronicile de alarme frecvente și pentru analiza performanțelor aplicației (de exemplu pentru reprezentarea grafică a timpului de execuție al algoritmului de recunoaștere a cronicilor frecvente pentru diferite frecvențe minime și diferite metode de generare a cronicilor candidate).

În *Figura 6.2* se prezintă arhitectura generală a aplicației informatice dezvoltate în mediul de programare OMNeT++ :



**Figura 6.2** Schema de implementare a modulelor pentru recunoașterea cronicilor

#### 6.4 Modulul de colectare a alarmelor

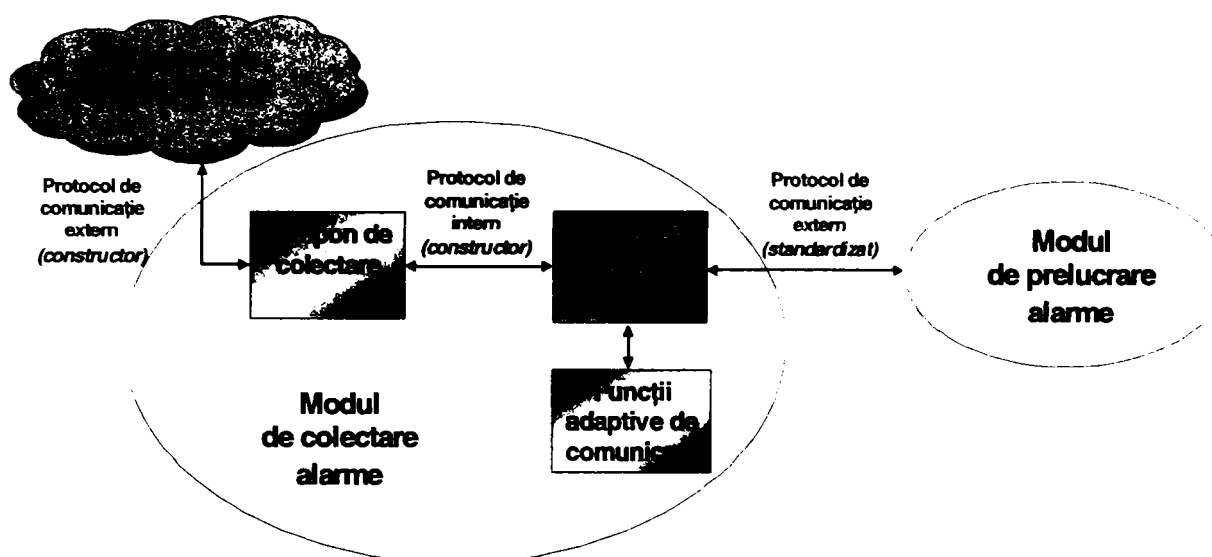
Modulul de colectare a alarmelor este un modul informatic declarat la nivelul de intrare în sistemul informatic de monitorizare a alarmelor. Modulul de colectare are rolul principal de a asigura medierea între aplicațiile informatice care pilotează elementele de rețea și modulul de prelucrare a alarmelor.

Din punct de vedere fizic, modulul de colectare a alarmelor poate fi implementat direct la nivelul stațiilor concentratoare de alarme sau la nivelul central al stației de prelucrare a alarmelor. Pentru a folosi interfața de comunicație integrată în OMNeT++ am implementat modulul la nivelul central al aplicației informatice.

Arhitectura internă a modulului de colectare a alarmelor este orientată obiect și folosește biblioteca de funcții adaptive de comunicare *ACE (Adaptive Communication Environment)* [65], [109], [110], [111] și [135]. ACE constituie astfel nucleul modulului de colectare a alarmelor, fiind o bibliotecă de primitive pentru gestiunea comunicațiilor și a serviciilor asociate comunicațiilor. Fiecare funcție oferită de modulul de colectare a alarmelor este implementată folosind unul sau mai multe servicii ACE.

Biblioteca de funcții sau servicii ACE prezintă avantajul de a fi portabilă pe mai multe sisteme de operare și astfel poate fi folosită pentru colectarea alarmelor de la diferite rețele de telecomunicații care utilizează sisteme de operare diferite.

Schema generală de implementare a modului de colectare a alarmelor este prezentată în *Figura 6.3*:



**Figura 6.3** Schema de principiu a modului de colectare a alarmelor

Tamponul de colectare din *Figura 6.3* are rolul de a consuma alarmele transmise de aplicația informatică de pilotare a elementelor din rețea. În general, protocolul de comunicație între aplicația de pilotare și tamponul de colectare este un protocol specific constructorului de echipamente. Pentru necesitatea de simulare este suficient să considerăm că tamponul de colectare este populat de evenimente având o anumită distribuție de intrare. În acest caz, aplicația de pilotare a elementelor de rețea este înlocuită de un proces de servire a unor evenimente având diferite distribuții posibile.

Dispecerul de flux din *Figura 6.3* are rolul de a adapta și negocia transferul de blocuri de alarme de la tamponul de colectare către modulul de prelucrare a alarmelor din etajul superior al aplicației informatice.

Protocolul de comunicare între dispecerul de flux și tamponul de colectare este un protocol intern specific constructorului de echipamente. Pentru a realiza implementarea în OMNeT++, deoarece am considerat că tamponul de colectare este de fapt o aplicație de servire a unor evenimente, protocolul intern folosit este un protocol generic de consumare a unei cozi de așteptare gestionată printr-un mecanism clasic de stivă.

Protocolul extern de comunicație dintre dispecerul de flux și procesul client consumator de flux de alarme poate fi orice protocol de transfer de fișiere. Am utilizat protocolul de transfer de fișiere *FTP (File Transfert Protocol)*.

Dispecerul de flux are rolul de a adapta fluxul de alarme către procesul consumator de flux de alarme.

O schemă de implementare mai detaliată a modului dispecer de flux de alarme din cadrul modului compus de colectare a alarmelor este prezentată în *Figura 6.4*:

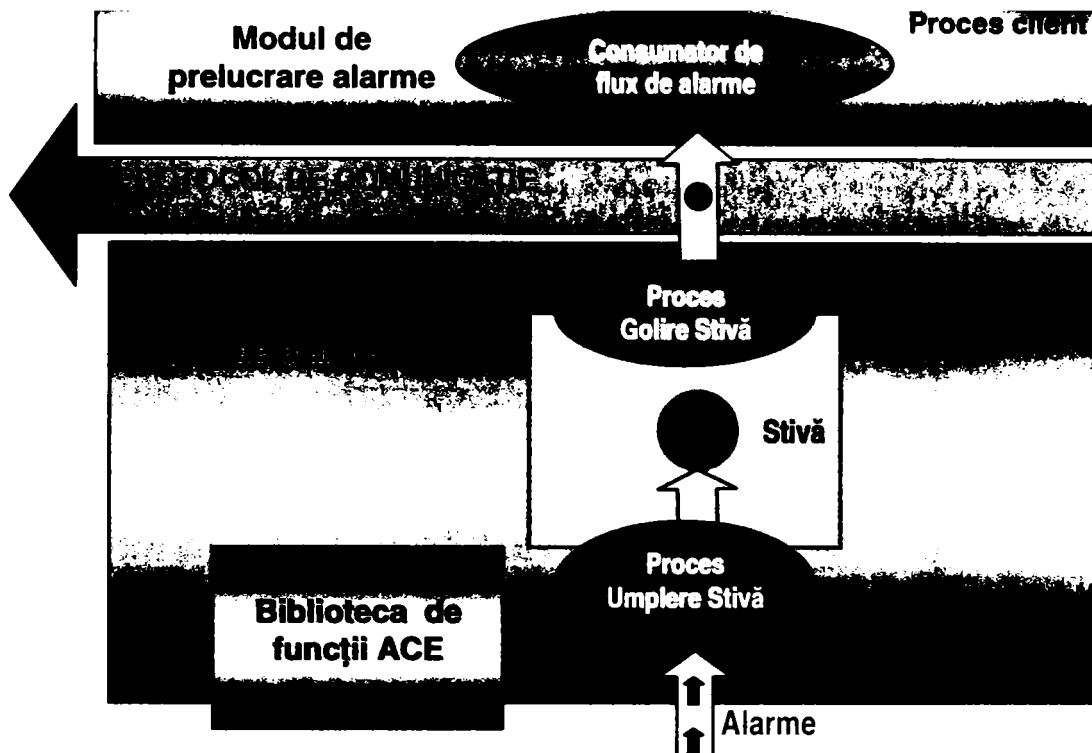


Figura 6.4 Schema de principiu a modului dispecer de flux de alarme

Coadă de așteptare din *Figura 6.4* pentru consumarea alarmelor poate fi reprezentată ca în *Figura 6.5*:

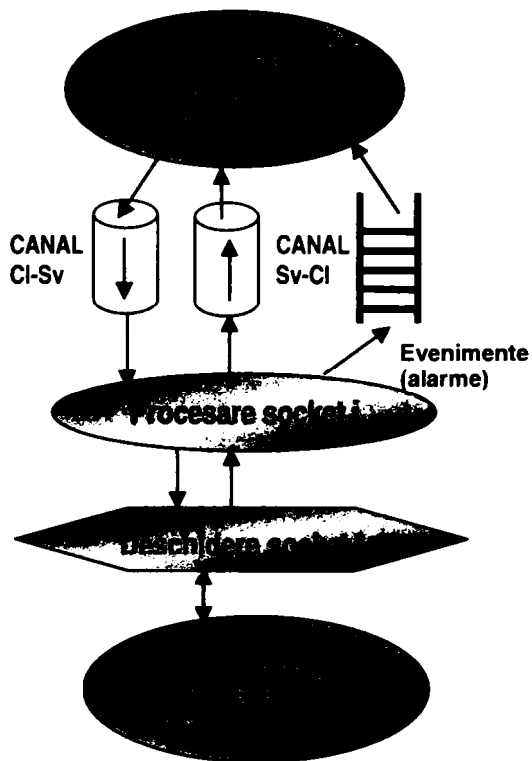


Figura 6.5 Stiva pentru colectarea alarmelor

Principiul de transmitere a blocurilor de alarme de la tamponul de colectare a alarmelor către procesul consumator de flux de alarme, prin intermediul dispecerului de flux, poate fi realizat folosind trei moduri de transfer: *permanent*, *push* și *pull*.

În modul de transfer *permanent*, blocurile de alarme sunt trimise în regim constant către consumatorul de flux de alarme, dialogul fiind continuu și sincronizat pe anumite mesaje de control, ca în *Figura 6.6*:

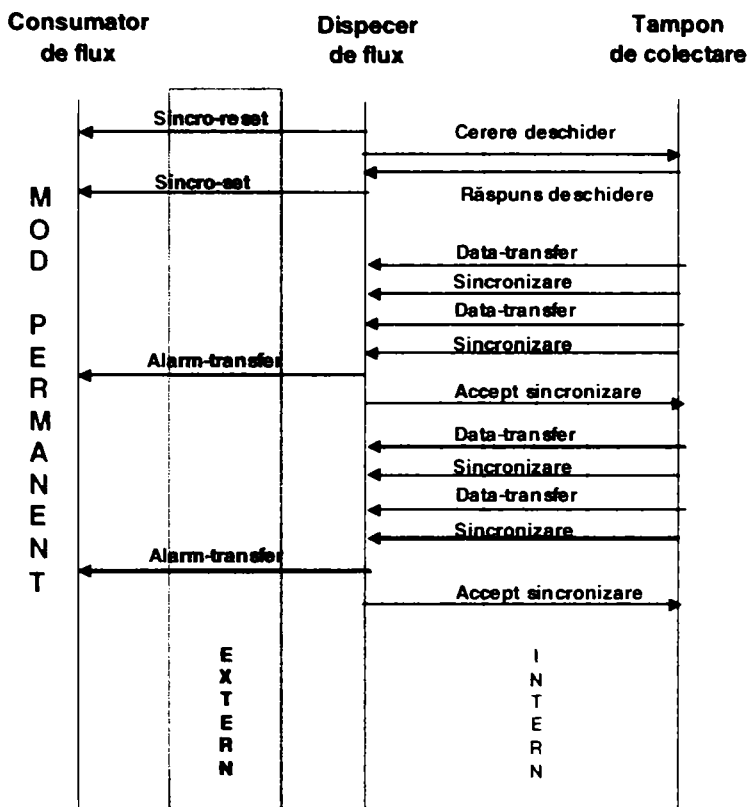


Figura 6.6 Modul de transfer *permanent*

Modurile de transfer *push* și *pull* realizează o conexiune la cerere a fluxului de alarme, fie la cererea modulului consumator de alarme (atunci când acesta consideră ca a ajuns la o limită inferioară în coada de așteptare și poate trata în continuare un alt bloc de alarme), fie la cererea tamponului de colectare (de exemplu atunci când acesta consideră că depășește o anumită limită superioară de umplere).

Modul de transfer *push* realizează o extragere sincronizată de blocuri de alarme la cererea modulului colector de alarme, așa cum este reprezentat în *Figura 6.7*:

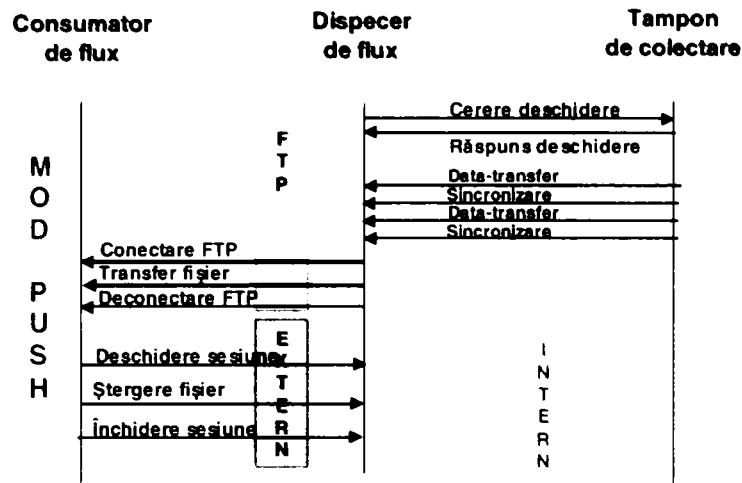


Figura 6.7 Modul de transfer *push*

Modul de transfer *pull* reprezintă, de asemenea, o extragere sincronizată de blocuri de alarme la cererea modulului de analiză a alarmelor, așa cum este reprezentat în *Figura 6.8*:

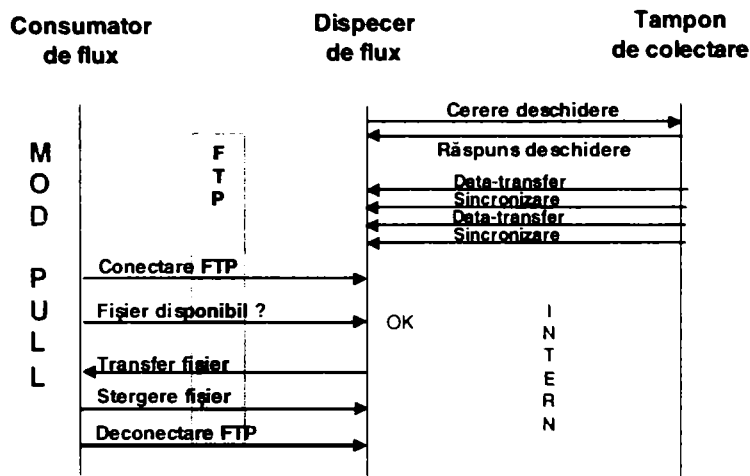


Figura 6.8 Modul de transfer *pull*

Pentru a putea folosi protocolul standard *FTP (File Transfer Protocol)* în dialogul dintre consumatorul de flux implementat în mediul de dezvoltare *OMNeT++* și dispecerul de flux implementat pe platforma rețelei de telecomunicații, am ales modul de transfer *pull* pentru colectarea alarmelor. Utilizarea modurilor de transfer *permanent* și *push* necesită introducerea unui protocol extern de comunicare între procesul client consumator de flux și procesul server dispecer de flux.

## 6.5 Modulele pentru analiza alarmelor

În continuare se prezintă schema de implementare software a modulelor informatice pentru analiza alarmelor, detaliată în *Figura 6.9*:

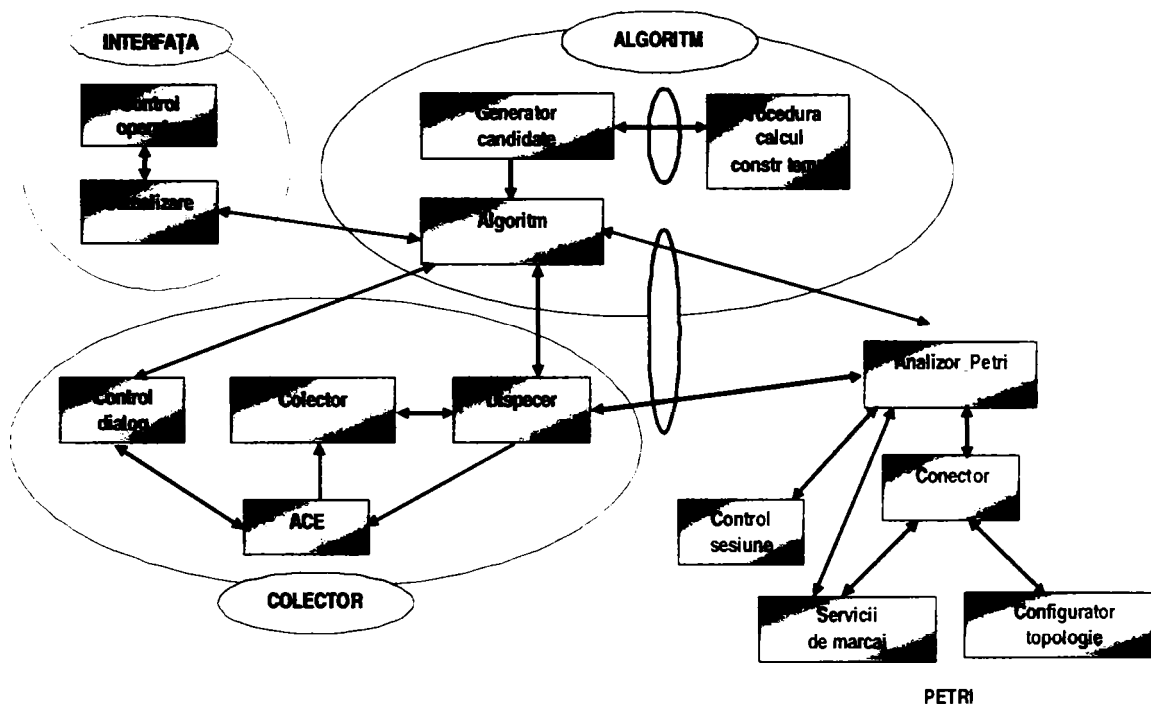


Figura 6.9 Schema de implementare a modulelor informatice

După cum am arătat în paragraful precedent, modulul informatic *Colector* conține un tampon de colectare a alarmelor care este dedicat serviciului activ și încapsulează serviciile adaptive de comunicații.

Modulul informatic *Algoritm* conține elemente de supervizare a sesiunilor de comunicație și de deschidere și închidere a socket-urilor asociate serviciilor și gestionează evenimentele care ajung în socket-uri.

Modulul informatic *Petri* construiește și analizează rețeaua Petri etichetată de cronicile frecvente descoperite în urma aplicării algoritmului.

Modulul informatic *Interfața* oferă facilități de vizualizare a soluțiilor determinate ca fiind cronici frecvente în urma aplicării algoritmului, soluții consolidate sau nu de către modulul de analiză a rețelei Petri.

În *Figura 6.9* am indicat prin intermediul unor elipse locurile unde se va întrerupe dialogul între modulele informatice pentru a realiza scenariile de testare a configurației, care vor fi prezentate în paragraful §6.9.

În *Figura 6.10* se prezintă structura mesajelor utilizate pentru transferul de blocuri de alarme :

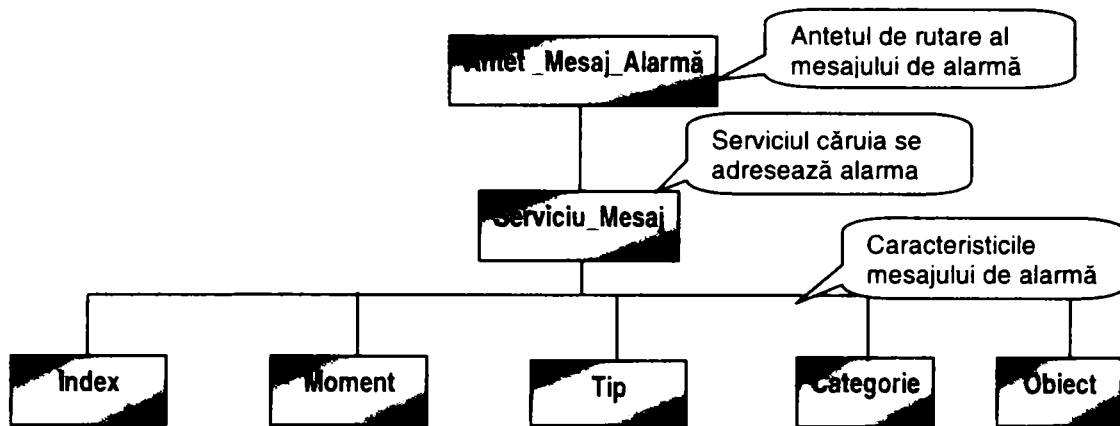


Figura 6.10 Structura mesajelor de transport de alarme

Pentru analiza alarmelor în modulele informatice am utilizat o parte din caracteristicile alarmelor, care sunt încapsulate în mesaje de alarmă. Astfel, un mesaj de alarmă este constituit dintr-un antet pentru transportarea mesajului între modulele informatice, un indicator de serviciu și caracteristicile principale ale unei alarme (index, moment de apariție, tip, categorie, obiectul la care se referă).

Clasele definite în limbajul C++ pentru implementarea funcțiilor de analiză a alarmelor sunt prezentate în *Figura 6.11*:

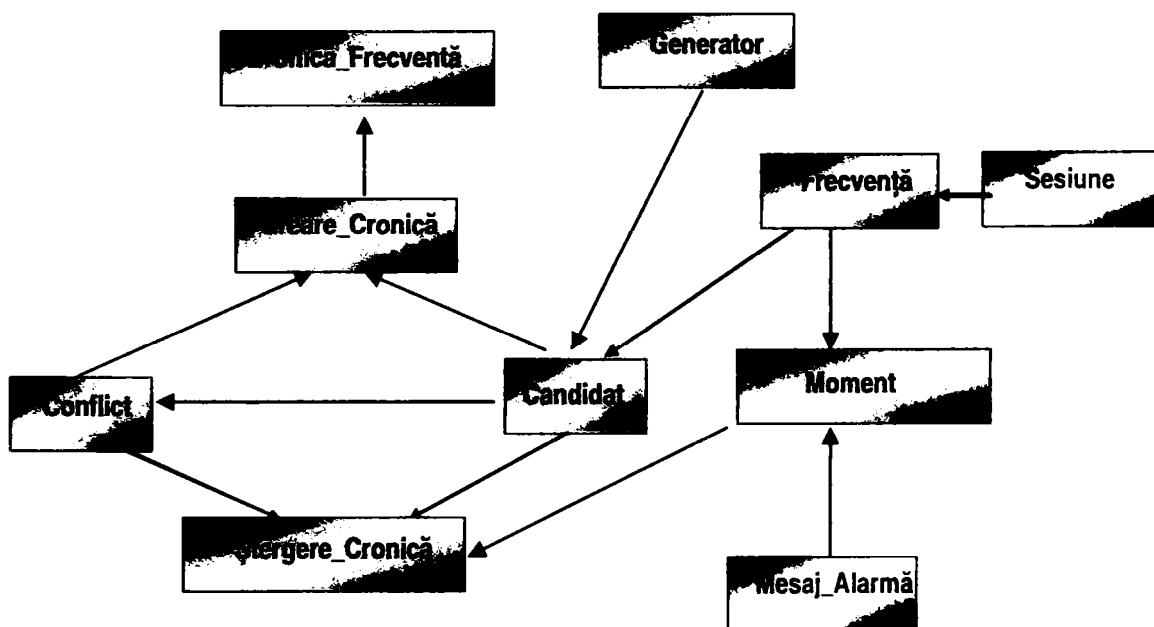


Figura 6.11 Clasele C++ pentru analiza alarmelor

- Clasa *Moment* implementează lista de momente de apariție a evenimentelor alarme și servește procedurii de calcul a constrângerilor temporale dintre alarme,
- Clasa *Frecvență* realizează frecvența de apariție a unei alarme pentru o fereastră de observație parametrabilă și folosește procedurii de calcul a frecvențelor de apariție a cronicilor candidate.



- Clasa *Candidat* generează cronicile candidate de anumite dimensiuni pentru aplicarea algoritmului.
- Clasa *Ștergere\_Cronică* efectuează simplificarea arborelui de generare a cronicilor, fie în urma calculului frecvențelor, fie în urma analizei situațiilor din rețeaua Petri.
- Clasa *Creare\_Cronică* este o reprezentare internă a unei succesiuni de alarme pentru aplicarea algoritmului
- Clasa *Conflict* afectează și supervizează tranzițiile rețelei Petri, având acces la resursele partajate între mai multe cronici frecvente.
- Clasa *Cronică\_frecventă* recepționează mesaje soluții finale ale algoritmului și le transmite clienților destinatari de vizualizare a soluțiilor.

În plus față de aceste clase principale, folosite de către modulele informatice, am definit și utilizat anumite servicii pentru gestionarea alarmelor:

- *Alarm\_Data\_Flux* este un serviciu de flux de date, generic pentru evenimentele din rețea. Rolul principal al acestui serviciu este de a transmite fluxul de date către un proces client sau de a efectua o scriere pentru memorarea alarmelor într-o zonă tampon, în vederea constituirii jurnalului de alarme.
- *Alarm\_Data\_Management* este un serviciu de abonament la un flux de date, utilizat pentru a transmite ordinul de emisie a fluxului de date către un proces client. Abonamentul propriu-zis se realizează în prin serviciul *Alarm\_Data\_Subscription*.
- *Alarm\_Data\_Subscription* este un serviciu de gestiune a zonelor tampon de alarme, având rolul de a permite unui proces client exterior de a șterge colecțiile de alarme din *Alarm\_Data\_Flux*.

Clasele serviciului *Alarm\_Data\_Flux* pot fi sintetizate în trei categorii: clase de construcție, clase de funcționare și clase de infrastructură.

Clasele de construcție ale serviciului *Alarm\_Data\_Flux* sunt următoarele:

- *Alarm\_Service* este un serviciu generic ce poate fi instanțiat de mai multe ori,
- *Alarm\_Service\_Task* cere executarea unui serviciu *Alarm\_Data\_Flux* care creează obiectele necesare funcționării acestui serviciu.

Clasele de funcționare sunt următoarele:

- *Alarm\_Session* pentru a emite mesajele către infrastructură,
- *Alarm\_Session\_Analyzer* pentru a ordona mesajele provenite de la modulele de analiză ale alarmelor către *Alarm\_Session*.

Clasele de infrastructură sunt:

- *Alarm\_Client* pentru a emite mesaje către procesele client care le vor consuma,
- *Alarm\_Client\_Analyzer* pentru gestionarea listei de procese client.

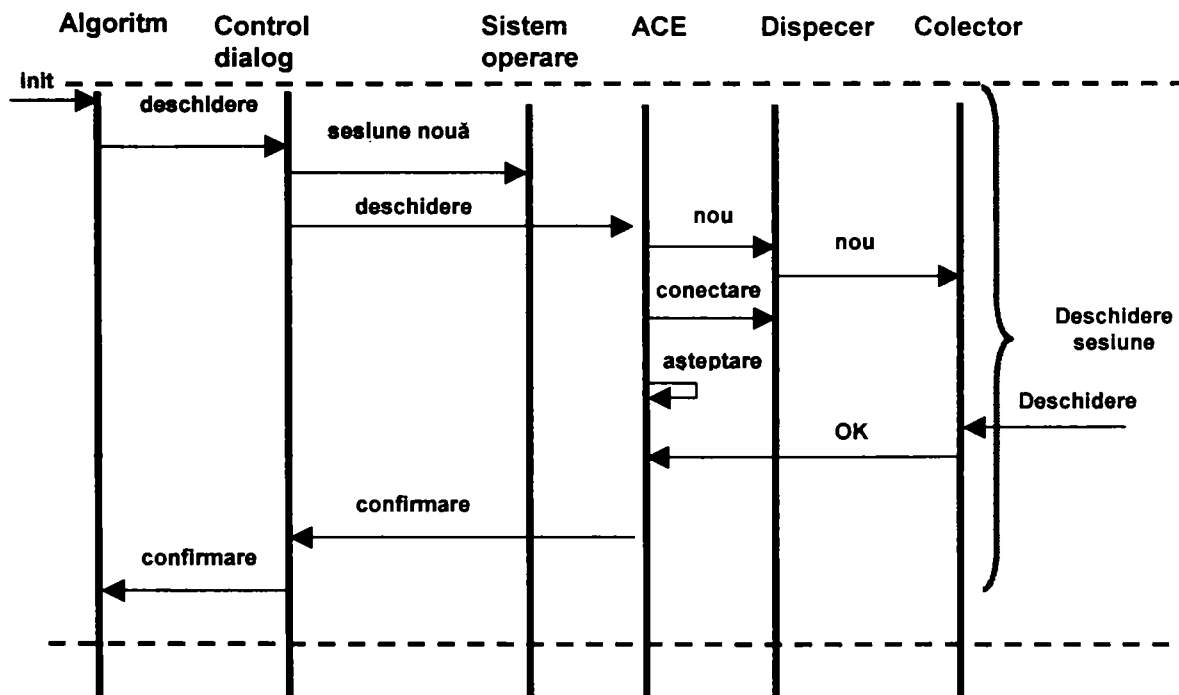
Clasele serviciului *Alarm\_Data\_Management* sunt următoarele:

- *Alarm\_Management\_Service* pentru inițializarea serviciului prin declararea interfeței cu modulul de control al algoritmului,
- *Alarm\_Data\_Implementation* pentru recepția cererilor de abonament de tipul *Alarm\_Data\_Subscription*.

Clasele *Alarm\_Data\_Subscription* sunt următoarele:

- *Alarm\_Data\_Subscription\_Service* pentru inițializarea serviciului de abonament la un flux de mesaje de alarme primite de la modulul colector de alarme,
- *Alarm\_Data\_Subscription\_Implementation* pentru operațiile de gestiune a zonei tampon a alarmelor.

Stabilirea conexiunii modulelor de analiză a alarmelor se realizează conform următorului schimb de mesaje care duce la inițializarea algoritmului și deschiderea primei sesiuni de colectare a alarmelor, așa cum este reprezentat în *Figura 6.12*:



**Figura 6.12** Diagrama mesajelor de inițializare

Pentru achiziția și sincronizarea alarmelor se realizează schimbul de mesaje din *Figura 6.13*:

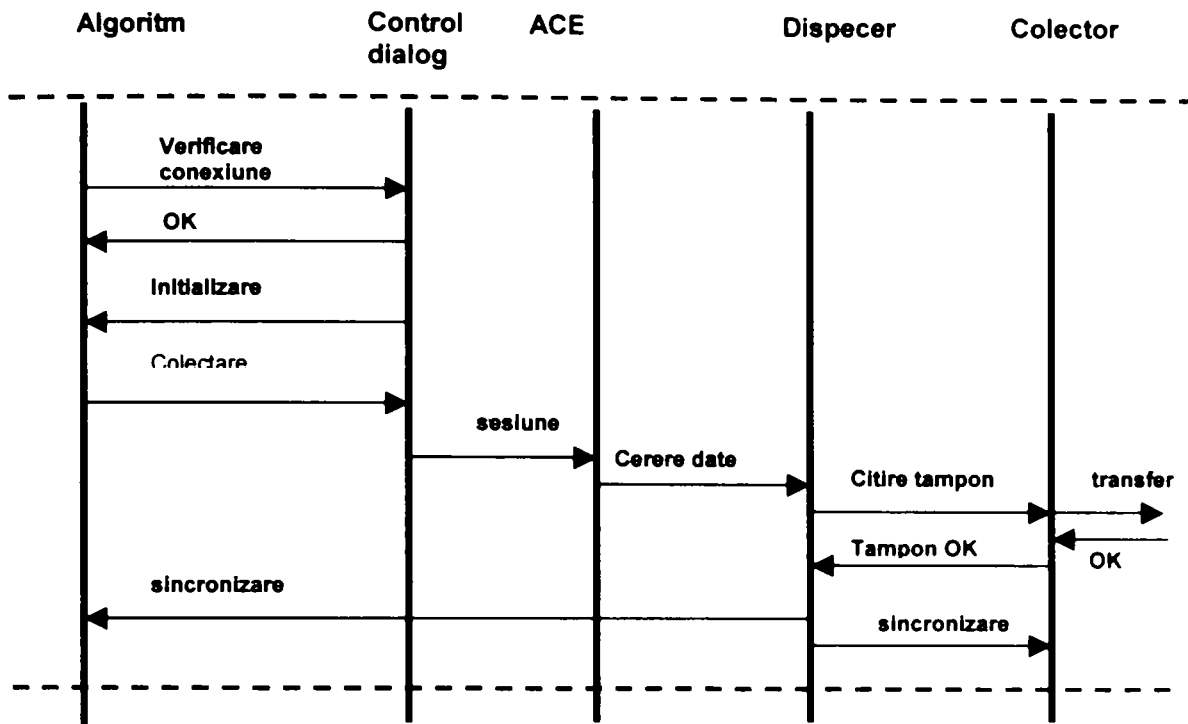


Figura 6.13 Diagrama mesajelor pentru colectarea alarmelor

Pentru analiza cronicilor de alarme se apelează, în paralel, modulul de prelucrare a alarmelor și modulul de asamblare și analiză a rețelei Petri, conform schimbului de mesaje din *Figura 6.14*:

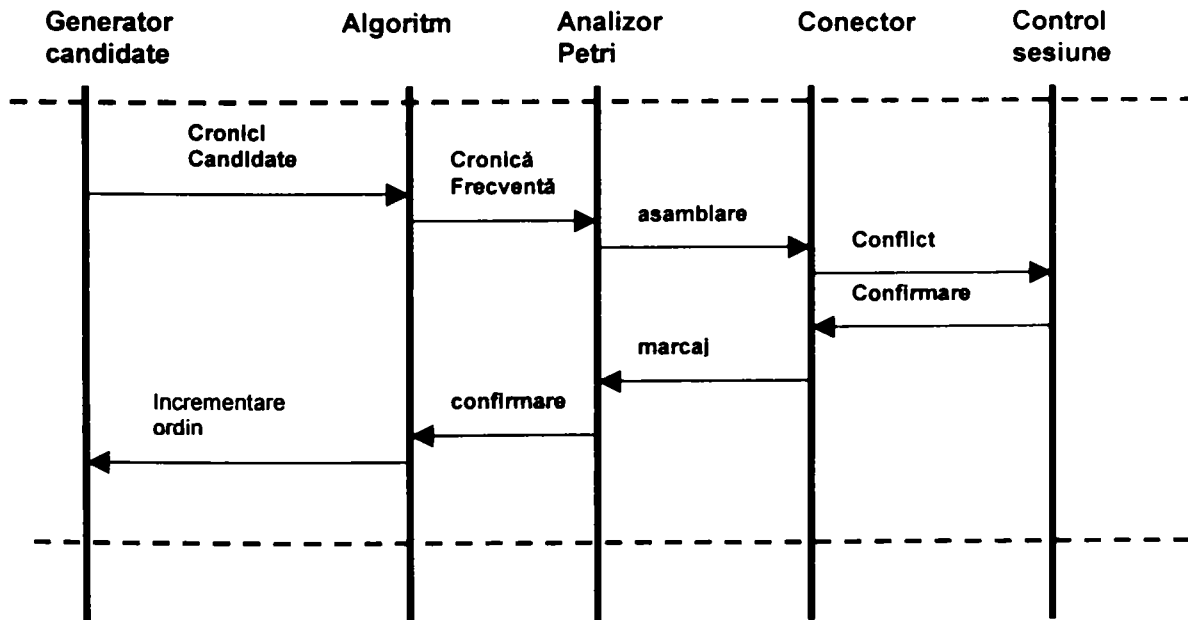


Figura 6.14 Diagrama mesajelor de transmitere a blocurilor de alarme

## 6.6 Modulul de prelucrare a alarmelor

Limbajul de descriere funcțională utilizat pentru implementarea algoritmului de recunoaștere a cronicilor de alarme este bazat pe *primitive*. Primitivele sunt realizate prin funcții scrise în limbajul de programare C++.

Expresiile funcționale ale celor 4 primitive principale ale limbajului de descriere funcțională, dezvoltat pentru implementarea modulului de prelucrare a alarmelor, pot fi rezumate prin următoarele definiții:

### **Definiția 6.1**

Primitiva *eveniment()* reprezintă momentul de apariție  $t$  al unei alarme de un anumit tip  $a$  către modulul de prelucrare a alarmelor:

$$\text{eveniment}(a,t) \quad (6.1)$$

### **Definiția 6.2**

Primitiva *non-eveniment()* reprezintă absența sau dispariția unei alarme în intervalul de timp dintre două momente  $t_1$  și  $t_2$ :

$$\text{non-eveniment}(a,[t_1,t_2]) \quad (6.2)$$

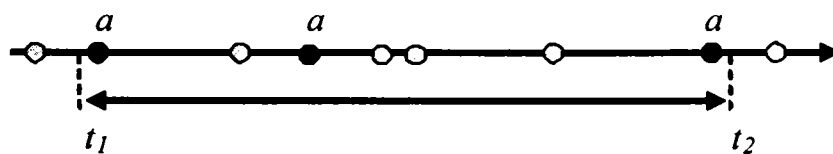
**Definiția 6.3** Primitiva *durata()* implementează menținerea unei alarme în intervalul de timp dintre două momente  $t_1$  și  $t_2$ :

$$\text{durata}(a,[t_1,t_2]) \quad (6.3)$$

**Definiția 6.4** Primitiva *contor()* implementează o variabilă de numărare a aparițiilor unei alarme  $a$  între două momente  $t_1$  și  $t_2$ :

$$\text{contor}(\text{min},\text{max},a,[t_1,t_2]) \quad (6.4)$$

Folosind primitivele descrise mai sus, se va putea implementa orice situație de generare a alarmelor. Pentru a exemplifica primitivele prezentate, considerăm câteva apariții ale unei alarme  $a$ , ca în figura *Figura 6.15*:



**Figura 6.15** Exemplu pentru aplicarea primitivei *contor()*

În Figura 6.15 este exprimată o alarmă  $a$  care apare de 3 ori, ceea ce se poate exprima cu ajutorul primitivei  $contor()$ , astfel:

$$contor(0,t_2,a,[t_1,t_2])=3 \quad (6.5)$$

Relațiile dintre primitivele  $eveniment()$  și  $non-eveniment()$  în raport cu primitiva  $contor()$  pot fi exprimate astfel:

$$eveniment(a,t)=contor(1,\infty,a,[t,t]) \quad (6.6)$$

$$non-eveniment(a,[t_1,t_2])=contor(0,0,a,[t_1,t_2]) \quad (6.7)$$

Cu aceste notații, o alarmă  $a$  care rămâne în starea activă timp de maxim 30 de momente poate fi descrisă astfel:

```

cronica a::durata[30]
{
    eveniment (a[old,activ], t1);
    non-eveniment (a[activ,?da], (t1,t2));
    t2-t1 in [0,30];
    throw &cronica;
}

```

În mod similar, o alarmă  $a$  care rămâne activă până la apariția unei alarme  $b$  poate fi descrisă astfel:

```

cronica a::activ[&b]
{
    eveniment (a[old-a,active], t1);
    eveniment (b[old-b,active], t2);
    non-eveniment (a[active,?da], (t1,t2));
    throw &cronica;
}

```

Un exemplu de cronică de alarme pentru 3 acțiuni de reinițializare aparute timp de 10 momente:

```

cronica start::reinit[3,3,10]
{
    eveniment (start, t0);
    contor (3, ∞,reinit, (t0,t1));
    t1-t0 in [0,10];
    throw &cronica;
}

```

Un alt exemplu pentru recunoașterea a minim 1 și maxim 3 acțiuni de reinițializare timp de 10 momente este următorul:

```

cronica start::reinit[1,3,10]

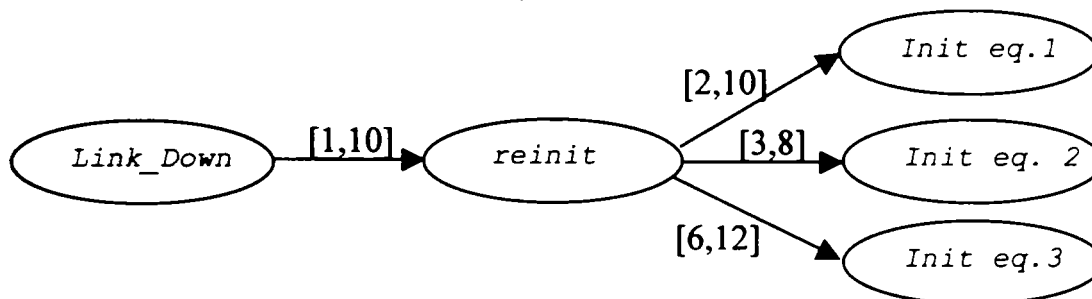
```

```

{
    eveniment (start, t0);
    contor (1,3, reinit, (t0,t1));
    t1-t0 in [0,10]
    throw &cronica;
}

```

Un alt exemplu, mai complex, este exprimat grafic în *Figura 6.16*. Acest exemplu reprezintă o succesiune de alarme referitoare la reinițializarea unei legături care necesită reinițializare a 3 echipamente de comunicații.



**Figura 6.16** Cronică de alarme pentru reinițializarea unui echipament

Cronica de alarme din *Figura 6.16* se definește în limbajul de descriere al cronicilor de alarme astfel:

```

cronica Link_Down::reinit[3,3,&eqpt,&eqpt_1,&eqpt_2,&eqpt_3]
{
    eveniment (Link_Down[&eqpt], t1);
    eveniment (reinit[&eqpt], t2);
    t2-t1 in [1,10];
    eveniment (init[&eqpt_1], t3);
    eveniment (init[&eqpt_2], t4);
    eveniment (init[&eqpt_3], t5);
    t3-t2 in [2,10];
    t4-t2 in [3,8];
    t5-t2 in [6,12];
    throw &cronica;
}

```

Programul, dezvoltat în mediul integrat OMNeT++, are următorul mod de funcționare: pornind de la analiza unui jurnal de alarme se generează colecții de secvențe de cronică candidate și se construiește o rețea Petri pentru generarea alarmelor. Cronicile de alarme rezultate vor fi considerate soluții dacă respectă anumite condiții, cum ar fi un număr minim de apariții și ordinul maxim detectat.

Recunoașterea cronicilor se face în două etape. În prima etapă se determină cronicile în spațiul paralel, unde cronicile sunt caracterizate doar prin tipul de alarme,

fără constrângeri temporale. Se rețin ca soluții doar acele cronici care au un număr de instanțe mai mare decât frecvența de apariție minimă considerată. În cea de-a doua etapă se construiește o rețea Petri având etichetate tranzițiile cu cronicile obținute ca soluții în etapa precedentă. Procedura este iterativă, la fiecare iterație ordinul cronicilor (numărul de alarme componente) crește până când nu se mai găsesc instanțe de cronici care să permită determinarea unei soluții.

Procedurile și biblioteca de funcții dezvoltate în limbajul de programare C++ sunt apelate de mediul de dezvoltare OMNeT++ în momentul asamblării rețelei Petri pentru simularea generării alarmelor.

Obiectivul major al modulului de integrare pentru asamblarea rețelei Petri este de a identifica informațiile relevante în raport cu alarmele analizate.

Modulul care implementează generarea de cronici candidate, pe baza procedurilor în spațiul paralel și în spațiul serial, este implementat, de asemenea, într-o bibliotecă de funcții. Această bibliotecă este alimentată de către evenimentele din jurnalul de alarme analizat, care sunt alarmele. Modulul care conține biblioteca de proceduri și funcții de generare a cronicilor candidate acționează ca un server, furnizând rezultate către etapa ulterioară a asamblării rețelei Petri.

Task-urile care pot fi executate de către modulul central, la un moment dat, sunt următoarele:

- Citirea stării blocurilor de alarme prin mecanism de polling către clienți,
- Memorarea stării curente a blocurilor de alarme,
- Emiterea de mesaje de alarme către blocul de operare, în urma detecției unei tranziții a stării blocurilor de alarme în raport cu starea memorată anterior,
- Retransmiterea alarmei curente, în urma unei cereri directe,
- Retransmiterea telecomenzilor către sistemul de supervizare,
- Detecția telecomenzilor transmise pe magistrală și retransmiterea lor către sistemul de supervizare,
- Detecția și semnalarea alarmelor către modulul de analiză.

## **6.7 Modulul de asamblare a rețelei Petri**

Pornind de la teoria rețelelor Petri, prezentată în capitolul anterior, în acest capitol vom descrie generarea alarmelor în rețelele de telecomunicații folosind rețelele Petri.

Rețelele Petri cu semantică de ordine parțială pot reprezenta evenimente concurente, adică paralele, independente între ele. Această caracteristică este importantă și foarte bine adaptată pentru sisteme distribuite în spații mari care sunt în general constituite din elemente de rețea care evoluează independent în timp, având propriul lor ceas intern de evoluție și care se sincronizează în rețea pe anumite evenimente comune.

Pentru aplicarea rețelelor Petri la aspecte ale propagării erorilor, vom folosi un model matematic complet în care fiecare poziție în rețeaua Petri reprezintă o anume alarmă sau o situație de eroare descrisă de cronica de alarme recunoscută în prealabil. Prezența sau absența unui jeton dintr-un loc semnifică dacă o alarmă este activă sau nu. În acest caz este evident ca vom utiliza rețele Petri de capacitate unitară. Acest lucru este echivalent cu a spune că sunt rețele Petri sigure. În aceste rețele Petri sigure fiecare loc poate conține cel mult un singur jeton.

Distribuția jetoanelor peste locurile curente ale rețelei Petri constituie marcajul rețelei. Marcajul este denumit de asemenea starea globală a rețelei Petri. Distribuția jetoanelor asupra unui subset de locuri curente ale rețelei Petri constituie astfel un sub-marcaj. Sub-marcajele mai sunt denumite și stări locale.

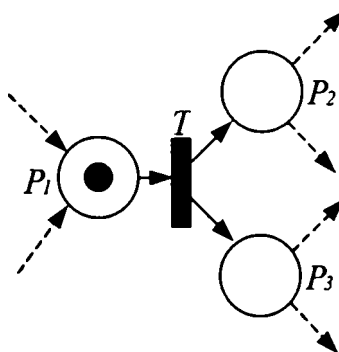
Fiecare tranziție este asociată cu o schimbare în starea de eroare pe care o vom numi propagarea erorilor. Execuția unei tranziții schimbă stările locale și de asemenea produce alarma asociată dintr-o mulțime predefinită de alarme.

Problema de diagnosticare și de monitorizare constă în analiza evoluției în timp a stărilor pentru o anumită mulțime de alarme observate. În acest caz, stările nu mai reprezintă erori sau alarme, ele reprezintă stări de operare ale rețelei care este monitorizată. Deoarece aceste stări de operare pot fi reprezentate de stări ale rețelelor Petri, formalismul acestora este bine adaptat pentru descrierea problemei.

Semantica de ordin parțial a rețelelor Petri este bazată pe relațiile cauzale dintre diferitele execuții de tranziții sau evenimente. Astfel, în secvența ordonată de execuții  $S=T_1, \dots, T_n$ , oricare tranziție  $T_j$  utilizând o resursă sau un jeton setat anterior de o tranziție  $T_i$ , va apărea ca o consecință directă a lui  $T_i$ . Această proprietate definește graful de cauzalitate notat  $CG(S)$ .

Pentru construcția grafului de cauzalitate, se definesc componentele elementare triplete  $(m_i, T, m_j)$ , unde  $m_i$  este cel mai mic sub-marcaj care permite tranziția  $t$  și  $m_j$  este sub-marcajul care rezultă în urma execuției tranziției.

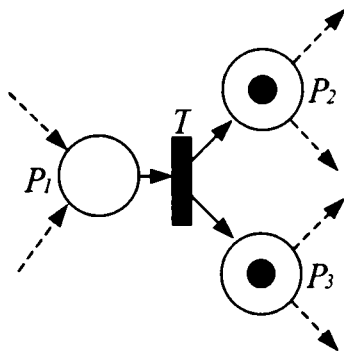
Să presupunem un marcaj inițial ca în *Figura 6.17* :



**Figura 6.17** Exemplul unui marcaj inițial

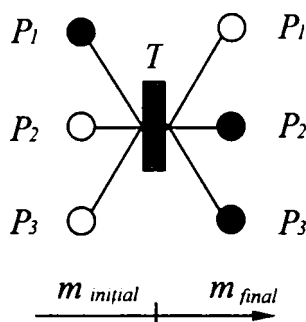


Printr-o proprietate de paralelism sau concurență se poate ajunge în marcajul final reprezentat în *Figura 6.18* :



**Figura 6.18** Exemplul unui marcaj final

Marcajul inițial și marcajul final din cele două figuri de mai sus pot fi exprimate sub forma unor componente elementare, ca în *Figura 6.17* :



**Figura 6.19** Dinamica marcajului rețelei Petri

Aceste componente elementare pot fi interconectate într-un ansamblu denumit macro-componente. Macro-componentele sunt reprezentate în mod uzual prin forma comprimată a pieselor unde se indică numai sub-marcajele.

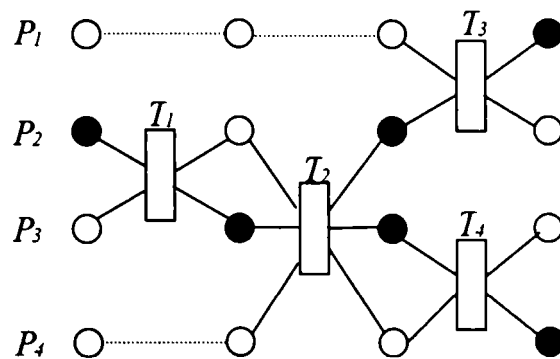
Macro-componentele sunt interesante atunci când sistemul analizează posibile pierderi de alarme deoarece în acest caz este mai convenabil să se reprezinte propagarea erorilor prin concatenarea macro-componentelor. O singură tranziție este vizibilă în acest caz și înlocuiește o pierdere de alarme.

### 6.7.1 Propagarea jetoanelor

Anumite reguli trebuie respectate pentru a putea asambla macro-componentele. Aceste reguli sunt studiate în lucrarea [6], unde se demonstrează de asemenea că macro-componentele pot fi reduse la minim prin reprezentarea unui graf unic de cauzalitate

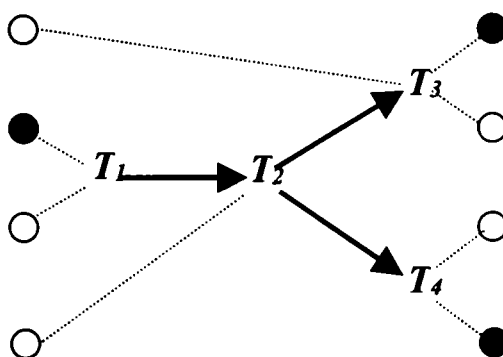
determinat de tranzițiile validate și executate. Astfel, propagarea jetoanelor în rețelele Petri reprezintă de fapt propagarea cronicilor de alarme în sistemul supervizat.

Propagarea jetoanelor poate fi reprezentată grafic sub forma unui ansamblu de componente elementare, ca în *Figura 6.20*:



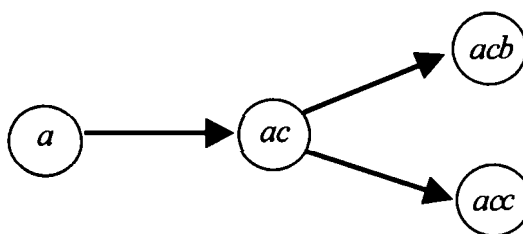
**Figura 6.20 Propagarea jetoanelor**

Pentru simplificarea reprezentării, ansamblul din *Figura 6.20* poate fi exprimat numai prin conectarea componentelor elementare într-un graf de cauzalitate, prezentat în *Figura 6.21*:



**Figura 6.21 Exemplu de graf de cauzalitate**

De exemplu, pentru algoritmul de recunoaștere a cronicilor frecvente prezentat în paragraful §2.5, un detaliu al rețelei privind soluțiile posibile pornind de la cronica *a* prin asamblare serială, se reprezintă astfel:



**Figura 6.22 Exemplu de asamblare serială**

Problema de asamblare a rețelei Petri constă în determinarea traiectoriei propagării cronicilor frecvente determinate de către algoritm asupra mulțimii de alarme analizate. În procesul de diagnosticare, fiecare cronică de alarme trebuie asociată unei execuții ale unei tranziții în rețeaua Petri.

Pentru a putea introduce evenimente aleatorii în descrierea problemei de supervizare, am utilizat un model probabilistic. Evenimentele aleatorii din acest model probabilistic pot fi următoarele :

- pierderea unor alarme,
- frecvența relativ redusă a anumitor erori spontane,
- fiabilitatea măsurărilor [66] din elementele de rețea.

Modelul probabilistic permite discriminarea între diferitele evoluții de stări care generează alarmele. Modelul trebuie să păstreze concurența și ordinea parțial semantică a rețelelor Petri. Sistemul de supervizare care colectează și analizează alarmele în mod secvențial va construi mai multe soluții parțiale, pe care le va analiza.

Presupunem că este posibil să recuperăm o secvență de alarme dacă aceasta este compatibilă cu ordinea parțială a erorilor care le-au produs. Această ipoteză de lucru se numește *ipoteza observațiilor cauzale*. Se pot face ipoteze de lucru mai puternice, de exemplu că alarmele sunt observate în aceeași ordine în care au fost produse. Această ipoteză nu este însă respectată în sistemele reale de telecomunicații deoarece trebuie luate în considerare întârzierile de propagare a informațiilor în rețea.

Fiind dată o secvență de alarme, sistemul de monitorizare conectează componentele elementare și determină un ansamblu care descrie observația.

Deoarece rețelele Petri nu sunt deterministe, pot rezulta mai multe ansambluri care respectă secvența de alarme observate. De exemplu, mai multe componente elementare pot corespunde aceleiași alarme, sau marcajul inițial poate conduce la mai multe variante de traiectorii. Pentru a putea utiliza mai multe ansambluri trebuie să folosim metode de programare dinamică bazate pe calculul recursiv al grafului de cauzalitate.

Ideea de bază este că oricare două secvențe  $S_1$  și  $S_2$  care conduc la același sub-marcaj  $m$ , care generează aceeași secvență de alarme, sunt echivalente în relațiile de dezvoltare ale unor traiectorii viitoare. Sub-marcajele  $m$  conțin toate informațiile necesare pentru a decide conectivitatea secvențelor de execuție  $S$  la  $S_1$  sau  $S$  la  $S_2$ . De aceea, dacă într-o anumită situație de observații secvența  $S_1$  este mai probabilă decât secvența  $S_2$  atunci  $S_2$  poate fi eliminată din rândul candidatelor ca potențială soluție optimă.

Acest fapt permite introducerea noțiunii de programare dinamică pentru sub-marcajul  $m$ . La fiecare pas se salvează argumentul de probabilitate și este utilizat pentru a găsi recursiv cea mai probabilă propagare a cronicilor.

Menționăm aici că în algoritmul folosit stările sunt reprezentate de sub-marcaje și nu de marcaje globale, ceea ce este o consecință importantă a formalismului de randomizare, conform lucrării [6].

În concluzie, chiar dacă algoritmul prezentat aici selectează cea mai probabilă propagare a cronicilor, se pot calcula toate soluțiile posibile. Dacă dorim să calculăm toate soluțiile posibile atunci în mod evident nu mai este necesară informația de probabilitate.

Principala caracteristică a metodei de asamblare cu rețelelor Petri este că rezultatul obținut este o expresie compactă a dinamicii sistemului exprimată prin cauzalitate și concurență. Ideea de bază este că se pot determina toate soluțiile dar volumul de calcul este foarte mare și sunt necesare multe date. Prin randomizare sau aleatorizare se ia în considerare o distribuție probabilistică în scopul de a reduce numărul de date prelucrate și evident se reduce volumul de calcul.

O altă caracteristică foarte importantă este că procedurile algoritmului și asamblării de rețele Petri sunt disponibile pentru monitorizarea distribuită, ceea ce este esențial în sistemele de telecomunicații [26].

Menționăm că metodele de diagnostic distribuit pot fi descrise de asemenea folosind formalismul rețelelor Petri. Pentru detalii despre metodele de diagnostic distribuit pot fi consultate lucrările [7], [33] și [34].

### **6.7.2 Rețele Petri etichetate de cronici**

În paragraful precedent am prezentat rețele Petri unde tranzițiile sunt etichetate de alarme și propagarea jetoanelor în rețeaua Petri generează o ordine parțială de alarme. Sistemul de supervizare va observa secvențele de alarme care sunt compatibile cu ordinea parțială considerată.

Rețelele Petri etichetate de alarme pot fi dezvoltate astfel încât tranzițiile să nu corespundă numai unor alarme și să corespundă unor cronici de alarme recunoscute în prealabil. Astfel, trecerea unei tranziții va genera alarmele corespunzătoare cronicii având constrângerile temporale definite de acea cronică. Trecerea a două tranziții consecutive va genera o secvență de instanțe de cronici. Trecerea a două tranziții concurente poate genera cronici de ordin superior. Cu acest raționament, se poate determina că propagarea

jetoanelor în rețelele Petri va genera o secvență de alarme observate care este compusă din mai multe cronici corespunzătoare acestor alarme.

Algoritmul de recunoaștere a cronicilor calculează alarmele ordonate în timp și le regrupează în cronici de alarme. Aceste cronici de alarme sunt trimise, în ordinea în care ele sunt recunoscute, către modulul de asamblare a rețelei Petri.

Deoarece modulul de recunoaștere a cronicilor nu determină nici o relație prealabilă între cronicile recunoscute, procesul de recunoaștere poate lucra cu mai multe partiții ale jurnalului de alarme analizat.

Anumite instanțe de cronici care nu se regăsesc în toate partițiile jurnalului pot fi ignorate datorită faptului că nu se poate determina o traiectorie Petri pentru a explica alarmele observate. În același timp, prin construcție, se determină că orice scenariu de generare de alarme care este valid poate genera o partiție a jurnalului de alarme.

Prin construcția rețelei Petri, se determină că scenariile de generare a alarmelor generează fiecare câte o partiție. Astfel, procesul de supervizare poate lucra cu un spațiu restrâns la evoluția în timp a partiției alarmelor componente ale instanțelor de cronici. Acest lucru este realizat de modulul de asamblare a rețelei Petri.

Procesul de diagnosticare este bazat pe o cooperare între modulul de recunoaștere a cronicilor și modulul de asamblare a rețelei Petri. Fluxul de intrare în modulul de recunoaștere a cronicilor este constituit de jurnalul de alarme. Fluxul de intrare în modulul de asamblare a rețelei Petri este constituit în mod exclusiv din cronicile de alarme determinate de primul modul. Aceste cronici etichetează tranzițiile rețelei Petri construite.

În continuare se prezintă un exemplu de asamblare a unei rețele Petri pentru un jurnal de alarme  $J$  care conține alarmele  $a, b, c$  și  $d$ , unde sunt recunoscute următoarele cronici de alarme:

$$\bar{A}(J) = \begin{cases} T_1 : (a, b, c, c) \\ T_2 : (a, b, c) \\ T_3 : (a, c, c) \end{cases} \quad (6.8)$$

În figura următoare prezentăm rețeaua Petri care are etichetate tranzițiile cu cronicile deja recunoscute. De exemplu, cronicile de alarme  $(a, b, c, c)$  și  $(a, b, c)$  sunt asociate tranzițiilor  $T_1$  respectiv  $T_2$ :

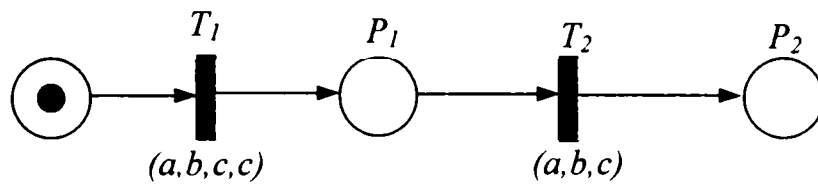


Figure 6.23 Exemplu de rețea Petri etichetată de cronici

Atunci când sunt recunoscute cronicile, de exemplu pentru cele din relația (6.8), aceste cronicile sunt transmise modulului de asamblare a rețelei Petri. Cronicile sunt recunoscute în ordinea temporală prezentată mai sus. Un exemplu de tranziții concurente etichetate de cronici, conform relației (4.1), este prezentat în Figura 6.24:

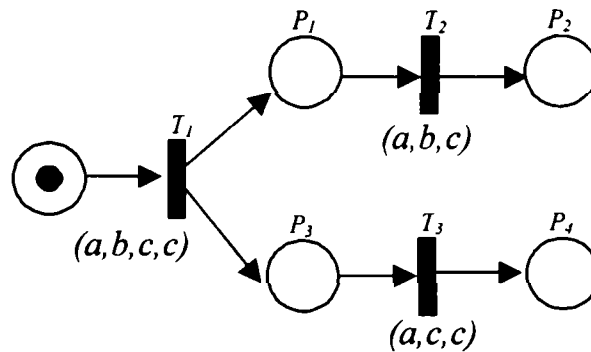


Figura 6.24 Tranziții concurente

În figura de mai sus sunt reprezentate tranzițiile  $T_1$ ,  $T_2$  și  $T_3$  care sunt etichetate de cronicile de alarme deja recunoscute. Dacă urmărim asamblarea rețelelor Petri vom putea determina configurația dată.

Pentru început rețeaua Petri nu are nici o istorie și deci se poate presupune că sistemul nu are nici o stare inițială determinată. Inițial atât algoritmul de recunoaștere a cronicilor cât și cel de asamblare a rețelei Petri vor recepționa prima alarmă  $a$ , care este memorizată în jurnalul de alarme. În acest moment nu există încă proces de recunoaștere a cronicilor. Apoi sistemul recepționează alarmele  $b$  și  $c$  și atunci algoritmul de recunoaștere a cronicilor determină cronica  $(a, b, c)$ . Modulul de asamblare a rețelei Petri construiește tranziția  $T_2$ . Apoi apare încă o dată alarma  $c$  și algoritmul de recunoaștere a cronicilor determină două cronicile frecvente,  $T_1$  și  $T_3$ .

Cronica  $(a, b, c, c)$  etichetează tranziția  $T_1$  și în rețeaua Petri se schimbă starea sistemului de la  $P_1$  la  $P_3$ . Consumând o alarmă  $c$  se ajunge în poziția  $P_2$ , iar consumând o alarmă  $b$  se ajunge în poziția  $P_4$ .

Comportamentul rețelei Petri este exprimat prin relația (6.9):

$$\left\{ \begin{array}{l} \text{dacă } P_1 \text{ atunci } P_2 \\ \text{sau} \\ \text{dacă } P_3 \text{ atunci } P_4 \end{array} \right. \quad (6.9)$$

Noțiunea de stare a rețelei Petri permite să se elimine anumite ipoteze de lucru, atunci când se ajunge în aceeași stare. Informațiile conținute în modelul de cronici sunt folosite pentru a elimina ipoteze de lucru care nu pot fi completate niciodată de o nouă instanță de apariție.

Orice stare finală reprezintă cel mai bun scenariu care generează o partiție de tipar de alarme frecvente, folosind un algoritm iterativ.

Procedura de recunoaștere a cronicilor frecvente nu determină nici o relație între alarme, ceea ce înseamnă că, chiar dacă jurnalul de alarme a fost împărțit în mai multe ferestre de observație, cronicile recunoscute pot fi trimise modulului de asamblare a rețelei Petri.

Modulul de asamblare a rețelei Petri vine să completeze procedura de recunoaștere a cronicilor frecvente descrisă în Capitolul 2. Cronicile frecvente recunoscute prin aplicarea procedurilor descrise în Capitolul 2 sunt modelate sub formă de tranziții într-o rețea Petri. Această modelare completează descrierea comportamentului rețelelor de telecomunicații. Modelarea rețelelor este completă și include aspecte particulare cum ar fi propagarea alarmelor, întârzierile din rețea și chiar pierderea de alarme.

Scopul modelării cu rețele Petri este să completeze recunoașterea cronicilor. Ideea principală este că alarmele care au fost deja recunoscute ca fiind componente ale unor cronici să fie folosite pentru a elimina ipotezele care nu funcționează din rețelele Petri. În mod similar, execuția rețelei Petri poate indica, atunci când se ajunge la oprirea rețelei, că se pot elimina din calcul cronicile candidate deja recunoscute. Rețeaua Petri permite de asemenea determinarea unei mulțimi minime de alarme pierdute, necesare reconstruirii unor cronici frecvente.

Rezultatul modulului Petri este o rețea Petri având tranzițiile etichetate de cronicile candidate care pot intra în două posibile interacțiuni : consecutive sau concurente. Interacțiunea consecutivă implică două cronici relaționate cauzal și ordonate una față de cealaltă. Interacțiunea concurentă înseamnă că două cronici pot rezulta într-un proces de întrepătrundere. Interacțiunea concurentă de cronici poate fi extinsă pentru a permite exprimarea unor dependențe mai complexe între cronicile recunoscute.

## 6.8 Teste unitare

Verificarea unui proiect, după faza de programare, conform metodelor de management de proiecte informatice, se face prin realizarea de testelor unitare. Testele unitare efectuate, pentru verificarea funcționării modulului de analiză a alarmelor, în vederea eliminării eventualele erori de programare, trebuie să acopere toate funcțiile oferite. Funcțiile oferite sunt clasificate în mai multe teme de testare, care sunt apoi verificate prin metode specifice.

Funcțiile oferite de modulul de analiză a alarmelor sunt :

- Inițializarea,
- Resincronizarea,
- Funcționarea în regim normal,
- Funcționarea în regim excepțional (suprasarcină, regularizarea alarmelor, etc).

Lista de teste unitare, clasificată pe temele de testare precizate mai sus, este următoarea:

- Teste unitare de inițializare - Obiectiv: se verifică inițializarea modulelor informatice pentru analiza alarmelor.
  - Inițializarea modulului de colectare de alarme.
  - Recepționarea unei comenzi corecte de la modulul de analiză.
  - Inițializarea completă a modulului de analiză și a modulului Petri.
  - Citirea unei zone tampon de alarme la cererea modulului de analiză.
  - Parametrarea unui fișier de configurare.
  - Reconfigurarea topologiei rețelei în mod *off-line*.
  - Generarea de evenimente de intrare în procesele client.
  - Inițializarea blocului de audit pentru evenimentele spontane – jetoane.
  - Inițializarea blocului de statistică - contor și reprezentare histogramă.
  - Reconnectarea unei zone tampon de alarme la cererea modulului de analiză.
  - Conectarea mai multor zone tampon de alarme (multi-colector).
  - Realizarea de puncte de debug pentru verificarea mesajelor API.
- Teste unitare de resincronizare - Obiectiv: se verifică resincronizarea sistemului informatic pe anumite evenimente.
  - Resincronizarea directă la cererea unui proces client.
  - Resincronizarea directă la cererea mai multor procese client.
  - Resincronizarea prin abonament la un proces client.
  - Resincronizarea prin abonament la mai multe procese client.
  - Recepția mesajului de resincronizare de la un proces client.
  - Recepția mesajului de resincronizare de la mai multe procese client.



- Teste unitare pentru verificarea funcționării în regim normal - Obiectiv: se verifică interconectarea modulelor informatice la o funcționare în regim normal.
  - Recepția unui mesaj de alarme achitat.
  - Recepția unui mesaj de alarme neachitat în timpul resincronizării.
  - Recepția unui mesaj de alarme neachitat în timpul supervizării.
  - Expirarea timpului pentru abonamentul la procesele client.
  - Recepția și ignorarea unui mesaj neimplementat.
  - Mesaje de abonare la modulul de colectare.
  - Mesaje de editare a contorilor și numărul maxim de alarme gestionate.
- Teste unitare pentru verificarea funcționării în regim excepțional - Obiectiv: se verifică funcționarea modulelor în cazul unor erori de interconectare.
  - Ignorarea unei interconectări eronate.
  - Analiza unui fișier eronat al topologiei rețelei.
  - Întreruperi de comunicare între modulele informatice.
  - Zonă de tampon de alarme inaccesibilă de către modulul colector.
  - Mecanismul de regularizare a alarmelor.
  - Probleme de desincronizare a mesajelor și expirarea timpului de așteptare.
  - Refuzarea unui mesaj de resincronizare.
  - Reinițializarea generală a blocurilor în urma unei erori grave.

Testele unitare prezentate mai sus au fost realizate în proporție de 100% și am observat și corectat o serie de erori de programare sau de concepție a anumitor module. În paragraful §6.8.1 voi prezenta problemele majore care au fost corectate în urma efectuării acestor teste unitare.

### 6.8.1 Aspecte ale unor corecții în urma efectuării testelor unitare

În urma testelor unitare realizate, mai ales din punct de vedere al performanței modulelor de analiză a alarmelor, am efectuat mai multe corecții asupra modulelor în cauză. În continuarea acestui paragraf se prezintă aspectele majore care au dus la corectarea unor probleme de concepție.

În primul rând, datorită faptului că procedura de generare a cronicilor candidate este iterativă, calculând numărul de instanțe de cronici candidate, dacă se determină o cronică frecventă atunci toate subcronicile ei au cel puțin aceeași frecvență. Pentru exemplificarea acestei probleme, considerăm o secvență de alarme  $(a,11)(b,12)(b,13),c(15)$ . Problema care se formulează, în acest caz, astfel : care dintre instanțele de alarme prezente în această secvență corespund cronicii  $(a,b,c)$ . Se pot alege instanțele  $(a,11)(b,12)(c,15)$  sau  $(a,11)(b,13)(c,15)$  sau amândouă. Inițial am ales ca instanțele să fie disjuncte, deci două instanțe distincte de cronici să nu conțină aceeași instanță de alarmă, dar astfel se pierdea cea de-a doua cronică. În urma testelor am

eliminat această restricție. Astfel, în procedura de generare a cronicilor candidate, vor fi numărate amândouă instanțele prezentate mai sus.

În al doilea rând, o instanță de alarmă generată cu o anumită întârziere poate influența semnificativ procesul de generare de cronici candidate. De exemplu, dacă o cronică este detectată într-o serie de momente relativ apropiate, dar are o ultimă recunoaștere relativ târzie față de seria de momente de la început, de exemplu  $t=[3,5,10,14,20,27,100]$ , cronica rezultată va fi recunoscută la momentele  $t=[3,100]$ . Pentru a obține rezultate mai bune se poate separa cronica pe două intervale,  $t=[3,27]+[100]$  și se poate parametriza un interval maxim pentru recunoașterea cronicilor astfel încât să nu se ia în considerare întârzierile relativ mari ale unei cronici de alarme.

## 6.8.2 Scara de reprezentare și selecția automată a detaliilor

Un aspect important pentru realizarea modului de vizualizare a soluțiilor determinate de către algoritm este scara de reprezentare dinamică. Pentru a rezolva problema alegerii scării de reprezentare, am ales teoria dezvoltată pentru selecția automată a detaliilor unei imagini, prezentată de Lindeberg în lucrarea [76].

Menționez că am mai folosit această soluție de reprezentare dinamică în articolele [116] și [117] referitoare la analiza performanțelor rețelelor telefonice bazate pe pachete de date.

Pentru o anumită distribuție de momente de apariție, adăugăm o dimensiune care definește scara de reprezentare. Această scară variază în mulțimea numerelor naturale, momentele de apariție fiind puncte temporale întregi pozitive. Spațiul scării de reprezentare poate fi văzut ca fiind o funcție de aceste momente de apariție. Pentru a utiliza informația într-o formă compactă și nu prea voluminoasă, trebuie aleasă o scară de reprezentare relativă la cronicile de alarme determinate anterior.

În acest scop, am implementat în modulul de vizualizare o facilități de parametrizare a selecției automate a detaliilor.

## 6.9 Rezultate experimentale

Pentru a verifica performanțele modulelor informatice prezentate în paragrafele anterioare, am realizat mai multe comparații asupra rezultatelor experimentale obținute în mai multe configurații de test. În primul rând, am definit următoarele configurații sau scenarii de test:

- Scenariul 1 : Modulul de analiză a alarmelor conține algoritmul simplu descris în paragraful §2.5, fără a folosi procedura de calcul a constrângerilor temporale și nici procedura de asamblare a rețelei Petri aferente.

- Scenariul 2 : Modulul de analiză conține algoritmul extins cu procedura de calcul a constrângerilor temporale, descrisă în paragraful §2.6.1.
- Scenariul 3 : Modulul de analiză conține algoritmul extins și, în paralel, se assemblează o rețea Petri etichetată de soluțiile determinate în urma execuției algoritmului. Soluțiile sunt transmise modulului Petri pe măsură ce sunt determinate.

În cazul scenariului 1 am obținut o serie de rezultate experimentale care sunt considerate rezultate inițiale pentru comparație. Am aplicat scenariul 1 asupra unui jurnal de alarme care conține 3000 de înregistrări cu 25 de tipuri de alarme. Rezultatele aplicării algoritmului sunt prezentate în *Tabelul 6.1* :

<i>Frecvența minimă considerată</i>	<i>Alarme frecvente</i>	<i>Cronici candidate</i>	<i>Cronici frecvente</i>	<i>Timp de execuție algoritmul [mm:ss]</i>
25	25	5810	366	13:27
50	17	4900	108	03:10
100	8	2890	28	00:44
250	3	1130	11	00:28
500	1	78	0	00:04
1000	0	0	0	00:00

**Tabelul 6.1** Rezultatele algoritmului pentru scenariul 1

În scenariul 2 am folosit procedura de calcul a constrângerilor temporale pentru a reduce numărul de cronici candidate care sunt generate de către algoritmul. Astfel, am redus complexitatea algoritmului, având mai puține cronici candidate. Timpul câștigat în execuția algoritmului prin faptul că sunt mai puține calcule de efectuat este folosit de către procedura de calcul a constrângerilor temporale. În final, am obținut un timp de execuție mai bun cu 5-10% pentru diferite configurații de test. Pentru aceeași configurație de test cum este cea folosită la scenariul 1, în cazul scenariului 2 se obțin rezultatele din *Tabelul 6.2* :

<i>Frecvența minimă considerată</i>	<i>Alarme frecvente</i>	<i>Cronici candidate</i>	<i>Cronici frecvente</i>	<i>Timp de execuție algoritmul [mm:ss]</i>
25	25	5630	320	12:51
50	17	3440	92	02:50
100	8	2090	28	00:42
250	3	810	11	00:25
500	1	53	0	00:04
1000	0	0	0	00:00

**Tabelul 6.2** Rezultatele algoritmului pentru scenariul 2

În cel de-al 3-lea scenariu intervine procedura de asamblare a rețelei Petri. Scopul principal al acestei proceduri este de a analiza cronicile frecvente determinate anterior și de a elimina acele cronici care sunt redundante deoarece cauzează situații de consecutivitate în rețeaua Petri.

Avantajul major al modulului Petri este că acesta se execută în paralel cu algoritmul extins și nu consumă un timp suplimentar. După cum am mai arătat, pe măsură ce sunt determinate soluții de către algoritm, aceste soluții sunt transmise modulului Petri.

Modulul Petri assemblează o rețea Petri care are tranzițiile etichetate de cronicile frecvente recunoscute anterior și analizează această rețea din punct de vedere a aspectelor de consecutivitate și concurență. Deoarece anumite cronici frecvente sunt eliminate de acest modul, vor fi mai puține cronici candidate și, în final, se va ajunge la mai puține cronici frecvente.

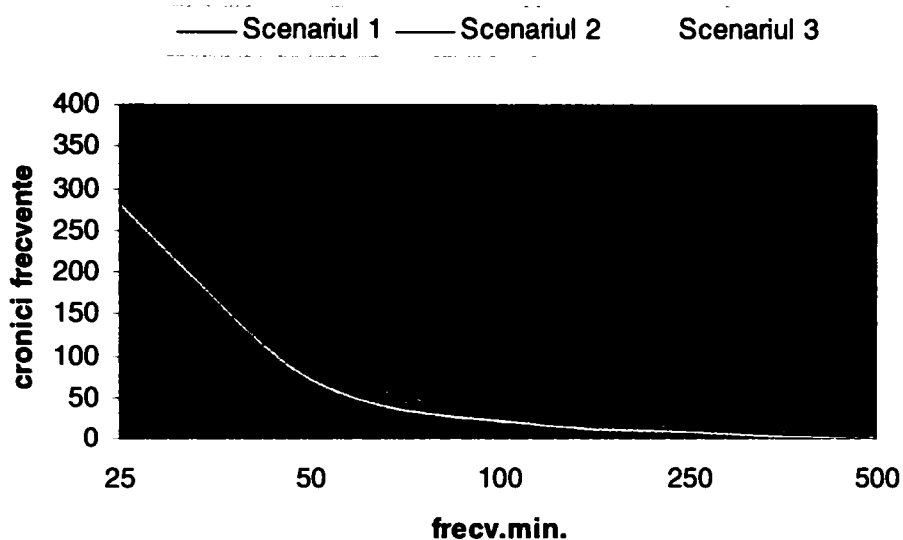
Trebuie menționat aici că nu se pierd informații utile, deoarece cronicile frecvente eliminate sunt redundante cu celelalte cronici frecvente care au rămas în calcul. Timpul de execuție este mai bun cu până la 10% pentru diferite configurații de test.

Pentru configurația de test folosită anterior la scenariile 1 și 2, în cazul scenariului 3 se obțin rezultate din *Tabelul 6.3* :

<i>Frecvența minimă considerată</i>	<i>Alarme frecvente</i>	<i>Cronici candidate</i>	<i>Cronici frecvente</i>	<i>Timp de execuție algoritm [mm:ss]</i>
25	25	5530	280	11:34
50	17	3020	70	02:29
100	8	1098	22	00:35
250	3	750	7	00:22
500	1	44	0	00:03
1000	0	0	0	00:00

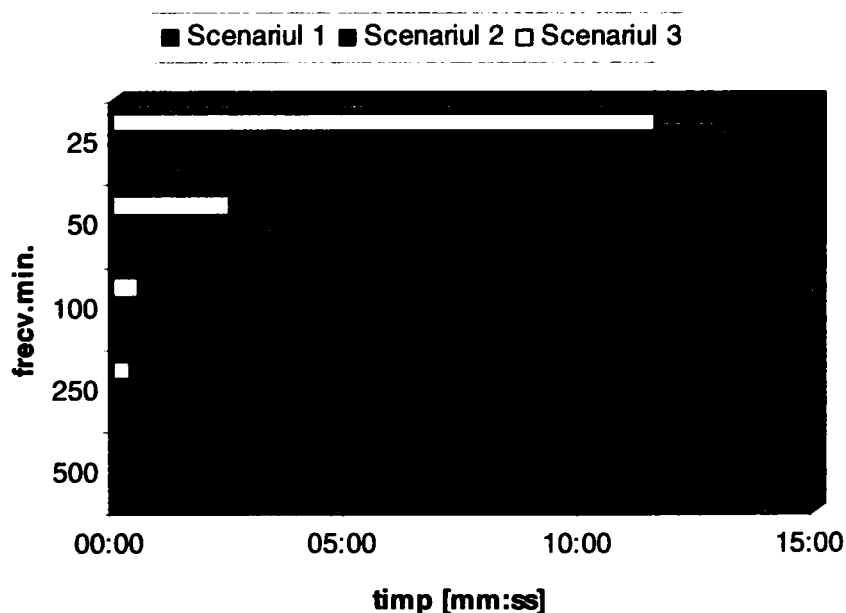
**Tabelul 6.3** Rezultatele algoritmului pentru scenariul 3

Sinteza rezultatelor din tabelele de mai sus, referitoare la cronicile frecvente care sunt obținute ca soluții finale, se poate reprezenta grafic ca în *Figura 6.25*:



**Figura 6.25** Graficul cronicilor frecvente pentru scenariile prezentate

Timpul de execuție al algoritmului pentru fiecare scenariu de test considerat poate fi reprezentat ca în *Figura 6.26*:

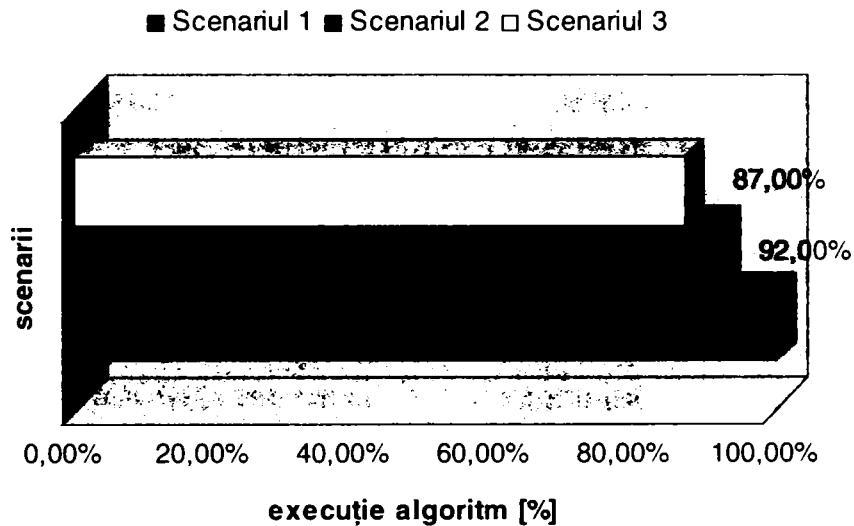


**Figura 6.26** Timpul de execuție al algoritmului de recunoaștere

Se observă că se obține un timp mai bun pentru algoritmul extins și un timp și mai bun pentru algoritmul extins cu folosirea procedurii de analiză a rețelei Petri.

Comparând mai multe execuții consecutive în scenariile prezentate, pe jurnalul de alarme de 3000 de apariții cu 25 de alarme ales pentru experimentare, am ajuns la concluzia că prin aplicarea procedurii de calcul a constrângerilor temporale se îmbunătățește timpul de execuție al algoritmului, în medie, cu 8%. Pentru alte jurnale de alarme mai simple se poate obține un timp mediu mai bun cu până la 10%. Prin introducerea în paralel a unei analize a cronicilor frecvente cu rețele Petri se mai câștigă, în medie, 5% față de Scenariul 2, deci cu 13% față de Scenariul 1. Pentru jurnale de alarme mai simple se poate ajunge la un timp mediu mai bun cu până la 15%.

În *Figura 6.27* am reprezentat o sinteză a timpului mediu de execuție pentru cele 3 scenarii în cazul jurnalului de alarme folosit pentru experimentarea algoritmului:



**Figura 6.27** Timpul de execuție mediu pentru scenariile prezentate

## 6.10 Comparații și concluzii

Din punct de vedere funcțional, proiectul informatic dezvoltat în OMNeT++ oferă majoritatea facilităților rezultate în urma proiectului profesional *FACE (Frequency Analyzer for Chronicle Extraction)* [44].

Dacă se analizează facilitățile de interfață cu utilizatorul, atât OMNeT++ cât și FACE oferă o interfață intuitivă cu topologii de rețea care pot fi modificate dinamic, de exemplu prin adăugarea de noi module de colectare de alarme sau prin interconectarea unor module externe de calcul.

OMNeT++ are avantajul de a integra un limbaj nativ de descriere a topologiei rețelei, ceea ce conduce la o mai mare portabilitate a aplicației, pe diferite platforme. FACE a fost dezvoltat pe o platformă mai puternică, dar modulele OMNeT++ pot fi recompilate și construite pe o platformă echivalentă.

Din punct de vedere al interfeței de ieșire, OMNeT++ poate exporta rezultatele în *plote*, FACE având un sistem proprietar de editare a rezultatelor. Din punct de vedere al colectării alarmelor, FACE este interconectat direct unei rețele de telecomunicații, fie în mod *off-line* (pentru achiziția alarmelor), fie în mod *on-line* (pentru procesarea alarmelor).

Modulul de colectare de alarme din OMNeT++ ar putea oferi 3 moduri de interconectare (*permanent, push și pull*), dar nu are implementat decât modul de extragere de pachete de alarme la cererea modulului de analiză a alarmelor.

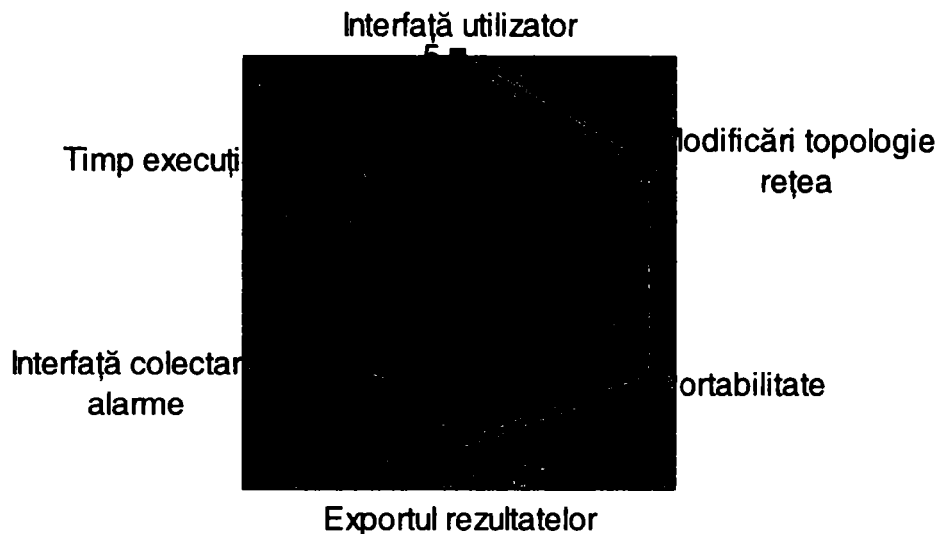
În raport cu timpul de execuție pentru recunoașterea unor cronici de alarme din jurnale de alarme similare, testele efectuate arată că FACE este mai rapid în rezolvarea problemei.

Comparația facilităților celor două proiecte informatice pentru recunoașterea cronicilor frecvente de alarme din rețelele de telecomunicații poate fi sintetizată ca în *Tabelul 6.4*:

<i>Facilități</i>	<i>OMNeT++</i>	<i>FACE</i>
Interfața utilizator	+++	+++
Modificări topologie	+++	++
Portabilitate	+++	++
Exportul rezultatelor	++	+
Interfața colectare	+	++
Timp de execuție	+	+++

**Tabelul 6.4** Comparație între OMNeT++ și FACE

O sinteză a comparației facilităților oferite de OMNeT++ și FACE este prezentată în *Figura 6.28*:



**Figura 6.28** Comparația facilităților OMNeT++ în raport cu FACE

În *Figura 6.28* am notat fiecare facilitate pe o scară de la 1 la 5, cu următoarele explicații:

- Interfața cu utilizatorul – ambele proiecte prezintă o interfață grafică intuitivă cu diverse facilități specifice unor medii de dezvoltare integrate.
- Modificări de topologie – am notat mai bine OMNeT++ datorită prezenței limbajului NED.
- Portabilitate – Modulele C++ din OMNeT++ pot fi recompilate pentru mai multe platforme (*unix* sau *win32*).
- Exportul rezultatelor – am notat mai bine OMNeT++ pentru posibilitatea de prelucrarea a rezultatelor în *plote*. FACE nu dispune decât de o facilitate de editare de tip histogramă.
- Interfață pentru colectarea alarmelor – am notat mai bine FACE deoarece poate funcționa atât *off-line* cât și *on-line*.
- Timp de execuție – din informațiile publice (cf. *Figurii 11* din articolul [48]), asupra unui jurnal de 2900 de alarme de 36 de tipuri diferite, timpul de execuție al FACE a fost de 2 minute. Pentru un jurnal de alarme similar, OMNeT++, chiar fără procedurile de calcul a constrângerilor și de asamblare a rețelei Petri, a consumat un timp dublu. De aceea am notat mai bine proiectul FACE.



## CONTRIBUȚII ȘI CONCLUZII

Pe parcursul elaborării tezei de doctorat am adus câteva contribuții originale, atât teoretice cât și practice, referitoare la problema analizei jurnalelor de alarme de telecomunicații. În acest capitol voi face o sinteză pentru a evidenția contribuțiile originale care au fost prezentate în capitolele anterioare.

În încheiere, voi prezenta concluziile finale referitoare la acoperirea aspectelor principale ale problemei studiate, prin comentarea rezultatelor experimentale obținute în raport cu rezultatele publicate la încheierea unui program de cercetare similar. Rezultatele experimentale obținute reprezintă un suport de validare pentru soluțiile tehnice alese și pentru contribuțiile teoretice exprimate în teză.

### Contribuții teoretice

Din punct de vedere teoretic, contribuțiile majore pe care le-am adus în problema analizei alarmelor în rețelele de telecomunicații sunt următoarele :

- Am îmbunătățit algoritmului de recunoaștere a cronicilor de alarme prin extensia acestuia cu o procedură de calcul a constrângerilor temporale, introducând noțiuni despre extragerea de reguli de asociere.
- Am continuat exploatarea rezultatelor algoritmului prin asamblarea unei rețele Petri ale cărei tranziții sunt etichetate de către cronicile frecvente recunoscute anterior de către algoritm. Asamblarea rețelei Petri se face în paralel cu procesul de recunoaștere a cronicilor frecvente și permite astfel o analiză mai rapidă a cronicilor candidate pentru a găsi soluții ale algoritmului.

În primul rând, pentru extensia algoritmului de recunoaștere a cronicilor frecvente, am reformulat algoritmul general de extragere de cronici de alarme frecvente, introdus în lucrarea [131]. Scopul principal al reformulării algoritmului a fost de a facilita scrierea acestuia în pseudo-limbaj de programare pentru ca, ulterior, să pot implementa acest algoritm într-un limbaj de programare de nivel înalt, cum este limbajul C++ în cadrul mediului de dezvoltare de aplicații informatice OMNeT++. Algoritmul este descris în paragraful §2.5 de la Capitolul 2.

Odată cu reformularea algoritmului am realizat și descrierea unei proceduri de calcul pentru introducerea unor constrângeri temporale între alarme. Procedura de calcul, prezentată în paragraful §2.6.1, introduce noi variabile în aplicarea algoritmului, sub forma unor coeficienți de încredere asociați regulilor de asociere, prezentați în §5.4. Prin introducerea coeficienților pentru exprimarea constrângerilor temporale între alarme, am

realizat o extensie a algoritmului de recunoaștere a cronicilor frecvente în jurnalele de alarme de telecomunicații.

Al doilea aspect major, din punct de vedere teoretic, este asamblarea unei rețele Petri ale cărei tranziții să fie etichetate de cronicile frecvente de alarme determinate anterior prin aplicarea algoritmului. Scopul principal al asamblării unei astfel de rețele Petri este de a analiza noi aspecte ale cronicilor de alarme, în raport cu proprietățile rețelelor Petri, prezentate în §4.4. Prin asamblarea rețelei Petri, în paralel cu recunoașterea de cronicile frecvente, se poate ajunge în anumite poziții care exprimă interacțiuni de concurență sau de consecutivitate a două sau mai multe cronici. În cazul unor interacțiuni de concurență se vor putea exprima anumite dependențe mai complexe între cronicile recunoscute, iar în cazul interacțiunilor de consecutivitate se determină faptul că acele cronici sunt relaționate cauzal și ordonate între ele. Analizând rețeaua Petri obținută, se pot elimina din calcul anumite cronici frecvente care conduc la situații concurente sau consecutive. Se obține astfel o îmbunătățire a timpului de calcul al procesului de recunoaștere a cronicilor frecvente, anumite cronici candidate putând fi eliminate relativ devreme din soluțiile algoritmului.

Creșterea complexității soluției prin adăugarea modulului de asamblare a rețelei Petri este contrabalansată de o scădere a complexității algoritmului datorită eliminării unor soluții care, deși asamblate serial sau paralel de către algoritm, nu se verifică în rețeaua Petri. Rezultatele practice confirmă îmbunătățirea timpului de găsim a soluției atunci când se adaugă execuția în paralel a modulului de asamblare a rețelei Petri, pentru frecvențe minime de apariție deasupra unui anumit prag, după cum voi arăta în paragraful următor.

### **Contribuții practice**

Pentru a susține cu argumente experimentale contribuțiile teoretice prezentate în paragraful precedent, am dezvoltat un proiect informatic care să realizeze procesul de analiză a alarmelor. Modulele informatice, dezvoltate după regulile de management ale unui proiect informatic, sunt descrise în Capitolul 6.

În raport cu contribuția teoretică referitoare la extensia algoritmului de recunoaștere, am dezvoltat procedurile de calcul necesare implementării practice a algoritmului în mediul de programare OMNeT++. După cum am mai arătat, am ales mediul de programare OMNeT++ pentru a putea integra propriile mele module informatice, dezvoltate în limbajul de programare C++, care sunt prezentate în Anexa C.

Cele trei module informatice principale pe care le-am realizat sunt următoarele :

- Un modul pentru colectarea alarmelor și construirea unui jurnal de alarme, bazat pe principiul unei achiziții în timp real a alarmelor respectând anumite mecanisme uzuale de dispecerizare a fluxului de alarme.

- Un modul pentru prelucrarea alarmelor, care realizează algoritmul de recunoaștere a cronicilor frecvente.
- Un modul de asamblare a unor rețele Petri, pe măsură ce sunt recunoscute cronicile frecvente, în scopul verificării ipotezelor de lucru pentru cronicile candidate.

Alarmerle și cronicile de alarme sunt vehiculate între aceste module sub forma unor jetoane sau a unor schimburi de mesaje prin porțile de intrare și ieșire ale modulelor informatice. Astfel, modulul de colectare gestionează o coadă de așteptare de alarme, iar algoritmul va consuma evenimente din această coadă de așteptare, urmând ca toate cronicile frecvente recunoscute să fie asamblate într-o rețea Petri. Experimentele realizate au arătat că algoritmul de recunoaștere, completat de asamblarea rețelei Petri, oferă un sistem puternic de analiză a jurnalelor de alarme de telecomunicații. Complexitatea algoritmului crește odată cu scăderea frecvenței minime de apariție, deoarece atunci crește numărul de cronici candidate care trebuie calculate.

Prin comparație cu implementarea similară rezultată în urma programului de cercetare *MAGDA (Modelisation et Apprentissage pour une Gestion Distribuée des Alarmes)* [136], se observă că proiectul meu informatic având implementat modulul Petri reușește să îndeplinească funcțiile principale de recunoaștere a cronicilor și de corelare a alarmelor, chiar dacă timpul de calcul consumat este mai mare decât în cazul implementării în mediul integrat *FACE (Frequency Analyzer for Chronicle Extraction)* [44], care este implementat pe o platformă mai puternică.

## **Concluzii finale**

Concluziile prezentate la sfârșitul fiecărui capitol al tezei pot fi sintetizate pentru a oferi un cadru general asupra problemei studiate.

La sfârșitul Capitolului 1, unde am prezentat arhitectura unui sistem general de supervizare și metodele de diagnosticare folosite în cazul rețelelor de telecomunicații, am arătat importanța procesului de analiză a alarmelor. Datorită volumului mare de alarme, sistemul de supervizare ar putea fi solicitat să gestioneze un flux de alarme prea mare pentru a putea lua decizii de intervenție în timp real. De aceea, este necesară prelucrarea alarmelor în sensul determinării unor secvențe de alarme care se repetă în mod frecvent și care se constituie astfel în cronici de alarme.

După cum am arătat în Capitolul 2, se pune problema recunoașterii cronicilor frecvente în jurnalele de alarme. În urma unei analize care poate fi exprimată sub forma unui algoritm, se pot determina cronicile frecvente pe baza unor proceduri de generare a unor cronici candidate asupra cărora se efectuează un calcul al frecvenței de apariție. În acest algoritm am introdus o nouă procedură de calcul pentru a exprima constrângerile

temporale dintre alarme. Aplicând algoritmul vom obține o mulțime de cronici de alarme care apar cu o frecvență mai mare decât o valoare minimă considerată.

Modelarea matematică a jurnalelor de alarme, pentru aplicarea algoritmului prezentat în Capitolul 2, folosește teoria temporală numită algebra momentelor, introdusă în 1982 de McDermott [83]. În Capitolul 3 am prezentat o sinteză privind toate teoriile temporale sub aspectul analizei intervalelor și a punctelor, pentru a evidenția motivele pentru care am ales algebra momentelor în cadrul analizei alarmelor din rețelele de telecomunicații. În finalul Capitolului 3 am ajuns la concluzia că modelul temporal cel mai potrivit pentru modelarea unor alarme de telecomunicații este modelul momentelor, deoarece acesta definește o colecție densă de puncte pe o linie temporală liniară la stânga și ramificată în viitor. Colecția densă de puncte reprezintă alarmele, iar ramificarea în viitor reprezintă cronicile candidate. Am ales algebra momentelor deoarece conține cele două axiome importante de liniaritate și de densitate, care exprimă cel mai bine alarmele în cazul rețelelor de telecomunicații.

Pentru a dezvolta analiza cronicilor de alarme, în Capitolul 4 am introdus noțiuni despre rețelele Petri. Aceste rețele permit o reprezentare simplă și intuitivă a fenomenelor de concurență și de cauzalitate. De aceea, considerând că tranzițiile rețelelor Petri sunt cronici de alarme, putem analiza relațiile de concurență sau de cauzalitate între aceste cronici. Concluzia principală din finalul Capitolului 4 este că rețelele Petri sunt foarte bine adaptate pentru analiza unor cronici de alarme. Cronicile de alarme pot fi definite atât pentru alarmele din rețelele de telecomunicații [32], [48], [131], cât și pentru alarmele din sistemele de distribuție de energie electrică [72], [73].

Pentru a explica constrângerile temporale introduse în algoritmul de recunoaștere din Capitolul 2, în Capitolul 5 am prezentat cadrul teoretic al extragerii de reguli de asociere. Pornind de la analiza regulilor de asociere se pot construi reprezentări cu diagrame Hasse pentru a exprima cronicile frecvente. Diagramele Hasse sunt folosite pentru vizualizarea unor mulțimi parțial ordonate. Am folosit diagramele Hasse pentru a oferi o reprezentare grafică mai intuitivă asupra constrângerilor temporale calculate pentru cronicile candidate.

Așa cum am mai arătat, am dezvoltat un sistem informatic pentru a implementa soluțiile tehnice și a verifica dacă rezultatele experimentale confirmă o îmbunătățire a găsirii soluțiilor la aplicarea algoritmului. Experimentele realizate prin implementarea algoritmului într-un mediu de simulare a generării unor alarme au arătat că algoritmul este aplicabil cu succes asupra unor jurnale de alarme de o complexitate medie. Rezultatele sunt remarcabile pentru frecvențe minime de apariție corespunzător alese.

Explicația influenței alegerii frecvenței minime de apariție este următoarea:

Dacă frecvența minimă de apariție considerată este prea mare în raport cu numărul total de alarme, atunci algoritmul se va opri rapid, deja de la cronicile candidate de ordine de mărime mici. De exemplu, dacă avem un jurnal de alarme de 1.000 de

apariții de alarme dintr-o familie de 100 de tipuri de alarme, alegerea unei frecvențe minime de apariție de 1.000 nu ar da nici un rezultat, algoritmul oprindu-se la primul pas, la calcularea frecvențelor celor 100 de alarme.

Dacă frecvența minimă de apariție este prea mică, atunci se poate ca algoritmul să determine foarte multe cronici candidate, ceea ce va încălca atât algoritmul cât și modulul Petri, timpul de calcul pentru determinarea unei soluții va crește exponențial, la fel ca și complexitatea calculelor. De exemplu, pentru același jurnal de 1.000 de apariții de alarme de 100 de tipuri diferite, dacă alegem frecvența minimă de apariție egală cu 2, obținem calcule extrem de complexe deoarece probabil toate cele 100 de alarme apar de cel puțin două ori și mai departe se creează cronici candidate de ordinul 2 prin asamblarea paralelă sau serială a 100 de alarme, obținând un volum foarte mare de cronici candidate. În plus, modulul Petri care funcționează în paralel în scopul eliminării anumitor cronici frecvente, va fi la rândul lui supraîncărcat datorită numărului mare de cronici frecvente.

Pentru a avea un suport pentru contribuțiile originale aduse algoritmului, am construit trei strategii de execuție a programului informatic:

- Executarea algoritmului de recunoaștere a cronicilor frecvente în forma inițială, fără a apela procedura de calcul a constrângerilor temporale și fără a apela modulul paralel de asamblare a rețelei Petri.
- Executarea algoritmului îmbunătățit prin adăugarea procedurii de calcul a constrângerilor temporale
- Executarea completă a algoritmului și a modulului de asamblare a rețelei Petri

Comparația între aceste 3 strategii de execuție evidențiază optimizarea timpului de determinare a soluției optime pe măsură ce se utilizează cele două proceduri menționate. Rezultatele sunt comentate la sfârșitul Capitolului 6.

Astfel, folosind procedura de calcul a constrângerilor temporale, algoritmul elimină anumite cronici candidate înainte ca acestea să intre în procedura de calcul a frecvențelor de apariție. Acest lucru duce la o îmbunătățire cu 5-10% a timpului de determinare a soluțiilor, în funcție de frecvența minimă considerată.

Introducând în paralel modulul de asamblare a rețelei Petri, pe măsură ce se obțin de la algoritm soluții sub forma cronicilor frecvente, modulul Petri va elimina anumite cronici care, deși au fost determinate ca fiind frecvente, conduc la situații de consecutivitate sau de concurență în rețeaua Petri. Deoarece se elimină cronici frecvente, soluțiile parțiale nu mai sunt aceleași, dar se poate observa îmbunătățirea timpului de determinare a soluțiilor finale cu până la 5%, fără pierderi de informații utile. Eliminarea unora dintre soluțiile parțiale ale algoritmului, deși acestea au fost determinate ca fiind frecvente, se datorează faptului că aceste soluții parțiale sunt incluse în soluții parțiale de ordin superior, deci în cronici frecvente de ordin superior. Soluția sau soluțiile finale obținute sunt aceleași, cu sau fără aplicarea modulului Petri, doar dacă ele nu sunt

redundante. Modulul Petri oferă astfel soluții calitativ superioare pentru problema recunoașterii cronicilor frecvente.

O ultimă remarcă importantă este aceea că unele dintre cronicile recunoscute dintr-un jurnal real de alarme au putut fi explicate prin influența unor factori care nu țin de domeniul telecomunicațiilor. De exemplu, într-o rețea de telecomunicații analizată existau anumite disfuncțiuni în calitatea serviciilor oferite de rețea, datorită creșterii temperaturii de operare a echipamentelor din rețea. De fapt, am descoperit o cronică de alarme referitoare la instalația de răcire a aerului în raport cu întreruperea unei surse secundare de alimentare a unui echipament din rețea. Instalația de răcire a aerului era conectată la sursa secundară de alimentare care a fost întreruptă. Ambele alarme, atât cea privind întreruperea alimentării electrice cât și cea privind temperatura ridicată a sistemului, apăreau în jurnalul de alarme dar nu erau în domeniul de analiză al expertului care superviza respectiva rețea de telecomunicații. În general, astfel de alarme, etichetate uneori drept alarme *colaterale*, sunt rareori modelizate de către experții în supervizarea rețelelor de telecomunicații, deoarece nu depind în mod direct de domeniul lor de activitate.

Tema de cercetare poate fi continuată în direcția evoluției algoritmului pentru a putea analiza duratele alarmelor. După cum am mai precizat, duratele alarmelor pot fi descrise în raport cu momentele de apariție și de dispariție ale unei alarme în rețea. În acest sens, se poate utiliza un model matematic construit pe o teorie temporală bazată pe intervale de timp, nu numai pe puncte sau momente.

O altă posibilă continuare a temei de cercetare constă în dezvoltarea unui sistem predictiv de cronici de alarme. Sistemul predictiv de cronici de alarme ar trebui să identifice prezența unei cronici analizând parțial alarmele recepționate. Dacă se poate determina, după primele alarme recepționate, că va urma o secvență de alarme care a fost deja recunoscută, atunci sistemul predictiv ar putea cere modulului de colectare sau modulului de analiză a alarmelor să ignore următoarele alarme. Astfel, s-ar putea reduce fluxul de alarme între modulele de colectare și analiză, eliminându-se cel puțin o parte din fluxul care corespunde unor cronici deja recunoscute. De exemplu, să presupunem că o anumită cronică, formată dintr-o succesiune de 10 alarme, a fost deja recunoscută în sistem ca fiind o cronică frecventă. Reprezentarea fizică a acestei cronici de alarme ar putea fi întreruperea unui circuit de comunicație, fapt care conduce la întreruperile apelurilor telefonice care se efectuau pe acel circuit, urmate de alarme ale mașinilor logice care pilotau acele apeluri telefonice. Atunci când se detectează alarma corespunzătoare întreruperii circuitului, care este la originea cronicii de alarme, modulul care realizează sistemul predictiv poate transmite modulelor de colectare sau de analiză a alarmelor că va urma o succesiune de alarme, care a fost recunoscută anterior ca fiind o cronică frecventă. Sistemul predictiv de cronici de alarme poate constitui un prim pas în direcția dezvoltării unui sistem expert care să utilizeze cronicile de alarme recunoscute.

Experimentele realizate au arătat că algoritmul de recunoaștere a cronicilor, completat de procedura de calcul a constrângerilor temporale și de procedura de analiză a unei rețele Petri etichetată de cronicile frecvente anterior descoperite, este capabil să gestioneze jurnale de alarme de dimensiuni reale.

Rezultatele experimentale, obținute în urma unor analize asupra unor jurnale de alarme reale, au fost prezentate unor experți în domeniul supervizării rețelelor de telecomunicații. Concluzia acestor experți a fost că sistemul dezvoltat este cu siguranță un instrument de mare ajutor în procesul de supervizare al rețelelor de telecomunicații și ar putea sta la baza dezvoltării unui sistem expert pentru supervizarea acestor rețele.

## ANEXA A : ACRONIME

- **ACE - Adaptive Communication Environment** : Interfață de comunicare în C++, în regim open-source, dezvoltată de Douglas C. Schmidt și un grup de cercetători de la University of California Irvine. Există și o versiune Java denumită JACE.
- **API - Application Programming Interface** : Interfață prin care un program informatic accesează sistemul de operare sau anumite servicii ale acestuia. API-ul este definit la nivelul codului sursă al nucleului sistemului de operare și asigură portabilitatea aplicațiilor informatice pe mai multe platforme de dezvoltare.
- **CCITT - Comitetul Consultativ Internațional pentru Telefonie și Telegrafie** : Abreviere pentru organizația internațională al cărei obiect de activitate este definirea de standarde în domeniul comunicațiilor de date. Începând din data de 1.03.1993 organizația devine ITU-T.
- **CHILL - CCITT High Level Language** : Limbaj de programare în timp real dedicat dezvoltării sistemelor de telecomunicații, standardizat de CCITT. CHILL a fost dezvoltat în anii 1970 și evoluat până în anul 1996.
- **CNET - Centre National d'Etudes des Télécommunications** : Centrul național francez pentru cercetări în domeniul telecomunicațiilor. CNET are sediul la Lannion, Franța.
- **CRS - Chronicle Recognition System** : Sistem informatic de extragere a unor secvențe de evenimente, dezvoltat la CNET.
- **FACE - Frequency Analyzer for Chronicle Extraction** : Sistem informatic dezvoltat în urma proiectului MAGDA între Alcatel, Francetelecom și INRIA, pentru analiza frecvenței alarmelor de telecomunicații.
- **FTP – File Transfer Protocol** : Standard de comunicație pentru transferul de fișiere informatice de la diferite sisteme de operare. FTP este un protocol client-server, definit de standardul RFC 959, publicat în 1985.
- **GUI - Graphical User Interface** : Interfață grafică cu utilizatorul care facilitează interacțiunea prin elemente grafice, spre deosebire de *command line interface* unde interacțiunea cu utilizatorul se face prin schimburi de linii de caractere.
- **IFA - Institut de Formation Alcatel** : Organism de pregătire profesională, în regim de educație continuă, în cadrul companiei Alcatel.
- **INRIA - Institut National de Recherche en Informatique et en Automatique** : Institut francez pentru cercetări în domeniul științei calculatoarelor, automaticii și matematicii aplicate. Dezvoltă mai multe arii de cercetare, având un centru de cercetare la Rennes, denumit IRISA, Institut National de Recherche en Informatique et Automatique.



- **ITU - International Telecommunication Union** : Organism de standardizare pentru telefonie și date, care realizează sesiuni plenare, odată la 4 ani, pentru adoptarea de noi standarde în acest domeniu. ITU are sediul la Geneva, Elveția.
- **LFN - Logical File Name** : Fișier informatic pentru colectarea anumitor rezultate și prezentarea acestora către operator sau către un sistem de supervizare.
- **MAGDA - Modelisation et Apprentissage pour une Gestion Distribuée des Alarmes** : Proiect comun Alcatel, Francetelecom și IRISA pentru cercetarea modelării alarmelor în rețelele de telecomunicații.
- **MAPI - Messaging Application Programming Interface** : Bibliotecă de funcții dezvoltată pentru a permite sistemelor de operare să acceseze sisteme de mesagerie electronică.
- **MONET - Mobile Networks and Applications** : Proiect informatic pentru integrarea serviciilor din rețelele de telecomunicații mobile.
- **NED - Network Description Language** : Limbaj de descriere a topologiei rețelelor din mediul integrat de dezvoltare OMNeT++, pentru facilitarea implementării interfețelor de comunicație ale modulelor informatice.
- **NMC - Network Management Centre** : Centru de supervizare a rețelelor de telecomunicații. Punct central de la care poate fi controlată rețeaua de telecomunicații, constituit în general din mai multe centre de operare și mentenanță.
- **OMNeT++ - Objective Modular Network Testbed in C++** : Mediu integrat de dezvoltare de proiecte informatice, inițiat la Universitatea Tehnică din Budapesta și evoluat în regim de surse libere. OMNeT++ este disponibil în mediul academic fără a necesita licențe informatice.
- **ODP - Open Distributed Processing** : Arhitectură standardizată a nivelului aplicație definit de ISO. ODP este o evoluție naturală pentru standardizarea construcției de sisteme distribuite.
- **OCB - Organe de Commutation Binaire** : Abreviere pentru denumirea inițială dată centralelor telefonice Alcatel 1000 E10 dezvoltate la Lannion, Franța.
- **RHM - Relations Homme-Machine** : Interfață cu utilizatorul folosind comenzi simple alfanumerice, structurate pe mai multe familii funcționale, bazate pe dicționare de mnemonici.
- **TMM - Time Map Manager** : Algebră temporală propusă de Dean și McDermott în 1987 pentru a defini o rețea de puncte temporale și relațiile metrice dintre aceste momente.
- **SDL - Specification Design Language** : Limbaj de specificație și descriere a comportamentului sistemelor de telecomunicații, standardizat de ITU prin recomandarea Z.100, folosind extensii ale unor automate cu stări finite, FSM (Finite State Machines)

## ANEXA B : TOPOLOGIA REȚELEI OMNET++

Versiunea utilizată : OMNeT++ 3.1 source (tgz) (versiunea 3.1 făcută publică la data de 31.03.2005)

Ultima versiune testată : OMNeT++ 3.2 win32 binary (exe) (versiunea 3.2pre4 publică la 20.10.2005)

Topologia rețelei OMNeT++ folosită pentru verificarea proiectului informatic este cea din *Figura Anexa B.1* :

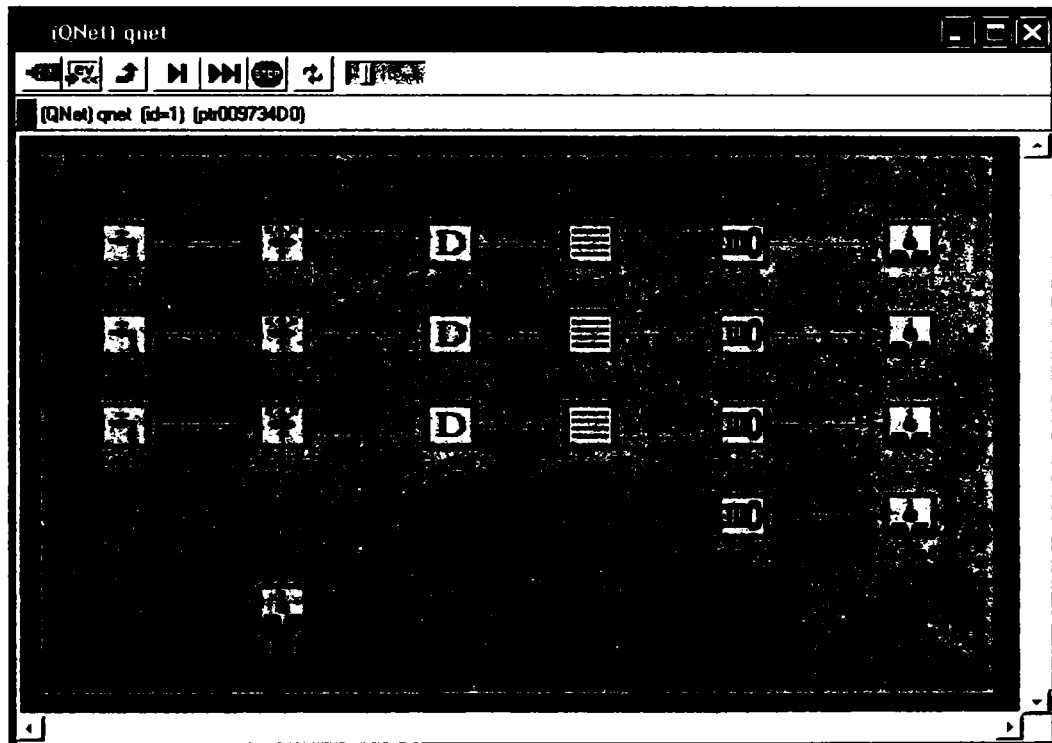


Figura Anexa B.1 Topologia rețelei OMNeT++

Modulele *classifier* implementează dispecerul de colectare de alarme și modulele *qserver* realizează funcțiile de analiză a alarmelor (algoritm de recunoaștere a cronicilor frecvente, procedura de introducere a constrângerilor temporale, procedura de asamblare și analiză a rețelei Petri având tranzițiile etichetate de cronicile frecvente recunoscute).

Modulele *leave* implementează funcțiile de vizualizare a rezultatelor experimentale obținute. Modulele *delay* și *passiveq* realizează colectarea alarmelor prin modul de transfer *pull*. Modulele *enter* generează populația de evenimente (alarme) direct de pe platforma rețelei de telecomunicații, înainte de a fi înregistrate de modulele colectoare de alarme.

Pentru a realiza diferite scenarii de testare am inhibat sau am activat diferite module simple implementate în modulele *qserver* din această topologie.

## ANEXA C : ACE (ADAPTIVE COMMUNICATION ENVIRONMENT)

ACE [135], [139], [140] este o dezvoltare în limbajul de programare C++ al unei biblioteci de elemente fundamentale pentru funcții de comunicare, având suport pentru o largă varietate de sisteme de operare (AIX, HP-UX, Linux, Solaris, Win32, VxWorks etc.).

ACE conține peste 135.000 de linii de cod în limbajul de programare C++, realizate în urma unui efort colectiv, timp de mai mulți ani, al unor experți în domeniul sistemelor de operare și al serviciilor oferite la acest nivel. ACE este în continuare portat pe diferite noi sisteme de operare și pe noi platforme de dezvoltare.

Biblioteca ACE oferă următoarele funcții de comunicare :

- Demultiplexarea evenimentelor și dispecerizarea fluxului de evenimente
- Inițializarea serviciilor
- Comunicarea între procese și gestionarea memoriei partajate
- Rutarea mesajelor
- Reconfigurarea dinamică a serviciilor distribuite și multi-threading

Componentele elementare ale lui ACE și relațiile ierarhice sunt reprezentate în diagrama din *Figura Anexa C.1*:

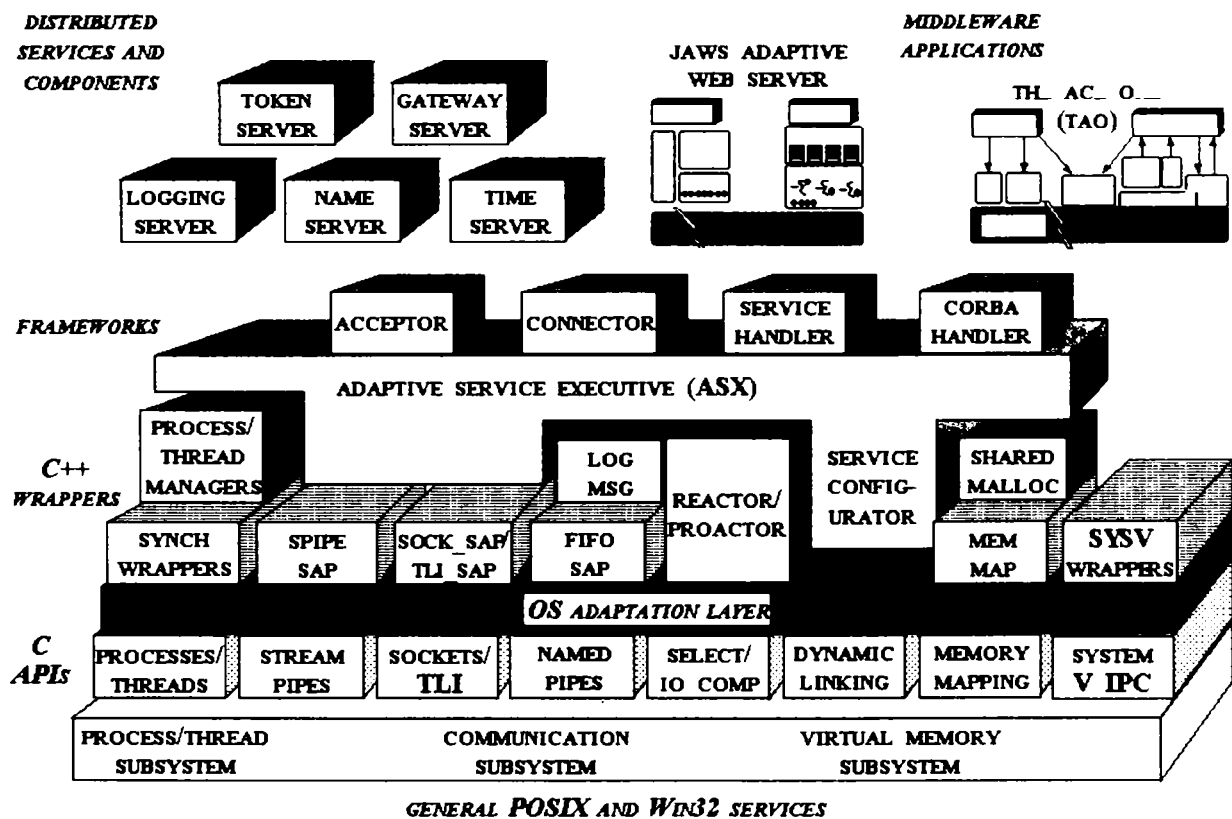


Figura Anexa C.1 Diagrama componentelor elementare ACE

În această anexă sunt listate sursele informatice implementate în limbajul de programare C++ din cadrul bibliotecii ACE. Pentru a nu încărca *Anexa B* cu listing-ul ACE în C++ am ales să prezint clasele ACE prin legături web (hyperlink) către acest listing, disponibil la adresa web [http://www.huihoo.org/ace\\_tao/](http://www.huihoo.org/ace_tao/) :

### [CORBA]

- [CORBA\\_Ref.cpp](#)
- [CORBA\\_Ref.h](#)
- [CORBA\\_Ref.i](#)

### [Containers]

- [Array.cpp](#)
- [Array.h](#)
- [Array.i](#)
- [Containers.cpp](#)
- [Containers.i](#)
- [Containers.h](#)
- [Hash\\_Map\\_Manager.cpp](#)
- [Hash\\_Map\\_Manager.h](#)
- [Filecache.cpp](#)
- [Filecache.h](#)
- [Free\\_List.cpp](#)
- [Free\\_List.i](#)
- [Free\\_List.h](#)
- [Managed\\_Object.cpp](#)
- [Managed\\_Object.h](#)
- [Managed\\_Object.i](#)
- [Map\\_Manager.cpp](#)
- [Map\\_Manager.h](#)
- [Map\\_Manager.i](#)
- [Object\\_Manager.cpp](#)
- [Object\\_Manager.i](#)
- [Object\\_Manager.h](#)
- [SString.cpp](#)
- [SString.h](#)
- [SString.i](#)

- [Future.h](#)
- [Future.cpp](#)
- [Method\\_Request.h](#)
- [Method\\_Request.cpp](#)
- [Process.cpp](#)
- [Process.h](#)
- [Process.i](#)
- [Process\\_Manager.cpp](#)
- [Process\\_Manager.h](#)
- [Process\\_Manager.i](#)
- [Sched\\_Params.cpp](#)
- [Sched\\_Params.h](#)
- [Sched\\_Params.i](#)
- [Synch.cpp](#)
- [Synch.h](#)
- [Synch.i](#)
- [Synch\\_Options.cpp](#)
- [Synch\\_Options.h](#)
- [Synch\\_Options.i](#)
- [Synch\\_T.cpp](#)
- [Synch\\_T.h](#)
- [Synch\\_T.i](#)
- [Thread.cpp](#)
- [Thread.h](#)
- [Thread.i](#)
- [Thread\\_Manager.cpp](#)
- [Thread\\_Manager.h](#)
- [Thread\\_Manager.i](#)
- [Token.cpp](#)
- [Token.h](#)
- [Token.i](#)

### [Config]

### [Concurrency]

- [Activation\\_Queue.h](#)
- [Activation\\_Queue.cpp](#)
- [Atomic\\_Op.i](#)

- [config.h](#)
- [Basic\\_Types.cpp](#)
- [Basic\\_Types.h](#)
- [Basic\\_Types.i](#)
- [Version.h](#)

## [Connection]

- Acceptor.cpp
- Acceptor.h
- Acceptor.i
- Asynch Acceptor.cpp
- Asynch Acceptor.h
- Asynch Acceptor.i
- Asynch IO.cpp
- Asynch IO.h
- Asynch IO.i
- Connector.cpp
- Connector.h
- Connector.i
- Dynamic Service.cpp
- Dynamic Service.h
- Dynamic Service.i
- Strategies.cpp
- Strategies.h
- Strategies.i
- Strategies T.cpp
- Strategies T.h
- Strategies T.i
- Svc\_Handler.cpp
- Svc\_Handler.h
- Svc\_Handler.i

## [IPC]

- IO SAP.cpp
- IO SAP.h
- IO SAP.i
- DEV.cpp
- DEV.h
- DEV.i
- DEV Connector.cpp
- DEV Connector.h
- DEV Connector.i
- DEV IO.cpp
- DEV IO.h
- DEV IO.i
- TTY IO.cpp
- TTY IO.h
- FILE.cpp

- FILE.h
- FILE.i
- FILE Connector.cpp
- FILE Connector.h
- FILE Connector.i
- FILE IO.cpp
- FILE IO.h
- FILE IO.i
- IPC SAP.cpp
- IPC SAP.h
- IPC SAP.i
- Addr.cpp
- Addr.h
- Addr.i
- DEV Addr.cpp
- DEV Addr.h
- DEV Addr.i
- FILE Addr.cpp
- FILE Addr.h
- FILE Addr.i
- INET Addr.cpp
- INET Addr.h
- INET Addr.i
- SPIPE Addr.cpp
- SPIPE Addr.h
- SPIPE Addr.i
- UNIX Addr.cpp
- UNIX Addr.h
- UNIX Addr.i
- UPIPE Addr.h

## [FIFO\_SAP]

- FIFO.cpp
- FIFO.h
- FIFO.i
- FIFO Recv.cpp
- FIFO Recv.h
- FIFO Recv.i
- FIFO Recv Msg.cpp
- FIFO Recv Msg.h
- FIFO Recv Msg.i
- FIFO Send.cpp
- FIFO Send.h

- FIFO Send.i
- FIFO Send Msg.cpp
- FIFO Send Msg.h
- FIFO Send Msg.i

#### [SOCK\_SAP]

- LOCK SOCK Acceptor.cpp
- LOCK SOCK Acceptor.h
- LSOCK.cpp
- LSOCK.h
- LSOCK.i
- LSOCK Acceptor.cpp
- LSOCK Acceptor.h
- LSOCK Acceptor.i
- LSOCK CODgram.cpp
- LSOCK CODgram.h
- LSOCK CODgram.i
- LSOCK Connector.cpp
- LSOCK Connector.h
- LSOCK Connector.i
- LSOCK Dgram.cpp
- LSOCK Dgram.h
- LSOCK Dgram.i
- LSOCK Stream.cpp
- LSOCK Stream.h
- LSOCK Stream.i
- SOCK.cpp
- SOCK.h
- SOCK.i
- SOCK Acceptor.cpp
- SOCK Acceptor.h
- SOCK Acceptor.i
- SOCK CODgram.cpp
- SOCK CODgram.h
- SOCK CODgram.i
- SOCK Connector.cpp
- SOCK Connector.h
- SOCK Connector.i
- SOCK Dgram.cpp
- SOCK Dgram.h
- SOCK Dgram.i
- SOCK Dgram Bcast.cpp
- SOCK Dgram Bcast.h

- SOCK Dgram Bcast.i
- SOCK Dgram Mcast.cpp
- SOCK Dgram Mcast.h
- SOCK Dgram Mcast.i
- SOCK IO.cpp
- SOCK IO.h
- SOCK IO.i
- SOCK Stream.cpp
- SOCK Stream.h
- SOCK Stream.i

#### [SPIPE\_SAP]

- SPIPE.cpp
- SPIPE.h
- SPIPE.i
- SPIPE Acceptor.cpp
- SPIPE Acceptor.h
- SPIPE Acceptor.i
- SPIPE Connector.cpp
- SPIPE Connector.h
- SPIPE Connector.i
- SPIPE Stream.cpp
- SPIPE Stream.h
- SPIPE Stream.i

#### [TLI\_SAP]

- TLI.cpp
- TLI.h
- TLI.i
- TLI Acceptor.cpp
- TLI Acceptor.h
- TLI Acceptor.i
- TLI Connector.cpp
- TLI Connector.h
- TLI Connector.i
- TLI Stream.cpp
- TLI Stream.h
- TLI Stream.i

#### [UPIPE\_SAP]

- UPIPE Acceptor.cpp

- UPIPE\_Acceptor.h
- UPIPE\_Acceptor.i
- UPIPE\_Connector.cpp
- UPIPE\_Connector.h
- UPIPE\_Connector.i
- UPIPE\_Stream.cpp
- UPIPE\_Stream.h
- UPIPE\_Stream.i

#### [Misc]

- IOStream.cpp
- IOStream.h
- IOStream\_T.i
- Pipe.cpp
- Pipe.h
- Pipe.i
- Signal.cpp
- Signal.h
- Signal.i

#### [Logging and Tracing]

- Dump.cpp
- Dump.h
- Dump\_T.cpp
- Dump\_T.h
- Log\_Msg.cpp
- Log\_Msg.h
- Log\_Msg.i
- Log\_Priority.h
- Log\_Record.cpp
- Log\_Record.h
- Log\_Record.i
- Trace.cpp
- Trace.h
- Trace.i

#### [Mem\_Map]

- Mem\_Map.cpp
- Mem\_Map.h
- Mem\_Map.i

#### [Shared\_Malloc]

- Malloc.cpp
- Malloc.h
- Malloc.i
- Malloc\_T.cpp
- Malloc\_T.h
- Malloc\_T.i
- Memory\_Pool.cpp
- Memory\_Pool.h
- Memory\_Pool.i

#### [Shared\_Memory]

- Shared\_Memory.h
- Shared\_Memory\_MM.cpp
- Shared\_Memory\_MM.h
- Shared\_Memory\_MM.i
- Shared\_Memory\_SV.cpp
- Shared\_Memory\_SV.h
- Shared\_Memory\_SV.i

#### [Utils]

- Obstack.cpp
- Obstack.h
- Read\_Buffer.cpp
- Read\_Buffer.h
- Read\_Buffer.i

#### [Misc]

- ARGV.cpp
- ARGV.h
- ARGV.i
- Auto\_Ptr.cpp
- Auto\_Ptr.h
- Auto\_Ptr.i
- Date\_Time.cpp
- Date\_Time.h
- Date\_Time.i
- Dynamic.cpp
- Dynamic.h
- Dynamic.i

- Get\_Opt.cpp
- Get\_Opt.h
- Get\_Opt.i
- Registry.cpp
- Registry.h
- Singleton.cpp
- Singleton.h
- Singleton.i
- System\_Time.cpp
- System\_Time.h

#### [Name\_Service]

- Local\_Name\_Space.cpp
- Local\_Name\_Space.h
- Local\_Name\_Space\_T.cpp
- Local\_Name\_Space\_T.h
- Name\_Proxy.cpp
- Name\_Proxy.h
- Name\_Request\_Reply.cpp
- Name\_Request\_Reply.h
- Name\_Space.cpp
- Name\_Space.h
- Naming\_Context.cpp
- Naming\_Context.h
- Registry\_Name\_Space.cpp
- Registry\_Name\_Space.h
- Remote\_Name\_Space.cpp
- Remote\_Name\_Space.h

#### [OS Adapters]

- ACE.cpp
- ACE.h
- ACE.i
- OS.cpp
- OS.h
- OS.i

#### [Reactor]

- Event\_Handler.cpp
- Event\_Handler.h
- Event\_Handler.i

- Event\_Handler\_T.cpp
- Event\_Handler\_T.h
- Event\_Handler\_T.i
- Handle\_Set.cpp
- Handle\_Set.h
- Handle\_Set.i
- Priority\_Reactor.cpp
- Priority\_Reactor.i
- Priority\_Reactor.h
- Proactor.h
- Proactor.i
- Proactor.cpp
- Reactor.cpp
- Reactor.h
- Reactor.i
- Reactor\_Impl.h
- Select\_Reactor.cpp
- Select\_Reactor.h
- Select\_Reactor.i
- WFMO\_Reactor.cpp
- WFMO\_Reactor.h
- WFMO\_Reactor.i
- XtReactor.cpp
- XtReactor.h

#### [Service\_Configurator]

- DLL.cpp
- DLL.h
- Parse\_Node.cpp
- Parse\_Node.h
- Parse\_Node.i
- Service\_Config.cpp
- Service\_Config.h
- Service\_Config.i
- Service\_Manager.cpp
- Service\_Manager.h
- Service\_Manager.i
- Service\_Object.cpp
- Service\_Object.h
- Service\_Object.i
- Service\_Repository.cpp
- Service\_Repository.h
- Service\_Repository.i



- Service Types.cpp
- Service Types.i
- Service Types.h
- Shared Object.cpp
- Shared Object.h
- Shared Object.i
- Svc Conf.h
- Svc Conf l.cpp
- Svc Conf y.cpp
- Svc Conf Tokens.h

#### [Streams]

- IO Cntl Msg.cpp
- IO Cntl Msg.h
- IO Cntl Msg.i
- Message Block.cpp
- Message Block.h
- Message Block.i
- Message Queue.cpp
- Message Queue.h
- Message Queue.i
- Message Queue T.cpp
- Message Queue T.h
- Message Queue T.i
- Module.cpp
- Module.h
- Module.i
- Multiplexor.cpp
- Multiplexor.h
- Multiplexor.i
- Stream.cpp
- Stream.h
- Stream.i
- Stream Modules.cpp
- Stream Modules.h
- Stream Modules.i
- Task.cpp
- Task.h
- Task.i
- Task T.cpp
- Task T.h
- Task T.i

#### [System\_V\_IPC]

- SV Message.cpp
- SV Message.h
- SV Message.i
- SV Message Queue.cpp
- SV Message Queue.h
- SV Message Queue.i
- Typed SV Message.cpp
- Typed SV Message.h
- Typed SV Message.i
- Typed SV Mess Queue.cpp
- Typed SV Mess Queue.h
- Typed SV Mess Queue.i

#### [System\_V\_Semaphores]

- SV Semaphore C.cpp
- SV Semaphore Complex.h
- SV Semaphore Complex.i
- SV Semaphore S.cpp
- SV Semaphore Simple.h
- SV Semaphore Simple.i

#### [System\_V\_Shared\_Memory]

- SV Shared Memory.cpp
- SV Shared Memory.h
- SV Shared Memory.i

#### [Timers]

- High Res Timer.cpp
- High Res Timer.h
- High Res Timer.i
- Profile Timer.cpp
- Profile Timer.h
- Profile Timer.i
- Time Request Reply.cpp
- Time Request Reply.h
- Time Value.h
- Timer Hash.cpp
- Timer Hash.h
- Timer Hash T.cpp

- Timer Hash T.h
- Timer Heap.cpp
- Timer Heap.h
- Timer Heap T.cpp
- Timer Heap T.h
- Timer List.cpp
- Timer List.h
- Timer List T.cpp
- Timer List T.h
- Timer Queue.cpp
- Timer Queue.h
- Timer Queue.i
- Timer Queue Adapters.cpp
- Timer Queue Adapters.h
- Timer Queue Adapters.i
- Timer Queue T.cpp
- Timer Queue T.h
- Timer Queue T.i
- Timer Wheel.cpp
- Timer Wheel.h
- Timer Wheel T.cpp

- Timer Wheel T.h

#### [Token\_Service]

- Local Tokens.cpp
- Local Tokens.h
- Local Tokens.i
- Remote Tokens.cpp
- Remote Tokens.h
- Remote Tokens.i
- Token Collection.cpp
- Token Collection.h
- Token Collection.i
- Token Manager.cpp
- Token Manager.h
- Token Manager.i
- Token Request Reply.cpp
- Token Request Reply.h
- Token Request Reply.i
- Token Invariants.h
- Token Invariants.i
- Token Invariants.cpp

# ANEXA D : LISTING-UL PROIECTULUI INFORMATIC (MODULELE PRINCIPALE)

## Alarm\_analyzer.cpp

```
//-----  
// AUTHOR : Serafin P  
// PROJECT : OMNeT++ Alarm Analyzer  
// DOMAIN : Program Principal  
//-----  
@file Alarm_analyzer.cpp  
@brief program principal  
//-----  
#ifndef __ALARM_ANALYZER_cc__  
#define __ALARM_ANALYZER_cc__  
  
#include <sys/resource.h>  
#include "ALARM_ANALYZERMacros.h"  
#include "ace/Service_Conf.h"  
#include "ace/Reactor.h"  
#include "ALARM_ANALYZER_Configurator.h"  
#include "InternalErrors.h"  
#include "platformsup.h"  
#include "ALARM_ANALYZER_EXCEPTION.h"  
#include "OmaTrace.h"  
#include "Signal_Event_Handler.h"  
  
int ACE_TMAIN(int argc, ACE_TCHAR *argv[])  
{  
    int status,local;  
    // autorizare coredump  
    struct rlimit rlp ;  
    getrlimit ( RLIMIT_CORE, &rlp ) ;  
    if (rlp.rlim_cur == 0 )  
    {  
        rlp.rlim_cur = rlp.rlim_max ;  
        setrlimit ( RLIMIT_CORE, &rlp ) ;  
    }  
  
    // transfer optiuni API (ptr debug si trase)  
    int res = platformSupGetOpt(argc,argv);  
    // lectura fisier de configuratie  
    ALARM_ANALYZER_Configurator::Init();  
    // init parametrare OmaLog : aplicatie + LOG  
    OmaLog::setappliName("Alarm Analyzer");  
    status = ALARM_ANALYZER_Configurator::GetLong ("ALARM_ANALYZER_CONF", local);  
    if ((status == ServerConfigurator::UNKNOWN_SYMBOL) ||  
        (status == ServerConfigurator::CONVERT_ERROR))  
    {  
        local = LOG_LOCAL0;  
    }  
    OmaLog::setlocal(local);  
    ALARM_ANALYZER_LOG_NOTICE(1,"log_service " << NB_MAX)  
    // start aplicatie debug (daca e parametrata)  
#ifndef ALARM_ANALYZER_NTRACE  
    string traceFile;  
    if (!ALARM_ANALYZER_Configurator::GetString("ALARM_ANALYZER_TRACE",traceFile))  
    {  
        OmaSard::ServerTrace::CreateTheServerTrace(traceFile.c_str(),0); // no flip/flop  
        OmaSard::ServerTrace::GetTheServerTrace().enable()  
        int omaTraceLevel;  
        // initializarea nivel trase  
        string omaTraceLevelStr;  
        int retcode = ALARM_ANALYZER_Configurator::GetString("TRACE_LEVEL",omaTraceLevelStr);  
        if (!retcode)  
        {  
            omaTraceLevel = strtol(omaTraceLevelStr.c_str(),NULL,NB_MAX);  
        }  
        else  
        {  

```

```

        omaTraceLevel = Trace::FILTER_NONE;
    }
    OmaSard::ServerTrace::GetTheServerTrace().setFilter(omaTraceLevel);
}
#endif

//-----
// initialize servicii ACE
//-----
// apelare configurator de servicii (ptr evitare conflicte)
char *aceArgv[3];
aceArgv[0] = argv[0];
aceArgv[1] = "-f"; // flag modificare fisier de configurare
aceArgv[2] = ". Alarm_Analyzer_conf/Alarm_Analyzer.conf";
// fisier de configurare ACE
int nberror = ACE_Service_Config::open (3,aceArgv);
if (nberror)
{
    MAIN_TRACE("eroare servicii ACE");
    ALARM_ANALYZER_LOG_ERROR(ERRNO_ALARM_ANALYZER_CONFIG_ERROR,
        "Services loading error");
    exit(E_PLATFORMSUP_BADCONFIGURATION);
}
MAIN_TRACE("main() return from ACE_Service_Config");

//-----
// event loop (gestiune servicii ACE)
//-----
// abonament la semnale de evenimente SIGUSR1
Signal_Event_Handler sigHandler;
ACE_Sig_Handler handler;
handler.register_handler(SIGUSR1, &sigHandler);
// ACE_Reactor::instance()->run_reactor_event_loop();
while (1)
{
    MAIN_TRACE("main() before : ");
    int retval = ACE_Reactor::instance()->handle_events();
    MAIN_TRACE("main() after : " << retval);
}
return 0;
}
#endif

```

### Chronicle ManagementImpl.cpp

```

//-----
// AUTHOR : Serafin P
// PROJECT : OMNeT++ Alarm Analyzer
// DOMAIN : Net Management
//-----
@file ChronicleManagementImpl.cpp
@brief interfata algoritmului
//-----
#ifdef __ChronicleManagementImpl_cc__
#define __ChronicleManagementImpl_cc__

#include <stdio.h>
#include "ChronicleManagementImpl.hh"
#include "ALARM_ANALYZER_Configurator.hh"
#include "AlarmClasses.hh"
#include "ALARM_ANALYZER_Service_Object.hh"
#include "ChronicleService.hh"
#include "PETRI_Service_Task.hh"
#include "OmaIdlException.hh"
#include "OMNETErrorCodeC.h"
#include "OMNETFrameIdC.h"
#include "Frame.hh"
#include "CommonError.hh"
#include "TemporaryDifferedHandle.hh"
#include "CMD.hh"

```

```

#include "Act1ErrorCodes.h"
#include "CHRONICLEClient.h"
#include "CHRONICLEClientFactory.h"
#include "PETRI_Automaton.h"
#include "SetAutomaton"
#include "CHRONICLEFrame.h"
#include <unistd.h>

string ChronicleManagementImpl::_LnkNameChronicleSessionCpt = "";
unsigned long ChronicleManagementImpl::ChronicleSessionCpt =
ChronicleManagementImpl::initChronicleSessionCpt_i();
int ChronicleManagementImpl::firstSessionInd = 1;
int ChronicleManagementImpl::_fistCHRONICLECommand = 0;

//-----
// constructor
//-----
ChronicleManagementImpl::ChronicleManagementImpl()
{
    int l_ret = 0;
    // test prima sesiune, return imediat daca indicatorul neactualizat in destructor
    if (firstSessionInd)
    {
        PETRI_TRACE("ChronicleManagementImpl::ChronicleManagementImpl()");
        return;
    }
    try
    {
        // recuperarea serviciului CHRONICLE
        ALARM_ANALYZER_Service_Object *ChronicleService;
        ChronicleService = ALARM_ANALYZER_Service_Object::GetTheServiceObject
(PETRI_SERVICE_NAME);
        Int_ProtSession = NULL;
        client = NULL;
        firstAlarm = true;
        if (ChronicleService)
        {
            PETRI_Service_Task *ChronicleServiceTask;
            ChronicleServiceTask = (PETRI_Service_Task*)ChronicleService->getServiceTask();
            if (ChronicleServiceTask)
            {
                // deschidere sesiune
                ChronicleSessionFactory = ChronicleServiceTask->getSessionFactory();
                Int_ProtSession = new PETRI_INT_PROTSession((Act1Impl::InterfaceImpl*)this);
                int reopenINT_PROTSync;
                if (ChronicleSessionFactory)
                    reopenINT_PROTSync = ChronicleSessionFactory->openINT_PROTSync(Int_ProtSession);
                // creare client asociat automatului
                if (reopenINT_PROTSync == 0) {
                    ChronicleClientFactory = ChronicleServiceTask->getClientFactory();
                    l_ret = ChronicleClientFactory -> addCHRONICLEClient(&client);
                } else {
                    ChronicleSessionFactory->removeSession(Int_ProtSession);
                }
                // crearea automatului si initializarea clientului
                if( (!reopenINT_PROTSync) && (l_ret == 0))
                {
                    ChronicleSessionId = getNewChronicleSessionCptVal_i();
                    automaton = new PETRI_Automaton;
                    client -> setSessionId(Int_ProtSession);
                    client -> setAutomatonId(automaton);
                    Int_ProtSession -> setCHRONICLEClient(client);
                    return;
                }
                else
                {
                    OmaSard::OmaIdleException exceptionINT_PROTKo (OMNET::UNABLE_TO_OPEN_THE_SESSION);
                    exceptionINT_PROTKo.addFrame(OMNET::OMNET_UNABLE_TO_OPEN_THE_SESSION_FRAME_ID);
                    OmaSard::StringFrameAttribute serviceName(PETRI_SERVICE_NAME);
                    exceptionINT_PROTKo.addAttributeToLastFrame(serviceName);
                }
            }
        }
    }
}

```

```

    PETRI_TRACE("ChronicleManagementImpl::ChronicleManagementImpl()");
    OMNET : " << exceptionINT_PROTKo.getStringDescription();
            throw exceptionINT_PROTKo.getPlatformError();
        }
    }
    OmaSard::OmaIdleException exception(OMNET::SERVICE_NOT_STARTED);
    exception.addFrame(OMNET::OMNET_SERVICE_NOT_STARTED_FRAME_ID);
    OmaSard::StringFrameAttribute serviceName(PETRI_SERVICE_NAME);
    exception.addAttributeToLastFrame(serviceName);
    PETRI_TRACE("ChronicleManagementImpl::ChronicleManagementImpl()");
    OMNET : " << exception.getStringDescription();
            throw exception.getPlatformError();
    }
    catch(Platform::Error error)
    {
        PETRI_TRACE("Platform::Error " << error);
        throw error;
    }
    catch (System::Exception)
    {
        PETRI_TRACE("SystemException ");
        throw OmaSard::ComSystemError();
    }
} // deschidere sesiune de comunicare

//-----
// destructor
//-----
ChronicleManagementImpl::~ChronicleManagementImpl()
{
    // test prima sesiune si init control
    if (firstSessionInd)
    {
        firstSessionInd = 0;
        PETRI_TRACE("ChronicleManagementImpl::ChronicleManagementImpl()");
        return;
    }
    // destructor automat
    delete automaton;
    // stergere ChronicleSessionId din topologie
    TemporaryDifferedHandle::deleteChronicleSessionID(ChronicleSessionId);
    PETRI_TRACE("ChronicleManagementImpl::~ChronicleManagementImpl()");
    TemporaryDifferedHandle::dump();
    // destructor client
    ChronicleClientFactory -> removeCHRONICLEClient(client);
    // inchidere sesiune
    if (Int_ProtSession -> getState() == INT_PROTSession::activ)
    ChronicleSessionFactory -> closeINT_PROTSync(Int_ProtSession);
    PETRI_TRACE("ChronicleManagementImpl::~ChronicleManagementImpl()");
    Int_ProtSession -> close();
    ChronicleSessionFactory -> removeSession(Int_ProtSession);
}

//-----
// start ptr metode
//-----
void ChronicleManagementImpl::ChronicleCommand
(const OMNET::Chronicle::Command_Argument & argument,
 OMNET::Chronicle::ChronicleCallBack_ptr callback,
 OMNET::Invoke_Id invokeId, const char * systemId)
ACE_THROW_SPEC ((CORBA::SystemException, Platform::Error))
{
    try
    {
        TDIRFASU refAuto;
        const char * data;
        unsigned long len;
        unsigned short classArray;
        string className = "";
        int nbAuthClass = 0;
    }
}

```

```

string mode=""; // control
char com[7];
size_t taille;
const char * delims = " ";
PETRI_TRACE("ChronicleManagementImpl::ChronicleCommandReceived " << this << " ");
if ( _firstCHRONICLECommand == 0 )
{ // citire o singura data la prima cerere
    PETRI_TRACE("ChronicleManagementImpl::ChronicleCommandReceived " << this << " ");
    CMD::ReadCMD();
    _firstCHRONICLECommand = 1;
}

// recuperarea claselor din fisierul CMD
PLATFORM_ACCESS_CONTROL_BEGIN_METHOD();
if (firstAlarm) // UserName and SessionName
{
    // referinta ALARM_ANALYZER in mesaj sesiune catre client COPBA
    Int_ProtSession -> setRefAlarm_Analyzer(ActlImpl::InterfaceImpl::getUserName().data());
    // creare element in retea
    TemporaryDifferedHandle::createChronicleSessionID
    (ActlImpl::InterfaceImpl::getSessionName().data(), ChronicleSessionId);
    PETRI_TRACE("ChronicleManagementImpl::ChronicleCommandReceived " << this << " ");
    << TemporaryDifferedHandle::dump();
    firstAlarm = false;
}
ALARM_ANALYZER_Configurator::GetString("ALARM_MODE",mode);
if (mode == "ALARM")
{
    // verificare autorizare
} else
{
    // recuperarea clasei modulului
    tail = strcspn(argument.info, delims);
    if (tail <= 6) {
        strncpy(com, argument.info, tail);
        com[tail] = '\0';
    } else {
        PETRI_TRACE("ChronicleManagementImpl::ChronicleCommandReceived " << this << " ");
        Platform::ParamList params;
        throw Platform::Error(Platform::AccessControl::UNAUTHORIZED_METHOD, params);
    }
}
// exception defined in ActlErrorCode.idl
}
PETRI_TRACE("ChronicleManagementImpl::ChronicleCommandReceived " << this << " ");
dimensiune : " << tail);
classArray = CMD::GetClass(string(com));
for (int i = 0; i < 16; i++) {
    if ((classArray >> i) & 1) {
        char number[4];
        sprintf(number, "%d", i+1);
        string className = string(ALARM_CLASSE_PREFIX) + string(number);
        PETRI_TRACE("cerere autorizare: " << className << " sir " << com);
        // daca autorizat increment nbAuthClass
        try
        {
            PLATFORM_ACCESS_CONTROL_BEGIN_METHOD();
            ActlImpl::InterfaceImpl::beginMethod(className);
            ActlImpl::InterfaceImpl::endMethod(className);
            nbAuthClass++;
            PETRI_TRACE(className << " nbAuthClass = " << nbAuthClass);
        }
        catch(Platform::Error error)
        {
            PETRI_TRACE(error << " " << className << " unauthorized");
        }
    }
}
}
// daca nici o clasa nu este autorizata "unauthorized method"
if (nbAuthClass == 0) {
    PETRI_TRACE("ChronicleManagementImpl::ChronicleManagementImpl : non autorizat : " <<
    PETRI_SERVICE_NAME);
}

```

```

Platform::ParamList params;
throw Platform::Error(Platform::AccessControl::UNAUTHORIZED_METHOD, params);
exception
}
// verificarea automatului
if (automaton -> ChronicleCommand() == -1) {
    PETRI_TRACE("I/O error: release failed: %d", 1);
" << PETRI_SERVICE_NAME);
    OmaSard::OmaIdleException exception(OMNET::UNEXPECTED_METHODE);
    exception.addFrame(OMNET::OMNET_UNEXPECTED_METHODE_FRAME_ID);
    OmaSard::StringFrameAttribute serviceName(PETRI_SERVICE_NAME);
    exception.addAttributeToLastFrame(serviceName);
    throw exception.getPlatformError();
}
// test IOR receptionat
OMNET::Chronicle::ChronicleCallback_ptr test =
OMNET::Chronicle::ChronicleCallback::_narrow(callback);
if (CORBA::is_nil(test))
{
    CORBA::release(test);
    // IOR receptionat eronat LOG
    ALARM_ANALYZER_LOG_WARNING (ERRNO_PETRI_BAD_IOR, "Bad IOR " " ");
    // emisie exceptie
    OmaSard::SymbolicFrameAttribute paramId("Bad IOR");
    OmaSard::StringFrameAttribute value("");
    OmaSard::ComBadParameterValue except(paramId, value);
    PETRI_TRACE("emisie exceptie : " << except.getStringDescription());
    throw OmaIdleException::GetPlatformError(except);
}
CORBA::release(test);
// adresare raspuns
client -> setIOR(callback);
client -> setInvokeId(invokeId);
client -> setSystemId(systemId);
// format mesaj sesiune
memset(&refAuto, '\0', sizeof(TDIRFASU));
strncpy(refAuto.sdedif, argument.accessSystem,
        OMNET::Chronicle::ACCESS_SYSTEM_NAME_MAX_SIZE);
switch(argument.activator._d())
{
    case OMNET::AT_OPERATOR :
        strncpy(refAuto.nopInt_Prot, (const char *)
            argument.activator.operatorName(), OMNET::OPERATOR_NAME_MAX_SIZE);
        break;
    case OMNET::AT_NMU_APPLICATION :
        refAuto.nopInt_Prot[0] = RefAuto_NMC;
        strncpy(&refAuto.nopInt_Prot[1], (const char *)
            argument.activator.nmuAppli().nmuAppliName, OMNET::MMU_APPLI_NAME_SIZE);
        for (int i = 0; i < OMNET::MMU_APPLI_INFO_SIZE; i++)
        {
            refAuto.nopInt_Prot[OMNET::MMU_APPLI_NAME_SIZE + i + 1] =
argument.activator.nmuAppli().nmuAppliInfo[i];
        }
        break;
    case OMNET::AT_OTHER_APPLICATION :
        refAuto.nopInt_Prot[0] = RefAuto_OTHER;
        strncpy(&refAuto.nopInt_Prot[1], (const char
*)argument.activator.otherAppli().otherAppliName, OMNET::OTHER_APPLI_NAME_SIZE);
        for (int i = 0; i < OMNET::OTHER_APPLI_INFO_SIZE; i++)
        {
            refAuto.nopInt_Prot[OMNET::OTHER_APPLI_NAME_SIZE + i + 1] =
argument.activator.otherAppli().otherAppliInfo[i];
        }
        break;
    default : // exceptie
        break;
}
strncpy(refAuto.refcde, argument.command, OMNET::COMMAND_NAME_MAX_SIZE);
// Chronicle id
memcpy(refAuto.nevjo, &ChronicleSessionId, sizeof(ChronicleSessionId));
if (ChronicleSessionFactory -> getSocketState() == INT_PROTSessionFactory::ES)

```



```

{
    len = strlen(argument.info);
    data = argument.info;
    Int_ProtSession -> PETRI_request(&refAuto, (char *)data, len);
} else
{
    OmaSard::OmaIdlException exception(OMNET::UNABLE_TO_OPEN_THE_SESSION);
    exception.addFrame(OMNET::OMNET_UNABLE_TO_OPEN_THE_SESSION_FRAME_ID);
    OmaSard::StringFrameAttribute serviceName(PETRI_SERVICE_NAME);
    exception.addAttributeToLastFrame(serviceName);
    PETRI_TRACE("ChronicleManagementImpl::ChronicleRequest " << this << " ");
<< exception.getStringDescription();
    throw exception.getPlatformError();
}
}
catch(Platform::Error error)
{
    PETRI_TRACE("Platform::Error " << error);
    throw error;
}
PETRI_TRACE("ChronicleManagementImpl::ChronicleRequest " << this << " ");
}
}

//-----
// raspundere la o cerere (validare sau relansare)
//-----
void ChronicleManagementImpl::ChronicleExtraInfoReply (const
OMNET::Chronicle::Extra_Info_Result & result, OMNET::Invoke_Id invokeId,
const char * systemId)
ACE_THROW_SPEC ((CORBA::SystemException, Platform::Error))
{
    const char * data;
    unsigned long len;
    PETRI_TRACE("ChronicleManagementImpl::ChronicleExtraInfoReply " << result.type);
    try
    {
        if (ChronicleSessionFactory -> getSocketState() == INT_PROTsessionFactory::ES)
        {
            len = strlen(result.informations);
            data = result.informations;
            PETRI_TRACE("stare automat " << automaton -> dump());
            if ((result.type == OMNET::QT_CONFIRM)
                &&
                ((automaton -> ChronicleValidationReply()) == 1)) {
                Int_ProtSession -> PETRI_validation_reply((char *)data, len);
                return;
            } else
            if ((result.type == OMNET::QT_EXTRAINFO)
                &&
                ((automaton -> ChronicleExtraInfoReply()) == 1)) {
                Int_ProtSession -> PETRI_additional_line_reply((char *)data, len);
                return;
            } else {
                OmaSard::OmaIdlException exception(OMNET::UNEXPECTED_METHODE);
                exception.addFrame(OMNET::OMNET_UNEXPECTED_METHODE_FRAME_ID);
                OmaSard::StringFrameAttribute serviceName(PETRI_SERVICE_NAME);
                exception.addAttributeToLastFrame(serviceName);
                PETRI_TRACE("ChronicleManagementImpl::ChronicleManagementImpl
reastepnat : " << exception.getStringDescription());
                throw exception.getPlatformError();
            }
        } else {
            OmaSard::OmaIdlException exception(OMNET::UNABLE_TO_OPEN_THE_SESSION);
            exception.addFrame(OMNET::OMNET_UNABLE_TO_OPEN_THE_SESSION_FRAME_ID);
            OmaSard::StringFrameAttribute serviceName(PETRI_SERVICE_NAME);
            exception.addAttributeToLastFrame(serviceName);
            PETRI_TRACE("ChronicleManagementImpl::ChronicleManagementImpl
" << exception.getStringDescription());
            throw exception.getPlatformError();
        }
    }
}
}

```

```

catch(Platform::Error error)
{
    PETRI_TRACE("SystemException ");
    throw OmaSard::ComSystemError();
}
}

//-----
// abandonare candidate
//-----
void ChronicleManagementImpl::ChronicleCancel (OMNET::Invoke_Id invokeId, const char *
systemId)
ACE_THROW_SPEC ((CORBA::SystemException, Platform::Error))
{
    PETRI_TRACE("ChronicleManagementImpl::ChronicleCancel ");
    try
    {
        if (ChronicleSessionFactory -> getSocketState() == INT_PROTSessionFactory::ES)
        {
            if ((automaton -> ChronicleCancel()) == -1) { // verific state machine
                OmaSard::OmaIdleException exception(OMNET::UNEXPECTED_METHODE);
                exception.addFrame(OMNET::OMNET_UNEXPECTED_METHODE_FRAME_ID);
                OmaSard::StringFrameAttribute serviceName(PETRI_SERVICE_NAME);
                exception.addAttributeToLastFrame(serviceName);
                PETRI_TRACE("ChronicleManagementImpl::ChronicleCancel ");
                " << exception.getStringDescription();
                throw exception.getPlatformError();
            } else
                Int_ProtSession -> PETRI_abort();
        } else
        {
            OmaSard::OmaIdleException exception(OMNET::UNABLE_TO_OPEN_THE_SESSION);
            exception.addFrame(OMNET::OMNET_UNABLE_TO_OPEN_THE_SESSION_FRAME_ID);
            OmaSard::StringFrameAttribute serviceName(PETRI_SERVICE_NAME);
            exception.addAttributeToLastFrame(serviceName);
            PETRI_TRACE("ChronicleManagementImpl::ChronicleCancel ");
            " << exception.getStringDescription();
            throw exception.getPlatformError();
        }
    }
    catch(Platform::Error error)
    {
        PETRI_TRACE("SystemException ");
        throw OmaSard::ComSystemError();
    }
}

//-----
// sfarsit metode
//-----
//-----
// implementare interfata
//-----
ActlImpl::InterfaceImpl* ChronicleManagementImpl::CreateImplInstance()
{
    ActlImpl::InterfaceImpl* interfaceI;
    interfaceI = new ChronicleManagementImpl();
    PETRI_TRACE("ChronicleManagementImpl::CreateImplInstance " << interfaceI);
    return interfaceI;
}

string* ChronicleManagementImpl::GetMethodes()
{
    string *methodes;
    int methodesNumber =0;
    string mode="";
    ALARM_ANALYZER_Configurator::GetString("ACTL_MODE",mode);
    if (mode == "ALARM")
    {
        // declararea tuturor comenzilor
        methodesNumber = CMD::GetALARMNumber();
        methodes = CMD::GetALARMList();
    }
}

```

```

    for (int j = 0; j < methodesNumber; j++)
        PETRI_TRACE("methode " << j << " " << methodes[j]);
}
else
{
    // declararea tuturor claselor
    methodesNumber = MAX_ALARM_CLASSE_NUMBER-MIN_ALARM_CLASSE_NUMBER+1;
    methodes = new string[methodesNumber];
    for (int i = MIN_ALARM_CLASSE_NUMBER; i<= MAX_ALARM_CLASSE_NUMBER; i++)
    {
        char number[4];
        sprintf(number,"%d",i);

        string className = string(ALARM_CLASSE_PREFIX) + string(number);
        methodes[i-MIN_ALARM_CLASSE_NUMBER] = className;
        PETRI_TRACE("PETRI_Service_Inc::ave metode:" << i << " = " << className);
    }
}
return methodes;
}
int ChronicleManagementImpl::GetMethodesNumber()
{
    int methodesNumber =0;
    string mode="";
    ALARM_ANALYZER_Configurator::GetString("MODE_PAPER",mode);
    if (mode == "ALARM")
    {
        methodesNumber = CMD::GetALARMNumber();
    }
    else
    {
        methodesNumber = MAX_ALARM_CLASSE_NUMBER-MIN_ALARM_CLASSE_NUMBER+1;
    }
    return methodesNumber;
}

//-----
// static method,  initChronicleSessionCpt_i()
//-----
unsigned long  ChronicleManagementImpl::initChronicleSessionCpt_i()
{
    unsigned long ret = 1; // valoare initiala pt secventa
    char buffer[10000];
    int nb_read;
    PETRI_TRACE(" ChronicleManagementImpl::ini ChroniSessionCpt_i() ");
    if (ALARM_ANALYZER_Configurator::GetString(SERVICE_PETRI_SESSIONCPT_FILE_NAME_LNK,
ChronicleManagementImpl::_LnkNameChronicleSessionCpt) != ServerSConfigurator::SUCCEED)
    {
        ChronicleManagementImpl::_LnkNameChronicleSessionCpt =
DefaultChronicleSessionCpt_LNK_NAME;
        PETRI_TRACE(" ChronicleManagementImpl::iniChronicleSessionCpt
_LnkNameChronicleSessionCpt nu este in configurator " <<
DefaultChronicleSessionCpt_LNK_NAME);
        ALARM_ANALYZER_LOG_ERROR (ERRNO_ALARM_ANALYZER_SESSIONCPT_FILE_CFG, \
" ChronicleManagementImpl::initChronicleSessionCpt      \n");
    } // nu este in configurator
    nb_read = readlink (ChronicleManagementImpl::_LnkNameChronicleSessionCpt.data(),
buffer, sizeof(buffer) -1 );
    if (nb_read == -1)
    {
        PETRI_TRACE(" ChronicleManagementImpl::initChronicleSessionCpt_i()
nb_read = -1 ");
    }
    else if ( nb_read >= sizeof(buffer) -1)
    {
        PETRI_TRACE(" ChronicleManagementImpl::initChronicleSessionCpt_i()
long string in return from system call ");
    }
    else
    {

```

```

        buffer[nb_read] = '\0';
        sscanf(buffer, "%i", &ret);
    }
    PETRI_TRACE(" ChronicleManagementImpl::getNewChronicleSessionCptVal_i() << ret );
    return ret;
}
//-----
//      getNewChronicleSessionCptVal_i
//-----
unsigned long ChronicleManagementImpl::getNewChronicleSessionCptVal_i()
{
    char buffer[1000];
    static ACE_Thread_Mutex ChronicleSessionCptMutex(0,0);
    int ret =0;
    PETRI_TRACE(" ChronicleManagementImpl::getNewChronicleSessionCptVal_i() ");
    ACE_GUARD_RETURN (ACE_Thread_Mutex, local_guard, ChronicleSessionCptMutex , 0);
    // get a new value
    ChronicleManagementImpl::ChronicleSessionCpt++;
    if (ChronicleManagementImpl::ChronicleSessionCpt == 0) // 0 = reserved
        ChronicleManagementImpl::ChronicleSessionCpt++;
    sprintf(buffer, "%i", ChronicleManagementImpl::ChronicleSessionCpt);
    // create a name equal to current id in file system
    ret = unlink(ChronicleManagementImpl::_LnkNameChronicleSessionCpt.data());
    if (ret == -1)
    {
        PETRI_TRACE(" ChronicleManagementImpl::getNewChronicleSessionCptVal_i() ");
        ret -1 from OMNET call, buffer is " << buffer \
        << "_LnkNameChronicleSessionCpt is " <<
        ChronicleManagementImpl::_LnkNameChronicleSessionCpt);
    }
    ret = symlink (buffer ,
    ChronicleManagementImpl::_LnkNameChronicleSessionCpt.data() );
    if (ret == -1)
    {
        PETRI_TRACE(" ChronicleManagementImpl::getNewChronicleSessionCptVal_i() ");
        ret -1 from OMNET call, buffer is " << buffer \
        << "_LnkNameChronicleSessionCpt is " <<
        ChronicleManagementImpl::_LnkNameChronicleSessionCpt);
    }
    else
    {
        PETRI_TRACE(" ChronicleManagementImpl::getNewChronicleSessionCptVal_i() ");
        ret 0x from OMNET call, buffer is " << buffer \
        << "_LnkNameChronicleSessionCpt is " <<
        ChronicleManagementImpl::_LnkNameChronicleSessionCpt);
    }
    PETRI_TRACE(" ChronicleManagementImpl::getNewChronicleSessionCptVal_i() ");
    return ChronicleManagementImpl::ChronicleSessionCpt;
}
#endif

```

## CMD.cpp

```

//-----
// AUTHOR : Serafin P
// PROJECT : OMNeT++ Alarm Analyzer
// DOMAIN : Common File
//-----
@file CMD.cpp
@brief modul comun
//-----
#ifndef __CMD_cc__
#define __CMD_cc__

#include "CMD.hh"
#include "ebcdicconverter.hh"
#include "ALARM_ANALYZER_Configurator.hh"
#include "ALARM_ANALYZERCOMMON.hh"
#include "CHRONICLEErrno.hh"
#include <iostream>

```

```

#include <fstream>
using namespace std;

//-----
// dimensiune header
//-----
#define HEADER_SIZE 1

//-----
// structura unui articol
//-----
#pragma pack (push, 1)
typedef struct element {
#include "CPSCMD.h"
} element;
#pragma pack (pop)

map <string, unsigned short>  CMD::_AlarmClass;
unsigned long                CMD::_AlarmNumber;
string *                     CMD::_AlarmList;
string                       CMD::_CMD;

//-----
// Scop : citirea unui fisier pentru construirea topologiei retelei
// Etape :
// citirea PATH in fisierul de configurare
// deschiderea fisierului de topologia ca fisier binar
// ignorarea header-ului
// while operatiile asupra topologiei sunt OK
// citirea unui articol
// setarea string-ului EBCDIC
// transformarea EBCDIC - ASCII
// asocierea unei clase pentru articolul ASCII
// inchiderea fisierului
// construirea retelei din lista de articole
//-----
void CMD::ReadCMD(void)
{
    string ebcDicStr = "";
    char  command[7];
    string asciiStr = "";

    element article;
    map <string, unsigned short>::iterator i;
    int  rg = 0;
    ifstream CMD_fic;
    int  len;

    if (ALARM_ANALYZER_Configurator::GetString("CMD_PATH", _cmd) !=
ServerConfigurator::SUCCEEDED){
        _cmd = "cmd";
    }
    _AlarmNumber = 0;
    cmd_fic.open(_cmd.data(), ios::binary);
    cmd_fic.seekg(0, ios_base::end);
    len = cmd_fic.tellg();
    if ((len == 0) || (len == -1))
        ALARM_ANALYZER_LOG_WARNING(ERRNO_ALARM_ANALYZER_EMPTY_CMD, "CMD
inexistant");
    CMD_fic.seekg(HEADER_SIZE, ios::beg);
    int  indpr=0;
    int  nbtotalko=0;
    while (cmd_fic.good())
    {
        cmd_fic.read((char *)&article, sizeof(article));
        indpr++;
#ifdef onconservecontrolePSTROLD
        if ((article.pstr != 0)
            && (article.pstr != (short)0x0071)
            && (article.pstr != (short)0xFF00)
            && (article.pstr != (short)0x000B))

```

```

    {
        PETRI_TRACE("CMD::ReadCMD article nr. " << article.nord);
        ALARM_ANALYZER_LOG_DEBUG(ERRNO_ALARM_ANALYZER_BAD_CMD, " " <<
    <> 0x0000, 0x0000, 0x0000, 0x0071");
    }
    else
#endif
    {
        strncpy(command, article.cmde, sizeof(article.cmde));
        for (int j = 5; j > 0; j--)
        {
            if (command[j] == (char)0x40)
                command[j] = 0;
            else
                break;
        }
        command[6] = (char)0; // EOF string
#ifdef onkeepcontrolPSTROLD
        if (
            (article.pstr == (short)0)
            ||
            (article.pstr == (short)0x0071)
        )
#endif
        if ( (article.pstr >> 8 ) == (short)0)
        {
            ebcDicStr = command;
            if (ebcDicStr != "")
            {
                asciiStr = "" + EBCDICConverter::toASCII(ebcDicStr);
                _AlarmClass[asciiStr] = article.clas;
                _AlarmNumber++;
            } // string non vid
            else
            {
                // additionnal debug
                PETRI_TRACE("CMD::ReadCMD article nr. " << indpr << " ", article.nord,
string vid : " \ << ALARM_ANALYZERCOMMON::decodeHexa( (char *)&article , sizeof(article)
, NULL, 0, 30, 4)) ;
                nbtotalko++;
            }
        } // pstr 0000 sau.0071
        else
        {
            // additionnal debug
            PETRI_TRACE("CMD::ReadCMD article nr. " << indpr << " ", article.nord,
<< ALARM_ANALYZERCOMMON::decodeHexa( (char *)&article ,
sizeof(article) , NULL, 0, 30, 4)) ;
            PETRI_TRACE("CMD::ReadCMD article nr. " << indpr << " ",
primul octet pstr : " << hex << article.pstr << dec ); /*
                nbtotalko++;
            }
        } // else pstr rejectat
    } // end while
    CMD_fic.close();
    PETRI_TRACE("CMD::Read CMD terminator, numar total de articole citi " << indpr << " ",
dintre care "<< nbtotalko << " articole ignorate " );
    _AlarmList = new string[_AlarmNumber];
    for (i = _AlarmClass.begin(); i != _AlarmClass.end(); i++)
        _AlarmList[rg++] = i->first;
    PETRI_TRACE(dump());
}
//-----
// obtinerea string-ului ASCII referitor la cronici
// return 0 daca nu este in topologie
//-----
unsigned short CMD::GetClass(string command_)
{
    map <string, unsigned short >::iterator i;
    for (i = _AlarmClass.begin(); i != _AlarmClass.end(); i++) {
        if (i->first == command_) {
            return i->second;
        }
    }
}

```

```

    }
}
return (unsigned short)0;
}

//-----
// obtinerea numarului modulului din topologie
//-----
unsigned long CMD::GetALARMNumber(void)
{
    return _AlarmNumber;
}

//-----
// obtinerea listei de module
//-----
string * CMD::GetALARMList(void)
{
    return _AlarmList;
}

//-----
// dump pentru contextul topologiei
//-----
string CMD::dump(void)
{
    map<string, unsigned short >::iterator i;
    string str = "";
    char ligne[80];

    str = "\nCMD clase de comanda din sistem"; str += "\n"; str += _cmd;
    if (_AlarmNumber == 0)
        str += "\nNici un articol in sistemul CMD";
    else
        for (i = _AlarmClass.begin(); i != _AlarmClass.end(); i++) {
            sprintf(ligne, "%s - %s", (i->first).data(), i->second);
            str += ligne;
        }
    return str;
}
#endif

```

### CHRONICLEclientFactory.cpp

```

//-----
// AUTHOR : Serafin P
// PROJECT : OMNeT++ Alarm Analyzer
// DOMAIN : Generarea de cronici candidate
//-----
@file CHRONICLEclientFactory.cpp
@brief generare cronici candidate
//-----
#include "CHRONICLEclientFactory.h"
#include "CHRONICLEclient.h"
#include "ALARM_ANALYZERCOMMON.H"

//-----
// constructor
//-----
CHRONICLEclientFactory::CHRONICLEclientFactory(ServiceINT_PROTId s)
: ALARM_ANALYZERclientFactory(s)
{
    identServ = s;
    PETRI_TRACE("CHRONICLEclientFactory::CHRONICLEclientFactory(ServiceINT_PROTId s)");
}

//-----
// destructor
//-----
CHRONICLEclientFactory::~CHRONICLEclientFactory()
{

```

```

    PETRI_TRACE("CHRONICLEClientFactory::addCHRONICLEClient\n");
}

int CHRONICLEClientFactory::addCHRONICLEClient (CHRONICLEClient
**ppALARM_ANALYZERClient_)
{
    CHRONICLEClient* pClient;
    int ret = 0;

    pClient = new CHRONICLEClient(identServ, this -> _ALARM_ANALYZERSenderFactory);

    PETRI_TRACE("CHRONICLEClientFactory::addCHRONICLEClient\n" << pClient);

    if (pClient != NULL)
    {
        // adaugarea unui client in lista clasei mostenite
        ret = addALARM_ANALYZERClient (pClient);
        if (ret != 0)
        {
            delete pClient;
        }
    }
    else
    {
        ret = -1;
    }

    (*ppALARM_ANALYZERClient_) = pClient;
    return ret;
} // addCHRONICLEClient()

int CHRONICLEClientFactory::removeCHRONICLEClient (CHRONICLEClient* client)
{
    return removeALARM_ANALYZERClient( client);
}

string CHRONICLEClientFactory::dump(void)
{
    string str;
    str = "CHRONICLE client factory\n"; str += ALARM_ANALYZERClientFactory::dump();
    return str;
}

```

### Colector.cpp

```

//-----
// AUTHOR : Serafin P
// PROJECT : GMNet++ Alarm Analyzer
// DOMAIN : Colector de alarme
//-----
@file Colector.cpp
@brief modul colector de alarme

#include "IAS_Ala_Spon_Send.hh"
#include "ALARM_ANALYZERMacros.hh"
//-----
// IAS_Ala_Spon_Send : constructor
// Descriere : alocarea memoriei pentru sesiune
//-----
IAS_Ala_Spon_Send::IAS_Ala_Spon_Send()
{
    _message = new SASSType;
    memset(_message, 0, sizeof(SASSType));
    INT_PROTmessage::setHeaderAddress((char *)_message);

    return;
}
//-----
// ~OpenRequest : destructor
//-----

```





```

    if (_message->info_struct.chaine) {
        str+="chaine: ";
        str+*_message->info_struct.chaine;
        str+="\n";
    }
    sprintf(ligne, "comment: %s", _message->comment, _message-
>info_struct.infoe); str += ligne;
    return str;
}

```

### Alarm\_Management.cpp

```

//-----
// AUTHOR : Serafin F
// PROJECT : OMNeT++ Alarm Analyzer
// DOMAIN : Gestiunea alarmelor
//-----
@file Alarm_Management.cpp
@brief gestiune alarme
//-----
#include "EventManagerC.h"
#include "DeferredSpontaneousSubscriptionImpl.h"
#include "ALARM_ANALYZER_Configurator.h"
#include "ALARM_ANALYZER_COMMON.h"
#include "SpondiffService.h"
#include "SPONDIFF_Service_Task.h"
#include "SPONDAlarm_AnalyzerClientFactory.h"
#include "SPONDAlarm_AnalyzerClient.h"
#include "OmaIdlException.h"
#include "OMNETErrorCodeC.h"
#include "OMNETFrameIdC.h"
#include "Frame.h"
#include "CommonError.h"
#include "TemporaryDifferedHandle.h"
#include "Act1ErrorCodeC.h"
#include "OmaComErrorCodeC.h"
#include "SPONErrno.h"
#include "platformsupapi.h"

#define DeferredSpontaneousSubscriptionImpl_Methode_Number 2

//-----
// constructor
//-----
DeferredSpontaneousSubscriptionImpl::DeferredSpontaneousSubscriptionImpl()
{
    try
    {
        SPONDIFF_TRACE("DeferredSpontaneousSubscriptionImpl::DeferredSpontaneousSubscriptionImpl(): start interface " << this );

        if (init_i() == -1)
        {
            OmaSard::OmaIdlException exception(OMNET::SERVICE_NOT_STARTED);
            exception.addFrame(OMNET::OMNET_SERVICE_NOT_STARTED_FRAME_ID);
            OmaSard::StringFrameAttribute serviceName(SPONDIFF_SERVICE_NAME);
            exception.addAttributeToLastFrame(serviceName);

            SPONDIFF_TRACE("DeferredSpontaneousSubscriptionImpl::DeferredSpontaneousSubscriptionImpl(): " \ << " : serviciul nu este pornit, exceptia : " <<
exception.getStringDescription());
            throw exception.getPlatformError();
        } // error internal initialization
    } // try
    catch(Platform::Error error)
    {
        SPONDIFF_TRACE("DeferredSpontaneousSubscriptionImpl::DeferredSpontaneousSubscriptionImpl(): Platform::Error " << error);
        throw error;
    }
}

```

```

catch (SystemException)
{
    SPONDIFF_TRACE("DeferredSpontaneousSubscriptionImpl::SystemException");
    throw OmaSard::ComSystemError();
}
} // DeferredSpontaneousSubscriptionImpl()

//-----
// init_i() initialize interna
//-----
int DeferredSpontaneousSubscriptionImpl::init_i(void)
{
    int ret = 0;
    // client not initialized, ChronicleSubscription() not received
    _SPONDAalarm_AnalyzerClient = NULL;

    // initialize Client Factory ptr.
    ALARM_ANALYZER_Service_Object *spondService;
    spondService =
    ALARM_ANALYZER_Service_Object::GetTheServiceObject (SPONDIFF_SERVICE_NAME);

    if (spondService == NULL)
    {
        // severe error, exception to be send to caller
        ret = -1;
    }
    else
    {
        _SpondService_Task = (SPONDIFF_Service_Task*) spondService -
>getServiceTask();
        if (_SpondService_Task == NULL)
        {
            // severe error, exception to be send to caller
            ret = -1;
        }
        else
        {
            // get service identity label
            _identServ = _SpondService_Task -> getServiceINT_PROTId();
            _SPONDAalarm_AnalyzerClientFactory = _SpondService_Task -> getClientFactory();
            if (_SPONDAalarm_AnalyzerClientFactory == NULL)
                // severe error, exception to be send to caller
                ret = -1;
            // else ChronicleServiceTask valued
        } // else spondService valued
    }
    return ret;
} // init_i()

//-----
// destructor
//-----
DeferredSpontaneousSubscriptionImpl::~DeferredSpontaneousSubscriptionImpl()
{
    int ret;
    SPONDIFF_TRACE("DeferredSpontaneousSubscriptionImpl::~DeferredSpontaneousSubscriptionImpl(): destructor " << this );

    if (_SPONDAalarm_AnalyzerClient != NULL)
    {
        // remove client
        ret = deleteClient_i (&_SPONDAalarm_AnalyzerClient);
    }
} // ~DeferredSpontaneousSubscriptionImpl()

//-----
// TEMPORARY subscription request, EXTERNAL INTERFACE
//-----

void DeferredSpontaneousSubscriptionImpl::ChronicleSubscription (const OMNET::Rights
editionClasses,

```

```

OMNET::DeferredSpontaneous::EventCallBack_ptr callBack, OMNET::Invoke_Id invokeId, const
char * systemId)
    ACE_THROW_SPEC
((CORBA::SystemException, OMNET::Chronicle::Petri_Subscription_Invoke_Error,
Platform::Error))
{
    int ret;
    try
    {
        SPONDIFF_TRACE("DeferredSpontaneousSubscripionImpl::DeferredSpontaneousSubscripionImpl::createClient\n"
" << this << " Impl, invokeId=" << invokeId
" << " systemId=" << systemId);
        // rights control
        PLATFORM_ACCESS_CONTROL_BEGIN_METHOD(ChronicleSubscription);
        // test ICR receptionat
        OMNET::DeferredSpontaneous::EventCallBack_ptr test =
OMNET::DeferredSpontaneous::EventCallBack::_narrow(callBack);
        if (CORBA::is_nil(test))
        {
            CORBA::release(test);
            // ICR receptionat este eronat
            // LOG
            ALARM_ANALYZER_LOG_WARNING (ERRNO_ALARM_ANALYZER_SPON_BAD_IOR,
received in ChronicleSubscription method" );
            // emission d'une exception
            OmaSard::SymbolicFrameAttribute paramId(" ");
            OmaSard::StringFrameAttribute value("");
            OmaSard::ComBadParameterValue except(paramId, value);
            SPONDIFF_TRACE("emission exception : " << except.getStringDescription());
            throw OmaIdlException::GetPlatformError(except);
        }
        CORBA::release(test);
        if (_SPONDAlarm_AnalyzerClient == NULL)
        {
            // check INT_PROT session opened ok
            if (_SpondService_Task -> getINT_PROTsessionStateES() != true)
            {
                OmaSard::OmaIdlException exception(OMNET::SERVICE_NOT_STARTED);
                exception.addFrame(OMNET::OMNET_SERVICE_NOT_STARTED_FRAME_ID);
                OmaSard::StringFrameAttribute serviceName(SPONDIFF_SERVICE_NAME);
                exception.addAttributeToLastFrame(serviceName);
                SPONDIFF_TRACE("DeferredSpontaneousSubscripionImpl::DeferredSpontaneousSubscripionImpl::createClient\n"
" << this \ << " : INT_PROT NOT BE exception : " << exception.getStringDescription());
                throw exception.getPlatformError();
            } // Int_Prot session not opened ok
            // initial call, create client
            ret = createClient_i( &_SPONDAlarm_AnalyzerClient, editionClasses, true, callBack);
        }
        else
        {
            // next calls, update client
            ret = updateClient_i (&_SPONDAlarm_AnalyzerClient, editionClasses, true, callBack);
        }
        if (ret == -1)
        {
            OmaSard::OmaIdlException exception(OMNET::INTERNAL_ERROR);
            exception.addFrame(OMNET::OMNET_INTERNAL_ERROR_FRAME_ID);
            OmaSard::StringFrameAttribute serviceName(SPONDIFF_SERVICE_NAME);
            exception.addAttributeToLastFrame(serviceName);
            SPONDIFF_TRACE("DeferredSpontaneousSubscripionImpl::DeferredSpontaneousSubscripionImpl::createClient\n"
" << this \ << " : internal error exception : " << exception.getStringDescription());
            throw exception.getPlatformError();
        }
        else
        {
            return;
        }
    } // try
    catch(Platform::Error error)
    {

```

```

        SPONDIFF_TRACE("DeferredSpontaneousSubscriptionImpl::createClient() " << this << "\n");
    } // createClient()
    throw error;
} // createClient()

} // ChronicleSubscription()

//-----
// getSubscriptionInfo() : query drepturi abonament
//-----
::OMNET::Rights_slice * DeferredSpontaneousSubscriptionImpl::getSubscriptionInfo ()
    ACE_THROW_SPEC ((CORBA::SystemException, Platform::Error))
{
    // control drepturi
    PLATFORM_ACCESS_CONTROL_BEGIN_METHOD(getSubscriptionInfo);
    try
    {
        ::OMNET::Rights_var rights = new OMNET::Rights ;
        SPONDIFF_TRACE("DeferredSpontaneousSubscriptionImpl::getSubscriptionInfo() " << this << "\n");
        for " << this << " impl, client is " << _SPONDAlarm_AnalyzerClient );
        // citire drepturi de la client și actualizare str
        if (_SPONDAlarm_AnalyzerClient != NULL)
        {
            (_SPONDAlarm_AnalyzerClient -> getEditionClasses()) ->
getOMNETRights(rights.inout());
            SPONDIFF_TRACE("DeferredSpontaneousSubscriptionImpl::getSubscriptionInfo() " << this << "\n");
            client is " << _SPONDAlarm_AnalyzerClient << " \n";
            << (_SPONDAlarm_AnalyzerClient -> getEditionClasses()) -> dump() );
        } // client creat
        else
        {
            OmaSard::OmaIdleException exception(OMNET::NO_SUBSCRIPTION);
            exception.addFrame(OMNET::NO_SUBSCRIPTION_FRAME_ID);
            OmaSard::StringFrameAttribute serviceName(SPONDIFF_SERVICE_NAME);
            exception.addAttributeToLastFrame(serviceName);
            SPONDIFF_TRACE("DeferredSpontaneousSubscriptionImpl::getSubscriptionInfo() " << this << "\n");
            dump " \ << " : interval since exception : " << exception.getStringDescription();
            throw exception.getPlatformError();
        }
        return rights._retn();
    } // try
    catch(Platform::Error error)
    {
        SPONDIFF_TRACE("DeferredSpontaneousSubscriptionImpl::getSubscriptionInfo() " << this << "\n");
        throw error;
    }
} // getSubscriptionInfo()

//-----
// createClient_i() metoda interna ptr creare client
//-----
#define LOGMACROcreateClient_i(ret, fct) {\
    SPONDIFF_TRACE("DeferredSpontaneousSubscriptionImpl::createClient_i() " << this << "\n");\
    << " ERROR, invalid return value from: " << fct << " is " << ret );\
    ALARM_ANALYZER_LOG_ERROR_CPLT(ERRNO_ALARM_ANALYZER_SPON_CREATE_CLIENT,\
"DeferredSpontaneousSubscriptionImpl::createClient_i() " << this << "\n");\
    return value from " << fct << " is " << ret ); \}
int DeferredSpontaneousSubscriptionImpl::createClient_i(SPONDAlarm_AnalyzerClient **
pSPONDAlarm_AnalyzerClient_, const OMNET::Rights editionClasses,
OMNET::DeferredSpontaneous::Deferred_Subscription deferred,
OMNET::DeferredSpontaneous::EventCallback_ptr callBack)
{
    int ret = 0;
    SPONDIFF_TRACE("DeferredSpontaneousSubscriptionImpl::createClient_i() " << this << "\n");
    ret = _SPONDAlarm_AnalyzerClientFactory -> createClient(
        SPONDAlarm_AnalyzerClient::TEMPORARY_SUBSCRIBER_TYPE
        ,
        pSPONDAlarm_AnalyzerClient_
        ,
        editionClasses
        ,
        deferred
        ,
        callBack
        ,
        );
}
ALARM_ANALYZERClientRefTypeUNUSED

```

```

, false
, false
,
ActlImpl::InterfaceImpl::getSessionName().data()
);
SPONDIFF_TRACE("DeferredSpontaneousSubscriptionImpl::updateClient_i()");
<< ActlImpl::InterfaceImpl::getSessionName().data() );
switch (ret)
{
case -3 : // maximum nb total subscribers
{
LOGMACROcreateClient_i(ret, " _SPONDAAlarm_AnalyzerClient_
createClient_i(), maximum number of clients reached " )
// throw exception
OMNET::DeferredSpontaneous::Petri_Output_Right_Update_Error except;
except.infos = OMNET::DeferredSpontaneous::MORUEI_REJECTED;
throw except;
ret = 0;
break;
}
case -2 : // maximum nb permanent subscribers
case -1: // internal error
{
LOGMACROcreateClient_i(ret, " _SPONDAAlarm_AnalyzerClient_
createClient_i() " )
// exception sent by caller
ret = -1; // internal error exception
break;
}
case 0 :
{
SPONDIFF_TRACE("DeferredSpontaneousSubscriptionImpl::updateClient_i() " << this \
<< " client created, ref is : " << (*pSPONDAAlarm_AnalyzerClient_) ->
getReference() << " address : " << (*pSPONDAAlarm_AnalyzerClient_) );
break;
}
default:
{
// conditie initiala
LOGMACROcreateClient_i(ret, " _SPONDAAlarm_AnalyzerClient_
createClient_i() bad return value " )
ret = -1; // internal error exception
break;
}
} // switch
SPONDIFF_TRACE("DeferredSpontaneousSubscriptionImpl::updateClient_i()");
return ret;
} // createClient_i()

-----
// updateClient_i() metoda interna ptr permanent client updating
-----
#define LOGMACROupdateClient_i(ret, fct) {\
SPONDIFF_TRACE("DeferredSpontaneousSubscriptionImpl::updateClient_i() " <<
this \ << " ERROR, invalid return value from " << fct " is " << ret ); \
ALARM_ANALYZER_LOG_ERROR_CPLT(ERRNO_ALARM_ANALYZER_SPON_UPDATE_CLIENT,
"SPONDAAlarm_AnalyzerClientFactory::updateClient_i()" << this \
<< " ERROR, invalid return value from " << fct " is " << ret ); \}

int DeferredSpontaneousSubscriptionImpl::updateClient_i (
SPONDAAlarm_AnalyzerClient ** pSPONDAAlarm_AnalyzerClient_,
const OMNET::Rights editionClasses,
OMNET::DeferredSpontaneous::Deferred_Subscription deferred,
OMNET::DeferredSpontaneous::EventCallBack_ptr callBack)
{
int ret = 0;
SPONDIFF_TRACE("DeferredSpontaneousSubscriptionImpl::updateClient_i()");
ret = _SPONDAAlarm_AnalyzerClientFactory ->updateClient (
SPONDAAlarm_AnalyzerClient::TEMPORARY_SUBSCRIBER_TYPE,
pSPONDAAlarm_AnalyzerClient_,

```

```

editionClasses,
deferred,

callBack,
(*SPONDAlarm_AnalyzerClient_ -> getReference() );
switch (ret)
{
    case -3: // client gasit dar deja in modificare
    {
        LOGMACROupdateClient_i(ret, " retrieveALARM_ANALYZERClient_
client found but already UNDER MODIFICATION BY ANOTHER INST " )
        Platform::Error error;
        error.code = Platform::OMA_COMNET_CONCURRENT_ACCESS_PROHIBITED;
        throw error;
        break;
    }
    case -2: // client not found
    {
        LOGMACROupdateClient_i(ret, " retrieveALARM_ANALYZERClient_
client NOT found " )
        // exception throw error by caller
        ret = -1;
        break;
    }
    case -1 : // fatal error
    {
        LOGMACROupdateClient_i(ret, " retrieveALARM_ANALYZERClient_
// exception will be sent by caller
        break;
    }
    case 0:
    {
        break;
    }
    default: // unkwown value from method (internal error)
    {
        LOGMACROupdateClient_i(ret, " retrieveALARM_ANALYZERClient_
        ret = -1;
        break;
    } // default
} // switch
SPONDIFF_TRACE("DeferredSpontaneousSubscriptionImpl::deleteClient_i:
");
return ret;
} // updateClient_i()

//-----
/ deleteClient_i() metoda interna ptr permanent client deletion
//-----
#define LOGMACROdeleteClient_i(ret, fct)    {\
    SPONDIFF_TRACE("DeferredSpontaneousSubscriptionImpl::deleteClient_i" << this \
<< " ERROR, invalid return value from " << fct " is " << ret ); \
    ALARM_ANALYZER_LOG_ERROR_CPLT(ERRNO_ALARM_ANALYZER_SPON_REMOVE_CLIENT_RETRIEVE,
"SPONDAlarm_AnalyzerClientFactory::removeALARM_ANALYZERClient:" << this \
<< " ERROR, invalid return value from " << fct " is " << ret ); \}

int DeferredSpontaneousSubscriptionImpl::deleteClient_i (
    SPONDAlarm_AnalyzerClient ** pSPONDAlarm_AnalyzerClient_ )
{
    int ret=0;

    SPONDIFF_TRACE("DeferredSpontaneousSubscriptionImpl::deleteClient_i, START " );
    // calls factory method which does all the work, including client deletion
    // the identification key to get the client is its reference
    ret = _SPONDAlarm_AnalyzerClientFactory -> removeALARM_ANALYZERClient (
        pSPONDAlarm_AnalyzerClient_ ,
        SPONDAlarm_AnalyzerClient::TEMPORARY_SUBSCRIBER_TYPE ,
        (*pSPONDAlarm_AnalyzerClient_ -> getReference()
        );
    switch (ret)

```

```

        case -3: // client gasit dar deja under modif by another impl
        {
            LOGMACROdeleteClient_i(ret, " removeALARM_ANALYZER_CLIENT:
client NOT found UNDER MODIFICATION BY ANOTHER " );
            Platform::Error error;
            error.code = Platform::OMA_COM_CONCURRENT_ACCESS_PROHIBITED;
            throw error;
            break;
        }

        case -2: // client not found
        {
            LOGMACROdeleteClient_i(ret, " removeALARM_ANALYZER_CLIENT:
client NOT found " ); // exception throw error by caller
            ret = -1;
            break;
        } // case -2

        case -1: // internal error
        {
            LOGMACROdeleteClient_i(ret, " removeALARM_ANALYZER_CLIENT:
internal error " ); // exception sent by caller
            break;
        }

        case 0: // ok client removed
        {
            // removal has been done
            (*pSPONDAlarm_AnalyzerClient_) = NULL;

            break;
        } // case 0

        default: // unkown value from method (internal error)
        {
            LOGMACROdeleteClient_i(ret, " removeALARM_ANALYZER_CLIENT:
removeALARM_ANALYZERCLIENT ( ) " );

            ret = -1;
            break;
        }
    } // switch
    SPONDIFF_TRACE("DeferredSpontaneousSubscriptionImpl::DeleteClient_
return ret;
} // deleteClient_i()

//-----
// creator de implementare
//-----
ActlImpl::InterfaceImpl* DeferredSpontaneousSubscriptionImpl::CreateImplInstance()
{
    ActlImpl::InterfaceImpl *res;

    res = new DeferredSpontaneousSubscriptionImpl();
    SPONDIFF_TRACE("DeferredSpontaneousSubscriptionImpl::CreateImplInstance
create : " << res );
    return res;
}

//-----
// metoda generala
//-----
string* DeferredSpontaneousSubscriptionImpl::GetMethodes()
{
    string *methodes;
    methodes = new string[DeferredSpontaneousSubscriptionImpl_Methode_Number];
    methodes[0] = "ChronicleSubscription";
    methodes[1] = "getSubscriptionInfo";
    return methodes;
}

//-----
// numărul de metode
//-----
int DeferredSpontaneousSubscriptionImpl::GetMethodesNumber()

```



```
{  
    return DeferredSpontaneousSubscriptionImpl_Methode_Number;  
}
```

### Petri\_Automaton.cpp

```
//-----  
// AUTHOR : Serafin P  
// PROJECT : OMNeT++ Alarm Analyzer  
// DOMAIN : Petri Automaton  
//-----  
@file PETRI_Automaton.cpp  
@brief Asamblare retea Petri  
//-----  
#ifndef __PETRI_Automaton_cc__  
#define __PETRI_Automaton_cc__  
  
#include "PETRI_Automaton.hh"  
#include "INT_PROCTmessage.hh"  
#include "ALARM_ANALYZERMacros.hh"  
#include "CHRONICLEEyre.hh"  
#include "INT_PROCTEyre.hh"  
//-----  
//constructor  
//-----  
PETRI_Automaton::PETRI_Automaton()  
{  
    _state = "IDLE";  
}  
//-----  
//destructor  
//-----  
PETRI_Automaton::~PETRI_Automaton()  
{  
}  
//-----  
// automaton event : ChronicleCommand  
//-----  
int PETRI_Automaton::ChronicleCommand(void)  
{  
    if (_state == "IDLE") {  
        _state = "RUNNING";  
        return (int)1;  
    } else {  
        ALARM_ANALYZER_LOG_NOTICE(ERRNO_ALARM_ANALYZER_UNEXPECTED_CORBA_MES,  
"ChronicleCommand out of sequence");  
        return (int)-1;  
    }  
}  
//-----  
// automaton event : ChronicleExtraInfoReply  
//-----  
int PETRI_Automaton::ChronicleValidationReply(void)  
{  
    if (_state == "WAIT_VALIDATION") {  
        _state = "RUNNING";  
        return (int)1;  
    } else {  
        ALARM_ANALYZER_LOG_NOTICE(ERRNO_ALARM_ANALYZER_UNEXPECTED_CORBA_MES,  
"ChronicleExtraInfoReply out of sequence");  
        return (int)-1;  
    }  
}  
//-----  
// automaton event : ChronicleExtraInfoReply  
//-----  
int PETRI_Automaton::ChronicleExtraInfoReply(void)  
{  
    if (_state == "WAIT_ADDITIONAL_LINE") {  
        _state = "RUNNING";  
    }  
}
```

```

        return (int)1;
    } else {
        ALARM_ANALYZER_LOG_NOTICE(ERRNO_ALARM_ANALYZER_UNEXPECTED_CORBA_MES,
"ChronicleEntryInfoReply out of sequence");
        return (int)-1;
    }
}
//-----
// automaton event : ChronicleCancel
//-----
int PETRI_Automaton::ChronicleCancel(void)
{
    if (_state != "IDLE") {
        _state = "IDLE";
        return (int)1;
    } else {
        ALARM_ANALYZER_LOG_NOTICE(ERRNO_ALARM_ANALYZER_UNEXPECTED_CORBA_MES,
"ChronicleCancel out of sequence");
        return (int)-1;
    }
    return (int)1;
}
//-----
// check : check the automaton sequencing according the spcc (message identifier)
//-----
int PETRI_Automaton::check (long spcc_)
{
    switch (spcc_) {
        case CCHFRP: // CHRONICLE Final Report
        case CCHACC: // CHRONICLE Acceptance
        case CCHCRJ: // CHRONICLE Reject
            if (_state != "IDLE") {
                _state = "IDLE";
                return (int)1;
            } else {
                ALARM_ANALYZER_LOG_NOTICE(ERRNO_ALARM_ANALYZER_UNEXPECTED_NMT_MES,
"INT_PROD reception out of sequence : "<<hex<<spcc_<<dec);
                PETRI_TRACE("out of sequence : " << spcc_ <<" " <<dump());
                return (int)-1;
            }
        case CCHPRP: // CHRONICLE Partial Report
            if (_state == "RUNNING") {
                return (int)1;
            } else {
                ALARM_ANALYZER_LOG_NOTICE(ERRNO_ALARM_ANALYZER_UNEXPECTED_NMT_MES,
"PETRI_Partial_Report out of sequence : "<<hex<<spcc_<<dec);
                PETRI_TRACE("PETRI_Partial_Report out of sequence : " << spcc_ <<" " <<dump());
                return (int)-1;
            }
        case CCHVRQ: // CHRONICLE Validation Request
            if (_state == "RUNNING") {
                _state = "WAIT_VALIDATION";
                return (int)1;
            } else {
                ALARM_ANALYZER_LOG_NOTICE(ERRNO_ALARM_ANALYZER_UNEXPECTED_NMT_MES,
"Petri_Validation_Request out of sequence : "<<hex<<spcc_<<dec);
                PETRI_TRACE("Petri_Validation_Request out of sequence : " << spcc_ <<" "
<<dump());
                return (int)-1;
            }
        case CCHARQ: // CHRONICLE Additional Line Request
            if (_state == "RUNNING") {
                _state = "WAIT_ADDITIONAL_CHRONICLE";
                return (int)1;
            } else {
                ALARM_ANALYZER_LOG_NOTICE(ERRNO_ALARM_ANALYZER_UNEXPECTED_NMT_MES,
"Petri_Additional_Line_Request out of sequence : "<<hex<<spcc_<<dec);
                PETRI_TRACE("Petri_Additional_Chronicle_Request out of sequence : " << spcc_ <<" "
<<dump());
                return (int)-1;
            }
    }
}

```

```
default :
ALARM_ANALYZER_LOG_WARNING(ERRNO_ALARM_ANALYZER_UNKNOWN_MES, "
return (int)-1;
}
}
//-----
// dump
//-----
string PETRI_Automaton::dump(void)
{
string str = "";
str += " CHRONICLE AUTOMATON STATE = "; str += _state; str += "\n";
return str;
}
#endif
```

## BIBLIOGRAFIE

- [1] \*\*\* Alcatel 1000 E10 (OCB283) – *Description du système de commutation*, IFA, Institut de Formation Alcatel, Lannion, Franța, 1995
- [2] \*\*\* Alcatel 1000 E10 (OCB283) – *Gestion des alarmes*, IFA, Institut de Formation Alcatel, Lannion, Franța, 1996
- [3] Armen Aghasaryan – *Formalisme Hidden Markov Model pour les réseaux de Petri partiellement stochastiques. Application au diagnostic de pannes dans les systèmes répartis*, Teză de doctorat nr.2145, Universitatea din Rennes I, Franța, 1998
- [4] Armen Aghasaryan, Renée Boubour, Eric Fabre, Claude Jard, Albert Benveniste – *Une approche par réseaux de Petri aux problèmes de détection de panne et de diagnostic dans les systèmes distribués*, Rapport de cercetare nr. 1117, IRISA, Institut de Recherche en Informatique et Systèmes Aléatoires, Rennes, Franța, 1997
- [5] Armen Aghasaryan, Christophe Dousson, Eric Fabre, Aomar Osmani, Yannick Pencolé – *Modeling Fault Propagation in Telecommunications Networks for Diagnosis Purposes*, Proceedings, al 18-lea Simpozion WTC, World Telecommunications Congress, Paris, Franța, 2002
- [6] Armen Aghasaryan, Christophe Dousson – *Mixing Chronicle and Petri Net Approaches in Evolution Monitoring Problems*, Proceedings, a 12-a Conferință WPD, Workshop Principles of Diagnosis, pag. 1-7, San Sicario, Italia, Martie, 2001
- [7] Armen Aghasaryan – *Diagnostic de pannes dans les grands systèmes répartis: une approche à base de Réseaux de Pétri partiellement stochastiques*, Seria Calculateurs Parallèles, nr.11, pag. 447-462, Editura Hermès-Science, 1999
- [8] Rakesh Agrawal, Ramakrishnan Srikant - *Fast algorithms for mining association rules in large databases*, Proceedings, a 20-a Conferință VLDB, Very Large Data Bases, pag. 478-499, Santiago de Chile, Chile, 1994
- [9] Rakesh Agrawal, Tomasz Imielinski, Arun Swami - *Mining association rules between sets of items in large databases*, Proceedings, ACM SIGMOD Conference on Management of Data, 1993.
- [10] Jose Aguilar, Kouamana Bousson, Christophe Dousson, Malik Ghallab, Anthony Guasch, Rob Milne, Charlie Nicol, Jose Quevedo, Louise Travé-Massuyès – *TIGER: real-time situation assessment of dynamic systems*, Intelligent Systems Engineering, Volumul 3(3), pag. 103-124, Octombrie, 1994
- [11] Alfred V. Aho - *Algorithms for finding patterns in strings*. Handbook of Theoretical Computer Science, pag. 256-300, Editura Elsevier, 1990
- [12] James F. Allen - *Maintaining Knowledge about Temporal Intervals*. Seria Communication of ACM, nr. 26, pag. 123-154, 1983
- [13] James F. Allen - *Towards a General Theory of Action and Time*. Seria Artificial Intelligence, nr.23, pag.72-80, 1984
- [14] James F. Allen - *A Common-Sense Theory of Time*. Proceedings, IJCAI, nr.9, pag. 528-531, 1985.
- [15] James F. Allen, Philip J. Hayes - *Moments and Points in an Interval-based Temporal-based Logic*. Seria Computational Intelligence, nr.5, pag. 225-238, 1989
- [16] François Baccelli, Guy Cohen, Geert Jan Olsder, Jean-Pierre Quadrat – *Synchronisation and Linearity: an algebra for discrete event systems*, Editura John Wiley&Sons, Seria Probability and Mathematical Statistics, <http://www-rocq.inria.fr/metalau/cohen/SED/book-online.html>, 1992

- [17] Peter van Beek - *Approximation Algorithms For Temporal Reasoning*. Proceedings, IJCAI, nr.11, pag. 1291-1296, 1989
- [18] Peter van Beek - *Reasoning About Qualitative Temporal Information*, Seria Artificial Intelligence, nr. 58, pag. 297-326, 1992
- [19] Albert Benveniste, Bernard C. Lévy, Eric Fabre, Paul Le Guernic – *A Calculus of Stochastic Systems: Specification, Simulation and Hidden State Estimation*, Journal of Theoretical Computer Science, vol.152, nr.2, pag. 171-217, 1995
- [20] Albert Benveniste, Stefan Haar, Eric Fabre, Claude Jard – *Fault Diagnosis for Distributed Asynchronous Dynamically Reconfigured Discrete Event Systems*, Proceedings, al 16-lea Congres IFAC, Praga, Cehia, Iulie 2005
- [21] Serge Bibas, Marie-Odile Cordier, Philippe Dague, François Lévy, Laurence Rozé - *Scenario generation for telecommunication network supervision*. Workshop on AI in Distributed Information Networks, Montreal, Canada, 1995
- [22] Serge Bibas, Marie-Odile Cordier, Philippe Dague, Christophe Dousson, François Lévy, Laurence Rozé – *Alarm driven supervision for telecommunication networks: on-line scenario generation*. Annals of Telecommunications nr.9/10, Tome 51, pag. 493-500, Octombrie 1996
- [23] Serge Bibas, Marie-Odile Cordier, Philippe Dague, Christophe Dousson, François Lévy, Laurence Rozé – *Using a model-based approach for monitoring telecommunication networks : the GASPARET system*, IEEE Colloquium on AI for Network Management Systems, pag. 51-52, Aprilie 1997
- [24] Claudia Böttcher, Oskar Dressler - *A framework for controlling model-based diagnosis systems with multiple actions*, Annals of Mathematics and Artificial Intelligence, special issue on Model-Based Diagnosis, nr. 11(1-4), Editura J.C. Baltzer AG, pag. 241-261, 1994.
- [25] Renée Boubour – *Suivi des pannes par corrélation causale d'alarmes dans les systèmes répartis*, Teza de doctorat, Universitatea din Rennes I, Franța, 1997
- [26] Renée Boubour, Claude Jard – *Fault Detection in Telecommunication Networks Based on a Petri Net Representation of Alarm Propagation*, Proceedings, ICATPN, 1997
- [27] Kouamama Bousson, Laurent Zimmer, Louise Travé-Massuyès - *Causal Model-Based Diagnosis of Dynamic Systems*, al 5-lea International Workshop Principles of Diagnosis, New Paltz, New York, SUA, 1994.
- [28] Bertham C. Bruce - *A Model for Temporal References and Application in a Question Answering Program*, Seria Artificial Intelligence, nr.3, pag. 1-25, 1972
- [29] Sylvie Cauvin, Marie-Odile Cordier, Christophe Dousson, Philippe Laborie, François Lévy, Jacky Montmain, Marc Porcheron, Isabelle Servet, Louise Travé-Massuyès – *Monitoring and Alarm Interpretation in Industrial Environments*, Seria AI Communications vol.11 (3-4), pag. 139-173, IOS Press, 1998
- [30] CCITT – *Livre Bleu. Tome II – Fascicule II.3 Qualité du service, gestion du réseau et ingénierie du trafic*. Recommandations E.401 – E.880, IX Assemblée Plénière, Melbourne, Canada, 1988
- [31] Young-il Choo – *Concurrency Algebra and Petri Nets*, Raport tehnic 5190:TR:85, California Institute of Technology, SUA, 1985
- [32] Marie-Odile Cordier, Christophe Dousson – *Alarm Driven Monitoring Based on Chronicles*, Proceedings, al 4-lea Simpozion Fault Detection Supervision & Safety for Technical Processes, pag.286-291, Budapest, Ungaria, Iunie, 2000

- [33] Marie-Odile Cordier, Christine Largouët - *Using model-checking techniques for diagnosing discrete-event systems*, Proceedings, al 12-lea International Workshop on Principles of Diagnosis DX-01, Sansicario, Italia, 2001
- [34] Marie-Odile Cordier, Sylvie Thiébaux - *Event-based diagnosis for evolutive systems*, Proceedings, al 5-lea International Workshop on Principles of Diagnosis DX-94, New Paltz, New York, SUA, 1994.
- [35] Victor Croitoru – *Comunicații digitale : teorie și experiment*, Editura Adisan, București, 1995
- [36] Victor Croitoru – *Reflecții asupra evoluției învățământului românesc de comunicații*, Comunicare la sesiunea *Istoria telecomunicațiilor în România*, Academia Română, 15 Aprilie, 2003
- [37] Adnan Darwiche - *Model-based diagnosis using structured system descriptions*, Journal of Artificial Intelligence Research nr.8, pag. 165-222, 1998.
- [38] Thomas L. Dean, Drew V. McDermott - *Temporal database management*, Seria Artificial Intelligence nr.32, pag. 1-55, 1987
- [39] Rami Debouk, Stéphane Lafortune, Demosthenis Teneketzis – *Coordinated Decentralized Protocols for Failure Diagnosis of Discrete Event Systems*, Seria Discrete Event Dynamic Systems, Vol. 10, nr.1-2, Editura Kluwer Academic, Ianuarie, 2000
- [40] Rina Dechter, Itay Meiri, Judea Pearl - *Temporal constraint networks*. Artificial Intelligence Special Volume on Knowledge Representation, pag. 61-95, Editura Elsevier, 1991
- [41] Luc Dehaspe, Hannu Toivonen - *Frequent query discovery : unifying ILP approach to association rule mining*, Raport Tehnic CW:258, Katholieke Universiteit Leuven, Belgia, 1998
- [42] Virgil Dobrotă – *Rețele digitale în telecomunicații, Volumul I: Comutația digitală. Analiza traficului*, Ediția a 3-a, Editura Mediamira, Cluj-Napoca, 2002
- [43] Virgil Dobrotă – *Rețele digitale în telecomunicații. Volumul III : OSI și TCP/IP*, Ediția a 2-a, Editura Mediamira, Cluj-Napoca, 2003
- [44] Christophe Dousson - *Alarm driven supervision for telecommunication networks : on-line chronicle recognition*, Annals of Telecommunications nr.9/10, Tome 51, pag.501-508 CNET France Telecom, Lannion, Franța, Octombrie, 1996 .
- [45] Christophe Dousson – *Extending and Unifying Chronicle Representation with Event Counters*, Proceedings, al 15-lea Simpozion ECAI, pag. 257-261, IOS Press, Lyon, Franța, Iulie, 2002
- [46] Christophe Dousson – *Suivi d'évolutions et reconnaissance de chroniques*, Teză de doctorat nr.1811, Universitatea Paul Sabatier Toulouse, Franța, Septembrie, 1994
- [47] Christophe Dousson, Paul Gaborit, Malik Ghallab - *Situation Recognition: Representation and Algorithms* Proceedings, al 13-lea IJCAI, pag. 166-172, Chambéry, Franța, August, 1993
- [48] Christophe Dousson, Thang Vu Dong – *Découverte de chroniques a vec contraintes temporelles à partir de journaux d'alarmes. Application à la supervision de réseaux de télécommunications*, Acte 1ère Conférence d'Apprentissage (CAP), pag.17-24, Palaiseau - Paris, Franța, Iunie, 1999
- [49] Doina Drăgulescu, Mirela Toth-Tașcău, Petru L. Serafin – *Analiza spațiului de lucru al unui robot RRTRRR prin metoda modelării statistice*, al XI-lea Simpozion Național de Roboți Industriali, Vol.1, Lucrarea nr.10, Timișoara, Octombrie, 1992
- [50] Oskar Dressler - *On-line diagnosis and monitoring of dynamic systems based on qualitative models and dependency-recording diagnosis engines*, Proceedings ECAI-96, pag. 481-485, Budapesta, Ungaria, 1996.
- [51] Eric Fabre, Armen Aghasaryan, Albert Benveniste, Renée Boubour, Claude Jard – *Fault detection and diagnosis in distributed systems: an approach by partially stochastic Petri nets*, Journal of

- [52] Usama M. Fayyad, Heikki Mannila, Raghu Ramakrishnan - *Data Mining Knowledge Discovery*, Editorial, IEEE Expert Special Issue on Data Mining, Vol.8, nr.1, pag.5-6, Ianuarie 2004
- [53] Françoise Fessant, Christophe Dousson, Fabrice Clérot – *Mining on a telecommunication alarm log to improve the discovery of frequent patterns*, Industrial Conference on Data Mining (ICDM), Leipzig, Germania, Iulie, 2003
- [54] Françoise Fessant, Christophe Dousson, F. Clérot – *SOM-based pre-processing of a telecommunications alarm log for a more accurate discovery of recurrent phenomena*, International Conference on Neural and Artificial Intelligence (ICNNAI), Minsk, Bielorusia, Noiembrie, 2003
- [55] Anthony Galton - *A Critical Examination of Allen's Theory of Action and Time*, Artificial Intelligence, nr. 42, pag. 159-188, 1990
- [56] Anthony Galton - *Logic for Information Technology*. Editura John Wiley & Sons Ltd., 1990.
- [57] Georges Fiche, Gérard Hébuterne - *Trafic et performances des réseaux de télécoms*, Ed. Hermes-Science, Groupe des Ecoles de Télécommunications & Lavoisier, Paris, Franța, 2003
- [58] Bruno Guerraz, Christophe Dousson – *Chronicles Construction Starting from the Fault Model of the System to Diagnose*, International Workshop on Principles of Diagnosis (DX), pag.51-56, Carcassonne, Franța, Iunie, 2004
- [59] Bernhard Ganter - *Algorithmen zur formalen begriffsanalyse*, Beitrage zur Begriffsanalyse, Editura Wissenschaft-Verlag, 1987
- [60] Alban Grastien, Marie-Odile Cordier, Christine Largouët – *Extending Decentralized Discrete-Event Modeling to Diagnose Reconfigurable Systems*, International Workshop on Principles of Diagnosis (DX), Carcassonne, Franța, Iunie, 2004
- [61] Malik Ghallab - *On chronicles : representation and on-line recognition*, Proceedings, a 5-a Conferință Internațională Principles of Knowledge Representation and Reasoning (KRR), 1996
- [62] Zonghua Gu, Kang G. Shin – *Analysis of Event-Driven Real-Time Systems with Time Petri Nets: A Translation-Based Approach*, DIPES 2002, Seria Distributed and Parallel Embedded Systems, pag. 31-40, Montreal, Canada, 25-30 August, 2002
- [63] Larry Holloway, Deepa N. Pandalai – *Template Languages for Fault Monitoring of Timed Discrete Event Processes*, IEEE Transactions on Automatic Control, Nr.45(5), 2000
- [64] Frank Höppner – *Learning dependencies in multivariate time series*, KDSTD Workshop, pag. 25-31, Lyon , Franța, 2002
- [65] Stephen D. Hudson, James C. Johnson, Umar Syyyid – *The ACE Programmer's Guide*, Ed. Addison-Westley, Octombrie 2003
- [66] Alimpie I gnea, Mircea Chivu, Ioan Borza – *Măsurări electrice și electronice în instalații*, Editura Orizonturi Universitare, Timișoara, 1998
- [67] Lucian Ioan – *Probabilități și variabile aleatorii în telecomunicații – teorie și aplicații*, Ed. Matrix Rom, București, 1998
- [68] Lucian Ioan, Graziela Niculescu – *Elemente de ingineria traficului în telecomunicații – teorie și aplicații*, Ed. Matrix Rom, București, 2001
- [69] Claude Jard – *Synthesis of distributed testers from true-concurrency models of reactive systems*, International Journal of IST, Editura Elsevier, 2002

- [70] Gabriel Jakobson, Mark D. Weissman - *Real-time telecommunication network management extending event correlation with temporal constraints*, Proceedings, al 5-lea Simpozion ISNIM, pag. 290-301, 1995
- [71] Brian Knight, Jixin Ma - *An Extended Temporal System Based on Points and Intervals*, Information System, nr.18, pag.111-120, 1993
- [72] Philippe Laborie, Jean-Paul Krivine - *Automatic generation of chronicles and its application to alarm processing in power distribution systems*, Proceedings, al 8-lea International Workshop on Principles of Diagnosis DX'97, Mont Saint Michel, Franța, 1997
- [73] Philippe Laborie, Jean-Paul Krivine - *GEMO: A model-based approach for an alarm processing function in power distribution networks*, Proceedings, International Conference on Intelligent System Application to Power Systems ISAP-97, Seul, Coreea de Sud, 1997
- [74] Peter Ladkin, Alexander Reinefeld - *Fast Algebraic Methods for Interval Constraint Problems*, Annals of Mathematical and Artificial Intelligence, vol.19, nr.3-4, pag. 383-411, 1997
- [75] Peter Ladkin - *Effective Solution of Qualitative Interval Constraint Problems*, Artificial Intelligence, nr.52, pag.105-124, 1992
- [76] Tony Lindeberg - *Discrete Scale-Space Theory and the Scale-Scale Primal Sketch*, Teză de doctorat, Departamentul Numerical Analysis and Computer Science, KTH Royal Institute of Technology, Stockholm, Suedia, August, 1998
- [77] Michael Luxenburger - *Implications partielles dans un contexte*, Mathematique, Informatique et Sciences Humaines, nr. 29, pag. 35-55, 1991
- [78] Alan K. Mackworth, Eugene C. Freuder - *The complexity of constraint satisfaction revisited*, Artificial Intelligence, nr. 59, Elsevier, 1993
- [79] Roberto Maiocchi - *Automatic Deduction of Temporal Information*, ACM Transactions on Database Systems, nr.4, pag. 647-688, Milano, Italia, 1992
- [80] Heikki Manilla, Hannu Toivonen - *Discovering frequent episodes in sequences*, Proceedings, primul simpozion KDD, pag. 210-215, 1995
- [81] Marco Ajmone Marsan, Gianfranco Balbo, Gianni Conte, Susanna Donatelli, Giuliana Franceschinis - *Modeling with Generalized Stochastic Petri Nets*, Editura John Wiley, 1995
- [82] Emmanuel Mayer - *Apprentissage inductif de scenarios pour la supervision de reseaux de telecommunication*, Seminar la Universitatea din Rennes I, Franța, Decembrie, 1999
- [83] Drew McDermott - *A Temporal Logic for Reasoning about Processes and Plans*, Cognitive Science, nr. 6, pag.101-155, 1982
- [84] Drew McDermott - *Mind and Mechanism*, Editura MIT Press, Ediția I, Octombrie, 2001
- [85] Drew McDermott - *A Critique of Pure Reason*, Computational Intelligence, nr. 3, pag.151-237, 1987
- [86] Kenneth L. McMillan - *Symbolic model checking : an approach to the state explosion problem*, Computer Science, Carnegie Mellon University, SUA, 1993
- [87] Tadao Murata - *Petri Nets: Properties, Analysis and Applications*, Proceedings of the IEEE, Vol. 77, Nr.4, pag. 541-580, Aprilie, 1989
- [88] Miranda Naforniță, Carmen Munteanu - *Comunicații de date*, Ed. Gh.Asachi, Iași, 1996
- [89] Graziela Niculescu, Ștefania Bărbălău - *Analiza și modelarea sistemelor de comunicații*, Ed. Matrix Rom, București, 1997
- [90] Graziela Niculescu, Lucian Ioan - *Tehnici și sisteme de comutație*, Ed. Matrix Rom, București, 2000



- [91] Graziela Niculescu – *Traficul în rețelele de telecomunicații*, Ed.Tehnică, București, 1994
- [92] Morgens Nielsen, Gordon Plotkin, Glynn Winskel – *Petri nets, event structures and domains*, Theoretical Computer Science, nr.13, pag.85-108, Elsevier, 1980
- [93] Yossi Nygate - *Event correlation using rule and object-based techniques*. Proceedings, al 4-lea ISNIM, pag. 279-289, Mai, 1995
- [94] Marius Oteșteanu – *Sisteme de transmisie și comutație*, Editura Orizonturi Universitare, Timișoara, 2001
- [95] Marius Oteșteanu, Florin Alexa, Cornel Balint – *Telefonia numerică. Sistemul Alcatel 1000 E10*, Editura de Vest, Timișoara, 2004
- [96] Yannick Pencolé – *Diagnosability Analysis of Distributed Discrete Event Systems*, International Workshop on Principles of Diagnosis (DX), Carcassonne, Franța, Iunie, 2004
- [97] Yannick Pencolé, Marie-Odile Cordier, Laurence Rozé - *Incremental decentralized diagnosis approach for the supervision of a telecommunication network*, working notes of the 12th International Workshop on Principles of Diagnosis DX-01, Sansicario, Italia, 2001.
- [98] Yannick Pencolé, Marie-Odile Cordier - *A formal framework for the decentralized diagnosis of large scale discrete event systems and its application to telecommunication networks*, Artificial Intelligence Journal , Editura Elsevier, nr. 164 (1-2), pag. 121-170, 2005
- [99] James L. Peterson - *Petri Net Theory and the Modeling of Systems*, Editura Prentice-Hall, New Jersey, SUA, 1981
- [100] Carl Adam Petri - *Kommunikation mit Automaten*, Institut für Instrumentelle Mathematik, Schriften des IIM Nr.3, Universitatea Tehnică din Darmstadt, Germania, 1962
- [101] Raymond Reiter - *A theory of diagnosis from first principles*, Artificial Intelligence nr.32(1), pag. 57-96, 1987.
- [102] Tatiana Rădulescu – *Telecomunicații*, Editura Teora, București, 1998
- [103] Tatiana Rădulescu – *Rețele de telecomunicații*, Editura Thalia, București, 2003
- [104] Bill Roscoe – *The Theory and Practice of Concurrency*, Editura Prentice-Hall, Seria Computer Science, 1998
- [105] Laurence Rozé - *Supervision of telecommunication network: A diagnoser approach*, Proceedings, al 8-lea International Workshop on Principles of Diagnosis DX'97, Mont Saint Michel, Franța, 1997.
- [106] Carsten Rust, Franz J. Ramming – *A Petri Net Based Approach for the Design of Dynamically Modifiable Embedded Systems*, DIPES 2004, Distributed and Parallel Embedded Systems, Toulouse, Franța, 23-26 August, 2004
- [107] Raja Sengupta, Stéphane Lafortune, Demosthenis Teneketzis - *Diagnosability of discrete-event systems*, IEEE Transactions Automatic Control nr. 40 (9), pag. 1555-1575, 1995.
- [108] Raja Sengupta, Stéphane Lafortune, Demosthenis Teneketzis - *Failure diagnosis using discrete-event models*, IEEE Transactions Control Systems Technology nr. 4 (2), pag. 105-124, 1996.
- [109] Douglas C. Schmidt – *An Object-Oriented Framework for Experimenting with Alternative Process Architectures for Parallelizing Communication Subsystems*, teză de doctorat, University of California, Irvine, SUA, 1995
- [110] Douglas C. Schmidt, Burkhard Stiller, Tatsuya Suda, Martina Zitterbart - *Configuring Function-based Communication Protocols for Distributed Applications*, Proceeding, a 8-a Conferință Internațională Upper Layer Protocols, Architectures and Applications, pag. 1–13, Barcelona, Spania, 1994

- [111]Douglas C. Schmidt, Stephen D. Huston – *C++ Network Programming : Mastering Complexity with ACE and Patterns*, Volumul 1, Seria C++ In-Depth Series, Bjarne Stroustrup, Editura Addison-Westley, Decembrie 2001
- [112]Petru L. Serafin, François Mellouet – *Reconnaissance automatique des formes par la logique floue*, Seminar de sinteză ESEO, Ecole Supérieure d'Electronique de l'Ouest, Angers, Franța, 26-27 Iunie, 1997
- [113]Petru L. Serafin – *Petri Net and Chronicle Recognition in Analysis of Telecommunication Alarm Logs*, Acta Tehnica Napocensis – Seria Electronics and Telecommunications (acceptată pentru publicare), Universitatea Tehnică din Cluj-Napoca, 2005
- [114]Petru L. Serafin – *Algoritm pentru determinarea cronicilor frecvente în jurnalele de alarme ale rețelelor de telecomunicații*, Sesiunea de comunicări științifice Doctor ETC, Universitatea Politehnica Timișoara, Facultatea de Electronică și Telecomunicații, Timișoara, 22 Septembrie, 2005
- [115]Petru L. Serafin – *Network Simulation using OMNet++ environment*, Buletinul Științific al UPT, Tom 49 (63), Fascicola 1, pag. 407-411, Simpozionul Electronică și Telecomunicații, Timișoara, 22-23 Octombrie, 2004
- [116]Petru L. Serafin – *Performance Analysis of Packet-based Voice Networks*, Buletinul Științific al UPT, Tom 49 (63), Fascicola 1, pag. 412-418, Simpozionul Electronică și Telecomunicații, Timișoara, 22-23 Octombrie, 2004
- [117]Petru L. Serafin – *Quality Limitations for Packetized Voice Calls* – Buletinul Științific al UPT, Tom 45 (59), Fascicola 1, pag. 176-179, Simpozionul Electronică și Telecomunicații, Timișoara, 23-24 Noiembrie, 2000
- [118]Crișan Strugaru – *Sisteme de comunicații digitale* – Editura Orizonturi Universitare, Seria Tehnică, Timișoara, 2000
- [119]Louise Travé-Massuyès, Kouamana Bousson - *Non causal vs. causal qualitative modelling and simulation*, Intelligent Systems Engineering nr.2 (3), pag. 159-182, 1993
- [120]Louise Travé-Massuyès, Philippe Dague - *Le raisonnement qualitatif pour les sciences de l'ingénieur*, Editura Hermes, 1997
- [121]Louise Travé-Massuyès, Robert Milne - *Application-oriented qualitative reasoning*, The Knowledge Engineering Review nr.10(2), 1995
- [122]Louise Travé-Massuyès, Robert Milne - *TIGERTM: Gas turbines condition monitoring using qualitative model based diagnosis*, IEEE Expert Intelligent Systems & Applications nr.12 (3), pag. 21-31, 1997.
- [123]Louise Travé-Massuyès, Robert Milne - *Gaps between research and industry related to model based and qualitative reasoning*, Proceedings, ECAI'98 workshop on "Model Based Systems and Qualitative Reasoning", Brighton, Marea Britanie, 1998.
- [124]Louise Travé-Massuyès, Renaud Pons - *Causal ordering for multiple mode systems*, 11th Int. Workshop on Qualitative Reasoning about Physical Systems, Cortona, Italia, 1997
- [125]Edward P. K. Tsang - *Time Structure for AI*, Proceedings of the IJCAI, nr.10, pag. 456-461, 1987
- [126]András Varga - *OMNet++ User Manual*, Departamentul Telecomunicații, Universitatea Tehnică Budapesta, Ungaria, 2000
- [127]András Varga - *OMNet++ Discrete Event Simulation System*, Proceeding of the European Simulation Multiconference ESM2001, Praga, Cehia, 6-9 Iunie, 2001
- [128]András Varga - *Software Tool for Networking*, IEEE Network Interactive, vol.16 nr.4, Iulie 2002

- [129] Marc B. Vilain - *A System for Reasoning about Time*. Proceedings la prima conferință AAAI, pag. 197-201, Pittsburgh, SUA, 1982
- [130] Marc B. Vilain, Henry A. Kautz - *Constraint Propagation Algorithms for Temporal Reasoning*. Proceedings a 5-a Conferință AAAI Conference, pag. 377-382, Philadelphia, SUA, 1986
- [131] Thang Vu Dong - *Découverte de chronique à partir de journaux d'alarmes : application à la supervision de réseau de télécommunication*, Capitolul 2: *Représentation*, Teză de doctorat nr. 1772, Institut National Polytechnique de Toulouse, Franța, 2001
- [132] Eric W. Weisstein - *Hasse Diagram*, <http://mathworld.wolfram.com/HasseDiagram.html>
- [133] <http://dexonline.ro> – site web DEX online, dicționar explicativ al limbii române
- [134] <http://crs.elibel.tm.fr/en/index.html> - site web pentru sistemul CRS (Chronicle Recognition System)
- [135] <http://www.cs.wustl.edu/~schmidt/ACE.html> - site web al creatorului interfeței ACE (Adaptive Communication Environment), Dr. Douglas C. Smith, University of California, Irvine, SUA
- [136] <http://magda.elibel.tm.fr> – site web al proiectului MAGDA (Modélisation et Apprentissage pour une Gestion Distribuée des Alarmes)
- [137] <http://www.omnetpp.org> – site web al comunității programatorilor OMNeT++
- [138] <http://www.omnest.com> – site web al versiunii comerciale de OMNeT++
- [139] <http://www.prismsystems.com> – site web al proiectului OpenFusion, dezvoltat cu ACE
- [140] <http://www.riverace.com> – site web de suport pentru interfața de comunicații ACE